



UNIVERSIDADE DE BRASÍLIA
DEPARTAMENTO DE FITOPATOLOGIA
PROGRAMA DE PÓS-GRADUAÇÃO EM FITOPATOLOGIA

Caracterização biológica e molecular do complexo Potato virus Y (PVY) infectando plantas de batata de distintas regiões produtoras do Brasil.

Patrícia Pereira da Silva

Brasília-DF
2008



UNIVERSIDADE DE BRASÍLIA
DEPARTAMENTO DE FITOPATOLOGIA
PROGRAMA DE PÓS-GRADUAÇÃO EM FITOPATOLOGIA

Caracterização biológica e molecular do complexo Potato virus Y (PVY) infectando plantas de batata de distintas regiões produtoras do Brasil.

PATRÍCIA PEREIRA DA SILVA

Dissertação apresentada ao Departamento de Fitopatologia do Instituto de Ciências Biológicas da Universidade de Brasília como requisito para obtenção do título de mestre em Fitopatologia.

Brasília-DF
2008

Trabalho desenvolvido junto ao Departamento de Fitopatologia da Universidade de Brasília e à Empresa Brasileira de Pesquisa Agropecuária / Centro Nacional de Pesquisa de Hortaliças (Embrapa Hortaliças), sob a orientação do Dr. Renato de Oliveira Resende e com apoio financeiro do Conselho Nacional de Desenvolvimento Científico e Tecnológico (CNPq).

Banca examinadora:

Dr. Renato de Oliveira Resende
Universidade de Brasília-Orientador

Dr. Tatsuya Nagata
Universidade de Brasília

Dra. Simone da Graça Ribeiro
Embrapa Recursos Genéticos e Biotecnologia

A Deus e a Santa Rita da Cássia,
que de alguma forma deram-me
força.

OFEREÇO

Aos meus pais, *Antônio & Maria*, a
minha filha Thaíssa, Minhas irmãs,
Mariana e Viviane pelo carinho,
apoio e confiança.

DEDICO

Agradecimentos

Ao Dr. Renato de Oliveira Resende, pela orientação, apoio, confiança, ensinamentos e incentivo profissional.

A Dr. Alice pela paciência, amizade, solidariedade, apoio nas horas difíceis, além do grande exemplo de profissionalismo, muito obrigada!

Ao Dr. Antonio Carlos de Ávila, pelo apoio, confiança e orientação.

À universidade Federal de Brasília, especialmente ao Departamento de Fitopatologia pela oportunidade de realizar o curso de Mestrado.

A todos os professores do departamento de fitopatologia, pelos ensinamentos e disponibilidade.

A Embrapa Hortaliças por disponibilizar suas instalações para execução deste trabalho e aos pesquisadores Dr. Paulo de Melo, Dra. Nirlene Junqueira Vilela pelo auxílio e atenção.

Ao CNPq pelo suporte financeiro para andamento desse trabalho.

A todos os amigos do mestrado, cujos caminhos se cruzaram diante de um ideal comum, sempre soubemos conviver e nos respeitar, ainda que nem sempre compartilhássemos as mesmas idéias, empreendemos muitas lutas juntos e muitas ainda nos aguardam talvez em trilhas diferentes: Anelise, Keize, Cristiane, Leonardo A., Silvia, Eliane, Leonardo M., Leonardo L., Magno, Gisele, Sebastião, Ana Paula, Jaqueline, Paulo, Uéllen, Leandro, Rafael, Marcelo, Bruno.

Ao funcionário da Embrapa Hortaliças, e acima de tudo um grande amigo, Lúcio Flávio, obrigada por todo apoio, ensinamento e amizade.

Aos funcionários da Embrapa Hortaliças, Oneilson e Hamilton por todo apoio concedido na realização deste trabalho.

Aos colegas e amigos dos laboratórios de Virologia e Biologia Molecular, Anelise, Cristiane, Edimércia, Érico, Fabrício, Filipe, Juliano, Leonardo, Lindolfo, Mariana H., Mariana M., Paulo, Pedro Paulo, Rita, Sarah, Silvia, Vinícius, pela alegre convivência, apoio e companheirismo.

Em especial a grande amiga, Rita de Cássia Pereira, pela amizade sólida e verdadeira, pela nossa alegre e tranqüila convivência, pela energia positiva e pelo carinho.

A minha família, meu porto seguro, que sempre me apoio, me incentivou, bateu palmas quando tinha que bater e puxou a orelha quando tinha que puxar muito obrigada!
A todos os meus amigos que sempre me incentivaram.

“As maiores desgraças que se aproximam silenciosamente de nosso planeta são a ignorância e a opressão, e não a ciência, a tecnologia e a indústria, cujos instrumentos, quando manejados corretamente, são indispensáveis na resolução de grandes problemas mundiais, como a superpopulação, a fome e as doenças, permitindo um futuro moldado pela humanidade, por si e para si mesma.”

Parágrafo último do “apelo de Heidelberg”, Rio- 92.

“O que importa na vida não é o ponto de partida, mas a caminhada. Caminhando e semeando, no fim terás o que colher.”

(Cora Coralina)

Sumário

PREFÁCIO.....	1
DEDICATÓRIA.....	2
AGRADECIMENTOS.....	3
SUMÁRIO.....	6
RESUMO.....	9
ABSTRAT.....	12
INTRODUÇÃO GERAL.....	14
REVISÃO DE LITERATURA.....	18
1-cultura	18
1.2-Fitossanidade e degenerescência da batata- semente.....	19
2- PVY – <i>Potato virus Y</i>	21
2.1-Características gerais.....	21
2.2 - Composição e organização genômica.....	24
2.3- Sintomas.....	27
2.4-Transmissão.....	28
2.5-Estirpes e subgrupos do PVY.....	28
2.5.1- <i>Potato virus Y</i> - PVY ^O (“ordinary strain”).....	29
2.5.2- <i>Potato virus Y</i> - PVY ^N (necrotic strain)	30
2.5.3- <i>Potato vírus Y</i> -PVY ^C (Common).....	31
2.6-Subgrupo Necrótico.....	31
2.6.1- <i>Potato virus Y</i> - PVY ^{N:O} (PVY ^{NW}).....	31
2.6.2- <i>Potato virus Y</i> - PVY ^{NTN} (necrotic tuber necrosis).....	32
2.7- Ocorrência de recombinação em PVY.....	35
2.8- Identificação específica de estirpes de PVY.....	36
Material e métodos.....	40
1- Identificação e manutenção dos isolados de Potyvirus.....	40
2- Testes sorológicos.....	40
3-Purificação Biológica.....	41
4-Comparação de patogenicidade em diferentes variedades de batatas.....	42
5- Purificação de partículas dos isolados virais.....	43

6- Extração de RNA Viral.....	44
7- Síntese dos oligonucleotídeos	44
8-Síntese de cDNAs e amplificação do genoma viral via PCR.....	47
9-Preparo de células bacterianas competentes para clonagem.....	49
10- Clonagem do genoma completo dos isolados de PVY.....	50
11-Extração de DNA plasmidial em pequena escala (mini-prep) e digestão.....	52
12- Seqüenciamento e análise das seqüências.....	54
Resultados.....	55
1-Teste sorológico.....	55
1.2-Purificação Biológica.....	56
2-Comparação de patogenicidade em diferentes variedades de batatas.....	58
3- Sínteses dos oligonucleotídeos.....	64
4- Síntese de cDNAs e amplificação do genoma viral via PCR.....	66
5- Clonagem do genoma completo dos isolados de PVY.....	67
6- Seqüenciamento e Analise das seqüências.....	68
6.1- Comparação da sequência de nucleotídeos da região 5'UTR.....	70
6.2- Alinhamento múltiplo dos nucleotídeos da região 5'UTR.....	72
6.3- Comparação da sequência de nucleotídeos da região P1.....	73
6.4- Alinhamento múltiplo dos nucleotídeos da região P1.....	74
6.5- Comparação da sequência de nucleotídeos da região HC-PRO.....	75
6.6- Alinhamento múltiplo dos nucleotídeos da região HC-PRO.....	76
6.7- Comparação da sequência de nucleotídeos da região P3 e CI.....	77
6.8- Alinhamento multiplo dos nucleotideos da região P3 e CI.....	79
6.9-Comparação da sequência de nucleotídeos da região 6K1 e 6K2.....	79
6.9.10-O alinhamento multiplo de nucleotídeos da região 6K1 e 6K2.....	82
6.9.11-Comparação da sequência de nucleotídeos da região VPg.....	83
6.9.12-O alinhamento múltiplo de nucleotídeos da região VPg.....	84
6.9.13-Comparação da sequência de nucleotídeos da região Nia.....	84
6.9.14 - Alinhamento múltiplo de nucleotídeos da região Nia.....	86
6.9.15-Comparação da sequência de nucleotídeos da região Nib.....	86
6.9.16- O alinhamento múltiplo nucleotídeos da região Nib.....	87
6.9.17-Comparação da sequência de nucleotídeos da região CP.....	88
6.9.18-O alinhamento múltiplo de nucleotídeos da região CP.....	89

6.9.19-Comparação da sequência de nucleotídeos da região 3'UTR.....	90
6.9.20-O alinhamento múltiplo de nucleotídeos da região 3'UTR.....	90
Discussão.....	90
Referência bibliográfica.....	98
Anexo.....	113

Resumo

Caracterização biológica e molecular do complexo Potato virus Y (PVY) infectando plantas de batata de distintas regiões produtoras do Brasil.

A batata (*Solanum tuberosum*) é um dos alimentos mais consumidos no mundo, depois do arroz, trigo e milho. Sua produção pode ser afetada por fatores bióticos e abióticos, sendo que, em relação aos patógenos, os vírus se encontram entre os mais importantes causando rápida degenerescência dos tubérculos, após multiplicação em campo. O vírus *Potato Vírus Y* (PVY) espécie-tipo do gênero *Potyvirus* tem sido o principal vírus da cultura nos últimos anos. O complexo PVY é formado por várias estirpes que atacam a batateira como: PVY^O (grupo comum), PVY^N (grupo necrótico) e PVY^C , sendo essa última ainda não encontrado na Brasil. Ainda existe o sub-grupo necrótico, PVY^{N:O} que causa necrose de nervura em fumo e pode ou não causar necrose em tubérculos de batata. Outro membro do subgrupo necrótico é o PVY^{NTN}, que induz além de mosaico nas folhas, sintomas de anéis em tubérculos. Atualmente, o PVY^{NTN} é o principal vírus ocorrendo em batateira no Brasil e em várias partes do mundo. No Brasil já foram relatados isolados apresentando características bio-sorológicas diferentes, porém, não há dados na literatura sobre suas características moleculares. Devido a esse desconhecimento da diversidade do complexo do PVY no Brasil, neste trabalho foram realizados estudos comparativos, biológicos e moleculares, entre duas estirpes classificadas como PVY^N e PVY^O e dois isolados do subgrupo necrótico PVY^{NTN}. Esses isolados foram coletados em diferentes regiões produtoras do país sendo designados ITA (Itapetininga-SP), VGS (Vargem Grande do Sul-MG) OBR (região Centro-Oeste) e NBR (região Centro-Oeste). O primeiro passo realizado foi à purificação biológica dos isolados através de diluições seriadas do inóculo, sendo posteriormente, conduzido um estudo de avaliação dos sintomas em oito variedades de

batata. Todos os isolados causaram sintomas de mosaico e deformação foliar nas plantas variando em sua intensidade. Em geral, o PVY^O (isolado OBR) induziu necrose de nervuras e mosaico, o PVY^N (NBR) encurtamento do pecíolo e leve deformação foliar e os isolados de PVY^{NTN} (ITA e VGS) mosaico, deformação foliar e sintomas de anéis nos tubérculos. O isolado VGS, PVY^{NTN}, induziu também sintomas de intensa deformação foliar (topo-crespo ou bouquet) nas variedades Canoinhas, Monalisa e Mondial. Já no estudo molecular foi realizado o sequenciamento de vários genes e regiões não-codantes dos isolados, sendo que o sequenciamento completo dos quatro isolados encontra-se em fase de conclusão. Os resultados das comparações de identidades de nucleotídeos das regiões genômicas seqüenciadas e dos grupamentos obtidos a partir das árvores filogenéticas produzidas, permitem concluir até o momento, que os isolados brasileiros apresentam relacionamento filogenético com isolados americanos e com isolados europeus. O compartilhamento de seqüências desses dois grupos geograficamente distintos pode estar relacionado à importação histórica de batata semente pelo Brasil de países dos dois continentes. Ficou evidente que os isolados do subgrupo PVY^{NTN} possuem seu genoma constituído por uma mistura de segmentos genômicos com traços de PVY^N e PVY^O. Também foi observado que as regiões do genoma que formam a 5'UTR, 6K1, 6K2, CP e 3' UTR parece não estarem correlacionadas com a expressão de sintomas. Por outro lado, as regiões VPg, NIa e NIb, podem ser responsáveis pela indução de sintomas de necrose em tubérculos de batata com maior frequência nos isolados PVY^{NTN}, quando comparados com isolados do subgrupo PVY^{N:O}. No entanto, a variabilidade encontrada indica a região P1 com maior potencial para ser empregada no estudo de expressão de sintomas. Porém, somente com a conclusão do sequenciamento completo do genoma dos isolados brasileiros, possibilitando a localização de eventos de seleção e possível recombinação

nas proteínas virais e regiões reguladoras permitirá obtermos conclusões sobre a evolução do complexo PVY no país. Essas comparações poderão contribuir para a elucidação das diferenças entre isolados brasileiros e aqueles provenientes de outros países e para o entendimento dos fatores que levam o PVY a produzir variantes. O conhecimento da diversidade de isolados do complexo PVY no Brasil, sem dúvida contribuirá para o estudo epidemiológico dessa virose, assim como, para o estabelecimento de métodos de manejo das infecções virais por estirpes de PVY em condições de campo.

Abstract

Biological and molecular characterization of the complex *Potato virus Y* (PVY) infecting potato plants of different producing regions of Brazil.

Potato (*Solanum tuberosum*) is one of the most consumed foods in the world, next to rice, wheat and maize. The production can be affected by biotic and abiotic factors. Viruses are one of most important pathogens because it can cause rapid degeneration of the tubers, after multiplication in the field. PVY has been the main virus species causing severe losses in potatoes in the last six years. The PVY strains infecting potato are: PVY^O (ordinary group), PVY^N (necrotic group) and PVY^C, this last strain has not yet been found in Brazil. There is the sub-group necrotic, PVY^N, which causes necrosis when inoculated in tobacco plants and may or may not cause necrosis in potato tubers. The other member of the subgroup is the necrotic PVY^{NTN}, which induces mosaic on the leaves and necrotic ringspot in potato tubers. In Brazil PVY^{NTN} was isolated presenting different biological and serological features, but no molecular characteristics has been published. Because of this lack study in the PVY complex in Brazil, this work carried out comparative studies, of molecular and biological characteristics, between two strains, a PVY^N and a PVY^O (denoted OBR - Center-West region) e NBR (denoted OBR also from Center-West region of Brazil) two isolates of the subgroup PVY^{NTN}. Denoted ITA (Itapetininga-SP), VGS (Vargem Grande do Sul-MG). For the biological studies an assessment of symptoms in eight varieties of potatoes was made. All isolates caused symptoms of mosaic and leaf deformation on plants varying in its intensity. In general, the PVY^O induced veinal necrosis and mosaic, the PVY^N shortening of the leaf petiole and mild deformation and PVY^{NTN} caused mosaic, leaf deformation and necrotic rings in the tubers. The VGS isolate PVY^{NTN},

also induced symptoms of intense leaf deformation (bouquet) in the potato varieties Canoinhas, Monalisa and Mondial. In the molecular study the sequencing of several protein isolates was performed and the complete sequencing of four isolated is being completed. Based on the results obtained we can conclude so far, that the Brazilians isolates shared phylogenetic relationships with Americans and Europeans isolates, probably as a consequence of seed potato imports from these countries that allowed virus introduction in Brazilian potatoes fields. The genome of the isolates belonging to the subgroup of PVY^{NTN} consists of a mixture of segments present in PVY^N and PVY^O genomes. We also observed that the protein regions 5'UTR, 6K1, 6K2, VPg, NIa, NIb, CP AND 3 'UTR are not correlated with the expression of symptoms, and that regions VPg, NIa and NIb, may be responsible for induction of symptoms of necrosis in potato tubers, more frequently in the isolate PVY^{NTN} when compared with isolate from the subgroup PVY^N. The region P1 seems to be a putative candidate to study the expression of symptoms. More will be needed to complete the sequencing of the genome of the PVY strains to determine the selection pressure for protein mutation and virus recombination and thereby determine their roles and understand their biological role in the field. The elucidation of biological and molecular characteristics of PVY variants can provide better strategies and establish methods of management of viral infection under field conditions.

Introdução Geral

A batata (*Solanum tuberosum*) é originária da América Latina no século XVI foi introduzida na Europa por colonizadores espanhóis como planta ornamental, tornando-se um alimento de grande importância para os europeus. No ano de 1620 chegou à América do Norte onde se tornou um alimento popular (ABBA, 2005). Com o processo de colonização realizado pela Inglaterra, a cultura foi disseminada para as regiões tropicais e subtropicais do planeta, tornando-se a base da alimentação de muitos povos (Figueira, 2000). É o cultivo que produz mais energia e proteína por hectare por dia, o que torna a cultura uma ótima alternativa para aumentar a produção de alimentos nos países em desenvolvimento (Hidalgo, 1985).

O Brasil detém o 19º lugar em produção total e em área plantada, com 3,1 milhões de toneladas por ano em uma área de 150 mil hectares, com uma produtividade média de 20,94 t/ha (Agriannual, 2005). Na América do Sul o Brasil é o maior produtor, com cerca de 1% da produção mundial (FAO, 2007). O país produziu no ano de 2007 3.390,466 t (IBGE, 2008).

O cultivo da batata no país é feito basicamente com a utilização de cultivares importadas, principalmente do Canadá e da Holanda. Essas batatas- sementes, provenientes desses e de outros países, geralmente apresentam boas qualidades fitossanitárias, porém, às vezes, constituem um problema para cultura em termos agronômicos, pois podem aumentar a possibilidade da introdução e disseminação de patógenos que podem ser transmitidas pelo tubérculo (Cardoso e Guglielmelli Fº, 1982; Souza-Dias, 1996).

Os principais problemas fitossanitários da batata são causados por vírus (Filgueira, 2000). Contribuem para isso fatores como o elevado potencial de inóculo

representado por plantas hospedeiras, cultivadas ou de vegetação espontânea, presença de população de vetores praticamente todo o ano, dificuldade de reconhecimento de sintomas primários e batatas-sementes infectadas, entre outros.

Até meados de 1995, o vírus *Potato leafroll vírus* (PLRV), era considerado o principal responsável por perdas na cultura da batata no Brasil. Entretanto um isolado do *Potato virus Y* (PVY), com rápida disseminação em campo, mudou esse quadro e o PVY passou a ser uma das principais causas de condenação e reclassificação da batata-semente nos estados produtores (Figueira *et al.*, 1996).

A família *Potyviridae* é a mais importante família de vírus de planta conhecida, causando doenças em diversas culturas. Essa família possui seis gêneros, divididos de acordo com vetor de transmissão, gama de hospedeiros e organização genômica: *Ipomovirus*, *Macluravirus*, *Rymovirus*, *Tritimovirus*, *Bymovirus*, e *Potyvirus*, (Fauquet *et al.*, 2005; Adams *et al.*, 2005).

O gênero *Potyvirus* é o maior e o mais importante gênero dentro da família, infectando uma ampla variedade de plantas, tanto monocotiledôneas como dicotiledôneas. O gênero é constituído por vírus transmitidos por afídeos e que possuem apenas um componente genômico. A espécie tipo do gênero é o *Potato virus Y* (PVY), importante patógeno na cultura da batata (Van Regenmortel *et al.*, 2000).

O PVY apresenta partículas flexuosas, variando de 680 a 900 nm, de comprimento entre 11 a 13nm de diâmetro (Edwardson *et al.*, 1984; Murphy *et al.*, 1995). As partículas são compostas por de RNA de fita simples de senso positivo com uma única fase de leitura (OPEN READING FRAME-ORF) que é traduzida em uma poliproteína de 340-370 kDa (Matthews, 1979, Adams *et al.*, 2005). Na região 3' terminal apresenta uma cauda poliadenilada poli(A) e na 5' terminal uma proteína VPg. A poliproteína é processada por três proteinases virais, NIa, P1 e HC-Pro, em 10

proteínas: a proteína N terminal (P1), a proteinase componente auxiliar (HC-Pro), a proteína P3, a proteína inclusão citoplasmática (CI), duas proteínas de inclusão nuclear (NIa e NIb), duas proteínas pequenas (6K1 e 6K2) e a proteína do capsídeo viral (CP) (Urcuqui-Inchima *et al.*, 2001; Adams *et al.*, 2005).

Os sintomas induzidos por PVY variam com o genótipo e a idade do hospedeiro, a estirpe e a concentração do vírus, além de fatores ambientais, como a temperatura, podendo variar desde infecção latente até necrose pronunciada de folhas e morte de suas hospedeiras (Le Romancer & Nedellec, 1997). As estirpes de PVY que infectam a batata, segundo critérios biológicos e sorológicos (De Bokx & Huttinga, 1981) são PVY⁰ (grupo comum) que causa mosaico leve em plantas de fumo (*Nicotiana tabacum*) e sintomas que variam de fracos a severos em batatas, PVY^C provoca uma resposta de hipersensibilidade em cultivares de batatas que possuem o gene *Nc*, causando necrose e PVY^N (grupo necrótico), que induz necrose de nervura em fumo e em batata provoca sintomas variáveis de mosaico (Weidemann, 1988; Souza-Dias, 1996; Figueira, 1999).

Observa-se também a ocorrência de subgrupos, como o PVY^{N:O} e o PVY^{NTN} (Nie & Singh, 2003). Entre os subgrupos, o PVY^{NTN}, vem causando sérios prejuízos para os produtores de batatas em todo o mundo, principalmente pelos danos causados nos tubérculos (Nie *et al.*, 2004). Souza-Dias (1996) foi quem primeiro que alertou para o perigo da introdução dessa variante no país através de importação de batata-semente.

O PVY^{NTN} induz um mosaico severo em plantas de batatas, com folíolos apicais apresentando-se ondulados. Além disso, esses isolados podem induzir necroses superficiais em tubérculos de algumas variedades de batata. Essas necroses geralmente adquirem forma de anéis, números ou letras na superfície dos tubérculos. (Jeffries, 1998; Sousa-Dias, 2001). Já o PVY^{N:O} provoca necroses de nervura em plantas de fumo,

e também podem causar necrose nos tubérculos de batata. (Nie *et al.*, 2004; Piche *et al.*; 2004).

A região da capa protéica, por possuir epitopos espécies-específicos, é a responsável pelas características sorológicas dos vírus (Shukla & Ward, 1989a;b; Cerovská *et al.*; 1999; Oununa *et al.*; 2002). Mas o uso de anticorpos baseados na capa protéica de PVY não possibilita a diferenciação entre estípes e os subgrupos do PVY, isso se deve a uma diferença que ocorre na região do epitopo. Por esse motivo, novas técnicas de identificação vêm surgindo, principalmente com o uso da biologia molecular.

Devido ao desconhecimento da diversidade do complexo PVY no Brasil, este trabalho teve como objetivo desenvolver estudos comparativos biológicos e moleculares entre as estípes de PVY na cultura da batata, contribuindo para o monitoramento da diversidade, disseminação e predominância das diversas estípes em condições de campo no Brasil. Para realização desse estudo foram selecionados quatro isolados preliminarmente detectados através de anti-soros policlonais, purificados biologicamente via sucessivas diluições de inóculo e identificados através de RT-PCR com primers específicos. O genoma completo dos quatro isolados foi clonado e parcialmente seqüenciado, as seqüências foram analisadas filogeneticamente sendo feito um estudo de identidade entre as estípes e os subgrupos.

Revisão de literatura

1-A cultura

A batata (*Solanum tuberosum L.*) é originária das regiões andinas da América do Sul, como Peru, Colômbia, Bolívia, Chile e Equador. Nos Andes a bataticultura tem sido praticada pelos indígenas nos últimos oito milênios, havendo oito espécies botânicas cultivadas e mais de 200 espécies tuberíferas silvestres. A cultura foi introduzida na Europa em 1570, após a conquista do império inca pelos espanhóis, de onde foi disseminada para todo o continente, principalmente para Inglaterra, originando-se daí o nome popular batata-inglesa (Filgueira, 2003).

A batata ocupa o quarto lugar entre os alimentos consumidos no mundo, sendo superada apenas pelo trigo, milho e arroz (IBGE, 2008). A produção mundial em 2006 foi de 314.37 milhões de toneladas, sendo a China o maior produtor, contribuindo com 703.38 t (FAO, 2008).

Na América do Sul os principais produtores de batata são o Peru, Brasil e Colômbia (FAO, 2008). Na América Latina, o Brasil ocupa o segundo lugar na produção, com uma safra no ano de 2007 de 3.390,466 t (IBGE, 2008). Os maiores estados produtores são Minas Gerais, São Paulo, Paraná, Rio Grande do Sul e Bahia. O estado de Minas Gerais e o estado de São Paulo, em porcentagem de área plantada, detêm o melhor nível tecnológico e com isso a melhor produtividade e qualidade dos tubérculos do país (Grando, 2002). Minas Gerais produziu uma safra de 993.996t em 36.837ha em 2006, já o estado de São Paulo produziu 726.960t em 32.070ha (IBGE, 2008).

No Brasil a batata é cultivada em três safras distintas, conhecida como “das águas”, “da seca” e “de inverno”. A safra das águas ocorre no período de agosto a

dezembro principalmente com os plantios nos estados do Rio Grande do Sul, Santa Catarina, Paraná, Minas Gerais e São Paulo. Entre as três safras, essa é a que ocupa a maior área, que varia de 110 a 120 mil hectares. Já a safra da seca, ocorre no período que vai de dezembro a abril e o seu plantio é feito principalmente nos estados Rio Grande do Sul, Santa Catarina, Paraná, Minas Gerais e São Paulo, ocupando uma área de 50 a 65 mil hectares. A safra de inverno ocorre entre abril a julho, ocupando uma área de 18 a 25 mil hectares, ocorrendo principalmente nos estados do Espírito Santo, Minas Gerais e São Paulo (FAO, 2008).

1.2-Fitossanidade e degenerescência da batata-semente

Muitas doenças podem afetar a cultura, tanto de origem biótica como abiótica. Mais de 70 doenças bióticas têm sido relatadas, dentre as quais, pelo menos 40 são causadas por vírus (Figueira, 1999). Entre os vírus o *Potato virus Y* (PVY) é considerado hoje o vírus que causa mais danos econômicos para a cultura da batata em quase todo o mundo. O surgimento de subgrupos necróticos contribuiu para esse aumento de infecção de PVY em todo o mundo, possivelmente através do uso de batata-semente contaminada (Singh, *et al.*, 2007).

As viroses causam a redução da produtividade da cultura da batata, promovendo a degenerescência da batata-semente, com as sucessivas multiplicações. Isto ocorre devido ao acúmulo de vírus nos tubérculos, fazendo com que esses originem plantas cada vez menos produtivas, podendo inviabilizar a cultura (Câmara, Cupertino e Filgueira, 1986, Silva, 1987).

As viroses podem ser agrupadas em mosaicos leves e latentes (*Potato virus A*, *Potato virus X*, *Potato virus M* e *Potato virus S*), e mosaicos severos (*Potato virus Y*)

(Filgueira, 1982). Alguns vírus podem levar à redução de peso e número de tubérculos, e até a morte da planta em infecções mais severas.

Entre as viroses causadoras de degenerescência da batata-semente, as de maior importância econômica são as transmitidas por afídeos (Puttemans, 1934; Slack, 1993; Souza-Dias & Iamauti, 2005). No Brasil, até a década de 1980 o *Potato leafroll virus* (PLRV) era o principal responsável por perdas nos campos. A partir da década de 1990, o PVY passou a ser o principal agente relacionado à degenerescência da batata-semente no país (Souza-Dias, 1995; Figueira *et al.*, 1996; 1999).

No Brasil, houve a necessidade de se estabelecer um programa de certificação de batata-semente a partir da década de 1930, quando foi verificada a importância das moléstias causadoras de degenerescência. A produção nacional de batata semente não é suficiente para atender a demanda dos produtores. Dessa forma, o estoque básico de batata-semente nacional sempre foi suprido pela importação anual desse insumo, chegando a gastos de divisas equivalentes a 15 ou 20 milhões de dólares durante a década de 80, com importação de quase 500 mil caixas de 30 kg por ano (Sousa-Dias, 2000a).

A qualidade fitossanitária da batata-semente é um fator fundamental para garantir a produtividade da cultura. Uma batata-semente de baixa qualidade pode comprometer toda uma safra, mesmo que todas as outras condições estejam favoráveis ao cultivo. Portanto, para o sucesso do cultivo, é preciso a utilização de uma batata-semente de boa sanidade, estado fisiológico e brotação adequada (Furomoto & Lopes, 1997).

O processo de produção da batata-semente visa à multiplicação de sementes livres de vírus e de outras doenças que possam ser transmitidas por tubérculo, até atingir um nível compatível com o custo e demanda do mercado, sendo que, em cada geração, a

qualidade vai diminuindo devido à degenerescência fisiológica e fitopatológica (Hirano, 1987).

A produção de batata-semente no Brasil iniciou-se na Cooperativa de Cotia no final da década de 1950, com a multiplicação da batata-semente importada da Europa. Apartir da década de 1970 houve um aumento na produção da batata-semente no país (Hirano, 1987). Nessa década o Brasil importava mais de 500.000 caixas de batata-semente certificada da Europa. O governo acabou lançando um plano para reduzir a importação. Com isso a Embrapa lançou a produção de batata-semente através da biotecnologia. Com uso da biotecnologia, nas décadas de 1980 e 1990, foram produzidos 25% da necessidade nacional de batata-semente básica (Hirano, 2002).

A região sul é a área mais importante na produção de batata-semente no país, chegando a ser responsável por 60% da batata-semente produzida no país, mas com o crescimento em outros estados, esse número caiu para 20% da produção total (Pereira & Daniels, 2003). O país tem importado anualmente, em torno de 2,126 mil toneladas de batata semente, principalmente dos países Baixos, Chile e Canadá (Agrianual, 2005).

2- Vírus Y da batata (PVY – *Potato virus Y*)

2.1-Características gerais

O PVY foi descrito pela primeira vez na Inglaterra por Smith em 1931 (De Bokx e Huttinga, 1981; Brunt *et al.*, 1996). Este vírus é um importante patógeno das solanáceas, principalmente batata, pimentão, tomate e fumo (De Bokx e Huttinga, 1981; Glais, *et al.*, 2001). Pertence ao gênero *Potyvirus*, família *Potyviridae*, e são transmitidos na natureza por diferentes afídeos vetores (Shukla, *et al.*, 1994). O PVY é a espécie-tipo da família *Potyviridae* (Fauquet *et al.*, 2005).

A família *Potyviridae* é considerada uma das maiores e mais importantes grupos de fitovírus do ponto de vista econômico, contribuindo com 20% de todos os vírus de plantas conhecidos (Brunt *et al.*, 1996; Van Regenmortel *et al.*, 2000; Fauquet *et al.*, 2005). A denominação para a família *Potyviridae* recentemente englobou o grupo potyvirus. Esse grupo taxonômico é composto pelo PVY, proposto por Brandes & Wetter (1959). O Comitê Internacional de Nomenclatura de Vírus, renomeado em 1973 de *International Committee on Taxonomy of Viruses* (ICTV), reconheceu a formação do grupo *Potyvirus* e mais 15 outros grupos, no ano 1971 (Harrison *et al.*, 1971). De acordo com último relatório do ICTV a família *Potyviridae* é constituída por aproximadamente 220 espécies, que são divididas em seis gêneros (Fauquet *et al.*, 2005).

A classificação dos seis gêneros da família *Potyviridae*, *Ipomovirus*, *Macluravirus*, *Rymovirus*, *Tritimovirus*, *Bymovirus*, e *Potyvirus*, baseia-se no tipo de vetor envolvido na transmissão, organização genômica e gama de hospedeiros (Fauquet *et al.*, 2005). A patologia causada pelos membros da família *Potyviridae* pode variar envolvendo a manifestação de uma série de sintomas, que incluem mosaico, mosqueado, clorose, necrose, deformações, infecção latente (Shukla *et al.*, 1994).

Os membros do gênero *Ipomovirus*, que tem como espécie-tipo *Sweet potato mild mottle virus* (SPMMV), são transmitidos por mosca-branca. Já os membros do gênero *Macluravirus*, espécie-tipo *Maclura mosaic virus* (MacMV), são transmitidos por afídeos. No gênero *Rymovirus*, espécie-tipo *Ryegrass mosaic virus* (RGMV). A transmissão é feita por ácaros do gênero *Abacarus*. O gênero *Tritimovirus*, espécie-tipo *Wheat streak mosaic virus* (WSMV), inclui espécies restritas à família *Gramineae*, porém, sua transmissão é feita por ácaros do gênero *Aceria*. O gênero *Bymovirus*, espécie-tipo *Barley yellow mosaic virus* (BaYMV), é o único que possui genoma de RNA bisegmentado, com transmissão feita por fungos a gramíneas (Adams *et al.*, 2005a ; Fauquet *et al.*, 2005).

Os membros da família *Potyviridae* induzem no citoplasma das células infectadas, corpos de inclusão viral do tipo cata-vento, (Figura-1), (Edwardson et al., 1984; Murphy et al., 1995). Outro tipo de inclusão encontrada em muitas plantas infectadas por potyvírus são as inclusões nucleares cristalinas (NI). Essa inclusão é composta por duas proteínas não estruturais, a *inclusão nuclear a* (NIa) e *inclusão nuclear b* (NIb). Acredita-se que essa inclusão é um resultado da produção excessiva das proteínas NIa e NIb (Knuhtsen et al., 1974, Urcuqui-Inchima et al., 2001). O genoma dos *Potyvirus* é constituído de uma molécula de fita simples de RNA de polaridade positiva (Riechmann et al., 1992).

Os critérios adotados para demarcação de espécies, como gama de hospedeiro, sintomatologia, morfologia das inclusões citoplasmáticas e sorologia, constituíram durante vários anos os principais critérios para classificação de espécies e estirpes de potyvírus. Apesar dessas características desempenharem um papel significativo na determinação do relacionamento taxonômico entre muitos potyvírus, elas por si só não fornecem uma solução adequada para a identificação de espécies e estirpes no gênero como um todo, devido à intensa variação biológica e antigênica que existe entre os membros do gênero (Shukla et al., 1994). Hoje em dia uns dos principais critérios para designação de novas espécies para o gênero potyvírus são aqueles adotados pelo Comitê Internacional de Taxonomia de Vírus (ICTV), que determina a comparação da sequência de aminoácidos capsidial (Berger et al., 2005). Adams et al., (2005) sugerem que a sequência dos nucleotídeos da 3'NTR também pode ser utilizada na classificação. De um modo geral, espécies distintas apresentam identidades entre 38 a 71% para as sequências de aminoácidos da CP, enquanto estirpes de um mesmo vírus apresentam de 90 a 99% de identidade (Ward et al., 1992).

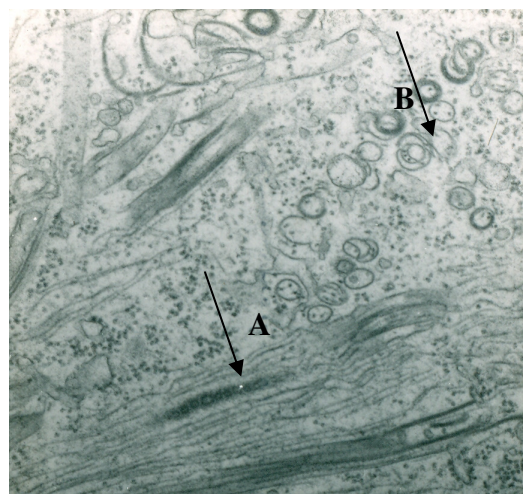


Figura-1- Visualização das partículas filamentosas flexuosas (A) e corpos de inclusão viral do tipo cata-vento (B) em tecido de planta infectada por PVY.

2.2 - Composição e organização genômica

O genoma do PVY é constituído de uma única molécula de RNA com aproximadamente 10 kb, linear, senso positivo, possuindo uma única fase de leitura ORF (*open reading frame*), que é traduzida em uma poliproteína de 340 a 370 kDa . Essa poliproteína é processada por três proteases virais, P1, NIa e HC-Pro em 10 proteínas funcionais: a proteína N-terminal (P1), duas proteínas de inclusão nuclear NIa e NIb, a protease componente auxiliar (HC-Pro), a proteína P3, a proteína inclusão citoplasmática (CI e NIb), duas proteínas pequenas (6K1 e 6K2) e a proteína da capa (CP) (Urcuqui-Inchima *et al.*, 2001; Adams *et al.*, 2005b). O RNA genômico carrega uma proteína de origem viral, a VPg (*viral protein genome-linked*), que é ligada à sua extremidade 5' e uma cauda poli-(A) no final da extremidade 3'. Os únicos produtos protéicos que fazem parte da partícula viral são a VPg e a capa protéica (CP), onde aproximadamente 5% do seu peso é composto de RNA e 95 % de proteína, (Figura-2) (Hollings & Brunt, 1981).

As proteínas codificadas pelos potyvirus parecem ter um caráter multifuncional, pois todas que já tiveram suas funções determinadas atuam em mais de um processo na infecção (Tabela-1). Sua capa protéica pode ser dividida em três regiões: a N-terminal variável, que é encontrada na superfície da molécula, e duas regiões conservadas – a região central com quatro prováveis α -hélices e com 215 a 227 aminoácidos e a região C-terminal, que contém duas α -hélices e três β -strands, com 18 a 20 aminoácidos (Shukla *et al.*, 1988b; Baratova *et al*, 2001).

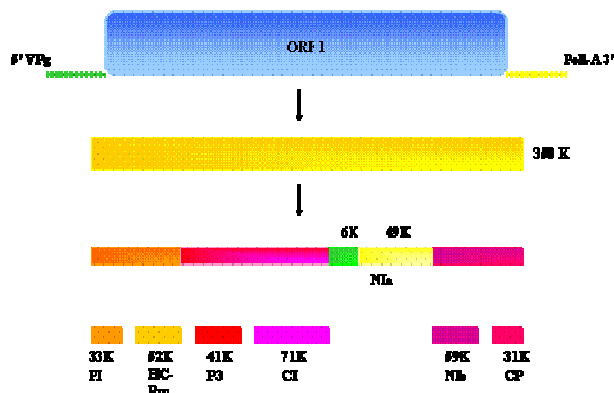


Figura. 2- Esquema da organização genômica do gênero *Potyvirus*, mostrando que o genoma viral é traduzido em uma poliproteína, com a VPg na extremidade 5' e a cauda de poli(A) na extremidade 3' a identificação das proteínas está indicada na Tabela 1 abaixo.

Fonte: evunix.uevora.pt/.../Tulipas_files/image011.gif

Tabela-1: Funções das proteínas codificadas por *Potyvirus*

Proteínas	Peso molecular	Função
P1	32-64 kDa	Protease; Sintomatologia; Movimentação do vírus de célula-a-célula
HC-Pro	56-58 kDa	Transmissão por afídeos; Protease; Movimento sistêmico; Sintomatologia; Supressora de silenciamento gênico.
P3	37 kDa	Patogenicidade; Replicação;
6K1	6 kDa	Função não elucidada
CI	70 kDa	Replicação do genoma; ATPse / RNA helicase; Movimento célula a célula; Transporte do RNA viral através dos plasmodesmas.
6K2	6 kDa	Ligaçao ao complexo viral de replicação do genoma
VPg	21-24 kDa	Proteinase do tipo cisteina; Auxilia na transmissão por afídeos; Movimento célula-célula e possivelmente a longa distância.
NIa	49 kDa	Protease: principal enzima responsável pela clivagem da poliproteína com exceção de P1/HC-Pro e HC-Pro/P3; Interação proteína-proteína.
NIb	58 kDa	Responsável pelo reconhecimento das seqüências regulatórias do RNA viral; Interação com fatores do hospedeiro
CP	28-40 kDa	Encapsidação do RNA; Transmissão por afídeos Movimento sistêmico e célula-a-célula Sintomatologia.

(Adaptado de: Shukla *et al.*, 1994; Anandalakshmi *et al.*, 1998; Urcuqui-Inchima *et al.*, 2001).

A região 5'NTR é uma região não traduzida que possui seqüências responsáveis pela regulação da tradução do genoma viral e também está envolvida na síntese das fitas positivas de RNA a partir da negativa (Basso *et al.*, 1994; Gallie *et al.*, 1995). É uma região que apresenta-se altamente conservada em diversos potyvírus (Simon-Buela *et al.*, 1997). Já a região 3'NTR também não traduzida é responsável pela proteção do RNA, evitando ou atenuando os efeitos da degradação exonucleotídica. O 3'NTR é responsável pelo reconhecimento do RNA genômico viral pelo complexo replicativo, que contém elementos cis que são essenciais para que o complexo replicativo ocorra (Haldem-Cahill *et al.*, 1998; Mahajan *et al.*, 1996).

2.3- Sintomas

Os *Potyvirus* causam uma grande variação de sintomas tanto em espécies hospedeiras experimentais como nas naturais. Dentre os sintomas pode-se observar mosaico, mosqueado, lesões necróticas, clareamento de nervuras, lesões cloróticas, epinastia, mosaico em forma de bolhas, redução da área foliar, além da ocorrência de combinações entre esses sintomas (Shukla *et al.*, 1994).

Os sintomas em plantas de batata dependem da variedade e das condições de fertilidade do solo, temperatura, umidade e principalmente das estirpes do vírus (Hérbrard *et al.*, 1999; Robert & Bourdin, 2001; Souza-Dias & Iamauti, 2005a).

O PVY causa mosaicos geralmente visíveis em folhas novas, sendo que esses sintomas geralmente começam nas nervuras (De Boxx *et al.*, 1996; Ellis *et al.*, 1997). Os sintomas são mais visíveis em plantas com crescimento ativo e diminuem de intensidade quando as plantas cessam o crescimento (Salazar, 1996; Llave *et al.*, 1999).

2.4-Transmissão

A transmissão do PVY é feita por de diferentes espécies de pulgões da família *Aphididae*, principalmente pela espécie *Myzus persicae*, o qual pode ser encontrado durante todo o ano no Brasil. Na transmissão, o vírus se mantém ligado apenas ao aparelho bucal dos insetos, ou seja, a transmissão é do tipo não-persistente, diferenciando-se de outros vírus que necessitam circular no corpo do vetor, até serem depositados nas glândulas salivares via hemolifa (Peters, 1987). Os vetores virulíferos permanecem infectivos por menos que 1 a 4 horas, não havendo evidências para a existência de período latente entre a aquisição e a transmissão, nem da multiplicação do vírus no vetor (Govier & Kassanis, 1974).

Os potyvirus podem também ser transmitidos através de inoculação mecânica a partir de extratos de plantas infectadas e alguns deles são transmitidos por sementes (Barnett *et al.*, 1998). Todos os potyvirus requerem um “helper factor” para ser transmitido por afídeos (Govier & Kassanis, 1974). Esse fator é constituído por material protéico codificado pelo genoma viral e tem a função de ligar a partícula do vírus no aparelho bucal do vetor (Amman *et al.*, 1994).

2.5-Estirpes e subgrupos do PVY

Entre os membros que compõem a espécie PVY existem variações biológicas e moleculares constituindo variantes classificadas como estirpes e subgrupos. As estirpes e os subgrupos de PVY foram identificados de acordo com características biológicas (sintomatologia e quebra de resistência de seus hospedeiros), propriedades sorológicas e dados moleculares. As estirpes que causam infecção em batata são, PVY^O, PVY^N, PVY^C (Le Romancer *et al.*, 1994) e o PVY^Z (Beczner *et al.*, 1984; Blanco-Urgoiti *et al.*, 1998; Jones, 1990). Já os subgrupos conhecidos são o PVY^{NTN} e o PVY^{N:O}.

Através de anticorpos monoclonais, o PVY pode ser separado em dois grupos sorológicos, o PVY^{O, C} (PVY^O sorotipo C) que inclui o PVY^O, PVY^C, PVY^Z e o PVY^{NW} (este subgrupo é designado como PVY^{N:O} na América do Norte) (Nie & Singh, 2003) e o outro grupo denominado PVY^N sorotipo N, que inclui o PNY^N e o PVY^{NTN} (Ali *et al.*, 2007).

As variantes necróticas foram relatadas na década de 80 na Europa (Moravec., *et al.*, 2003). Hoje são conhecidos como subgrupos necróticos o PVY^{N:O} e PVY^{NTN}. De acordo com Singh *et al.*, (2006) novos recombinantes do subgrupo PVY^{NTN} parecem surgir em outras partes do mundo.

2.5.1-Potato virus Y- PVY^O (“ordinary strain”)

Essa estirpe encontra-se disseminada em todo o mundo, sendo predominante na América do Norte (Banttari *et al.*, 1993). O PVY^O foi encontrado no Brasil pela primeira vez por em 1939 por Silbeschmidt *et al.* (1941). Hoje é encontrada em todos os estados produtores de batatas (Sousa-Dias, 2001).

O PVY^O causa em plantas de batata necroses em forma de riscas nas nervuras secundárias (face inferior do folíolo) com formato de anéis necróticos de cor marrom escuro, mais comum na parte apical da planta. Além dos sintomas de mosaico, as plantas podem apresentar ainda aspecto de “pinheirinho” causado pelas necroses de pecíolos e queda das folhas mais velhas, além de folhas ressecadas e dependuradas na parte mediana das hastes. Esses sintomas podem ser vistos tanto na infecção primária precoce como na secundária, quando o vírus é perpetuado pela batata-semente (Figura. 3) (De Bokx, 1981).

Quando o PVY^O ocorre em infecção conjunta com PVX, os sintomas da infecção secundária são muito mais severos, mas sempre limitados à parte aérea, conferindo às

folhas um aspecto áspero, enrugado, denominado de mosaico rugoso (Kerlan, 2000; Loebenstein, 2001; Ragsdale *et al.*, 2001).

2.5.2-Potato virus Y- PVY^N (necrotic strain)

Essa estirpe é mais comum na Europa e inclusive na Rússia mas também pode ser encontrada na África e América do Sul (de Bokx, 1981). Na década de 90 ocorreu um surto na América do Norte, mais precisamente no Canadá (Singh *et al.*, 1992; Lacy, 1997). No Brasil foi detectada em lotes de batata-semente oriundos da Argentina (Sousa-Dias, *et al.*, 1992).

Na infecção primária, a planta de batata infectada apresenta anéis ou pontuações necróticas nas folhas apicais (Robert & Bourdin, 2001). Geralmente sintoma de mosaico aparece somente no final do ciclo (Hoa *et al.*, 1991). Às vezes apenas uma haste da planta expressa sintoma, porém, testes com hastes sem sintomas de uma mesma planta (oriunda da mesma batata-semente) mostram a presença do vírus (Singh, 1993; Novy *et al.*, 2002).

Já na infecção secundária, pode-se observar mosaicos e diminuição do tamanho das folhas (Baulcombe *et al.*, 1993). Podem ser observados também, depressão das nervuras nas folhas apicais e redução do crescimento, dependendo das condições climáticas (Sousa-Dias & Iamauti, 2005). A infecção que ocorre no final do ciclo geralmente não se manifesta na folhagem, o vírus é translocado para o tubérculo, onde não causa sintoma algum. Mas há evidências de perdas relacionadas com o aumento do teor de açúcares nos tubérculos de algumas variedades, causando prejuízo no armazenamento (Ragsdale *et al.*, 2001; Robert & Bourdin, 2001).

É importante ressaltar que a letra N seguida ao nome do vírus causa geralmente confusão, pois a letra refere-se à necrose de nervuras em cultivares de plantas-teste de fumo (*N. tabacum*), no entanto, em plantas de batatas é rara a ocorrência de necroses.

2.5.3-Potato vírus Y-PVY^C (Common)

A estirpe PVY^C é encontrada no Brasil, conforme observado em estudos recentes (Daniels, 2000). É encontrada com mais freqüência na Austrália e em algumas regiões da Europa (de Bokx, 1981).

Os sintomas em plantas de batatas são caracterizados por necrose em forma de risca nas folhas, terminando com círculo ou ponto necrótico. As folhas também apresentam mosaico rugoso, semelhante aos da interação de PVY^O com PVX (Brunt & Loebenstein, 2001). As necroses podem causar morte da planta. Geralmente ocorre necrose interna e externa nos tubérculos, sua transmissão geralmente não é feita por pulgões (Valkonen *et al.*, 1995; De Bokx *et al.*, 1996; Bus, 1996; Radcliffe & Ragsdale, 2002). A característica de geralmente não ser transmitida por pulgões a difere da estirpe comum.

2.6-Subgrupo Necrótico

2.6.1- Potato virus Y- PVY^{N:O} (PVY^{NW})

Esse subgrupo foi primeiramente descrito na Polônia e foi denominado como PVY^{N-Wilga} (PVY^{NW}) (Kerlan, *et al.*, 2001). Na América do Norte isolados PVY^{N:O} foram relatados na década de 90 (McDonald & Singh, 1996). Nos últimos anos, isolados dessa estirpe, vem sendo encontrados em várias regiões da América do Norte (Singh *et al.*, 2003). As seqüências parciais do genoma de representantes deste subgrupo mostram

a ocorrência de uma possível recombinação do gene CP com o PVY^O e na proteína P1 com o PVY^N (McDonald *et al.*, 1997; Glais *et al.*, 2002; Singh *et al.*, 2003).

Os resultados das análises moleculares demonstram que o subgrupo surgiu da recombinação entre as estirpes de PVY^O e do PVY^N sendo que, sua identificação, pode ser feita com anticorpo monoclonal contra PVY^O (Xianzhou & Singh, 2003). Com isso, a diferenciação entre o PVY^O e PVY^{N:O} é feita através de sintomatologia e dados moleculares. O PVY^{N:O} causa necrose de nervura em plantas de fumo, que é uma reação biológica característica de PVY^N e podem causar necrose em tubérculos. (Nie *et al.*, 2004; Piche *et al.*; 2004).

2.6.2- *Potato virus Y- PVY^{NTN} (necrotic tuber necrosis)*

O PVY^{NTN} foi descrito na Hungria em 1984 (Beczner *et al.*, 1984). Logo após, foi encontrado em outros países como Alemanha, Dinamarca, França, Bélgica, Áustria, Iugoslávia e também no Oriente Médio (Le Romancer *et al.*, 1994). O país que mais sofreu com o aparecimento dessa variante foi a Eslovênia, onde em três anos, ocorreu uma paralisação comercial da cultivar Igor, que era a mais plantada no país e ocupava quase 60% (18 mil/ha) da área cultivada de batata (Kus, ., 1995). Na América do Norte estudos vêm demonstrando uma grande variabilidade de variantes de PVY^{NTN} que apresentam diferenças patológicas e moleculares (Xianzhou & Singh, 2003; Piche *et al.*, 2004; Sousa-Dias & Sawasaki, 2004).

Sousa-Dias em 1996 foi quem primeiro alertou sobre o perigo da introdução desse novo subgrupo no Brasil, através de tubérculos-semente importados. Nesse alerta chamava-se a atenção para a cultivar Atlantic, devido à alta incidência de PVY que estava sendo constatada nos tubérculos plantados com batata-semente importada dessa cultivar (Souza-Dias *et al.*, 1995; Souza-Dias & Tristão, 1997).

O PVY^{NTN} causa mosaico bastante evidente em plantas de batata, com a ocorrência de folíolos apicais ondulados e de tamanho menor que os de plantas sadias. Ocorrem também necroses superficiais que aparecem nos tubérculos de algumas variedades mais suscetíveis, como por exemplo, Monalisa, Atlantic e Vivaldi. Essas necroses adquirem formas características de anéis, números ou letras na superfície dos tubérculos após colheita e armazenamento (Figura 4) sendo que esses sintomas representam a prova biológica mais evidente e aceita para indicar que se trata do PVY^{NTN} (Sousa-Dias, 2001; Jeffries, 1998; McDonald *et al.*, 1991; Singh, 1992), (Figura. 5). O PVY^{NTN} também tem a capacidade de quebrar a resistência de praticamente todos os genótipos de batata conhecidos como tolerantes ao PVY^N (Van den Heuvel *et al.*, 1994)

Segundo Beemster & De Bakx (1987) na fase inicial da infecção, os sintomas na forma de círculos são salientes na epiderme dos tubérculos, assemelhando-se a um arranhão superficial, seguido da erupção da epiderme. Podem ocorrer também escamações sem rompimento da epiderme no centro das lesões. Esses sintomas manifestam-se nos tubérculos por ocasião da colheita ou logo após o armazenamento. Esses anéis necróticos são sempre visíveis na epiderme dos tubérculos e, portanto, superficiais. Dessa forma, é possível diferenciar esse subgrupo, de outros vírus que causam sintomas de necroses evidentes na superfície, mas também ataca o interior dos tubérculos, tais com: *Tabacco ratle virus* (TRV) ou *Potato mop-top virus* (PMTV).

Vários estudos sobre a manifestação dos sintomas necróticos nos tubérculos demonstram que esses depreciam significativamente a aparência dos tubérculos e seu valor comercial independentemente da coloração da pele avermelhada ou de pele branca (McDonald & Singh, 1996).

A variedade Monalisa, que ocupa mais de 60% de área plantada no Brasil, apresenta lesões nos tubérculos que podem chegar a ocupar mais da metade da superfície. Mesmo apresentando uma alta tolerância a estirpes PVY^O e PVY^N (Sousa-Dias, 2001). Já as variedades Atlantic e Bintje são bem suscetíveis ao PVY comum do PVY, e também, comportam-se como altamente suscetíveis ao PVY^{NTN}. No entanto, a cultivar Atlantic apresenta-se moderadamente sensível a manifestação das necroses na superfície dos tubérculos enquanto Bintje é torelante (McDonald & Singh, 1996).

Não existe até o momento um teste sorológico confiável para a identificação (Van den Heuvel *et al.*, 1994; Nie & Singh, 2003). Os anticorpos policlonais contra PVY existentes hoje detectam todas as estirpes e subgrupos, e, portanto são indicados apenas para monitoramento de infecção de PVY. A distinção mais confiável pode ser feita apenas o nível molecular, como RT-PCR (Singh *et al.*, 1998; Nie & Singh, 2003) com primers específicos para a estirpe. Existem Kits comerciais para a realização da RT-PCR, porém, esses kits apresentam um custo bastante elevado.

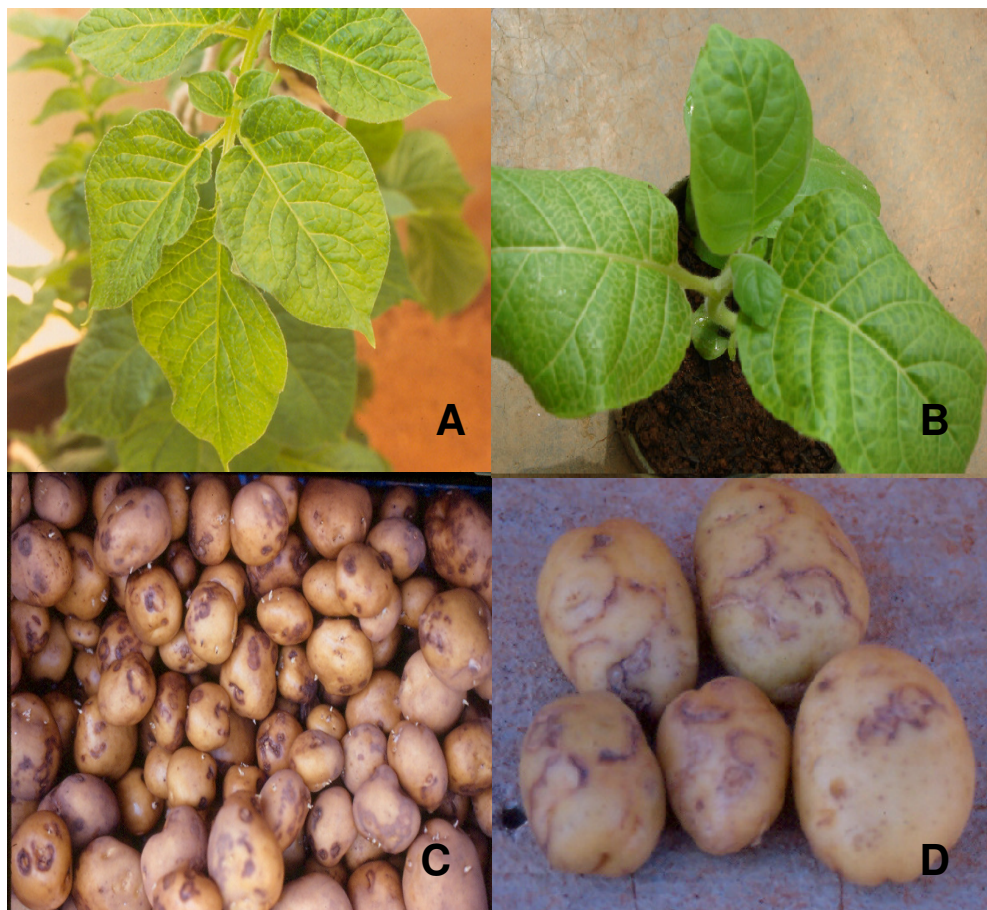


Figura 4 - Sintomas causados pelo subgrupo de PVY^{NTN} em diferentes tecidos de plantas. Sintoma de mosaico bem evidente em plantas de batata (A); Sintoma de mosaico em folhas de *N. tabacum* TNN (B); Sintoma de necrose em tubérculos (C e D)

2.7- Ocorrência de recombinação em PVY

Os vírus demonstram um alto grau de variabilidade, resultado de três fenômenos que afetam o seu genoma: mutação, recombinação e pseudo-recombinação (Aaziz & Tepfer, 1999; Glais *et al.* 2002). Watson (1960) foi quem primeiro mostrou evidências da ocorrência de recombinação entre duas estirpes, PVY^O e PVY^C. Neste trabalho, ele observou que alguns isolados provenientes de plantas com infecção mista induziam sintomas típicos do PVY^C e também eram transmitidos por afídeos, o que seria o resultado de uma recombinação entre as duas estirpes.

No ano de 1984 foi detectado na cv. Wilga, no nordeste da Polônia, um novo isolado de PVY (PVY^{NW}), com características da estirpe necrótica, que foi mais infectivo em

plantas de batata e incapaz de reagir com um anticorpo monoclonal específico para PVY^N (Chrzanowska, 1991, 1994). Em 1997 Chachvilska *et al.* verificaram que os isolados PNV^{NW} apresentavam identidade de 99% na região da proteína da capa com o isolado comum PVY^O-LW. Já Glais *et al.* (1998) observaram que o isolado PVY^{NW} e o francês PVY^NN242 agrupavam-se no “cluster” necrótico nos 4063 primeiros nucleotídeos e nos 5670 nucleotídeos restantes agrupavam com isolados de PVY^O, sugerindo com isso uma possível recombinação.

Em relação ao PVY^{NTN} existe uma controvérsia quanto à sua origem a partir de um evento de recombinação. Alguns autores defendem que ele é provavelmente um variante do PVY^N, que desenvolveu a capacidade de induzir necrose nos tubérculos justificando a denominação NTN (o primeiro N identifica o subgrupo como pertencente ao grupo do PVY^N, e as letras seguintes TN indicam necrose nos tubérculos, provenientes do inglês “Tuber necrosis”) (Jeffries, 1998; Piche *et al.*, 2004; Sousa-Dias *et al.*, 2006). Em 1996 Revers *et al.* realizaram estudos com o PVY^{NTN} e sugeriram que esse subgrupo seria resultante de eventos de recombinação entre PVY^O e o PVY^N. Isso foi observado com base na existência de um ponto em que o “crossing-over” poderia ocorrer nas regiões da proteína da capa e 3’NTR.

De acordo com Glais *et al.* (2002) as estipes de PVY^O e PVY^N apresentam genomas próprios característicos de cada grupo individualmente, já os subgrupos são constituídos por uma mistura de segmentos com traços de PVY^N e de PVY^O, caracterizando eventos de recombinação.

2.8- Identificação específica de estirpes de PVY

Diversas técnicas são utilizadas para a detecção e a identificação e fitovírus embasadas em critérios biológicos, sorológicos, citológicos, antigênicos e em propriedades estruturais dos vírus (Shukla *et al.*, 1994). Os testes biológicos por meio de sintomas e

resposta de resistência de plantas indicadoras e diferenciadoras são amplamente utilizados para a detecção e identificação de estirpes de *Potyvirus* (Romero *et al.*, 2001). Por outro lado, testes de transmissão por vetores e proteção cruzada são menos utilizados para diferenciar estirpes. Algumas espécies pertencentes à família *Potyviridae* podem ser identificadas e detectadas por observações de alterações ultra-estruturais no citoplasma da planta hospedeira (Shukla *et al.*, 1994). A sorologia empregando-se anticorpos monoclonais ou policlonais contra a partícula viral ou a capa protética também tem sido um critério amplamente usado, pois possibilita que vírus pertencentes a diferentes gêneros possam ser identificados e classificados com exatidão (Van Regenmortel, 2000). A sorologia não tem apresentado resultados satisfatórios quando aplicada à taxonomia de PVY para separar as estirpes e os subgrupos. O relacionamento sorológico ocorre entre estirpes de uma mesma espécie e também pode ocorrer entre espécies diferentes de um mesmo gênero. Este relacionamento entre espécies diferentes acaba não permitindo a separação de determinadas espécies (Shukla & Ward, 1989).

Os principais problemas relacionados com a sorologia de *Potyvirus* são: (I) a presença de reação cruzada variável entre anti-soros e (II) relacionamento sorológico não esperado entre distintas espécies (Shukla *et al.*, 1992).

O desenvolvimento de novas técnicas que possibilitam a caracterização de espécies de vírus, além do uso de propriedades biológicas, causou mudanças e novas perspectivas para a classificação taxonômica dos vírus. Principalmente com o uso da biologia molecular, que cada vez mais se torna importante na distinção de espécies e estirpes, ou até mesmo, gêneros de vírus de plantas.

A sequência completa de nucleotídeos de diversos membros do gênero *Potyvirus* já é conhecida (Nicolas & Laliberté, 1992; Thole *et al.*, 1993). Os primeiros isolados de PVY sequenciados foram PVY-D (Shukla *et al.*, 1986) e PVY10,18 e 43 (Shukla *et al.*,

1988), utilizando a técnica de sequenciamento e digestão enzimática. Os isolados apresentaram uma identidade de 92% com PeMV e de 62% com TEV. Posteriormente, um isolado PVY^N da França (Robaglia *et al.*, 1989), foi totalmente seqüenciado utilizando a técnica de dideoxinucleotídeo terminal elaborada por Sanger *et al.* (1977), sendo o método mais utilizado até os dias atuais.

A identificação das sequências específicas das estirpes e dos subgrupos de PVY, tem como finalidade originar oligonucleotideos e sondas (Nie & Singh, 2002a; 2002b; Moravec *et al.*, 2003), e anticorpos monoclonais (Ounouna *et al.*, 2002), permitindo com isso maior precisão e rapidez na diagnose.

A técnica hoje mais usada para distinção das estirpes e subgrupos de PVY tem sido a diferenciação baseada no ácido nucléico viral, ou seja, com o uso de testes moleculares, como a transcrição reversa seguida da reação em cadeia da polimerase (RT-PCR) (Glais *et al.*, 1996,2002; Singh *et al.*, 1998; Singh & Weiguny, 1998; Xianzhou *et al.*, 2004).

O RT-PCR para ser eficiente na identificação de estirpes do PVY tem que ser realizado com oligonucleotideos específicos para um grupo, como por exemplo, o subgrupo PVY^{NTN} (Singh & Weiguny, 1998). Nie & Singh (2003) propuseram uma técnica de RT-PCR triplex para identificar o PVY^{NTN} e PVT^{N:O}. Os oligonucleotideos foram desenhados na região CP.

A região da capa protéica é a região mais seqüenciada e estudada (Shukla & Ward, 1989a;b) entre os *Potyvirus*, principalmente o PVY (Dhar & Singh, 1997; Cerovszá *et al.*, 2001). Segundo Shukla & Ward (1988), são três as principais razões para se utilizar critérios baseados na seqüência da capa protéica, para identificação do PVY: (I) as proteínas virais têm certa homologia com proteínas de outros grupos de vírus de plantas e vírus animal, exceto a capa protéica; (II) a capa protéica corresponde

a aproximadamente 95 % do peso da partícula viral e (III) a sorologia reflete a estrutura da proteína da capa.

Material e métodos

1- Identificação e manutenção dos isolados de Potyvirus

O trabalho foi realizado na Embrapa Hortaliças. Foram selecionados quatro isolados de PVY, sendo um PVY^N e PVY^O também de Brasília e dois PVY^{NTN} coletados no estado de São Paulo nos municípios de Itapetininga e Vargem Grande do Sul.

Os isolados foram preservados em freezer -80 °C multiplicados através de inoculação mecânica em plantas de *Nicotiana tabacum* e mantidas em casa de vegetação.

Os isolados foram nomeados de acordo com a estirpe e o subgrupo, seguida do nome abreviado da cidade de origem. Dessa forma a designação dos isolados caracterizados no trabalho, foi a seguinte: isolado PVY^O-OBR, o isolado PVY^N-NBR, (provenientes da região centro-oeste), PVY^{NTN}-ITA, (proveniente de Itapetininga) e isolado PVY^{NTN}-VGS (proveniente de Vargem Grande do Sul).

2- Testes sorológicos

Antes da purificação biológica, cada isolado foi identificado através de anticorpo policlonal contra PVY. A metodologia usada para detectar o vírus nas amostras de plantas inoculadas foi à técnica de sanduíche duplo de anticorpos em “*Enzyme Linked Immunosorbent Assay*” (DAS-ELISA) (Clark & Adams, 1977).

Para a cobertura da placa, foram colocados nas cavidades das placas 150 µL de IgG de PVY (1ug/ml), diluído em tampão de revestimento [Na₂CO₃ 0.014M, NaHCO₃ 0.035M]. Em seguida, as placas foram incubadas por 4 h a 37 °C. Após esse período as placas foram lavadas com PBS-TWEEN [NaCL 1.40 M; KH₂PO₄ 0,02 M; Na₂HPO₄ 12H₂O 0.08M; KCL 0.02M; 0.5 ml de Tween 20 por litro, em seguida 100 µL de

amostras das plantas diluídas, 1/10 em PBS-TWEEN, foram adicionados nos poços.

Após essa etapa as placas foram incubadas por uma noite a 4 °C. Após esse período as placas foram lavadas três vezes com tampão PBS-TWEEN. Foram colocados nas cavidades 100 µL de IgG conjugado (1ug/ml) em PBS-TWEEN as placas foram incubadas por 4 horas a 37 °C. As placas foram lavadas por três vezes com tampão PBS-TWEEN e adicionados *phosphatase substrate tablets* (1mg/ml) em tampão de dietanolamina por poço para revelação das placas. A leitura da absorbância foi feita com filtro de 405 nm em leitora de ELISA *Labsystem MultisKan* (BIOCHROMATIC).

Os controles negativos usados foram extratos de folhas de *Nicotiana tabacum* ‘Samsun’ sadia e os controles positivos foram extratos de folhas infectados com isolados de PVY mantidos em *Nicotiana tabacum* ‘Samsun’ na casa de vegetação da Embrapa Hortaliças.

3-Purificação Biológica

Os isolados foram biologicamente purificados através de passagens seqüenciais em plantas de *Nicotiana tabacum* ‘Samsun’ via inoculação mecânica usando extrato de folhas infectadas com cada isolado macerado em tampão fosfato. As plantas foram polvilhadas com carborundum 600 mesh antes da inoculação mecânica e lavadas com água corrente imediatamente após a inoculação. O inóculo foi diluído em diferentes concentrações: 10^{-2} , 10^{-4} , 10^{-5} .

Após sucessivas diluições a infecção nas plantas foi confirmada através de teste sorológico (DAS-ELISA) usando anti-soro policlonal contra PVY. Testes adicionais de DAS-ELISA com anti-soro contra PVX e PLRV foram realizados para descartar qualquer possibilidade de infecção mista. Para identificação da estirpe foi usada a metodologia descrita por Nie & Singh, 2003. Esse procedimento consiste em realizar

uma extração de RNA total utilizando o reagente Trizol (Invitrogen) e fazer um triplex-RT-PCR com os oligonucleotídeos Sn (CAT GAT GGA TCT GGC TAC A), Ao_{re} (AGT GGG GTA CGT TAG ATG TAG G), S₅₅ (GAT CTC AAG TTG AAG GGG AC), A_{60re} (TTG CGG ACA TCA CTA AAG CG), A_{94re} (GCC ACT GCA TAT GTA AAT ACT) e o S₉₁ (CGTAATCTGCGCGATGGAA). As amostram foram levadas ao termociclador e submetidas a 30 ciclos, sendo a temperatura de anelamento de 62 °C para os primeiros cinco ciclos, 60 °C para os cinco ciclos seguintes, 58 °C para os outros 10 ciclos e para os últimos 10 ciclos uma temperatura de 55 °C. Em todos os ciclos a temperatura de desnaturação foi de 92 °C por 90 segundos e a extensão final foi de 72 °C por 10 minutos.

4-Comparação de patogenicidade em diferentes variedades de batatas.

Após a purificação biológica de cada isolado de PVY, esses foram inoculados mecanicamente (conforme descrito anteriormente) em diferentes cultivares de batatas, para observação comparativa dos sintomas causados pelas diferentes estirpes e subgrupos e de seu variante em plantas de batata. Em todas as inoculações foi empregada a diluição de inoculo de 10⁻⁵ (peso/volume). As variedades usadas foram: Achat, Baraka, BRS-Ana, Mondial, Canoinhas, Bintje, Monalisa e Ágata. As plantas foram mantidas em casa de vegetação em vasos de 5 l e os sintomas nos tubérculos foram avaliados diariamente até 90 dias após inoculação.

5- Purificação de partículas dos isolados virais

Após a confirmação da infecção e da identidade de cada estirpe viral isolada biologicamente, foi realizada a purificação das partículas virais através do método descrito por Dusi & Zambolim (1984). Foram usados 20 g de folhas de *Nicotiana*

tabacum ‘Samsun’ sistemicamente infectadas e apresentando sintomas de infecção coletadas 15 dias após a inoculação. As folhas foram maceradas na proporção de 1:3 a 5 (p/v) em tampão borato gelado. As folhas foram trituradas no liquidificador, o extrato foi filtrado em gaze previamente fervido e o extrato foi centrifugado a 13 000g por 10 minutos. Coletou-se o sobrenadante e acrescentou-se ao extrato 2% de Triton X-100 e 6 % de PEG 6000 contendo 0,5 % de NaCl na proporção de 9:1 (v:v). A mistura foi mantida em agitação lenta por 90 minutos. Adicionou-se 6 % (p/v) de polietilenoglicol 6000 e 0,5 % (p/v) de NaCl, sendo a mistura mantida sob agitação lenta por mais 90 minutos. Após esse passo, a mistura foi centrifugada a 13 000g por 15 minutos. O sobrenadante foi descartado e ao precipitado foi adicionado 20% do volume inicial de tampão borato 50 mM, pH 8,3, contendo 0,5 M de uréia, 6 mM EDTA, 0,1 % de 2 mercaptoetanol, sendo este ressuspandido por 1 hora sob agitação. Após esse tempo, a mistura foi centrifugada a 13 000g por 10 minutos, e o sobrenadante foi coletado e centrifugado a 215.000 g por 60 minutos. O pellet resultante foi ressuspandido em tampão borato, pH 8,3, e as partículas de vírus purificadas foram armazenadas em freezer -80 °C.

6- Extração de RNA Viral

Após a purificação das partículas virais de cada isolado foi realizada a extração do RNA viral, usando o ragente Trizol (Invitrogen). Em cinqüenta microlitros de vírus purificado foram adicionados 500 µL de Trizol, agitando-se por 1 minuto com posterior incubação em temperatura ambiente por 5 minutos. Após esse tempo, foram adicionados 100 µL de clorofórmio, agitando-se por 2 minutos, sendo a mistura centrifugada a 13 523g por 15 minutos a 4 °C. Aproximadamente 450 µL do sobrenadante foram coletados adicionado-se em seguida 320 µL de isopropanol. A

mistura foi incubada por 5 minutos no gelo e centrifugado a 13 523g por 10 minutos a 4 °C. O sobrenadante foi descartado, o pellet foi lavado com 500 µL de etanol 70 % gelado e centrifugado por mais 5 minutos a 4 °C. O etanol foi descartado e o pellet foi submetido à secagem em temperatura ambiente e posteriormente ressuspensiondo em 50 µL de água milli-Q tratada com DEPC.

7- Síntese dos oligonucleotídeos

Visando amplificar o genoma completo das estirpes de PVY isoladas e identificadas via PCR diferencial (conforme descrito no item 2.3), foi realizado um alinhamento das seqüências de vários isolados de PVY encontrados no banco de dados usando o programa Clustal W (<HTTP://www.clustalw.genome.ad.jp>). Os números de acessos foram: AY 884985.1; DQ 157178.1; AY 745491.1; AY 745492.1; EF 026076.1; DQ 008213.1; AJ 889866.1; AJ 889867.1; AY 166866.1; AY 166867.1; DQ 157180.1; AY 884982.1; EF 016294.1; EF 026075.1; M 95491.1; AJ 889868.1; NC 001616.1; AF 522296.1; A08776. 1; U 09509.1; EF 026074.1; AF 237963.2; e DQ 309028.1.

A partir do alinhamento de sequências foram sintetizados 32 oligonucleotídeos cobrindo todo o genoma viral (Figura-5), sendo que da sequência obtidas dos isolados OBR e NBR foram desenhados mais oito oligonucleotideos, sendo quatro para o OBR, cobrindo as parte das regiões da CI e NIb, já o isolado NBR foram sintetizados também quatro oligonucleotideos para sequenciar parte das regiões da CI, NIa e NIb visando o sequenciamento do genoma completo dos isolados em estudo. Desses 40 oligonucleotídeos, 12 foram usados para amplificação dos fragmentos que foram clonados, sendo os demais usados nas reações de seqüenciamento (Tabela-2).

Tabela. 2- Lista de oligonucleotídeos sintetizados usados para amplificar e seqüenciar o genoma viral completo dos isolados de PVY em estudo.

	Oligonucleotídeos
1	1FO novo19mer* AAT TAA AAC AAC TCA ATA C
2	680Fo 19mer GCA GAT AAA GCA GAT TAT G
3	788Re 19mer AAA CCC ATC ATA TGC GCA G
4	1380Fo 16mer AGC ACT TAA CTG AAC C
5	2000Fo 20mer AA AGG GGA TTC GGA GAT GTT
6	2180Re 18mer CAT GGT TGG CCA AGT TCC
7	2700Fo 19mer TTG ATG CTA CGT GYG ATG G
8	2730Re 20mer TGT GCR ACR AGT GTT TCT GC
9	3100Re 20mer ACCT GAG GCA GTR CCT TTG AC
10	3380Fo 17mer GCA GAT TGA GAA GAA TG
11	3480Re 17mer GCA AAC TGA ACT ATC TG
12	3900FO (PVYO) 20mer GC CTG TTC ATC TTA GTG TGG
13	4080Fo 18mer GCC AAC ACT GCG YAT GCG
14	4180Re 20mer AAC TGA GCT AAT TGA GAG CG
15	4340Re (PVY ^N) 21mer GAA AGT GTA TCC TCA ACC ACC
16	4500Fo 20mer TGA TGG CAG AAC AAT GAA GC
17	4780Fo 20mer GCA TTG CGA ATT GGA CRC AC
18	4850Fo 20mer ATG ACA GGA GGC GTT TCA AC
19	4880Re 20mer GTT GAA ACG CCT CCT GTC AT
20	5040R (PVY ^O) 21mer ATA GAC TGA TCG CAC AAA GGC
21	5530Re 16mer AAT TCT CCT CAC ATG C
22	5430Fo 19mer CTC TTA GAG CTA GAT ATG C
23	6150Re 19mer TTT GAG TGG GTT GTG TGG C
24	6180Fo 16mer TTG ATT TAA TGC CAC A
25	6280Re 18mer GAG TGA TTT AGC TTC ATG
26	6700Fo 16mer TGG AAG CAC TGG ATT G
27	6700Re 21mer TTT CTA CAA TCC AAT GCT TCC
28	6860Fo (PVY ^N) 24mer GAG CAT AAT GAG TGG ACC AAA TCG
29	7030Re 20mer GCT CCA TAC ATC CAT GCA GA
30	7300FO (PVY ^O) 19mer GAG GAA GCC ATC AAT AGG G
31	7720Re (PVY ^N) 20mer ACG CCG AAG CAA TCT GTC CC
32	7579Fo 19mer CGG TGC AAA GAA AAG ATA C
33	7620Re 20mer ACA CAC ACT TTA CCA CCC AG
34	8279Fo 18mer GTG TCC ATT CTG CAA TGG
35	8330Re 17mer CCC CAT GAC TCT ATC AT
36	8450Re (PVY ^O) 23mer CCA TAT ACA GTT TCC TTA ATG CC
37	8460Re (PVY ^N) 20mer GAG CAT GGC ATT GAA GAA GC
38	8920Fo 19mer ATG CCA ACT GTG ATG AAT G
39	9079Re 19mer CTG CAA CAT CTG AGA AAT G
40	9650Re 19mer CCT GAT TGA AGT TTA CAG

*mer-quantidade de nucleotídeos.

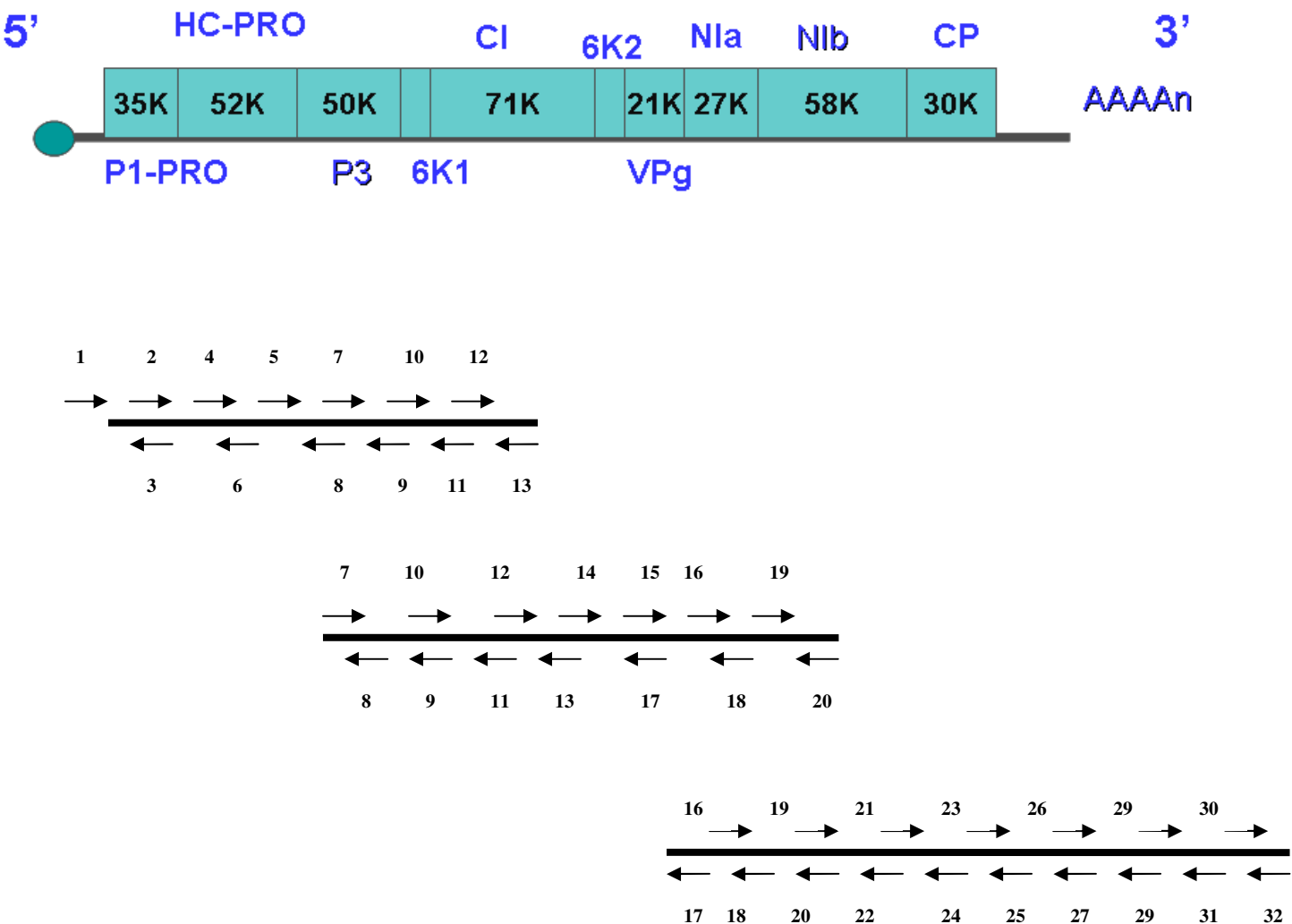


Figura. 5-Representação esquemática da localização e orientação dos oligonucleotídeos no genoma do PVY, para obtenção da seqüência completa do genoma viral dos isolados em estudo. A numeração dos primers corresponde à identificação apresentada na Tabela 1.

8- Síntese de cDNAs e amplificação do genoma viral via PCR.

Após a extração do RNA viral dos diferentes isolados, esses foram submetidos à transcrição reversa (RT), usando cinco oligonucleotídeos, 4180re, 4880re, 6150re, 7620re e 9650re. Para a síntese da fita de DNA complementar foi utilizado a enzima *SuperScript III Reverse Transcriptase* (Invitrogen) de acordo com as recomendações do fabricante.

Após a obtenção da fita de cDNA, 1µL da reação foi adicionado a uma mistura de 9 µL contendo 1µL de tampão de *Platinum Taq DNA Polymerase High Fidelity* (Invitrogen) (10X), 0,8 µL de dNTPs (2,5 mM), 0,4 µL de MgSO₄ (2,5 mM), 0,2 µL de

cada oligonucleotídeo (10 uM) e 0,05 µL de *Taq* (5U/*ul*) DNA polimerase (Platinum). As amostram foram levadas ao termociclador, submetidas inicialmente a 94 °C por 30 segundos, sendo depois submetidas após esse período a 30 ciclos, sendo a desnaturação da fita à 94 °C por 30 segundos; anelamento dos oligonucleotídeos a 40°C por 30 segundos e extensão das fitas à 68 °C por seis segundos e uma extensão final de sete minutos a 68 °C.

Foram empregadas as seguintes combinações de oligonucleotídeos: quando se utilizou o oligonucleotídeo 4180 no sentido reverso foi utilizado o oligonucleotídeos 1FO; para o oligonucleotide 4880re foi usado o 3380fo; já para o oligonucleotídeos 6150 reverso, foi utilizado o 2700fo; para o oligonucleotide 7620re foi usado o 4500fo; para o oligonucleotídeo 9650 reverso, foi usado o 4780fo e o 6700fo. Os tamanhos esperados dos fragmentos amplificados foram de 4180 pb, 1500pb, 3750 pb, 3120pb, 4870pb e 4870 pb, respectivamente.

Para a visualização do produto de PCR obtido, 5 µL de cada reação foram misturados a 2 µL de tampão de amostra 6 X (0,25 % de azul de bromofenol + 30 % de glicerol) e aplicado em gel de agarose a 1 %. Como marcador de peso molecular utilizou-se 1 kb Plus DNA Ladder (Invitrogen). O gel foi corado em solução de brometo de etídeo e visualizado sob luz ultravioleta.

9-Preparo de células bacterianas competentes para clonagem

Células de *Escherichia coli* cepa 'XL1-Blue' resistentes a tetraciclina, mantidas em estoque congelado em glicerol, foram transferidas diretamente para uma placa de petri contando meio de Luria & Bertani- LB- (10 g de triptona; 10 g de cloreto de sódio; 5 g de extrato de levedura; 15 g de Agar, em 1 L de água), pH 7,5 (Sambrook *et al.*, 1989), adicionado de 15 µg/mL de tetraciclina, e foram incubadas a 37 °C, por 16 h. Uma colônia foi transferida para 25 mL de meio LB líquido, e deixada crescer a 37 °C, por 16 h, sob

agitação constante (220 rpm). Após este período, 10 mL (1/100) do meio da cultura foram transferidos para outro frasco contendo 1L de meio LB líquido, deixados crescer a 37 °C sob vigorosa agitação, até atingir OD 0,6 (cerca de 4 h). Após atingir a densidade ótica esperada, as células foram resfriadas completamente e centrifugadas a 4 °C, a 3600 g por 15 min. Descartou-se o sobrenadante completamente e o sedimento foi ressuspensionado com 300 mL de glicerol 10 % gelado, sobre o gelo com delicadeza. O volume foi completado para 1 l com glicerol 10 % gelado e centrifugado a 3600 g por 15 min a 4 °C. O sobrenadante foi novamente descartado e o sedimento foi ressuspensionado gentilmente com 50 mL de glicerol 10 % gelado, sobre o gelo. O volume foi completado para 500 mL com glicerol 10 % gelado e centrifugado a 3600 g por 15 min a 4 °C. O sedimento foi ressuspensionado gentilmente com 30 mL de glicerol 10 % gelado sobre o gelo. O volume foi completado para 200ml com glicerol 10 % gelado e centrifugado a 3600 g por 15 min. Por fim, o sedimento foi ressuspensionado com 3,5 mL de glicerol 10 % gelado, sobre o gelo. Alíquotas de 100 µL foram distribuídas em tubos de microcentrifuga (1,5 mL) gelados, colocados posteriormente em nitrogênio líquido e em seguida estocados a - 80 °C.

10- Clonagem do genoma completo dos isolados de PVY

Após a confirmação, através de gel de agarose 1 %, da amplificação dos fragmentos de tamanho esperado por PCR, correspondentes as partes específicas do genoma, o produto de PCR foi precipitado e ressuspensionado em 10 µL de água estéril. Após esse passo, o produto de PCR foi novamente submetido à eletroforese em gel de agarose 1 % e para evitar degradação de fragmentos de DNA pela luz ultravioleta, à visualização do DNA no gel de agarose foi feito com corante Violeta Cristal contendo 4 µg/ml na concentração final. A solução foi preparada em 100 ml de água estéril, acrescentando 2 ml de cristal violeta, sendo o extrato final colocado no gel que foi submetido a uma agitação constante de 30 minutos.

As bandas de tamanhos esperados foram retiradas do gel com o uso de um bisturi estéril e a eluição foi feita com o kit de purificação *PureLink Quick gel extraction kit* (Invitrogen) seguindo as instruções do fabricante. Foram adicionados 600 µL de *Gel Solubilization Buffer* (GS1) em 300 mg da banda removida do gel e a mistura foi incubada a 50 °C por 15 minutos. Posteriormente, inverteu-se o microtubo e incubou-se por mais 5 minutos a 50 °C. Após esse tempo, a amostra foi passada para a coluna e centrifugada a 13 523g por 1 minuto. Em seguida, foram adicionados 500 µL de GS1 na coluna, incubou-se à temperatura ambiente por 1 minuto e centrifugou-se a 13 523g por 1 minuto. Foram adicionados na coluna 700 µL de *Wash buffer* com etanol, incubado à temperatura ambiente por 5 minutos e centrifugado a 13 523g por 1 minuto. A solução que passou pela coluna foi descartada e outra centrifugação a 13 523g por mais 1 minuto foi realizada, para eliminar todo o tampão de lavagem. A coluna foi transferida para um novo microtubo de 1,5 ml, adicionaram-se 50 µL de TE aquecido a 75 °C e centrifugou-se a 13 523g por 2 minutos. O DNA eluído obtido foi estocado à -20 °C.

Para preparação dos fragmentos amplificados para a clonagem em vetor específico, após a eluição dos DNAs, foi feito a adenilação (*A-overhanging*), no fragmento, pois durante a autocorreção (*proof reading*), a enzima *Taq* polymerase *High Fidelity* retira as deoxiadenosinas da extremidade 3' do produto de PCR. O método de adenilação consiste na adição de deoxiadenosina na extremidade 3' do DNA, onde em 8,68 µL do DNA eluído foi adicionado 1 µL tampão *Taq* DNA polimerase 10 X, 0,12 µL dNTPs 2,5 mM, 0,1 µL dATP 2 mM e 0,1 µL *Taq* DNA polymerase (5 U/µL, Invitrogen), sendo a reação incubada a 72 °C por 30 minutos. Após esse tempo, o fragmento foi ligado ao vetor de clonagem vetor pCR®2.1-TOPO® (Invitrogen), seguindo as instruções do fabricante. Para a reação de ligação foram usados 3 µL do

produto de PCR (10 ng), 1 µL da solução salina (salt solution), 1 µL de água estéril e 1 µL do vetor Topo-TA, mantendo-se a proporção molar de 1:3 (vetor:inserto). A mistura foi deixada por 30 minutos a temperatura ambiente. A vantagem do uso desse vetor é permitir a clonagem direta de fragmentos de PCR, sendo necessário apenas a presença de uma dioxadenosina na extremidade 3' do DNA e uma dioxitimina nas extremidades coesivas 3' do vetor, o que permite a ligação. Após esse passo, foi feito a desalinização do DNA, para retirar o excesso de sal da reação, para isso foi utilizado membrana de nitrocelulose da Millipore.

O vetor recombinante contendo o fragmento de DNA amplificado foi introduzido em *Escherichia coli* linhagem XL1-Blue por eletroporação, usando um eletroporador BIO-RAD.

Após a transformação a suspensão bacteriana foi plaqueada em meio Agar LB, sendo que em cada placa foram vertidos 20 ml de meio LB contendo 100 ug/ml de ampicilina. As placas foram incubadas por 15 horas a 37 °C.

11- Extração de DNA plasmidial em pequena escala (mini-prep) e digestão com enzima de restrição.

As colônias bacterianas desenvolvidas no meio descrito no item 2.5 que apresentaram tamanho superior ao vetor, foram repicadas individualmente para tubos contendo 8 ml de meio LB líquido acrescido de 8 µL de ampicilina (100 ug/ml), mantidos sobre agitação durante 15 horas, a 37 °C. O DNA plasmidial foi isolado utilizando o protocolo descrito a seguir: a solução bacteriana de cada tubo originado de uma única colônia foi transferida para microtubos de 1,5 ml e procedida à precipitação das células bacterianas centrifugando a 13 523g por 1 min. Este procedimento foi repetido por mais uma vez. Após o descarte do sobrenadante foram adicionados 200 µL de TEG (50 mM glicose + 25 mM Tris, pH 8,0 + 10 mM EDTA, pH 8,0). O 'pellet' foi

ressuspendido completamente por agitação em vortex. Foram acrescidos 400 µL de solução desnaturante (NaOH 0,2 N, acrescido de SDS 1 %), incubando-se por 5 minutos em gelo. Após esse passo, foram adicionados 300 µL de acetato de potássio 5 M e incubou-se novamente em gelo por 3 minuto. Após esse tempo, as amostras foram centrifugadas por 5 minutos a 13 523 g, transferindo-se o sobrenadante para um novo tubo onde foram adicionados 100 µL de clorofórmio, e após serem invertidos por 1 minuto centrifugou-se por 5 minutos a 13 523 g. A fase aquosa foi transferida para um novo tubo, à qual foram adicionados 600 µL de isopropanol e incubou-se a mistura por 5 minutos à temperatura ambiente. Uma última centrifugação para precipitação do DNA plasmidial foi realizada por 5 minutos a 13 523 g. Concluída a precipitação, o ‘pellet’ foi lavado com etanol 70 % gelado e secado a temperatura ambiente. O ‘pellet’ foi ressuspendedido com 50 µL de água esterilizada. Alíquotas de cada amostra foram visualizadas em gel de agarose 1 % corado com solução de brometo de etídeo, submetidas à eletroforese e visualização sob luz ultravioleta.

De acordo com o padrão eletroforético observado no gel, as amostras que apresentaram tamanho superior ao vetor, possivelmente contendo um inserto, foram selecionadas para serem digeridas separadamente com as enzimas Eco-RI e Hind-III (Invitrogen), as quais apresentam sítios de restrição no sítio de clonagem do vetor que flanqueiam o local de inserção do fragmento (Figura-6).

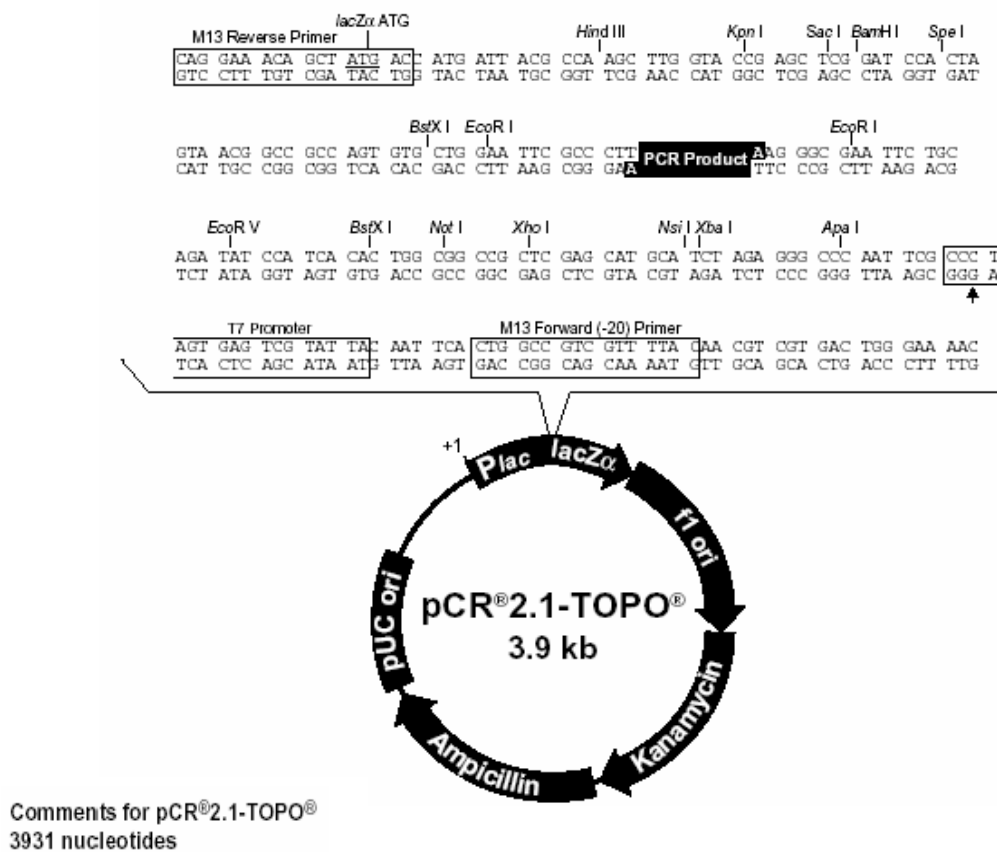


Figura 6- Esquema do vetor TOPO TA cloning kit, (Invitrogen), utilizado para realizar a clonagem dos fragmentos amplificados via PCR.

As reações foram incubadas a 37 °C por 4 horas. Para a observação da presença do fragmento de interesse foi realizada eletroforese em gel de agarose a 1 % corado com brometo de etídeo e visualização sob luz ultravioleta. Os plasmídeos contendo o inserto esperado foram purificados utilizando-se o Kit QIAprep™ Spin Miniprep Kit Protocol' (QIAGEN)), de acordo com as especificações do fabricante.

12- Seqüenciamento e análise das seqüências

Foram selecionados 24 clones, sendo seis de cada estirpe estudada para sequenciamento. Para obter as seqüências nucleotídeas dos fragmentos clonados, bem como, de todo genoma viral, foram usados os 40 oligonucleotídeos sintetizados e também os oligonucleotídeos M13_{fo} e M13_{re}, utilizando um seqüenciador automático.

As seqüências foram analisadas através do programa Staden Package (Staden *et al*, 2003). Foi utilizado o programa BLAST (<http://www.ncbi.nlm.nih.gov/blast>) para comparar as seqüências obtidas com outras disponíveis no banco de dados. O alinhamento múltiplo entre as seqüências completas de potyvírus depositadas no banco com aquelas obtidas pelo seqüenciamento foi realizado através do programa Clustal W. A análise filogenética foi realizada com o programa MEGA 4 (<HTTP://www.megasoftware.net>).

Resultados

1- Teste sorológico

Antes da purificação biológica foi realizada a confirmação da identidade sorológica de cada isolado através do teste DAS - ELISA, usando anticorpo policlonal contra o PVY. Os dados obtidos por meio da detecção do vírus pela técnica de DAS-ELISA mostraram que, os quatros isolados apresentaram uma absorbância de NBR- 0,718, OBR- 0, 923, VGS- 0, 513 e o ITA- 0, 526, enquanto o controle negativo apresentou absorbância média de 0,015 e o controle positivo uma absorbância de 0,923, como demonstrado na Figura-7. Comprovando que todos os quatros isolados em estudo são PVY.

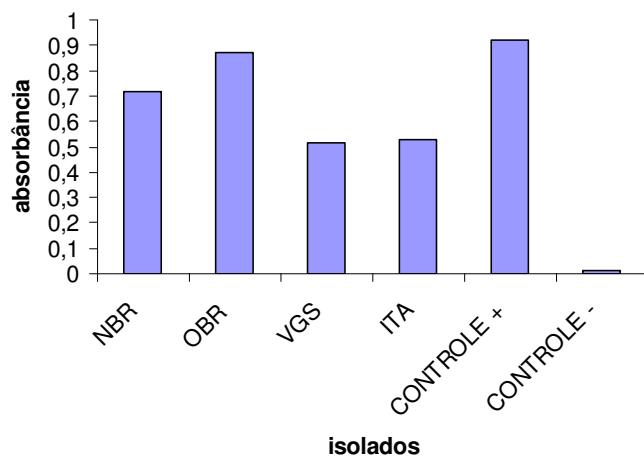


Figura-7. Resultado do teste DAS-ELISA confirmando que os quatros isolados representam estirpes da espécie *Potato vírus Y* (PVY), onde NBR-PVY^N; OBR-PVY^O; VGS-PVY^{NTN} e ITA-PVY^{NTN}.

1.2-Purificação Biológica

Após a purificação biológica através de passagens seqüenciais em plantas de *Nicotiana tabacum* ‘Samsun’ via inoculação mecânica, foi escolhida a diluição de 10^{-5} (por ser a mais diluída) para efetuar a manutenção dos isolados e com isso, ampliar as chances de alcançar uma alta pureza viral. A infecção das plantas foi confirmada através do teste DAS-ELISA usando anti-soro policlonal contra PVY (Figura-8). Também foi realizado um segundo teste DAS-ELISA com anti-soro contra PVX e PLRV e os resultados descartaram qualquer possibilidade infecção mista com esses vírus, como pode ser observado nas Figuras 9e 10.

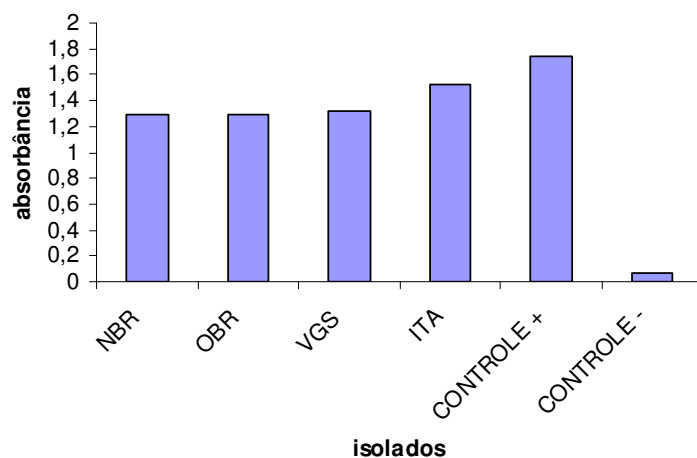


Figura 8- Resultado do teste Das-Elisa usando anti-soro policlonal contra PVY de extrato foliar proveniente de plantas inoculadas com a diluição 10^{-5} para todos os isolados testados comprovando a infecção das plantas de *Nicotiana tabacum* "Samsun". (Sendo que o NBR pertence a estirpe PVY^N; o OBR representa o PVY^O; VGS pertence a estirpe PVY^{NTN} e o ITA pertence a estirpe PVY^{NTN}).

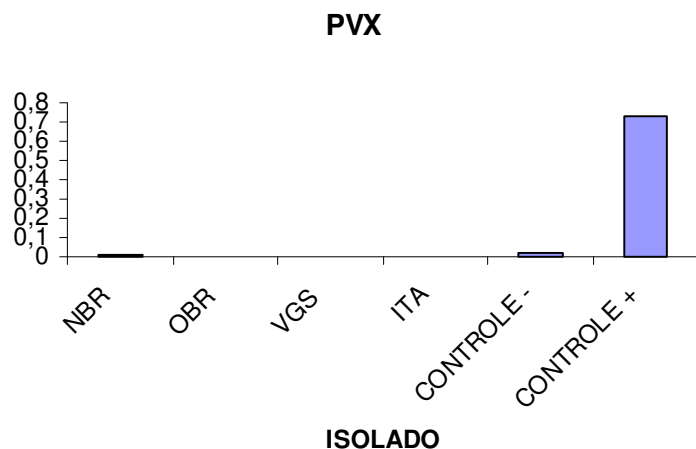


Figura 9- Resultado do teste Das-Elisa usando anti-soro policlonal contra PVX de extrato foliar proveniente de plantas inoculadas com a diluição 10^{-5} para todos os isolados de PVY estudados descartando uma infecção mista com PVX. (Sendo que o NBR pertence a estirpe PVY^N; o OBR representa o PVY^O; VGS pertence a estirpe PVY^{NTN} e o ITA pertence a estirpe PVY^{NTN}).

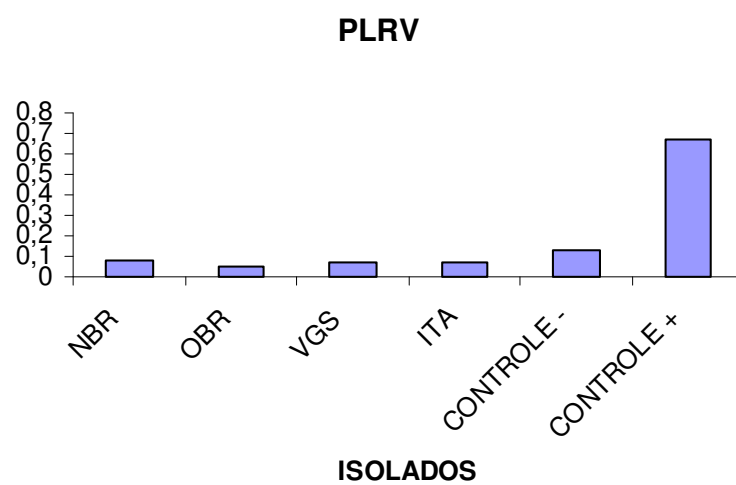


Figura 10- Resultado do teste Das-Elisa usando anti-soro policlonal contra PLRV de extrato foliar proveniente de plantas inoculadas com a diluição 10^{-5} para todos os isolados testados descartando uma infecção mista com PLRV(Sendo que o NBR pertence a estirpe PVY^N; o OBR representa o PVY^O; VGS pertence a estirpe PVY^{NTN} e o ITA pertence a estirpe PVY^{NTN}).

Após as diluições foi feito extração de RNA total utilizando o método Trizol e após esse passo foi feito um tripex RT-PCR usando a metodologia descrita por Nie & Singh (2003), para confirmar a pureza entre as estirpes e os subgrupos, já que o DAS-ELISA com anti-soro policlonal contra PVY, não diferencia as estirpes e os subgrupos. O subgrupo PVY^{NTN} apresentou três fragmentos amplificados, sendo de 640bp, 440bp e 300pb. Já o PVY^O apresentou um único fragmento de 859bp enquanto o PVY^N não apresentou fragmentos amplificados (Figura-11). Com essa metodologia foi possível diferenciar as estirpes e os subgrupos.

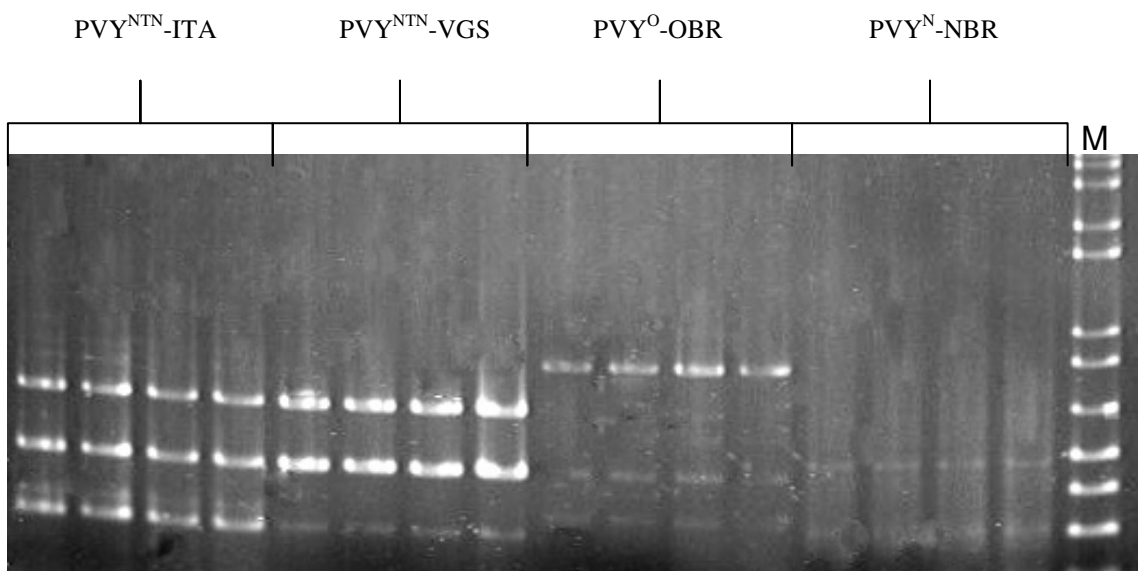


Figura-11- Análise em gel de agarose a 1 % do produto da PCR obtidos com um conjunto de primers específicos para as estirpes PVY^N; PVY^O e PVY^{NTN}. Para PVY^{ntn} foram amplificadas bandas de 300pb, 400pb e 500pb respectivamente, para o PVY^O foram amplificadas uma banda de 800 pb e para a estirpe PVYⁿ não houve amplificação esperada. M-marcado 1Kb plus.

2- Comparação de patogenicidade em diferentes variedades de batatas.

Após a purificação biológica de cada isolado de PVY foi feita a comparação de patogenicidade em diferentes variedades de batatas. Foi usada uma concentração de inoculo de 10^{-5} (peso/volume) e posterior inoculação nas variedades selecionadas (Quadro-1) e (Figura-16).

A infecção das plantas de batata foi confirmada 30 dias após o plantio através do teste DAS-ELISA, usando anti-soro policlonal contra PVY (Figuras 12, 13, 14 e 15). O isolado NBR apresentou um baixo grau de infecção nas variedades Achat, Ágata, Baraka, Bintje, BRS-Ana e Monalisa, porém, na avaliação dos sintomas nas plantas de batatas as variedades Achat e Bintje apresentaram sintomas característicos de infecção de PVY^N. Esse resultado sugere que não existe uma correlação entre concentração de vírus e sintomas.

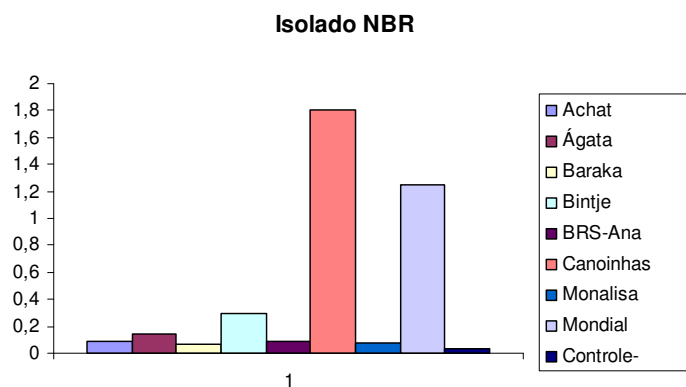


Figura-12- Resultado do teste Das - Elisa usando anti-soro policlonal contra PVY de amostras de extrato foliar proveniente de plantas de batatas inoculadas com o isolado NBR (PVY^N).

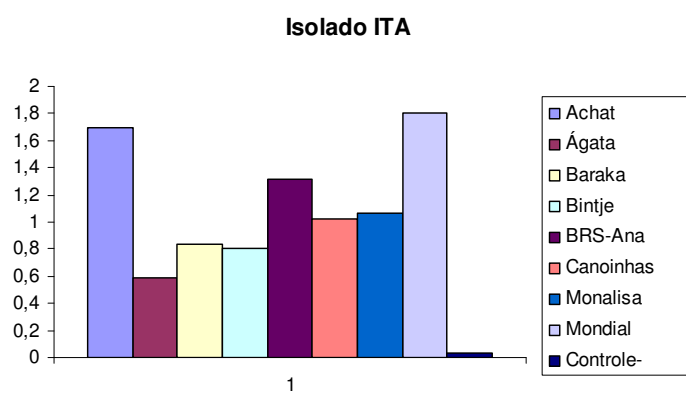


Figura 13- Resultado do teste Das - Elisa usando anti-soro policlonal contra PVY de amostras de extrato foliar proveniente de plantas de batatas inoculadas com o isolado ITA (PVY^{NTN}).

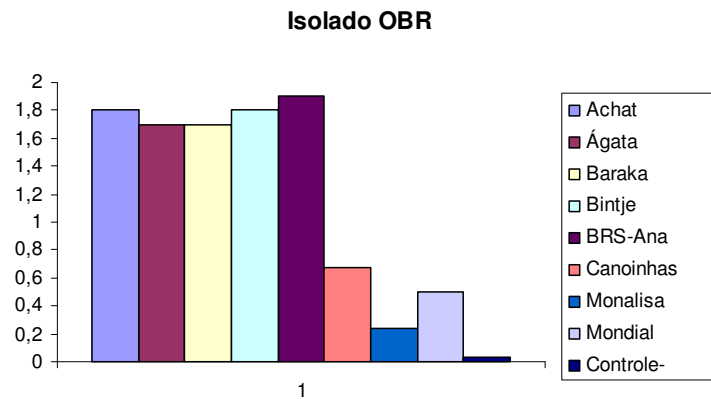


Figura 14- Resultado do teste Das - Elisa usando anti-soro policlonal contra PVY de amostras de extrato foliar proveniente de plantas de batatas inoculadas com o isolado OBR (PVY^O).

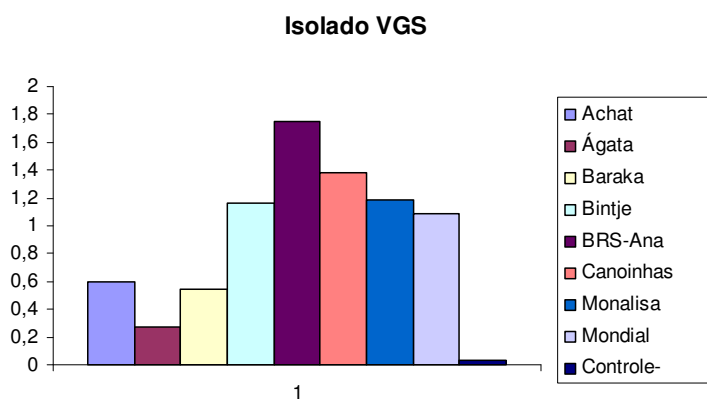


Figura 15- Resultado do teste Das - Elisa usando anti-soro policlonal contra PVY de amostras de extrato foliar proveniente de plantas de batatas inoculadas com o isolado VGS (PVY^{NTN}).

Quadro 1-Resultado da avaliação de patogenicidade em diferentes variedades de batatas após a purificação biológica dos isolados de PVY em estudo (isolado NBR pertence à estirpe PVY^N; o OBR representa o PVY^O; VGS pertence a estirpe PVY^{NTN} e o ITA pertence a estirpe PVY^{NTN}).

Variedade	Isolado ITA	Isolado VGS	Isolado OBR	Isolado NBR
Achat	Rugosidade dos folíolos; Necrose nas hastes; Encurtamento do pecíolo.	Assintomático	Assintomático	Leve deformação foliar; Necrose de nervura.
Àgata	Mosaico; Ondulação e deformação foliar; Epinastia	Mosaico severo; Deformação e ondulação dos folíolos;	Mosaico severo; Severa deformação do limbo; Folíolos tendendo a enrolar para baixo;	Assintomático
Baraka	Assintomático	Assintomático	Mosaico leve; Deformação do limbo foliar.	Encurtamento do pecíolo.
Bintje	Mosaico severo; Deformação do limbo.	Mosaico severo; Deformação do limbo.	Mosaico e deformação; Ondulação dos folíolos.	Mosaico severo; Deformação do limbo foliar; Epinastia.
BRS-Ana	Mosaico leve;	Mosaico leve.	Mosaico leve; Deformação do limbo.	Assintomático
Canoinhas	Mosaico leve; Deformação do limbo;	Deformação severa dos folíolos; Mosaico severo; Encarquilhamento foliar; Sintoma de boto crespo (Bouquet).	Mosaico leve; Necrose de nervura.	Assintomático
Monalisa	Mosaico severo; Epinastia.	Deformação severa dos folíolos; Mosaico severo; Encarquilhamento foliar; Sintoma de boto crespo (Bouquet).	Mosaico; Necrose ondulada nas nervuras, com pintas necróticas no limbo foliar.	Assintomático
Mondial	Mosaico severo; Deformação do limbo.	Mosaico severo, limbo deformado e ondulado; Redução dos folíolos.;Sintoma de boto crespo (Bouquet).	Morte da planta.	Deformação do limbo; Encurtamento do pecíolo.



Figura-16-Sintomas causados pelos isolados em estudo em plantas de batatas de diferentes cultivares. A concentração do inoculo usado foi de 10^{-5} . Foto A e C: planta apresentando folíolos apicais ondulados, típico sintoma de sintoma de topo crespo causado pelo subgrupo PVY^{NTN}, isolado VGS; Foto B: planta apresentando sintomas de mosaico bem evidente provocado pelo subgrupo PVY^{NTN}, isolado ITA; Foto D: planta apresentando sintomas de folhas ressecadas, coriáceas e dependuradas, provocados pela estirpe PVY^O, isolado OBR.

Os tubérculos colhidos das plantas infectadas com os isolados VGS e ITA, (Figura-18), após brotarem, foram plantados em casa de vegetação. Após 30 dias, as plantas foram submetidas ao teste DAS-ELISA para confirmar a infecção com os isolados de PVY sendo que, apenas a variedade Achat, apresentou resultado negativo para os dois isolados em questão (Figura-17). Após 90 dias, os tubérculos da segunda geração foram colhidos e apenas a variedade Mundial apresentou sintoma nos seus tubérculos para os dois isolados em questão.

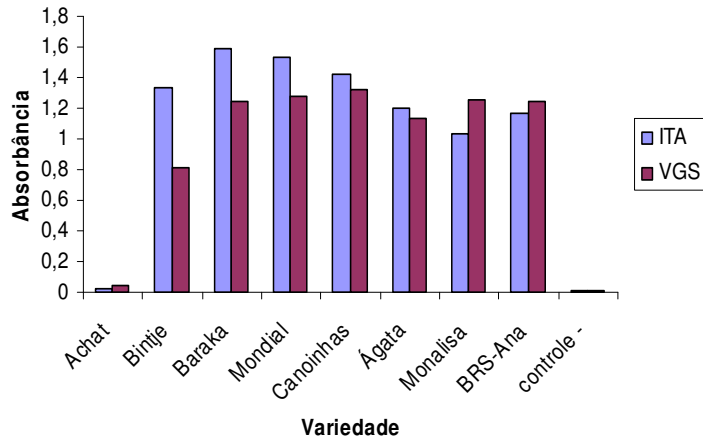


Figura -17: Resultado do teste DAS-ELISA usando anti-soro policlonal contra PVY para confirmação da infecção das plantas de batata oriundas de tubérculos infectados com isolado ITA e VGS (PVY^{NTN}).



Figura-18: Tubérculos oriundos de plantas inoculadas com PVY^{NTN} (ITA e VGS). Todos os tubérculos apresentaram sintomas típicos de necrose, sintomas estes, considerados como comprovação biológica para caracterizar se um isolado pertence a estirpe necrótica PVY^{NTN} .

3- Sínteses dos oligonucleotídeos

Visando a amplificação e sequenciamento do genoma completo das estirpes de PVY isoladas e identificadas via PCR diferencial, foi feito um alinhamento das seqüências de vários isolados de PVY encontrados no banco mundial de dados NCBI usando o programa Clustal W. A partir do alinhamento de seqüências foram sintetizados 40 oligonucleotídeos cobrindo todo o genoma viral. Os primers (1FO-4180R), (2000FO- 6150R) e (4880F-9650R) foram usados para amplificação dos fragmentos que foram clonados do isolado NBR (Figura-19). Já para o isolado OBR os oligonucleotideos usados para sua clonagem foram, (1FO-4180R), (3900F-5040R) e (4880F-9650R) (Figura-20). Para o isolado ITA foram usados os oligonucleotideos (1FO-4180R), (3380F-4880R) e (4880F-9650R) (Figura-21). O isolado VGS teve seu genoma clonado com os oligonucleotideos (1FO-4180R), (4500F-7620R) e (6700F-9650R) (Figura-22). Os demais oligonucleotideos foram usados nas reações de seqüenciamento.

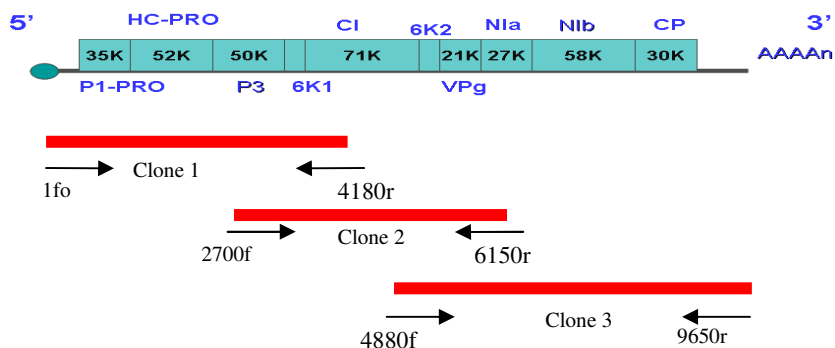


Figura-19-Representação esquemática mostrando a posição dos clones obtidos para seqüenciamento do genoma viral do isolado NBR sendo o clone 1 amplificado com os oligonucleotideos 1fo-4180re; Clone 2 amplificado com os Oligonucleotideos 2700fo-6150re; Clone 3 amplificado com os oligonucleotideos 4850fo-9650re.

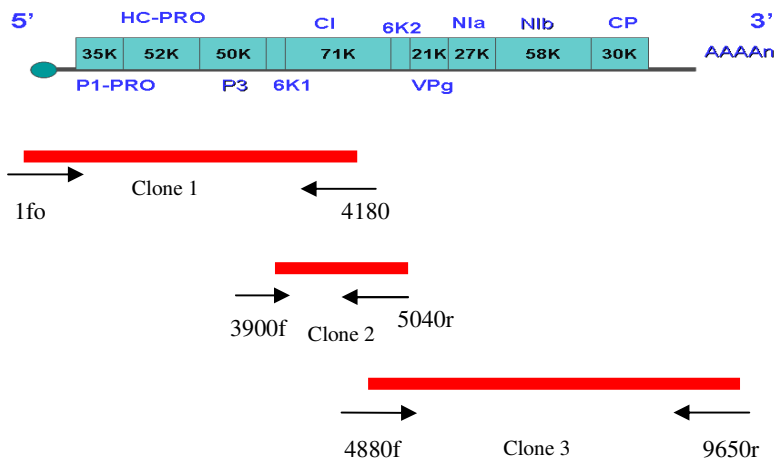


Figura-20-Representação esquemática mostrando a posição dos clones obtidos para seqüenciamento do genoma viral do isolado OBR, sendo o clone 1 amplificado com os oligonucleotideos 1fo-4180re; Clone 2 amplificado com os Oligonucleotideos 3900fo-5040re; Clone 3 amplificado com os oligonucleotideos 4880fo-9650re.

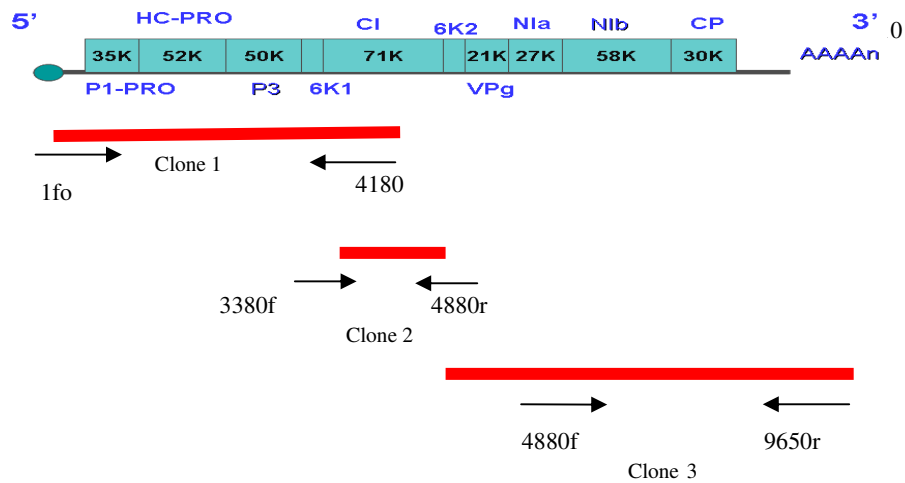


Figura-21-Representação esquemática mostrando a posição dos clones obtidos para seqüenciamento do genoma viral do isolado ITA, sendo o clone 1 amplificado com os oligonucleotideos 1fo-4180re; Clone 2 amplificado com os Oligonucleotideos 3380fo-4880re; Clone 3 amplificado com os oligonucleotideos 4880fo-9650re.

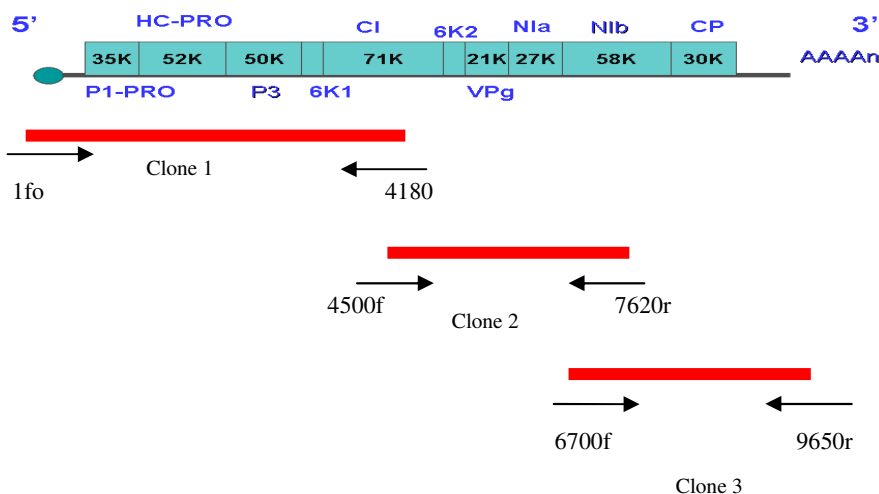


Figura-22-Representação esquemática mostrando a posição dos clones obtidos para seqüenciamento do genoma viral do isolado VGS, sendo o clone 1 amplificado com os oligonucleotídeos 1fo-4180re; Clone 2 amplificado com os Oligonucleotídeos 4500fo-7620re; Clone 3 amplificado com os oligonucleotídeos 6700fo-9650re.

4- Síntese de cDNAs e amplificação do genoma viral via PCR

O RNA viral dos isolados foi submetido à transcrição reversa (RT), usando os seguintes oligonucleotídeos, 4180re, 4880re, 6150re, 7620re e 9650re. Para o PCR, as combinações 1FO com 4180re amplificou um fragmento de 4180 pb, já para a combinação 2700fo com 6150re o fragmento foi de 3750 pb. Na combinação 3380fo com 4880re o fragmento obtido foi de 1500pb, já com os oligonucleotídeos 4500fo com 7620re o fragmento clonado foi de 3120pb. Com o par de nucleotídeos 6700fo com 9650re o tamanho do fragmento foi de 2950pb e na combinação de 4780fo com 9650re o fragmento amplificado foi de 4870 pb (Figura-23).

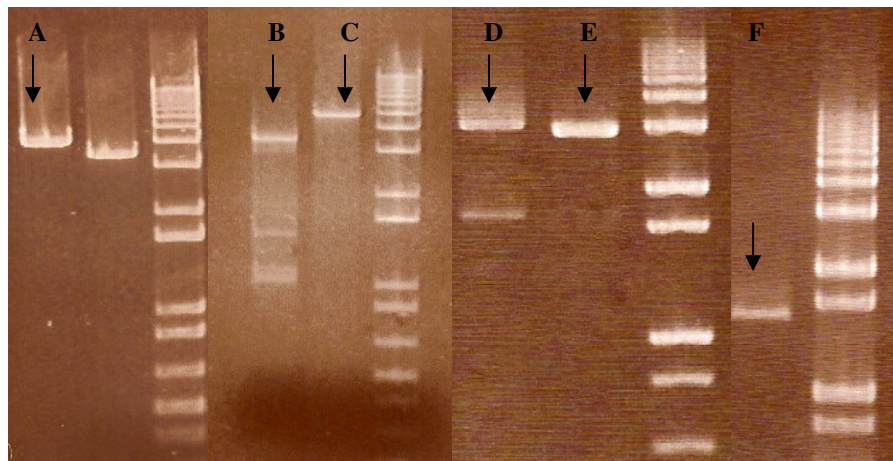


Figura 23- Análise em gel de agarose 1 % dos fragmentos de PCR, onde A) Fragmento obtido da combinação dos oligonucleotideos 1FO - 4180re com tamanho de 4180 pb.; B) apresenta um fragmento de 3750 pb a partir da combinação entre os oligonucleotideos 2700fo com 6150re. C) Fragmento obtido da combinação dos oligonucleotideos 4780fo-9650re de 4870pb; D) combinação entre os oligonucleotideos 7620fo -4500re com um fragmento de 3120pb; E) Fragmento obtido da combinação dos oligonucleotideos 6700fo-9650re de 2950pb; F) combinação entre os oligonucleotideos 3380fo-4880re amplificando um fragmento de 1500pb

5-Clonagem do genoma completo dos isolados de PVY

Os fragmentos obtidos através da amplificação foram isolados e clonados no vetor pCR®2.1-TOPO®. Após esse passo foi feito uma digestão com as enzimas de restrição EcoRI e Hind-III para verificar se os fragmentos foram clonados corretamente. (Figura -24). Todos os clones que apresentaram padrões distintos na liberação do inserto foram seqüenciados, primeiramente utilizando-se primers do vetor M13 forward e M13 reverse, para confirmar a clonagem da região esperada. Para essa confirmar se o fragmento clonado era da região viral esperada, as seqüências parciais obtidas foram analisadas via o programa “Blast” (NCBI Website) para determinação da região, onde o clone apresentava maior identidade de seqüências de nucleotídeos comparadas com as seqüências depositadas no banco de dados. Após a confirmação da clonagem, foi feito o seqüenciamento completo usando os 40 oligonucleotideos que foram sintetizados para cobrir todo o genoma.

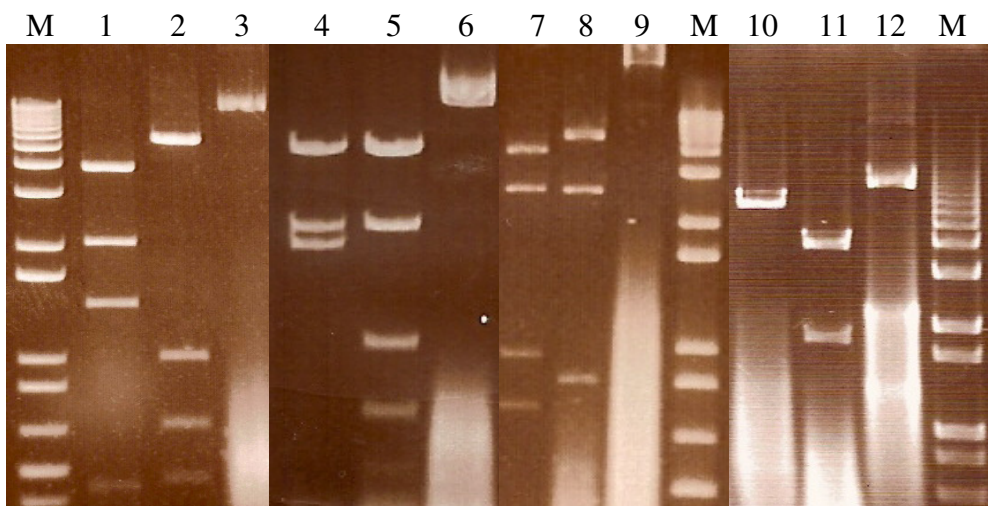


Figura-24- Análise em gel de agarose 1 % dos DNAs plasmidiais digeridos com a enzima EcoRI e Hind-III- 1- DNA digerido com EcoRI , 2- DNA digerido com Hind-III e 3- DNA não digerido, dos produtos de amplificação com os primers 2700fo- 6150re; 4- DNA digerido com EcoRI ,5- DNA digerido com Hind-III e 6- DNA não digerido, a partir dos produtos de amplificação com os primers 1fo- 4180re; 7- DNA digerido com EcoRI ,8- DNA digerido com Hind-III e 9-DNA não digerido, dos produtos de amplificação com os primers 4850fo- 9650re; 10- DNA digerido com EcoRI , 11- DNA digerido com Hind-III e 12- DNA não digerido, a partir dos produtos de amplificação com os primers 4500fo-7620re; M- marcador um 1Kb plus.

6- Seqüenciamento e Analise das seqüências

Os clones obtidos foram seqüenciados cada um com os oligonucleotideos que foram sintetizados e também com os oligonucleotideos universais contidos no vetor de clonagem, M13F e o M13R. As regiões completas que foram seqüenciadas dos quatros isolados foram: 5'UTR, 6K2 e VPg. Já as regiões HC-PRO, P3 e CI foram completamente seqüenciadas somente para o isolado NBR. A região NIa foi determinada para os isolados ITA e VGS. A NIb foi seqüenciada nos isolados OBR e ITA. Já as regiões da CP e a 3'UTR foram completamente determinadas para os isolados NBR, OBR e ITA, como pode ser visualizado na Figura 25.

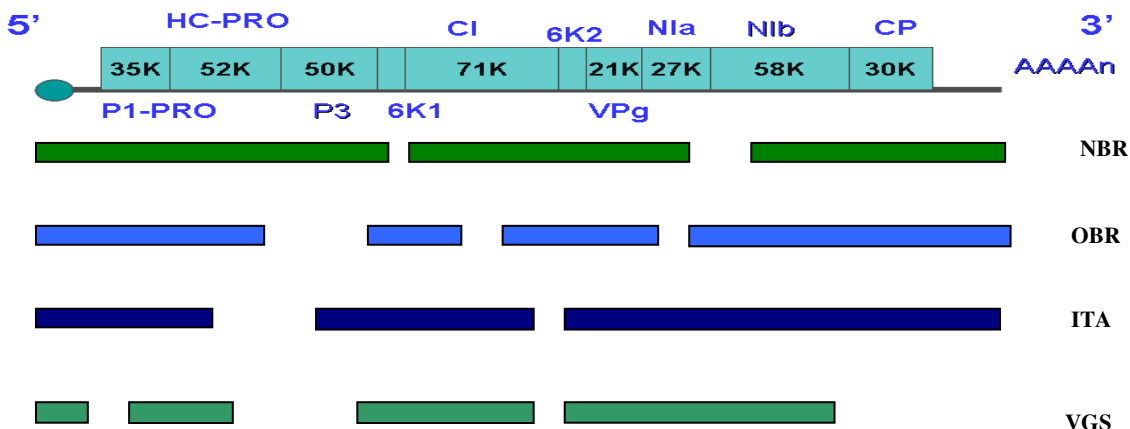


Figura 25-Representação esquemática mostrando as regiões do genoma de PVY que foram seqüenciadas dos quatro isolados em estudo. Sendo o NBR (PVY^N); OBR (PVY^O); ITA (PVY^{NTN}) e VGS (PVY^{NTN}).

Após a edição e montagem das sequências com auxílio dos esferogramas, foi feita a análise destas utilizando-se o programa Blast (<HTTP://www.ncbi.nlm.nih.gov/blast/blast.cgi>). Com o auxílio do programa Clustal (<HTTP://www.clustalw.genome.ad.jp>) foram realizados os alinhamentos múltiplos das regiões obtidas de cada isolado com sequências de isolados de PVY (caracterizados em várias regiões do mundo) disponíveis no GenBank (<HTTP://www.ncbi.nlm.nih.gov/entrez/query.fcgi>). As identidades das regiões do genoma estudadas foram obtidas através do programa DNAmam, sendo selecionados os seguintes isolados do GenBank para comparação com os isolados brasileiros: PVY^N -Egito (AF522296), PVY^N -Japão (AB270705), PVY^O -USA (EF026074), PVY^{NTN} -Alemanha (AJ889866), PVY^{NTN} -Canadá (AY166866), PVY^{NTN} -USA (EF026075), $\text{PVY}^{N:O}$ -Canadá (AY745492), $\text{PVY}^{N:O}$ -USA (EF026076), PVY^W -Alemanha (AJ889867).

As regiões do genoma do PVY correspondendo a todos os genes codificados pelo vírus, além das regiões 5'-UTR e 3'-UTR foram comparadas separadamente entre os isolados do GenBank e os isolados brasileiros estudados. As árvores filogenéticas

geradas dos diferentes alinhamentos foram visualizadas com auxílio do programa Megasuite 4 ([HTTP://www.megasoftware.net](http://www.megasoftware.net)).

6.1- Comparação da sequencia de nucleotídeos da região 5'UTR

Na árvore filogenética gerada a partir do alinhamento da região 5'NTR dos isolados em estudo e dos isolados publicados, que compreendeu toda a região 5'NTR, verificou-se uma divisão em dois grupos distintos (Figura-26). Um grupo formado pelos isolados necróticos oriundos da América, com exceção do PVY^N do Japão, onde foram agrupados os isolados necróticos brasileiros em estudo. Um segundo grupo foi formado por isolados necróticos e comuns provenientes dos continentes Europeu e Asiático, sendo que o isolado OBR em estudo ficou nesse grupo.

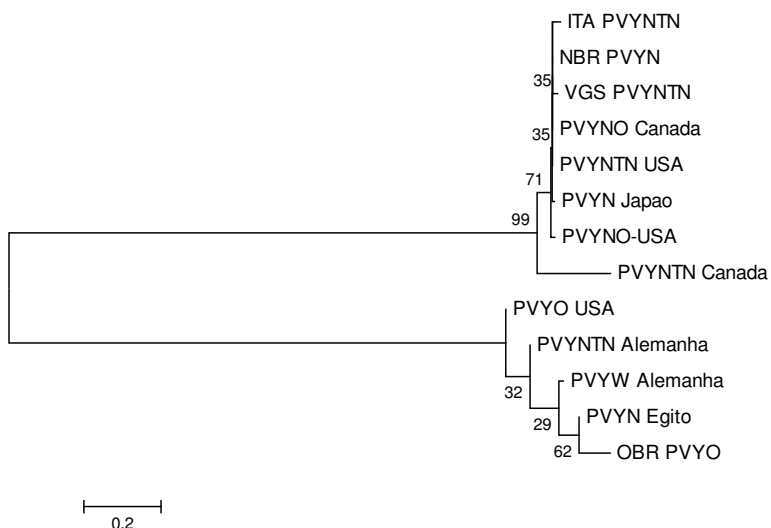


Figura-26- Árvore filogenética obtida a partir das seqüências de nucleotídeos da proteína 5'UTR de isolados de PVY e de alguns isolados de PVY publicados em bancos de dados. O comprimento dos ramos horizontais é proporcional à distância genética entre os isolados; os ramos verticais são arbitrários. Os números sobre os ramos indicam a porcentagem de repetições da análise de *bootstrap* na qual as ramificações foram observadas.

Na análise de identidade dos 170 nucleotídeos sequenciados do isolado ITA, que compreendeu toda a região 5'UTR, quando comparado com os isolados já publicados

no banco de dados apresentou uma identidade que variou de 50,7 a 98,4%, sendo a menor identidade observada quando ITA foi comparado com o isolado EF026074(PVY^O-USA) e a maior com o isolado AY745492 (PVY^{N:O}-Canadá).

Já análise dos 168 nucleotídeos sequenciados do isolado NBR, quando comparado com os isolados do banco de dados teve uma variação de 56,0 a 98,0%, sendo a identidade de 56,0 % observada quando se comparou com o isolado AJ889867(PVY^W-Alemanha) e AF522296(PVY^N-Egito) e de 98,0%, comparado com o isolado AB270705 (PVY^N-Japão).

Na análise da região 5'UTR do isolado OBR foram sequenciados 152 nucleotídeos dessa região, sendo que a identidade obtida variou de 51,0 a 93,4%. A menor identidade foi observada no alinhamento com o isolado AY166866 (PVY^{NTN}-Canadá) e a maior percentagem de identidade obtida quando OBR foi comparado com o isolado EF026074(PVY^O-USA).

Na análise da região 5'UTR do isolado VGS os 169 nucleotídeos apresentaram uma variação na identidade de 57,3 a 90,7%, sendo a de 50,3% quando comparado com o isolado EF026074 (PVY^O-USA) e a maior identidade de 90,7%, foi observada com o isolado AY745492 (PVY^{N:O}-Canadá).

Entre os isolados brasileiros em estudo, os isolados necróticos, ITA, VGS e NBR apresentaram uma identidade entre 96 a 97%, já o OBR quando comparado com esses isolados necróticos apresentou uma identidade que variou de 52 a 53%.

6.2-Alinhamento múltiplo dos nucleotídeos da região 5'UTR

Através do alinhamento múltiplo dos nucleotídeos dos isolados, obtido através do Programa Clustal W para os 13 isolados comparados, a análise iniciou-se na posição 13, do isolado ITA, onde todos os isolados alinharam. Foram observadas diferenças nas

posições 80 e 110, do isolado ITA, onde ele possui uma citosina no lugar de uma timina e na posição e 127 uma timina no lugar de uma citosina. O isolado VGS apresentou na posição 81 uma timina no lugar de uma citosina. Maior diferença foi constatada no isolado OBR, que apresentou diferenças de nucleotídeos em varias posições, quando comparado com os isolados necróticos do grupo 1 da árvore filogenética, comprovando com isso a divisão dos isolados em dois grupos como observado na Figura-20.

A extensão da região 5'UTR mostrou diferenças, principalmente para os isolados necróticos em estudo, VGS, ITA e NBR. Os dois grupos apresentaram inserções de nucleotídeos, sendo para o grupo 1 foi observado a inserção de um e dois nucleotídeos e para o grupo 2 de três e quatro nucleotídeos em posições diferentes.

Em relação aos blocos denominados por Turpen (1989) como “Box a” (ACAAACAU) e “Box b” (UCAAGCA), a região “Box a” mostrou-se conservada entre os três isolados necróticos. Já a região “Box b” apresentou algumas diferenças nos quatro isolados analisados (Figura-27).

Figura-27- Alinhamento múltiplo de nucleotídeos da região 5'UTR dos quatros isolado brasileiros em estudo. Onde a região “Box a” esta em negrito e a região “Box b” esta sublinhada.

6.3-Comparação da sequência de nucleotídeos da região P1

Na região que codifica a proteína P1 foram comparados apenas 12 isolados, pois para o isolado em estudo VGS, não foi possível obter a sequência de toda a região que compreende a P1 sequenciada. Diferente do observado na 5'UTR, os isolados se dividiram em três grupos (Figura-28) sendo que, mais uma vez, os isolados do subgrupo necrótico apresentaram uma divisão geográfica, como descrito por Nie & Singh (2002a,b). Todos os isolados Norte-Americanos foram agrupados em um grupo, juntamente com o isolado do subgrupo necrótico em estudo, o ITA e o isolado necrótico NBR. Outro grupo compreendeu os dois isolados do subgrupo necrótico Europeus, enquanto um terceiro grupo, foi formado pelo isolado comum em estudo OBR, pelo isolado comum do USA e o isolado necrótico do Japão.

No alinhamento dos nucleotídeos dos isolados em estudo com os isolados publicados, que compreendeu toda a região P1, o isolado OBR foi aquele que apresentou o gene de maior tamanho, com 835 nucleotídeos, contra 825 nucleotídeos do isolado NBR e 804 nucleotídeos do ITA. A região P1 do isolado necrótico ITA apresentou identidade que variou de 53,4 a 93,1%, sendo a identidade de 53,4% observada quando comparada com a região P1 do isolado AF522296 (PVY^N-Egito) e de 93,1% com a região P1 dos isolados AJ889866 (PVY^{NTN}-Alemanha) e o EF026075(PVY^{NTN}-USA).

Já a identidade da mesma região do isolado NBR variou de 71,0 a 99,0%, sendo o menor valor obtido da comparação com a P1 do isolado AJ889866 (EF026074 (PVY^O-USA) e o maior valor da comparação com EF026076 (PVY^{N:O} do USA). Já o isolado OBR, apresentou uma variação de identidade de 52,2 a 96,6%, sendo a de 52,2 % obtida da comparação entre a P1 do isolado OBR e o isolado EF026075(PVY^{NTN}-

USA) e AJ889866 (PVY^{NTN}- Alemanha) a de 96,6% com o isolado EF026075(PVY^O- USA). Esses dados confirmam que a região P1 apresenta uma variabilidade, conforme previsto por Tordo *et al.* (1995).

Na comparação entre os isolados em estudo os isolados necróticos, NBR e ITA, apresentaram uma identidade de 93% e quando comparado com o OBR a identidade obtida foi entre 70 a 71% respectivamente.

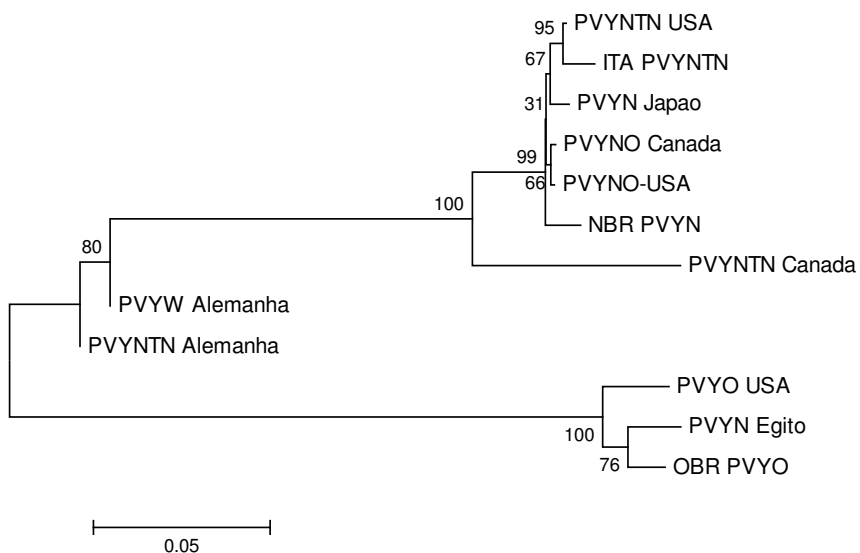


Figura-28- Árvore filogenética obtida a partir das seqüências de nucleotídeos da proteína P1 de isolados brasileiros de PVY e de alguns isolados de PVY publicados. O comprimento dos ramos horizontais é proporcional à distância genética entre os isolados; os ramos verticais são arbitrários. Os números sobre os ramos indicam a porcentagem de repetições da análise de *bootstrap* na qual as ramificações foram observadas.

6.4-Alinhamento múltiplo dos nucleotídeos da região P1

Através do alinhamento múltiplo dos nucleotídeos dos isolados obtido através do Clustal W, para os 12 isolados comparados, a analise começou do segundo nucleotídeo, onde todos alinharam, observou-se que os oitos primeiros nucleotídeos foram conservados, e como já apresentados anteriormente, o isolado comum em estudo apresentou um número maior de nucleotídeos. Foram observadas varias diferenças entre

os nucleotídeos dos dois isolados necróticos em estudo, como por exemplo, nas posições 208, o NBR apresentou uma adenina contra uma guanina do ITA e na posição 645, o isolado ITA possui uma inserção e o NBR uma citosina. Já o isolado comum em estudo, OBR, mostrou varias diferenças quando comparado com os isolados necróticos em estudo. Numa comparação global, o grupo 2 teve uma maior similaridade com o grupo 3.

6.5-Comparação da sequencia de nucleotídeos da região HC-PRO

Apenas o isolado NBR em estudo apresentou essa região completamente sequenciada. Para os outros três isolados essa região foi parcialmente determinada. Diferentemente do observado nas regiões 5'UTR e na P1, a filogenia da região HC-PRO não dividiu os isolados geograficamente. Formaram-se dois grupos onde no primeiro, encontram-se os isolados necróticos europeus e americanos e o isolado NBR. Já no segundo grupo foi formado pelos isolados PVY^N do Egito e o PVY^O do USA (Figura-29).

A região HC-PRO obtida do isolado NBR foi de 1395 nucleotídeos, que compreendeu toda a região da proteína, e as identidades obtidas da comparação entre as regiões da HC-PRO de NBR com os isolados publicados, variou de 65,0% com o isolado AF522296 (PVY^{NTN}-Alemanha) a 99,0% com o EF026075(PVY^{NTN}-USA).

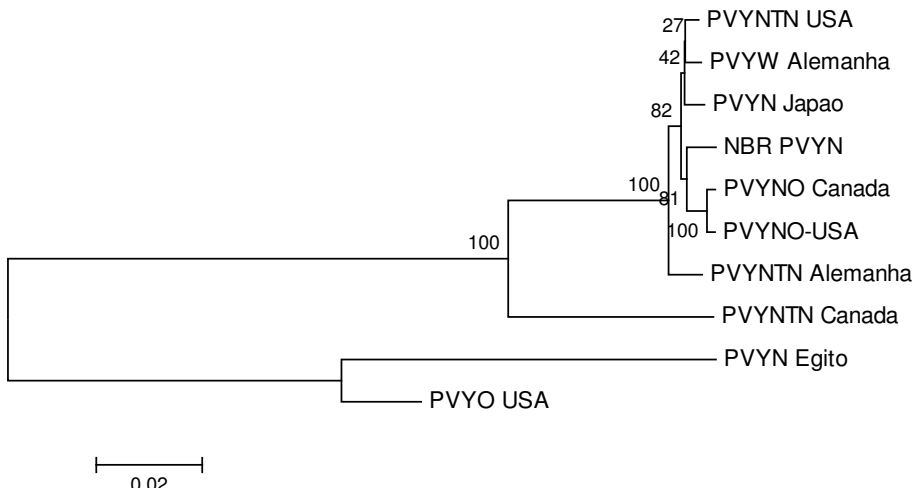


Figura-29- Árvore filogenética obtida a partir das seqüências de nucleotídeos da proteína HC-PRO de isolados brasileiros de PVY e de alguns isolados de PVY publicados. O comprimento dos ramos horizontais é proporcional à distância genética entre os isolados; os ramos verticais são arbitrários. Os números sobre os ramos indicam a porcentagem de repetições da análise de *bootstrap* na qual as ramificações foram observadas.

6.6-Alinhamento múltiplo dos nucleotídeos da região HC-PRO

A análise do alinhamento múltiplo dos nucleotídeos obtido através do Clustal W, foi realizada a partir da posição 41 do NBR, onde todas as sequencias apresentaram o alinhamento adequado. As diferenças observadas nos nucleotídeos do isolado NBR foram apartir da posição 61, onde, no lugar de uma guanina como observado para todos os outros isolados, o NBR apresentou uma adenina, nas posições 107, 265 e 987, o NBR apresentou uma timina no lugar da citosina e na posição 1280 o isolado possui uma timina no lugar da citosina. A diferença de seqüência entre os dois grupos foi clara em todo o alinhamento das sequências.

6.7-Comparação da sequencia de nucleotídeos da região P3 e CI

As regiões P3 e a CI também foram sequenciadas completamente apenas para o isolado NBR e usadas nas comparações. A análise da região P3 do isolado NBR, com os isolados do banco de dados, mostrou através da árvore filogenética que foram formados

dois grupos. O primeiro grupo composto pelos isolados padrões do banco e o segundo grupo formado pelo isolado NBR agrupado com o isolado AJ166866 (PVY^{NTN}-Canadá) (Figura-30). A análise da identidade entre esses isolados demonstrou uma variação de 54,3 a 82,7%, sendo que a identidade de 54,3 % foi obtida na comparação com dois isolados, o AF522296(PVY^N-Egito), enquanto, a maior identidade foi de 82,7% com o isolado AY166866 (PVY^{NTN}-Canadá).

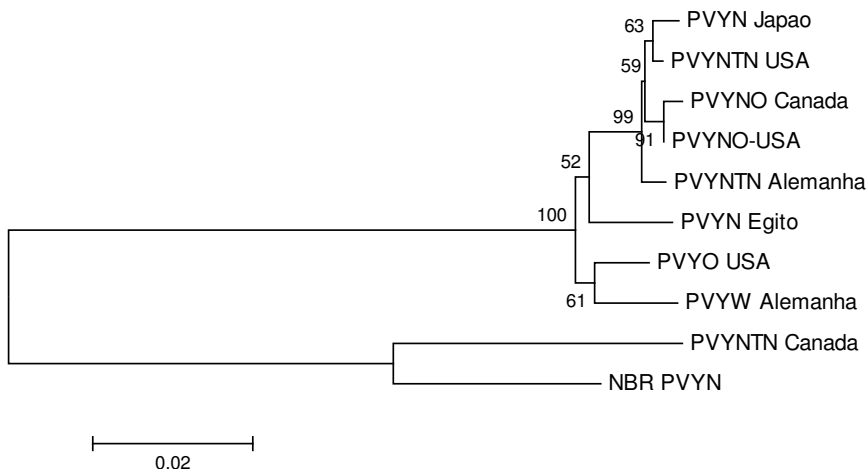


Figura 30-Árvore filogenética obtida a partir das seqüências de nucleotídeos da proteína P3 de isolados de PVY e de alguns isolados de PVY publicados. O comprimento dos ramos horizontais é proporcional à distância genética entre os isolados; os ramos verticais são arbitrários. Os números sobre os ramos indicam a porcentagem de repetições da análise de *bootstrap* na qual as ramificações foram observadas.

Na analise da região CI, pode-se observar que a árvore filogenética formou dois grupos distintos (Figura-31), sendo o primeiro formado, tanto por isolados necróticos americanos, como isolados europeus, além do isolado comum proveniente do banco genético. Já o segundo grupo, foi formado pelo isolado NBR agrupado com o isolado AJ166866 (PVY^{NTN}-Canadá) (Figura-5). A análise da região apresentou uma variação na identidade de 83,8 a 91,6 %, sendo a identidade de 83,8 % observada quando NBR foi alinhado com isolado AJ 889866 (PVY^W-Alemanha) e a de 91,6 % na comparação

com o isolado AY166866 (PVY^{NTN}-Canadá). Esse resultado demonstrou que houve variabilidade na região em relação ao isolado NBR, mesmo sendo uma região considerada altamente conservada por Eagles *et al.*, 1994.

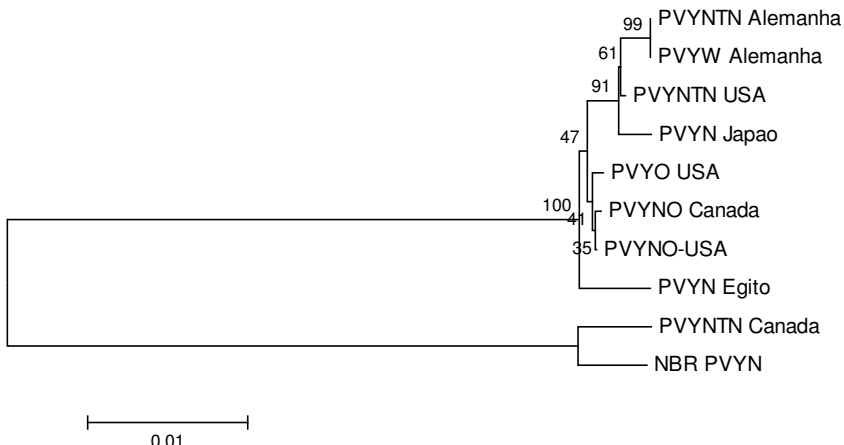


Figura-31-Árvore filogenética obtida a partir das seqüências de nucleotídeos da proteína CI de isolados de PVY e de alguns isolados de PVY publicados. O comprimento dos ramos horizontais é proporcional à distância genética entre os isolados; os ramos verticais são arbitrários. Os números sobre os ramos indicam a porcentagem de repetições da análise de *bootstrap* na qual as ramificações foram observadas.

6.8-Alinhamento multiplo dos nucleotideos da região P3 e CI

No alinhamento multiplo dos nucleotideos da região P3, o isolado NBR mostrou diferenças de nucleotídeos em varias posições do gene quando comparado com os outros isolados publicados. Nas posições 735 a 738 enquanto todos os isolados do banco apresentam uma inserção de 3 nucleotideos o isolado NBR possui os nucleotideos GCG, respectivamente.

Para o alinhamento multiplo dos nucleotideos da região CI, foram comparados a sequência completa de 1902 nucleotideos do isolado NBR. Em relação as diferenças observadas nos nucleotideos entre o isolado NBR e os isolados padrões usados na análise, foi observado que o NBR apresentou algumas diferenças de nucleotideos em relação ao isolado que demonstrou maior identidade de seqüências, o AY166866 (PVY^{NTN}-Canadá). Como na posição 98 o isolado NBR apresentou uma guanina no

lugar da adenina. Na comparação entre os dois grupos, foram observadas varias diferenças entre os nucleotídeos na parte amino terminal até a posição 902.

6.9-Comparação da sequencia de nucleotídeos da região 6K1 e 6K2

A analise da região 6K1 dos três isolados em estudo, OBR, ITA e VGS em comparação com os isolados publicados, mostrou que a árvore filogenetica formou dois grupos. O primeiro grupo foi formado pelos isolados em estudo, ITA ,OBR e VGS juntamente com os isolados necroticos do continente europeu e do continente americano, assim como, o isolado comum do USA. Já no segundo grupo, o isolado AF522296 (PVY^N-Egito) formou um grupo com um único representante.(Figura-32).

A análise de identidade dos 187 nucleotideos do isolado OBR, foi observado uma variação na identidade de 33,1% com o isolado AF522296 (PVY^N-Egito) a 82,0% com os isolados EF026075(PVY^{NTN}-USA), EF026076(PVY^{N:O}-USA), AY745492 (PVY^{N:O}-Canadá) e AB270705(PVY^N-Japão). Para o isolado ITA, os 156 nucleotídeos analisados mostraram uma variação de identidade de 40,6% quando comparado com o isolado AF522296 (PVY^N-Egito) e 100% de identidade quando comparado com os isolados EF026075(PVY^{NTN}-USA), EF026076(PVY^{N:O}-USA) e AB270705(PVY^N- Japão). Finalmente, para o isolado VGS, a região com 156 nucleotídeos mostrou uma variação na sua identidade de 40,6% com o isolado AF522296(PVY^N-Egito) a 100% com EF026075(PVY^{NTN}-USA), EF026076(PVY^{N:O}-USA), AY745492 (PVY^{N:O}- Canadá) e AB270705(PVY^N-Japão).

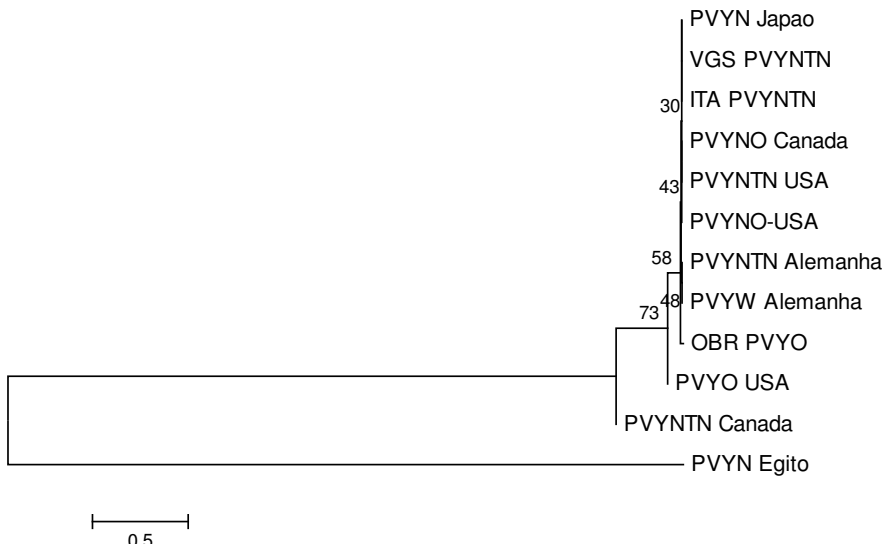


Figura 32-Árvore filogenética obtida a partir das seqüências de nucleotídeos da proteína 6K1 de isolados de PVY e de alguns isolados de PVY publicados. O comprimento dos ramos horizontais é proporcional à distância genética entre os isolados; os ramos verticais são arbitrários. Os números sobre os ramos indicam a porcentagem de repetições da análise de *bootstrap* na qual as ramificações foram observadas.

A árvore filogenética da região 6K2 formou dois grupos (Figura- 33), sendo o primeiro grupo formado pelos quatro isolados em estudo, NBR, OBR, ITA e VGS, agrupados tanto com isolados necróticos, como com isolados comuns e o segundo grupo formado pelo isolado necrótico AF522296 (PVY^N-Egito).

A variação de identidade observada nos 156 nucleotídeos do isolado NBR foi de 36,0% com o isolado AF522296 (PVY^N-Egito) a 99,3% com EF026076(PVY^{N:O}-USA), AY745492 (PVY^{N:O}-Canadá). Já o isolado OBR também possui 156 nucleotídeos com uma variação na identidade de 39,0 a 99,3%, sendo de 39,0% quando comparado com o isolado AF522296 (PVY^N-Egito) e de 99,3% com o isolado com EF026076(PVY^{N:O}- USA) e AY745492 (PVY^{N:O}-Canadá). A análise dos 156 nucleotídeos do isolado ITA mostrou uma variação na identidade de 36,0 a 99,3%, sendo a de 36,0% com o isolado AF522296 (PVY^N-Egito) e a de 99,3% com AY745492(PVY^{N:O}- Canadá) e com EF026076(PVY^{N:O}-USA). O isolado VGS possui 142 nucleotídeos com uma variação na identidade de 35,2% com AF522296 (PVY^N-Egito) a 89,0% com AY745492 (PVY^N-

^o-Canadá). O resultado de identidade confirma a comparação obtida pela arvore filogenética.

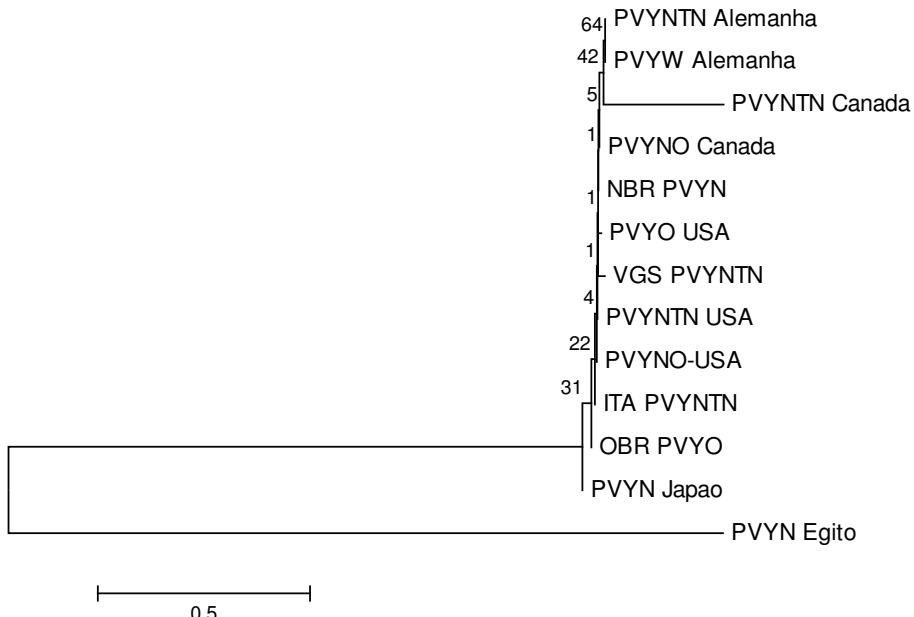


Figura 33-Árvore filogenética obtida a partir das seqüências de nucleotídeos da proteína 6K2 de isolados de PVY e de alguns isolados de PVY publicados. O comprimento dos ramos horizontais é proporcional à distância genética entre os isolados; os ramos verticais são arbitrários. Os números sobre os ramos indicam a porcentagem de repetições da análise de *bootstrap* na qual as ramificações foram observadas.

6.10-O alinhamento multiplo de nucleotídeos da região 6K1 e 6K2

O alinhamento multiplo dos nucleotideos da região 6K1 iniciou-se a partir da posição quatro. O alinhamento mostrou-se parcialmente conservado. Já o alinhamento múltiplo da região 6K2 mostrou ser uma região conservada. As únicas diferenças observadas foram para o isolado OBR na posição 63, onde este isolado apresentou uma timina no lugar da citosina e o isolado VGS na posição 55, que mostrou a presença de uma timina no lugar da citosina.

6.11-Comparação da sequência de nucleotídeos da região VPg

A árvore filogenética da região VPg mostrou a formação de dois grupos distintos (Figura-34), sendo um grupo composto pelos isolados necróticos em estudo, juntamente com alguns isolados necróticos (isolados padrões PVY^{NTN} e o PVY^W provenientes do

banco de dados), e o segundo grupo formado tanto por isolados do subgrupo necrótico, PVY^{N:O}, como por isolados comuns, incluindo o isolado PVY^O caracterizado nesse trabalho.

A análise de identidade dos 564 nucleotideos do isolado NBR mostrou uma variação entre 50,0 a 99,4%, sendo a menor identidade com o isolado AF522296(PVY^N-Egito) e a maior identidade com o AJ889866 (PVY^{NTN}-Alemanha). Já a análise de identidade do isolado OBR apresentou uma variação de 50,2% com o isolado EF026076 (PVY^{N:O}-USA) a 98,0% com AY745492 (PVY^{N:O}-Canadá). O isolado ITA apresentou uma identidade que variou entre 45,1% com AF522296(PVY^N-Egito) a 99,0% com AB270705(PVY^N-Japão). O isolado VGS apresentou uma variação de identidade entre 44,9 a 98,5%, sendo a menor com o isolado AF522296(PVY^N-Egito) e a maior com AJ889866 (PVY^{NTN}-Alemanha).

Na região VPG o isolado necrótico em estudo VGS, apresentou uma identidade de 98% quando comparado com o isolado comum, OBR.

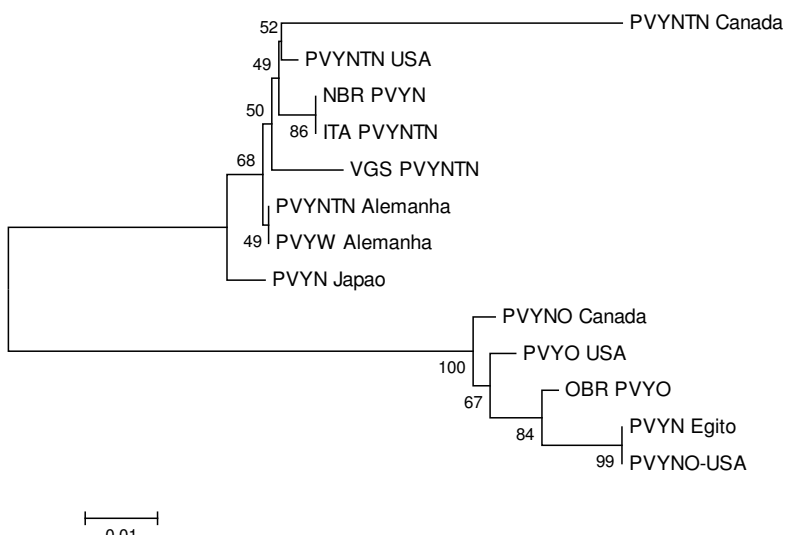


Figura 34-Árvore filogenética obtida a partir das seqüências de nucleotídeos da proteína VPg de isolados de PVY e de alguns isolados de PVY publicados. O comprimento dos ramos horizontais é proporcional à distância genética entre os isolados; os ramos verticais são arbitrários. Os números sobre os ramos indicam a porcentagem de repetições da análise de *bootstrap* na qual as ramificações foram observadas.

6.12-O alinhamento múltiplo de nucleotídeos da região VPg

O alinhamento múltiplo da região começou na posição 1, com exceção dos isolados AF522296 e EF026076 que iniciaram na posição 183. O alinhamento mostrou que os dois grupos formados na árvores filogenética apresentam uma variabilidade significativa.

6.13-Comparação da sequência de nucleotídeos da região NIa

A árvore filogenética da região NIa mostrou uma similaridade com a árvore formada pela região VPg. Dois grupos foram obtidos agrupando os isolados necróticos em estudo com os isolados do subgrupo necrótico, com exceção dos isolados PVY^{N:O} que formou um segundo grupo juntamente o PVY^O dos USA e o PVY^N do Egito (Figura-35).

Em relação à análise dos 727 nucleotídeos do isolado ITA que representam a proteína NIa, a identidade de nucleotídeos variou de 47,2%, com o isolado AF522296 (PVY^N-Egito) a 98,0% com o isolado AJ889866(PVY^{NTN}-Alemanha). O isolado VGS apresentou a região NIa com tamanho de 732 nucleotídeos, que compreendeu toda a região NIa. A comparação de identidade mostrou uma variação de 47,0% obtida da comparação entre a NIa do VGS com o isolado AF522296 (PVY^N-Egito) a 97,0% com o isolado AJ889866(PVY^{NTN}-Alemanha).

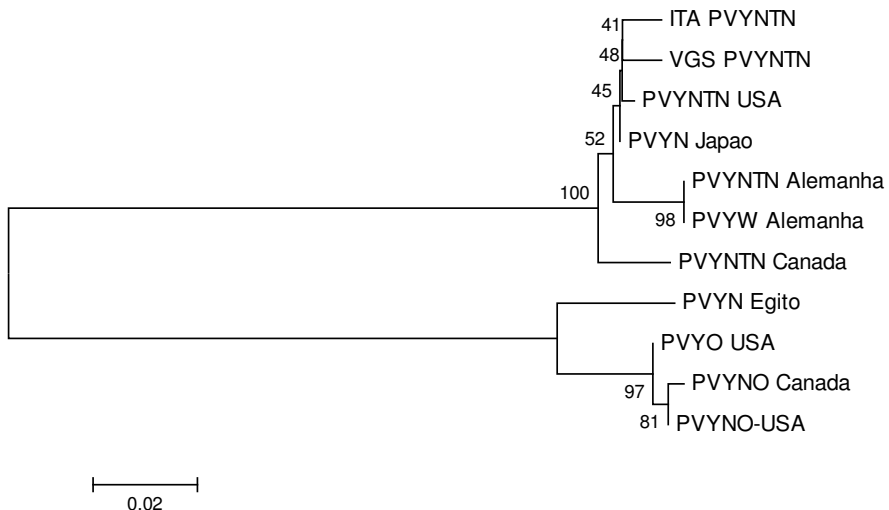


Figura 35-Árvore filogenética obtida a partir das seqüências de nucleotídeos da proteína NIa de isolados de PVY e de alguns isolados de PVY publicados. O comprimento dos ramos horizontais é proporcional à distância genética entre os isolados; os ramos verticais são arbitrários. Os números sobre os ramos indicam a porcentagem de repetições da análise de *bootstrap* na qual as ramificações foram observadas.

6.14--Alinhamento múltiplo de nucleotídeos da região NIa

O alinhamento iniciou-se na posição 11 para a maioria dos isolados, onde todos foram alinhados. Os isolados necróticos em estudos mostraram algumas diferenças no decorrer do alinhamento, como na posição 138 o isolado VGS apresentou uma citosina no lugar de uma timina e nas posições 302 e 303 enquanto os isolados, com exceção do AJ889867, apresentavam nucleotídeos o isolado ITA possui uma inserção de dois nucleotídeos. A divisão observada na árvore filogenética foi confirmada pela variação observada entre os isolados, demonstrando que realmente os isolados se dividem em dois grupos.

6.15-Comparação da sequência de nucleotídeos da região NIb

A árvore filogenética da região NIb apresentou três grupos distintos, sendo o primeiro bem homogêneo contendo somente isolados necróticos, no qual, o isolado necrótico ITA foi agrupado. O grupo dois foi formado apenas pelo isolado AF522296 (

PVY^N do Egito) e o grupo três mostrou-se mais heterogêneo, agrupando isolados necroticos e comuns. Nesse último grupo encontra-se o isolado comum em estudo (Figura-36).

A região NIb do isolado OBR é formada por 1537 nucleotídeos, que compreendem toda a região da proteína NIb. Apresentou uma variação de identidade de 72,7 a 97,8%, sendo a de 72,7 % observada na comparação com a região NIb do isolado AF522296 (PVY^N do Egito) e a identidade de 97,8% observada com o isolado EF026074 (PVY^O -USA). O isolado ITA apresentou uma região NIb contendo 1560 nucleotídeos, que também compreendeu toda a região da proteína NIb. As identidades obtidas do alinhamento com os isolados do banco de dados variaram de 69,4% com a região NIb do isolado AF522296 (PVY^N -Egito) a 99,0% com o isolado EF026075 (PVY^{NTN} -USA).

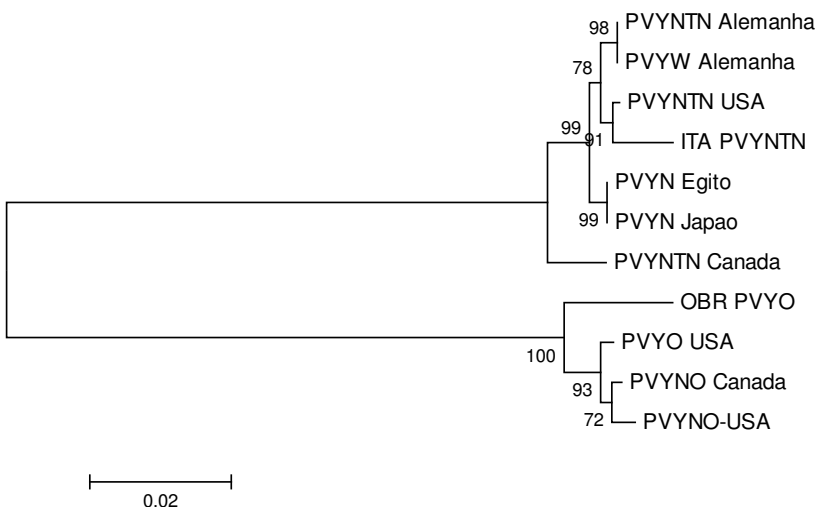


Figura 36-Árvore filogenética obtida a partir das seqüências de nucleotídeos da proteína NIb de isolados de PVY e de alguns isolados de PVY publicados. O comprimento dos ramos horizontais é proporcional à distância genética entre os isolados; os ramos verticais são arbitrários. Os números sobre os ramos indicam a porcentagem de repetições da análise de *bootstrap* na qual as ramificações foram observadas.

6.16-O alinhamento múltiplo nucleotídeos da região N1b

Na análise do alinhamento múltiplo da região N1b podemos observar várias diferenças, principalmente entre os grupos formados no estudo filogenético. Em relação aos isolados em estudos foram observadas algumas diferenças no decorrer do alinhamento, como por exemplo na posição 120 o isolado OBR apresenta uma guanina no lugar de uma adenina, nas posições 802 e 824 o OBR possui uma citosina no lugar de uma timina e o isolado VGS na posição 168 possui uma adenina no lugar de uma guanina.

6.17-Comparação da sequência de nucleotídeos da região CP

Na análise da árvore filogenética da região CP (Figura-37), verificou-se que os isolados se dividiram em dois grupos, conforme descrito por Revers et al., (1996). O grupo 1, mais heterogêneo, foi formado pelos isolados de PVY^{N:O}, PVY^O, PVY^N e PVY^W, sendo que o isolado comum em estudo OBR, foi inserido nesse grupo, enquanto, que o grupo 2, bem mais homogêneo, foi composto por isolados necróticos. Os isolados necróticos em estudo, NBR e ITA, foram agrupados nesse segundo grupo.

A região CP seqüenciada do isolado NBR possui 948 nucleotídeos, que compreendeu toda a região da CP. As identidades obtidas da comparação com a região da CP dos isolados publicados foram de 67,4% com o isolado AF522296 (PVY^N do Egito) e de 85,0% com o isolado EF026075(PVY^{NTN}-USA).

O isolado OBR apresentou uma região CP com o tamanho de 801 nucleotídeos, que também compreendeu toda a região da CP. As identidades obtidas do alinhamento com a região CP dos isolados publicados variou de 62,0 a 98,5%, sendo a menor identidade obtida com o isolado AF522296 (PVY^N-Egito) e a maior com o isolado EF026074(PVY^O-USA).

A capa protéica do isolado ITA apresentou um tamanho de 809 nucleotídeos, que também compreendeu toda a região da CP. As identidades variaram de 55,0% com a região da CP do isolado AF522296 (PVY^N-Egito) a 98,0% com o isolado EF026075 (PVY^{NTN}-USA).

Nessa região a maior identidade entre os isolados em estudo foi observada na comparação entre o isolado do subgrupo necrótico ITA e o isolado comum OBR, com um valor de identidade de nucleotídeos de 90%.

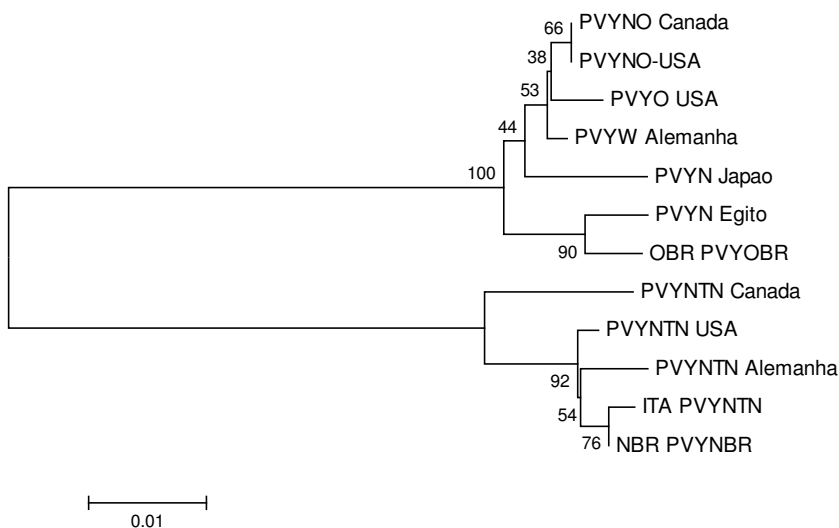


Figura 37-Árvore filogenética obtida a partir das seqüências de nucleotídeos da CP de isolados de PVY e de alguns isolados de PVY publicados. O comprimento dos ramos horizontais é proporcional à distância genética entre os isolados; os ramos verticais são arbitrários. Os números sobre os ramos indicam a porcentagem de repetições da análise de *bootstrap* na qual as ramificações foram observadas.

6.18-O alinhamento múltiplo de nucleotídeos da região CP

O alinhamento múltiplo da região CP mostrou que o isolado OBR foi divergente, em relação aos outros dois isolados em estudo, NBR e ITA, apresentando vários nucleotídeos diferentes em vários pontos da seqüência do gene. Em todo o alinhamento foram observadas 5 inserções, com exceção do isolado ITA que não apresentou inserções na seqüência da CP.

Na região C-terminal do gene CP, os isolados AJ889867 (PVY^W-Alemanha) AJ889866 (PVY^{NTN}-Alemanha) assim como, o isolado necrótico em estudo, ITA, mostraram a presença de uma timina, não observada para os outros isolados.

6.19-Comparação da sequencia de nucleotídeos da região 3'UTR

A árvore filogenética da região 3'UTR dividiu os isolados em dois grupos bem heterogêneos (Figura-38). O Grupo 1 onde os isolados em estudo, OBR, NBR e ITA, ficaram agrupados com os isolados necróticos e também com o isolado comum, PVY^O proveniente dos USA. Já o Grupo 2, agrupou os isolados AF5222969 (PVY^N-Egito) e o AJ166866 (PVY^{NTN}-Canadá).

A região 3'UTR do isolado NBR possui 333 nucleotídeos, que compreendeu toda a região 3'UTR. As identidades de nucleotídeos apresentaram uma variação, quando comparadas com a região 3'UTR dos isolados do banco de dados, de 77,1% com o isolado AY166866 (PVY^{NTN}-Canada) a 99,6% com o isolado AB270705(PVY^N-Japão). O isolado OBR possui uma região 3'UTR de 390 nucleotídeos, que cobre toda a região da 3'UTR. As identidades apresentaram uma variação de 70,0% com o isolado AY166866 (PVY^{NTN}-Canada) a 83,3% com dois isolados o EF026075(PVY^{NTN}-USA). A região 3'UTR do isolado ITA apresentou um tamanho de 397 nucleotídeos, que também compreendeu toda a região 3'UTR. As variações de identidade apresentadas foram de 68,0 a 81,2%, sendo a identidade de 68,0% obtida da comparação com a região 3'UTR do isolado publicado AY166866 (PVY^{NTN}-Canada) e a de 81,2% observada com o isolado EF026075(PVY^{NTN}-USA).

Nessa região a maior identidade foi observada para os isolados brasileiros em estudo, entre o isolado comum, OBR e o isolado NBR, com identidade de 84%.

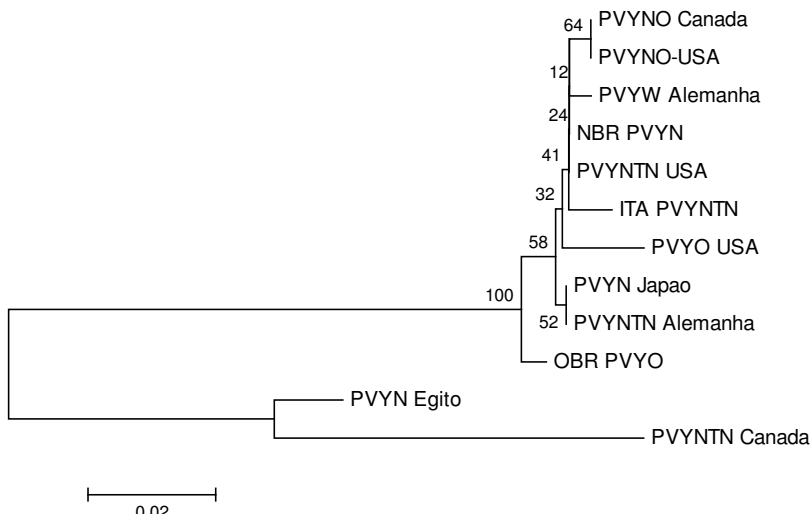


Figura 38-Árvore filogenética obtida a partir das seqüências de nucleotídeos da 3'UTR de isolados de PVY e de alguns isolados de PVY publicados. O comprimento dos ramos horizontais é proporcional à distância genética entre os isolados; os ramos verticais são arbitrários. Os números sobre os ramos indicam a porcentagem de repetições da análise de *bootstrap* na qual as ramificações foram observadas.

6.20-O alinhamento múltiplo de nucleotídeos da região 3'UTR

O alinhamento múltiplo mostrou que a região é conservada. As diferenças começaram a partir da posição 116 onde o OBR possui uma guanina no lugar de uma adenina. Já o isolado necrótico ITA na posição 286, onde todos os outros apresentam uma guanina ele possui uma inserção e na posição 295 apresenta uma adenina no lugar de uma guanina.

Discussão

O PVY tem sido o principal problema relacionado à degenerescência da batata-semente nos últimos anos (Figueira *et al.*, 1996). Em plantas de batata, os sintomas causados pelo PVY dependem da variedade e das condições de fertilidade do solo, temperatura, umidade, e, principalmente, da estirpe do PVY (Hébrard *et al.*, 1999; Robert & Bourdin, 2001; Souza Dias & Iamauti, 2005a), sendo o PVY o mais comum e importante causador de mosaico. Os sintomas do mosaico são geralmente visíveis em folhas novas (De Bokx *et al.*, 1996; Ellis *et al.*, 1997; Makivalkama *et al.*, 2001). Quanto às estirpes que infectam batata em nível mundial, são conhecidas pelo menos três: PVY^N, PVY^O e PVY^C (Chrzanowska, 1994; Banttari *et al.*, 1993; Salazar, 1996; Ellis *et al.*, 1996; Daniels & Schons, 2003; Souza-Dias & Iamauti, 2005).

Entretanto, devido à grande variabilidade existente, alguns isolados de PVY não se enquadram nestes grupos tradicionais (Shukla *et al.*, 1988). Provavelmente uma das principais causas da grande diversidade existente seria a alta taxa de recombinação existente entre isolados de PVY (Revers *et al.*, 1996), influenciando na epidemiologia e determinando sua sobrevivência em campo. Um desses variantes é o PVY^{NTN}, que causa sintoma de anéis necróticos nos tubérculos. Sua diagnose é complicada porque os tubérculos infectados nem sempre apresentam sintomas visíveis por ocasião da colheita, surgindo durante o período de armazenamento do tubérculo. Isso foi constatado por Le Romancer & Nedellec (1997), que testaram 33 cultivares de batata e observaram que a maioria, (28 cultivares), apresentou necrose, exceto nas cultivares que possuem resistência conferida pelo gene *Ry*.

O fato de o Brasil ser ainda dependente da importação de batata-semente básica faz com que o risco de introdução de novos isolados de vírus seja relativamente alto.

Não se sabe quantos nem quais são as estirpes de PVY atualmente existentes no território nacional. Em geral, os tubérculos-semente aqui plantados têm sido importados da Europa, Canadá e Estados Unidos. Com isso acredita-se que os isolados necróticos brasileiros possuem como ancestral comum com os isolados desses países. Segundo Nie & Singh (2002), o subgrupo necrótico PVY^{NTN} pode ser dividido em dois grupos, um Norte Americano e um outro grupo Europeu, sendo a diferenciação desses isolados realizada com a combinação de várias técnicas.

Nesse trabalho, primeiramente foi feita a identificação de cada isolado com o teste DAS-ELISA usando anticorpo policlonal contra PVY, para confirmação da identidade sorológica dos quatro isolados em estudo, comprovando que eles representam isolados de PVY.

Entretanto, mesmo a utilização de anticorpos monoclonais produzidos a partir de polipeptídios sintéticos para as regiões C-terminal (Ohshima *et al.*, 1992) ou N-terminal da capa (Ounouma *et al.*, 2002) não permitiriam a diferenciação entre as estirpes e subgrupos de PVY (Ellis *et al.*, 1996; Boonham & Barker, 1998). Assim sendo, foi realizado um “tripex RT-PCR” usando a metodologia descrita por Nie & Singh (2003), para confirmar a purificação biológica de cada estirpe, o que resultou na identificação e confirmação do isolamento biológico de um isolado de PVY^O, um de PVY^N e dois de PVY^{NTN}.

Na análise dos sintomas ficaram evidentes as diferenças existentes entre os dois isolados necróticos, ITA e VGS, nas variedades Mundial, Monalisa e Canoinhas. Essas variedades apresentaram sintoma típico de topo crespo (“Bouquet”), quando inoculado com o isolado VGS. Isso mostrou que o sintoma de topo crespo pode ocorrer em outras variedades que não a Monalisa, como relatado por Souza-Dias (2005). Esse resultado

vem reforçar que o sintoma de topo crespo é causado pelo PVY, sem qualquer infecção mista.

Considerando a comparação entre os isolados de PVY, a pergunta ainda sem resposta seria: Existe uma correlação entre os diferentes sintomas observados entre os isolados necróticos e não-necróticos de PVY com as diferenças genéticas (seqüência de nucleotídeos e aminoácidos) encontradas nos genes virais e regiões não-codantes desses isolados? Para tentar responder a essa questão, nesse trabalho quatro isolados brasileiros de diferentes regiões geográficas e causando sintomas necróticos (isolados NBR, ITA e VGS) e não-necróticos (isolados OBR) foram seqüenciados e comparados com isolados padrões já caracterizados em várias regiões do mundo cujas seqüências estão disponíveis no banco de dados.

O segmento 5' terminal demonstrou ser a região que apresenta a maior variabilidade no genoma do PVY (Thole *et al.*, 1993), como também foi verificado por Tordo *et al.*(1995), quando a sequência completa de um isolado PVY^{NTN} foi comparada.

Examinando a árvore filogenética, obtida com 500 repetições nesse trabalho, observou-se que a região 5'UTR forma dois grupos, como sugerido por Nie & Singh (2000a; 2002b), onde os isolados europeus se diferenciam dos isolados necróticos norte americanos. Os isolados necróticos brasileiros em estudo ficaram agrupados com os isolados americanos, e o OBR foi agrupado tanto com o isolado comum americano como com os necróticos europeus. É atípico o fato do isolado comum se agrupar com isolados necróticos, sugerindo que o isolado OBR apresenta diferença significativa com os isolados necróticos americanos, porém, se agrupam com os isolados europeus. Nesse caso específico essa região pode ser usada para diferenciar os isolados necróticos de acordo com sua origem geográfica.

A capa protéica é a região mais estudada (Shukla & Ward, 1989a; b) entre os *Potyvirus* (Dhar & Singh, 1997; Cerovszá *et al.*, 2001) sendo usada para a demarcação de espécies do gênero. Examinando a árvore filogenética dessa região obtida com base nas seqüências de nucleotídeos, constatamos que os isolados se dividiram em dois grupos, porém, não houve correlação com a origem geográfica dos isolados. Esse resultado demonstra que a região CP não agrupou os isolados considerando a região geográfica de origem, mas diferencia os isolados necróticos PVY^{NTN} dos isolados comuns, assim como, dos isolados do subgrupo necrótico PVY^{N:O}. Esses resultados demonstraram que, nessa região, ocorre variabilidade entre os isolados dos subgrupos necróticos PVY^{N:O} e o PVY^{NTN}.

A proteína P3 tem função relacionada à replicação do genoma e patogenicidade, sendo uma proteína que apresenta significativa variabilidade (Shukla *et al.*, 1994). O alinhamento múltiplo do isolado NBR (único que apresentou essa região totalmente seqüenciada) com outros 9 isolados do complexo PVY na região P3, apresentou várias substituições de nucleotídeos. Nas posições 108 a 140 o isolado apresentou 20 mutações e nas posições 146 a 167 foram 13 pontos de mutação, além de outras várias mutações ao longo da sequência comparada. A variabilidade atribuída à proteína P3 conforme descrita por Shukla *et al.* (1994) pode explicar o alto número de mutações observada para o isolado NBR.

O estudo comparativo do genoma do isolado OBR demonstrou que este apresentou uma maior identidade de nucleotídeos com o isolado EF 026074-PVY^O-USA que variou de 80,2 a 98,7 %, dependendo da região genômica analisada. Entretanto, na análise das árvores filogenéticas das regiões do genoma determinadas, o isolado OBR, na maioria das vezes, agrupou-se com o isolado AF522296-PVY^N-Egito. Esses resultados discrepantes podem ser explicados pela forma com que os dados

comparativos são gerados. Enquanto na comparação de identidade os isolados são analisados dois a dois, na construção da árvore filogenética um conjunto de isolados é empregado para obter-se a história evolutiva desse grupo. Portanto, possíveis eventos de recombinação podem influenciar na determinação do relacionamento filogenético de isolados de PVY, fato que não é detectado pela simples análise de identidade das regiões do genoma. Essa possibilidade pode explicar a identidade de nucleotídeos mais alta com o isolado PVY^O do USA, porém, apresentando relacionamento evolutivo mais próximo do isolado PVY^N do Egito. Uma análise conclusiva poderá ser obtida a partir do sequenciamento completo do genoma do isolado OBR.

O isolado do subgrupo necrótico ITA apresentou uma maior identidade com os isolados do subgrupo necrótico, PVY^{NTN} e PVY^{N:O}, tanto americano como europeu. Essa alta identidade com isolados americanos e europeus pode ser um indicativo de que o PVY^{NTN} brasileiro possui ancestrais comuns tanto na América como na Europa, provavelmente decorrente de importações de batata sementes desses continentes, fato que permitiu a geração de isolados com características comuns aos dois grupos.

O isolado também apresentou uma identidade significativa com os isolados AB270705- PVY^N do Japão e com EF026074-PVY^O-USA nas regiões da 6K1, 6K2, VPg, CP e da 3'UTR mostrando uma identidade de nucleotídeos que variou de 80,2% a 100%. Essas identidades observadas podem confirmar o estudo realizado por Revers *et al.* em 1996, onde, através da análise dessas regiões do genoma, sugeriram que o PVY^{NTN} seria resultante de eventos de recombinação entre PVY^O e o PVY^N. As comparações demonstraram que esses eventos de recombinação ocorriam principalmente nas regiões da capa protéica e 3'NTR.

Em relação à severidade de sintomas, o isolado VGS apresenta sintomas mais severos em algumas variedades de batata. Porém, como ainda não temos o genoma

completo sequenciado dos dois isolados brasileiros do subgrupo necrótico, não é possível relacionar a patogenicidade diferenciada desses isolados com possíveis alterações nos genes virais. Essa comparação poderia ser estudada, após sequenciamento completo das regiões P1, P3 e CP, propostas como envolvidas na patogenicidade de isolados do complexo PVY. A correlação dessas proteínas com manifestação e intensidade de sintomas foi observada e descrita por vários autores, como Verchot & Carrington, (1995b) que relacionam a proteína P1 a infectividade, além da atividade auto-proteolítica. Já a proteína P3, é um dos produtos gênicos menos estudados dos potyvirus, sendo que Shukla *et al.*, (1994) sugere que a proteína tenha função relacionada com a replicação do genoma e patogenicidade da planta. A proteína CP é a proteína mais estudada e amplamente empregada do ponto de vista taxonômico e possui uma série de funções, entre elas a indução de sintomas (Naderi & Berger, 1997).

Na análise global das comparações realizadas nesse estudo, os isolados do subgrupo necrótico PVY^{NTN}, ITA e VGS, apresentaram nas regiões seqüenciadas, principalmente nas regiões 6K1, 6K2, VPg, CP e 3'UTR identidades significativas tanto com o isolado comum, PVY^O, quanto com o isolado necrótico PVY^N. Esses resultados confirmam aqueles obtidos por Glais *et al.* (2002), os quais demonstraram que o subgrupo PVY^{NTN} possui seu genoma constituído por uma mistura de segmentos com características de PVY^N e PVY^O.

Na comparação entre os isolados em estudo foi observado que nas regiões 5'UTR e P1 os isolados do subgrupo necrótico, ITA e VGS, apresentaram uma identidade maior com o isolado NBR e nas regiões CP e 3'UTR a maior identidade observada foi com OBR. Já na região VPg a identidade encontrada foi a mesma tanto na comparação com OBR como com o NBR. Esse resultado sugere que os isolados

brasileiros do subgrupo necrótico também apresentam genomas formados por segmentos de PVY^N e PVY^O.

O agrupamento atípico de isolados necróticos (PVY^N) com isolados do subgrupo necrótico (PVY^{NTN}) juntos com isolados comuns (PVY^O), demonstraram a dificuldade de correlacionar-se as variações nas sequências de nucleotídeos das regiões 5'UTR, 6K1, 6K2, VPg, NIa, NIb, CP E 3' UTR com os sintomas induzidos nas hospedeiras. Já na região P1, o isolado comum em estudo, OBR, ficou separado tanto dos isolados necróticos como do subgrupo necrótico, com exceção do isolado AF522296 (PVYN-Egito). No entanto, é necessário destacar, que o isolado do Egito designado como necrótico, sempre foi agrupado com isolados comuns nas comparações das regiões do genoma em estudo. Essa variação consistente encontrada na região P1 parece indicar que essa proteína pode estar relacionada à expressão de sintomas. Para sustentar essa observação será necessário sequenciar a região do isolado VGS e realizar novas comparações com outros isolados já publicados.

Com os genes virais já seqüenciados podemos observar que nas regiões VPg, NIa e NIb, os isolados do subgrupo PVY^{N,O} foram agrupados com os isolados comuns, e não com os isolados PVY^{NTN} como era esperado. Em consequência, as diferenças observadas nessas regiões podem ser responsáveis pela indução de sintomas de necrose em tubérculos de batata ocorrendo com maior frequência nos isolados PVY^{NTN}, quando comparados com isolados do subgrupo PVY^{N,O}.

Outro fato observado na comparação das regiões já seqüenciadas demonstrou que os isolados necróticos brasileiros apresentaram relacionamento filogenético tanto com isolados americanos como com isolados europeus, o que pode estar relacionado à introdução de diversidade genética através da importação de batata semente de diferentes origens geográficas. Tal constatação demonstra a necessidade constante de

caracterização biológica e molecular dos isolados brasileiros, para que possamos observar as variabilidades existentes entre eles e podermos entender melhor a evolução do complexo PVY presente no país. Em última análise, a identificação desses variantes virais é de grande importância para o estabelecimento de métodos de manejo das infecções virais em condições de campo.

Para obtermos uma visão completa das diferenças existentes entre as estirpes brasileiras e o subgrupo que elas representam, será necessário finalizar o sequenciamento e realizar as comparações das seqüências de nucleotídeos e de aminoácidos com os vários isolados caracterizados e disponíveis no banco de dados. Essas comparações permitirão caracterizar os eventos de seleção nas diferentes proteínas para que possamos desvendar suas funções biológicas. Poderão também, permitir o entendimento dos fatores determinantes externos, como planta hospedeira, insetos vetor e ambiente físico e fatores internos, como as funções biológicas das proteínas que seguramente, exercem uma pressão evolucionária sobre o genoma dos *Potyvirus*.

Referências Bibliográficas

- AAZIZ , R. & TEPFER, M. Recombination in RNA viruses and in virus-resistant transgenic Plants. *Journal of General Virology* 80: 1339–1346. 1999.
- ABBA. Prêmio idéia inovadora Congresso Mundial da Batata. *Batata Show* 5 (12): 7. 2005.
- ACCATINO, P. Agronomic management in the utilization of true potato seed: Preliminary results. In: The production of potatoes from true seed. Pholoppines. 61-99.1980
- ADAMS, M. J., ANTONIW, J. F. & BEAUDIOIN, F. Overview and analysis of the polyprotein cleavage sites in the family Potyviridae. *Molecular Plant Pathology* 6(4):471- 487. 2005b.
- ADAMS, M. J.; ANTONIW, J. F. & FAUQUET, C. M. Molecular criteria for genus and species discrimination within the family Potyviridae. *Archives of Virology* 150:459-479. 2005a.
- AGRIANUAL - Anuário da Agricultura Brasileira. São Paulo: FNP Consultoria, 2005.
- ALI M.C., MAOKA T. & NATSUAKI K. T. Whole Genome Sequence and Characterization of a Novel Isolate of PVY Inducing Tuber Necrotic Ringspot in Potato and Leaf Mosaic in Tobacco. *Journal of Phytopathology*, 2007.
- ALON, Y. & BEN ZEEV, I. Operation of a commercial enzyme-linked immunosorbent assay (ELISA) and seed testing laboratory. In: Loebenstein, G.; Berger, P.H.; Brunt, A.A.; Lawson, R.H. (eds). Virus and virus-like diseases of potatoes and production of seed-potatoes. Dordrecht, Klumer Academic Publishers 311 – 322. 2001.
- AMMAN, E.D., JÄRLFORS, V. & PIRONE, T.P. Association of potyvirus helper component protein with virions and the cuticle lining the maxillary food canal and foregut of an aphid vector. *Phytopathology* 84:1054-1060. 1994.
- ANANDALAKSHMI R., PRUSS G. J., MARATHE R., MALLORY A. C., SMITH T. H. & VANCE V. B. A viral suppressor of gene silencing in plants. *Proceedings of the National Academy of Sciences of the United States of America* 95:1379-1384. 1998.
- ATREYA, C.D., RACCAH, B. & PIRONE, T.P. A point mutation in the coat protein abolishes aphid transmissibility of a potyvirus. *Virology* 178: 161 – 165. 1990.
- BANTTARI, E. E., ELLIS, P. J. & PAUL KHURANA, S. M. Management of Diseases Caused by Viruses and Viruslike Pathogens. In: ROWE, R. C. (Ed.). Potato health management. St Paul, MN: APS press, Chap. 14: 127- 133. 1993.
- BARATOVA, L.A., EFIMOV, A.V., DOBROV, E.N., FEDOROVA, N.V., HUNT, R.,

BADUN, G.A., KSENOFONTOV, A.L., TORRANCE, L. & JARVEKULG, L. In situ spatial organization of Potato virus A coat protein subunits as assessed by tritium bombardment. *Journal of Virology* 75:9696–9702. 2001.

BARNETT,O.W., ADAM, G., BRUNT,A.A., DIJKSTRA, J., DOUGHERTY,W.G., EDWARDSON,J.R., GOLDBACH, R., HAMMOND, J., HILL, J.H., JORDAN, R.L., KASHIWAZAKI, S., LOMMEL, S.A., MAKKOUK, K., MORALES, F.J., OHKI, S.T., PURCIFULL,D., SHIBATA, E., SHUKLA, D.D & UYEDA,I. Potato virus Y <http://www.ncbi.nlm.nih.gov/ICTVdB/57010001.htm>. Acessado em 15 de agosto de 2007.2007

BASSO, J., DALLAIRE, P., CHREST, P.J., DEVANTIER, Y. & LALIBERTE, J.F. Evidence for an internal ribosome entry site within the 5'non-translated region of turnip mosaic potyvirus RNA. *Journal of General Virology* 75:3157-3165.1994.

BAULCOMBE, D.C., LLOYD, J., MANOUSSOPOULOS, I.N., ROBERTS, I.M. & HARRISON, B.D. Signal for potyvirus-dependent aphid transmission of potato aucuba mosaic virus and the effect of its transfer to potato virus X *Journal of General Virology* 74:1245- 1253. 1993.

BECZNER, L., HORVATH, H., ROMHANY, I. & FORSTER, H. Studies on the etiology of tuber necrotic ringspot disease in potato. *Pptato Research* 27:339-352. 1984.

BEEMSTER, A.B.R. & DE BOKX, J.A. Survey of properties and symptoms. In: De Bokx, J.A. & Van Der Want, J.P.H. (eds). *Viruses of potatoes and seed potato production*. 2nd ed. Wageningen: PUDOC. p. 84-113. 1987.

BERGER, P.H., ADAMS, M.J., BARNETT, O.W., BRUNT, A.A., HAMMOND, J., HILL, J.H., JORDAN, R.L., KASHIWAZAKI, S., RYBICKI, E., SPENCE, N., STENGER,D.C., OHKI, S.T., UYEDA, I., VAN ZAAHEN, A., VALKONEN, J.P. & VETTEN, H.J. Family *Potyviridae*, in: FAUQUET,C.M., MAYO,M.A., MANILOFF,J., DESSELBERGER,V. & BALL,L.A. In: *Virus Taxonomy. Report of the International Committee on Taxonomy of Viruses*. Springer-Verlag. 819-841. 2005.

BERGER, P.H., BARNETT, O.W., BRUNT, A.A., COLINET, D., EDWARDSON, J.R., HAMMOND, J., HILL, J.H., JORDAN, R.L., KASHIWAZAKI, S., MAKKOUK, K., MORALES, F.J., RYBICKI, E., SPENCE, N., OHKI, S.T., UYEDA, I., VAN ZAAHEN, A. & VETTEN, H.J. Family *potyviridae*. in: *virus taxonomy - seventh report of the international committee on taxonomy of viruses*. Academic press. 703-724. 2000.

BERGER, P. H. & PIRONE, T. P. The effect of helper component on uptake and localization of potyvirus in *Myzus persicae*. *Virology* 153:256-261. 1986.

BLANCO-URGOITI, B., SANCHEZ, F., SAN ROMAN, C. P., DOPAZO, J. & PONZ, F. Potato virus Y group C isolates are a homogeneus pathotype but two different genetic strains. *Journal of General Virology*, London. 79(8):2037-2042. 1998.

BOONHAM, N. & BARKER, I. Strain specific recombinant antibodies to potato virus Y potyvirus. *Journal of Virological Methods* 74.(2): 193-199.1998.

BRANDES, J. & WETTER, C. Classification of elongated plant viruses on the basis of particle morphology. *Virology* 8:99-115. 1959.

BROWN, L.G. Emerging potato viruses that confront regulations. In: Loebenstein, G.; Berger, P.H.; Brunt, A.A.; Lawson, R.H. (eds). *Virus and virus-like diseases of potatoes and production of seed-potatoes*. Dordrecht, Klumer Academic Publishers. 439-450. 2001.

BRUNT, A.A., CRABTREE, K., DALLWITZ, M.J., GIBS, A.J. & WATSON, L. *Viruses of plants. Descriptions and lists from the VIDE database*. Wallingford: CAB International. 1484. 1996.

BRUNT, A. A. & LOEBENSTEIN, G. The main viruses infecting potato crops. In: Loebenstein, G.; Berger, P.H.; Brunt, A.A.; Lawson, R.H. (eds). *Virus and virus-like diseases of potatoes and production of seed-potatoes*. Dordrecht, Klumer Academic Publishers. 65 – 134. 2001.

BURTON, W.G. *The potato*. 3.ed. Harlow: Longman Scientific and Technical. 745, 1989.

BUS, C.B. *Potato Diseases: diseases, pest and defects*. Den Haag, Co-published by The NIVAA. 109-111. 1996.

BUSTAMANTE, P. & HULL, R., Plant virus gene expressed strategies, *Electronic journal of biotechnology* 1 (1):18. 1998.

Cadeia Produtiva da batata no estado de minas gerais. –Belo- Horizonte: EPAMIG, 1999.

CÂMARA, F. L. A., CUPRETINO, F. P. & FILGUEIRA, F. A. R. Incidência de vírus em cultivares de batata multiplicadas sucessivamente em Goiás. *Fitopatologia Brasileira*, Brasília 11 (3): 711-716. 1986.

CARDOSO, M.R.O. & GUGLIELMELLI, F.S. Os cultivares e suas características. *Correio agrícola Bayer* 3: 440-442. 1982.

CARMAGO, W.P.F. Produto interno bruto (PIB) da cadeia produtiva da batata. *Batata Show* 1(2): 22. 2001.

CEROVSKÁ, N., MORAVEC, T., FILIGAROVÁ, M. & PETRZIK, K. Nucleotide sequences of 5' terminal parts of coat protein genes of various isolates of NTN strain of *Potato virus Y*. *Acta Virol* 45: 55-59.2001.

CEROVSKÁ N., MORAVEC T., FILIGAROVÁ M., RYSLAVÁ H. & GROSCLAUDE J. Partial antigenic characterization of different potato virus Y NTN strain isolates. *Acta virologica* 43(6):391-393.1999.

CHACHULSKA, A.M., CHRZANOWSKA, M., ROBAGLIA, C. & ZAGÓRSKI, W. Tobacco veinal necrosis determinants are unlikely to be located within the 5' and 3'

terminal sequences of the potato virus Y genome. Archives of Virology 142:765-779. 1997.

Chrzanowska, M. New isolates of the necrotic strain of potato virus Y (PVYN) found recently in Poland. Potato Research 34:179–82. 1991.

Chrzanowska, M. Differentiation of potato virus Y (PVY) isolates. Phytopathologia Polonia. Pozna 8(20):15-20.1994.

CLARK, M.F. & ADAMS, A.N. Characteristics of the microplate method of enzymelinked immunosorbent assay for the detection of plant viruses. Journal of General Virology 34: 475 – 483. 1977.

CRONIN, S., VERCHO, T.J., HALDEMAN-CAHILL, R., SHAAD, M.C. & CARRINGTON, J.C. Long-distance movement factor: a transport function of the potyvirus helper component proteinase. Plant Cell 7: 549-59.1995.

DANIELS, J. Identificação sorológica de estirpe do vírus Y da batata do Sul do Brasil. Fitopatologia Brasileira 25 (3):265. 2000.

DANIELS, J., ANTONIO, C. F.S., SOUZA, Z.S. & SCHONS, J. Degêncencia de batata-semente básica após um ou dois períodos de cultivo. Horticultura Brasileira 20. (3). 2002.

DANIELS, J., PAIVA, E., ASSIS, M. DE. & CASTRO,L. A. S. Produção e utilização de anti-soro para diagnose de viroses em batata. Fitopatologia Brasileira 9: 344. 1994.

DANIELS, J. & SCHONS, J. O cultivo da batata na região sul do Brasil. Brasília, Embrapa Informação Tecnológica. 300 – 320. 2003.

DE BOKX, J. A. Potato virus Y. In: HOOKER, W. J. (Ed). Compendium of potato diseases. Saint Paul: The American Phytopathological Society. 70-71. 1981.

DE BOKX, J. A. & BUS, C.B. Mottling, CrinKling, Stipple Streak and Eye disease (Potato virus Y). In: VAN DER ZAAG, D.E.; *et al.* (eds). Potato Diseases: diseases, pest and defects. Den Haag, Co-published by The NIVAA. 72-74. 1996.

DHAR A. K. & SINGH, R.P. Improvement in the sensitivity of PVY^N detection by increasing the cDNA probe size. Journal of virological Methods 50: 197-210. 1994.

DHAR, A.K. & SINGH, R.P. Molecular characterization of coat protein genes of serologically distinct of potato virus Y necrotic strain. Canadian Journal of Microbiology, Canadá 43(7):677-683. 1997.

DRAPER, M.A. & GUDMESTAD, N.C. Mechanical transmission of PVY by seed cutting. Am. Potato J. 69: 577 – 578. 1992.

EAGLES, R. M., BALMORI-MELAIN, E., BECK, D. L., GARDNER, R. C. & FORSTER,R. L. Characterization of NTP-ase, RNA-binding and RNAAhelicase activities of the cytoplasmic inclusion protein of tamarillo mosaic potyvirus. European Journal of Biochemistry 224:.677-684.1994.

EDWARDSON, J.R , CHRISTIE, R.G & KO, N.J. Potyvirus cylindrical inclusions-Subdivision-IV. *Phytopathology* 74(9):1111-1114.1984.

ELLIS P., STACE-SMITH R., BOWLER G. & MACKENZIE DJ. Production of monoclonal antibodies for detection and identification of strains of potato virus Y. *Canadian Journal of Plant Pathology* 18:64–70. 1996.

ELLIS, R., STACE-SMITH, E., DE VILLIERS, D. Identification and geographic distribution of serotypes of potato virus Y. *Plant Disease* 81(5):481-484. 1997.

FAO-FAOSTAT. Food and Agriculture Organization of the United Nations, Rome, Italy. <http://faostat.fao.org> . Acessado em 25 de janeiro de 2008.2008.

FAUQUET, C.M., MAYO, M.A., MANILOFF, J., DESSELBERGER, U. & BALL, L.A. Virus Taxonomy. Eighth Report of the International Committee on Taxonomy of Viruses. New York: Academic Pres. 1259. 2005.

FERNANDEZ, A., LAIN, S. & GARCIA, J.A. RNA helicase activity of the plum pox potyvirus CI protein expressed in Escherichia coli. Mapping of an RNA binding domain. *Nucleic Acids Research* 23: 1327-1332.1995.

FIGUEIRA, A. R. Viroses da Batata: Situação Atual e Perspectivas Futuras. *Informe Agropecuário* 20(197):86-96. 1999.

FIGUEIRA, A. R., MORAES, F.H.R. & PINTO, A.V.S. New PVY necrotic strain is causing great losses in Brazil. *Phytopathology* 86(11):S85.1996.

FILGUEIRA, F.A.R. Batata: A terceira fonte de alimento. *Manual de Olericultura: cultura e comercialização de hortaliças*. 2.ed. Rev. e Ampl. São Paulo: Ed. Agr. Ceres, 1982.

FILGUEIRA, F.A.R. Manual de olericultura: cultura e comercialização de hortaliças. São Paulo: Agronômica Ceres. 650. 2000.

FILGUEIRA, F.A.R. Novo manual de olericultura: agrotecnologia modernana produção e comercialização de hortaliças. 2º Ed. Viçosa: Editora UFV. 412. 2003.

FILGUEIRA, F.A.R., PEIXOTO, N. Melhoramento genético da batata para regiões de cerrado. *Horticultura Brasileira* 14(1). 1996.

FUROMOTO, E. & LOPES., C.A., Batata-semente. In: Lopes., C.A., Cultivo da Batata (*Solanum tuberosum l.*) Brasília Embrapa. (Instruções técnicas da Embrapa Hortaliças, 8).35. 1997.

GALLIE, D.R., TANGUAY, R.L. & LEATHERS, V. The tobacco etch viral 5' leader and poly-A tail are are functionally synergistic regulators of translation. *Gene*.165:233-238.1995.

GLAIS, L., KERLAN, C., TRIBODET, M., MARIE-JEANNE, V., ROBAGLIA, C. & ASTIER-MANIFESTIER, S. Molecular characterization of potato virus YN isolates by PCR-RFLP. European Journal Plant Pathology 102: 655-662. 1996.

GLAIS, L., TRIBODET M., GAUTHIER JP., ASTIER-MANIFACIER S., ROBAGLIA C. & KERLAN C. RFLP mapping of the whole genome of ten viral isolates representative of different biological groups of potato virus Y. Archives of Virology 143: 2077-91. 1998.

GLAIS, L., TRIBODET M. & KERLAN C. Molecular detection of particular PVY isolates: PVY^{NTN} and PVY^{NW}. Proceedings of the 11th EAPR Virology Section Meeting, Havlíčkuv Brod – Trest (Czech Rep.). 70-71. 2001.

GLAIS, L., TRIBODET, M. & KERLAN, C. Genomic variability in Potato potyvirus Y (PVY): evidence that PVYNW and PVYNTN variants are single to multiple recombinants between PVYO and PVYⁿ isolates. Archives of Virology. 147:36-378. 2002.

GOUGH, K.H. & SHUKLA, D.D. Nucleotide sequence of johnsongrass mosaic potyvirus genomic RNA. Intervirology 36:181-192. 1993.

GOVIER, D.A. & KASSANIS, B.A. Virus-induced component of plant sap needed when aphids acquire potato virus Y from purified preparations. Virology 61: 420-426. 1974.

GRANDO, V. Batata: principais pragas e doenças. Correio agrícola, São Paulo 1: 10-13. 2002.

HALDEM-CAHILL, R., DAROS, J.A. & CARRINGTON, J.C. Secondary structures in the capsid protein coding sequence and 3' nontranslated region involved in amplification of the tobacco ethe virus genome. Journal of virology 72:4072-4079. 1998.

HARRISON, B. D. & ROBERTS, I. M. Pinwheels and crystalline structure induced by *Atropa* mild mosaic virus, a plant virus with particles 925 nm long. Journal of General Virology 10:71-78. 1971.

HARRISON, B.D. & ROBINSON, D.J., Molecular variation in vector-borne plant viruses: epidemiological significance. Philos. Trans. R. Soc. Lond. B. Biol. Sci. 321:447-462. 1988.

HÉBRARD, E., FROISSART, R., LOUIS, C. & BLANC, S. Les modes de transmission des virus phytopathogènes par vecteurs. Virologie 3: 35 – 48. 1999.

HIDALGO, T.A. & ACCATINO, P. O Centro Internacional de la papa e sua contribuição para os programas de batata dos países não andinos da América Latina. Horticultura Brasileira 3(2). 1985.

HIRANO, E. Produção de batata-semente. REIFSCHNEIDER, F.J.B. (Ed.). Produção de batata. Brasília: Linha Gráfica e Editora. 171-183. 1987.

- HIRANO, E. Produção de batata semente pela Embrapa. Batata-Show 2(4): 23. 2002.
- HOA, V.D., RASCO JR. & P. VANDER ZAAG. Effect of primary infection of PVY on potato. Asian potato J. 2:31-35. 1991.
- HOLLINGS, M. & BRUNT, A. A. Potyvirus group. CMI/AAB Descriptions of plant viruses 291:7. 1981.
- IBGE- Instituto Brasileiro de geografia e estatística. Site <http://www.ibge.gov.br/home/> Acessado em 04 de janeiro de 2008.2008.
- JEFFRIES, C. Technical Guidelines for the Safe Movement of Germoplasm. N°19 Potato. Rome. 177.1998
- JONES, R.A.C. Strain group specific and virus specific hypersensitive reactions to infection with potyviruses in potato cultivars. Annals of Biology, Great Britain 117(1):93-106. 1990.
- KERLAN, C.; CHRZANOWSKA, M.; GLAIS, L.; FREMONDIERE, G. & TRIBODET, M., Biological and molecular characterization of various PVY^{NW} isolates. In: Proceedings of the 11th European association of potato research, virology section, trest, Czech republic edition, potato research institute, Havlíčkův Brod. 65-66.2001.
- KERLAN, C., TRIBODET, M., GLAIS, L. & GUILLET, M. Variability of potato virus Y in potato crops in France. Journal Phytopathology (in press) 147(643-651). 2000.
- KNUHTSEN, H., HIEBERT, E. & PURCIFULL, D. E. Partial purification and some properties of Tabacco etch virus induce intanuclear inclusions. Virology 61:200-209. 1974.
- KUS, M. The epidemic of the necrotic ringspot stain of potato virus Y (PVY^{NTN}) and its effect on potato crops in Slovenia. In: Abstrat Virology, Sect. Meet. Eur. Asso. Potato Research. Bled 45-46. 1995.
- LACY, M. BOTANY & OLANT pathology. Dept. Michigam State Univ, <http://lrp.el.msu.edu/msueimp/htdoc/modc4/51691009.html>. Acessado em 05 de outubro de 2007.
- LAIN, S., MARTIN, M.T., RIECHMAN, J.L. & GARCIA, J.A. Novel catalytic activity associated with positive-strand RNA virus infection- nucleic acid- stimulate ATPase activity of the plum pox potyvirus helicase-like protein. Journal of Virology 65: 1-6. 1991.
- LE ROMANCER, M., KERLAN, C. & NEDELLEC, M. Biological characterization of various geographical isolates of potato virus Y inducing superficial necrosis on potato tubers. Plant Pathology 43(1):138-144. 1994.
- LE ROMANCER, M. & NEDELLEC, M. Effect of plant genotype, virus isolate and temperature on the expression of the potato tuber necrotic ringspot disease (PTNRD). Plant Pathology, Oxford 46(1):104-11. 1997.

LLAVE, C., MARTÍNEZ, B., DÍAZ-RUÍZ, J.R. & LÓPEZ-ABELHA, D. Helper component mutations in nonconserved residues associated with aphid transmission efficiency of a pepper isolate of potato virus Y. *Phytopathology* 89: 1176- 1181. 1999.

LOEBENSTEIN, G., BERGER, P.H., BRUNT, A.A. & LAWSON, R.H. Virus and virus-like diseases of potatoes and production of seed-potatoes. Dordrecht: Kluwer Academic Publishers.460. 2001.

LOPES, C.A. & BUSO, J.A. Cultivo da batata(*Solanum tuberosum L.*). Brasília/CNPH. (Instruções técnicas 8). 35. 1997.

MAAT, D.Z. & DE BOKX, J.A. Potato leafroll virus: antiserum preparation and detection in potato leaves and sprouts with enzyme-linked immunosorbent assay (ELISA). *Neth J. Pl. Pathology* 84: 149- 156. 1995.

MAHAJAN, S., DOLJA, V.V. & CARRINGTON, J.C. Roles of the sequence encoding tobacco etch virus capsid protein in genome amplification: requirements for the translation process and a cis-active element. *Journal Virology* 70: 4370-4379. 1996.

MAIA, I.G. & BERNARDI, F. Nucleic acid-binding properties of a bacterially expressed potato virus Y helper component- proteinase. *Journal of General Virology* 77: 869-877. 1996.

MAKIVALKAMA, T., VALKONEN, J. P. T., LEHTINEN, A. & PEHU, E. Protection against potato virus Y (PVY) in the field in potatoes transformed with the PVYP1 gene. *American Journal of Potato Research* 78(3):209-214. 2001.

MATTHEWS, R.E.F. Classification and nomenclature of viruses. Third report of the International Committee on Taxonomy of viruses. *Intervirology* 12: 131-296. 1979.

MCDONALD, J.G., MACLATCHY, I.A., SHEIDOW, N.W., WATSON, M.C. & REELEDER, R.D. Tobacco veinal necrosis strain of potato virus Y (PVY^N). Ontario Min. Agric. Food (FAM) Fact Sheet. 1991.

MCDONALD, J.G. & SINGH, R.P. Response of potato cultivars to North American isolates of PVY^{NTN}. *American Potat Journal* 73: 317-323. 1996.

MCDONALD J.G., WONG E., HENNING D. & TAO T. Coat protein and 5' nontranslated region of a variant of potato virus Y. *Journal Plant Pathology* 19:138-144.1997.

MORAVEC, T., CEROVSKA, N. & BOONHAM, N. The detection of recombinant, tuber necrosing isolates of potato virus Y (PVYNTN) using a three-primer PCR based in the coat protein gene. *Journal Virological Methods* 109:265-267.2003.

MOURY, B., MOREL, C., JOHANSEN, E. & M. JACQUEMOND,M. Evidence for diversifying selection in *Potato virus Y* and in the coat protein of other potyviruses. *Journal of General Virology* 83(11):2563-2573. 2002.

MURPHY, F.A., FAUQUET, C.M., BISHOP. D.H.L., GHABRIAL, S.A., JARVIS, A.W., MARTELLI, G.P., MAYO, M.A. & SUMMERS, M.D. Virus taxonomy: classification and nomenclature of viruses. Arch. Virol 10:300-315. (suppl). 1995.

MURPHY, J.F., JARLFORS, U. & SHAW, J.G. Development of cylindrical inclusions in potyvirus infected protoplast. Phytopathology 81:371-374. 1991.

NADERI, M. & BERGER, P.H. Pathogenbesis-relates protein 1z is induced in potato virus Y-infected plants as well as by coat protein targeted to chloroplasts. Plant Pathology 51:41-44. 1997.

NICOLAS, O. & LALIBERTE, J. F. The complete nucleotide sequence of turnip mosaic potyvirus RNA. Journal of General Virology 73: 2785-2793, 1992.

NIE, X. & SINGH, R.P. Detection of multiple potato viruses using an oligo(dT) as a common cDNA primer in multiplex RT-PCR. Journal of Virological Methods 86:179-185, 2000.

NIE, X. & SINGH, R.P. Probable geographical grouping of PVY(N) and pvy(ntn) based on sequence variation in P1 and 5'UTR of PVY genome and methods for differentiating North American PVY(NTN). Journal of Virological Methods 103(2):145-56. 2002a.

NIE, X. & SINGH, R.P. A new approach for the simultaneous differentiation of biological and geographical strains of Potato virus Y by uniplex and multiplex RT-PCR. Journal of Virological Methods 104(1):41-54. 2002b.

NIE X. & SINGH R.P. Specific differentiation of recombinant PVYN:O and PVYNTN isolates by multiplex RTPCR. Journal of Virological Methods 113: 69–77. 2003.

NIE, X. & SINGH, R.P. Evolution of North American PVY^{NTN} strain TU 660 from local PVY^N by mutation rather than recombination. Virus genes 26(1):39-47. 2003.

NIE, X., SINGH, R.P. & SINGH, M. Molecular and pathological characterization of N:O isolates of the potato virus Y from Manitoba, Canada. Journal Plant. Pathology 26:573-583. 2004.

NOVY, R.G., NASRUDDIN, A., RAGSDALE, D.W. & RADCLIFFE, E.B. Genetic resistances to potato leafroll virus, potato virus Y, and green peach aphid in progeny of *Solanum tuberosum*. American Journal of Potato Research 79: 9 - 18. 2002.

OHSHIMA, K., NAKAYA, T., INOUE, AK., HATAYA, T., HAYASHI, Y. & SHIKATA, E. Production and characteristics of strain common antibodies against a synthetic polypeptide corresponding to the C-terminal region of potato virus Y coat protein.Journal of Virological Methods 40(3):265-273.1992.

OOUNOUNA, H., KERLAN, C., LAFAYE, P., LOUKILI M, J. & ELGAAIED, A. Production of monoclonal antibodies against synthetic peptides of the N-terminal region of Potato virus Y coat protein and their use in PVY strain differentiation. Plant Pathology 51(4):487-494.2002.

PEREIRA, A.S. & DANIELS, J. O cultivo da batata na região sul do Brasil. Brasília-DF: Embrapa Informação Tecnológica. 567. 2003.

PETERS, D., DE-BOKX, J.A. & VAN DER WART, J.P.H. Viruses of Potato and Seed-Potato Production. 2.ed. 126-145. 1987.

PICHE, L.M., SINGH, R.P., NIE, X. & GUDMESTAD, N.C., Diversity among potato virus Y isolates obtained from potatoes grown in the united states. *Phytopathology*. Plant Pathology 94: 1369-1374. 2004.

PUTTEMANS, A. Informação sobre “Doenças de degenerescência” da batateira no Brasil. Revista de agricultura 9(¾):103-111. 1934.

RADCLIFFE, E.B. & RAGSDALE, D.W. Aphid-transmitted Potato Viruses: The Importance of Understanding Vector Biology. American Journal of Potato Research 79(5):353 – 386. 2002.

RAGSDALE, D.W., RADCLIFFE, E.B. & DIFONZO, C.D. Epidemiology and field control of PVY and PLRV. In: Loebenstein, G.; Berger, P.H.; Brunt, A.A.; Lawson, R.H. (eds). Virus and virus-like diseases of potatoes and production of seed potatoes. Dordrecht, Klumer Academic Publishers. 237 – 270. 2001.

RESTREPO- HARTWING, M.A. & CARRINGTON, J.C. The tobacco etch potyvirus 6-kilodalton protein is membrane associated and involved in viral replication. . *Journal of Virology* 66: 5662-5666. 1994.

REVERS, F. , LE GALL, O. ,CANDRESSE, T. , LE ROMANCER, M. & DUNEZ, J., Frequent occurrence of recombinant potyvirus isolates. *Journal of General Virology* 77:1953-65. 1996.

RIECHMANN, J. I., LAIN, S. & GARCIA, J. A. Highlights and prospects of potyvirus molecular biology. *Journal of General Virology* 73:1-16. 1992.

ROBAGLIA C., DURAND-TARDIF M., TROCHET M., BAUDAZIN G., ASTIER-MANIFACIER S. & CASSE-DELBART F. Nucleotide sequence of potato virus Y (N strain) genomic RNA. *Journal of General Virology* 70: 935–947. 1989.

ROBERTS, I.M.; WANG,D.FINDLAY, K. & MAULE,A.J. Ultrastructural and temporal observations of thepotyvirus cylindrical inclusions (CIs) show that CI protein acts transiently in aiding virus movement. *Virology* 245: 173-181. 1998.

ROBERT, Y. & BOURDIN, D. Transmisson of Viruses. In: Loebenstein, G.; Berger, P.H.; Brunt, A.A.; Lawson, R.H. (eds). Virus and virus-like diseases of potatoes and production of seed-potatoes. Dordrecht, Klumer Academic Publishers.195 – 225, 2001.

ROJAS, M.R., ZERBINI, F., ALLISON, R.F, GILBERTSON, R.L. & LUCAS, W.J. Capsid protein and helper component-proteinase function as potyvirus cell-to-cell movement proteins. *Virology*.v. 237. p. 283-295.1997.

ROMERO, A., BLANCO-URGOITI, M.J., SOTO, A. & FERERES, F. PONZ. Characterization of typical pepper-isolates of PVY reveals multiple pathotypes within a single genetic strain. *Virus Research*. 79: 71-80. 2001.

SALAZAR, L.F. Potato Viruses and their control. Lima Ed. International potato center. 1996.

SAMBROOK, J., FRITSCH, E.F. & MANIATIS, T. Molecular cloning. A laboratory manual. Cold Spring Harbor Laboratory Press, Cold Spring Harbor. Ed. 2. 1:2 - 3. 1989.

SANGER, F., NICKLEN, S. & COULSON, A. R. DNA sequencing with chain-terminating inhibitors. *Proceedings of the National Academy of Sciences* 74:5463-5467. 1977.

SILBERSCHMIDT, K., NOBREGA, N.R. & KRAMER, M.A. Identificação de vírus encontradas nos campos de multiplicação de tubérculos-semente de batatinha. *Agricultura* 21: 23-40.1941.

SILVA, M. S. Multiplicação rápida. In: REIFSCHNEIDER, F. J. B. Produção de batata. Brasília: Linha Gráfica. 194-200. 1987.

SIMÓN-BUELA.L., GUO, H.S. & GARCIA, J.A. Cap-independent leaky scanning as the mechanism of translation initiation of a plant viral genomic RNA. . *Journal of General Virology* 78:2691-2699.1997.

SINGH, R.P. Incidence of the tobacco veinal necrotic strain of potato virus Y (PVYN) in Canada in 1990 and 1991 and scientific basis for eradication of the disease. Canada. *Plant Dis. Survey* 72: 113 – 119. 1992.

SINGH, R.P., BOUCHER, A., SOMERVILLE, T.H. & DHAR, A.H. Selection of a monoclonal antibody to detect PVY/N and its use in ELISA and DIBA. *Can. J. Plant Path* 25: 293 – 300. 1993.

SINGH, R.P., MCLAREN, D.L., NIE. X. & SINGH, M. Possible escape of a recombinant isolate of potato virus Y by serological indexing and methods of its detection. *Plant Dis.* 87: 679-685.2003.

SINGH, R.P., SINGH, M. & MCDONALD, J.C. Screening by a 3-primer PCR of North American PVYN isolates for European-type members of the tuber necrosis-inducing PVY^{NTN} subgroup'. *Can J. Plant Pathol.*20: 227-233.1998.

SINGH, R.P. & SOMERVILLE, T.H. Evaluation of the enzyme-amplified ELISA for the detection of potato virus A, M, S, X, Y and leafroll. *American Potato Journal* 69: 21 – 30. 1992.

SINGH, R.P. & WEILGUNY,H. Separation of Slovenian isolates of PVYNTN from the North American isolates of PVYN by a 3-primer PCR. *Journal of Virological Methods* 71: 57-68. 1998.

Site: evunix.uevora.pt/.../Tulipas_files/image011.gif. Acessado em 02 de agosto de 2007.2007.

SOUZA-DIAS, J.A.C. Viroses de batata e suas implicações na produção de batata-semente no Estado de São Paulo. Summa Phytopathologica 21: 264-266. 1995.

SOUZA-DIAS, J.A.C. de. Doenças causadas por vírus em batata. Informe Agropecuário18(184).1996.

SOUZA-DIAS, J.A.C. Viroses da batata: ameaças para o mercado globalizado. Summa Phytopatologica 26 (1):161 – 168. 2000.

SOUZA-DIAS, J.A.C. Batata com laranja: Produção de minitubérculos de batata-semente via plantio de broto livre de vírus aumenta a renda de citricultores: batata com laranja. Cultivar HF, Pelotas II(9):8 – 11. 2001a.

SOUZA-DIAS, J.A.C. Raças do vírus Y da batata (PVY) e a questão da variante NTN. Batata Show 1(2):16 – 21. 2001b.

SOUZA-DIAS, J. A. C. Poderia, a bataticultura brasileira, estar de frente a uma nova virose desastrosa, como a do PVYntn?. Batata Show - Associação Brasileira da Batata (ABBA). 11 – 12.2005.

SOUZA-DIAS, J.A.C. Tecnologia do broto/batata-semente: uma idéia que está brotando na bataticultura. O Agrário I (7):7. 2006.

SOUZA-DIAS, J.A.C.; COSTA, A.S. & RAMOS, V.J. Enrolamento da folha é também praticamente, o único fator de degenerescência da batata-semente no período 1980 – 84 na estação experimental de Itararé – SP. Fitopatologia Brasileira 9 (2):405.1984.

SOUZA-DIAS, J.A.C. & IAMAUTI, M.T. Doenças da batateira (*Solanum tuberosum* L.). In: Kimati, H.; Amorin, L.; Rezende, J.A.M.; Bergamin-Filho, A. & Camargo, L. E.A.(eds). Manual de Fitopatologia. 119 – 142. 2005.

SOUZA-DIAS, J.A.C., KITAJIMA, E.W., SAWAZAKI, H.E., REZENDE, J.A.M. & MIRANDA F.O. Observações adicionais sobre o Potato vírus Y (PVY) do encrespamento severo em plantas de batata Monalisa na região de Casa Branca. Fitopatologiat. Brasileira 31:342. 2006.

SOUZA-DIAS, J.A.C., RUSSO, P., BETTI, J.A., MILLER, L. & SLACK, S.A. Simplified extraction method for ELISA and PCR detection of primary potato leafroll virus (PLRV) infection in dormant potato tubers. American Potato Journal 74: 468 – 469.1997.

SOUZA-DIAS, J.A.C., RUSSO, P., BETTI, J.A. , MILLER, L. & SLACK, S.A. Simplified extraction method for ELISA and PCR detection of potato leafroll luteovirus primary infection in dormant potato tubers. American Journal of Potato Research 76: 209 – 213. 1999.

SOUZA-DIAS, J.A.C & SAWAZAKI, H.E. Monalisa and Atlantic potato cultivars have differential sensitivity to tuber symptom expression to PVYNTN as a function of

their resistance to PVY^O and PVY^N. American Journal of potato research. 81: 55-56.2004.

SOUZA-DIAS, J.A.C., SCAGLIUSI, S.M., AMANCIO, A.V., MIRANDA FILHO, H.S. & COSTA, A.S. Batata-semente certificada da Argentina encontra-se dentro dos padrões brasileiros de sanidade a vírus, mas a presença dos vírus YN e do mosaico da alfafa suscita preocupações. Summa Phytopathologica 18: 35. 1992.

SOUZA-DIAS, J.A.C & TRISTÃO, J.F. Rise of PVY Incidence in Seed Potato regions of São Paulo state (Brazil) associated with the introduction of Atlantic Potatoes. American Potato Journal 74 (6):469 (abstract).1997.

SOUZA-DIAS, J.A.C., TRISTÃO, J.F. & MIRANDA, H.S. Vírus Y da batata-semente cv. Atlantic: alteração na epidemiologia da virose em São Paulo e no Paraná. Fitropatologia Brasileira 20: 320. Suplemento. 1995.

SCOTTI, C.A. O desafio social da bataticultura. Horticultura Brasileira, Brasília 1(1)1983.

SHI, X.; MILLER, H.; VERCHOT, J.; CARRINGTON, J.C. & VANCE, V.B. Mutations in the region encoding the central domain of helper component-proteinase (HC-Pro) eliminate potato virus X potyviral synergism. Virology 231: 35-42. 1997.

SHUKLA, D.D., INGLIS, A.S., McKERN, N.M. & GOUGH, K.H. Coat protein of potyviruses. 2. Amino acid sequence of the coat protein of potato virus Y. Virology 152:118-125. 1986.

SHUKLA, D. D., LAURICELLA, R. & WARD, C. W. Coat protein of Pótyviruses. Copmparasion of biological properties, serological relationship and coat protein amino acid sequences of four strains of potato virus Y. Archives of Virology 102: 2007-219.1988.

SHUKLA, D. D., LAURICELLA, R. & WARD, C. W. Serology of Potyviruses: current problems and some solutions. In: Barnett, O. W. Potyvirus Taxonomy, Springer, Wien and New York. Archives of Virology Supplement 5:31-46. 1992.

SHUKLA, D. D. & WARD, C. W. Amino acid sequence homology of coat proteins as a basis for identification and classification of the Potyvirus group. Journal of General Virology 69:2703-2710. 1988.

SHUKLA, D. D. & WARD, C. W. Identification and classification of potyviruses on the basis of coat protein sequence data and serology. Archives of Virology 106:171-200. 1989a.

SHUKLA, D. D. & WARD, C. W. Structure of Potyvirus coat proteins and its application in the taxonomy of the Potyvirus group. Advances in Virus Research 36:273-314.1989b.

SHUKLA, D. D.,WARD, C. W. & BRUNT, A. A. The Potyviridae. CAB International. 516.1994.

THOLE, V., DALMAY, T., BURGYAN, J. & BALAZ, E. Cloning and sequencing of potato virus Y (Hungarian isolate) genomic RNA. *Gene* 123: 149-561. 1993.

TORDO V. M., CHACHULSKA A. M., FAKHFAKH H., LE ROMANCER M., ROBAGLIA C. & ASTIER-MANIFACIER S. Sequence polymorphism in the 5'NTR and in the P1 coding region of potato virus Y genomic RNA. *Journal of General Virology* 76(4):939-949.1995.

TRUTA, A.A.C. & FIGUEIRA, A.R. Detecção simultânea dos vírus do enrolamento (PLRV), vírus Y (PVY) e o vírus X (PVX) da batata (*Solanum tuberosum L.*) por Dase-lisa: Ciência e Agrotecnologia 597:604. 2000.

TURPEN,T. Molecular cloning of potato vírus Y genome: nucleotide sequence homology in non-coding regions of potyviruses. *Journal of Feneral Virology* 70 (8): 1951-1960. 1989.

URCUQUI-INCHIMA, S., HAENNI, A.L. & BERNARDI, F. Potyvirus proteins: a wealth of functions. *Virus Res* 74: 157–175. 2001.

VALKONEN, J.P.T., PUURAND, U. , SLACK, S.A., MAKINEN, K. & SAARMA, M. Three strains of potato A potyvirus based on hypersensitive responses in potato, serological properties and coat protein sequences. *Plant Dis* 79: 748 – 753, 1995.

VAN DEN HEUVEL. J.F.J.M., VAN DER VLUG, R.A.A., VERBEEK, M., DE HAAN P.T. & HUNTTIGA, H. Characteristics of a resistance-breaking isolates of potato vírus Y causing tuber necrotic disease. *European Journal of Plant Pathology* 100: 347-356.1994.

VAN REGENMORTEL, M.H.V., FAUQUET. C.M., BISHOP, D.H.L., CARSTENS, E. B., ESTES, M.K., LEMON, S.M., MANILOFF, J., MAYO, M.A., MCGEOCH, D.J., PRINGLE, C.R. & WICKNER, R.B. Virus taxonomy classification and nomenclature of viruses: seventh report of the international committee on taxonomy of viruses. San Diego: Academic Press. 1161. 2000.

VECHI, C. Seminário “Alvaro Santos Costa” sobre virose de batata. *Horticultura Brasileira* 2(2):p.55-67. 1984.

VERCHOT, J. & CARRINGTON, J.C. Evidence that the potyvirus P1 proteinase fuctions in trans as an accessory factor for genome amplification. *Journal of Virology* 69:3668-3674.1995.

VERCHOT, J., KOONIN, E.V. & CARRINGTON, J.C. The 35-kDa protein from the N-terminus of the potyviral polyprotein functions as a third virus-encoded proteinase. *Virology* 185:527-535.1991.

VOLLER, A., BIDWELL, D. E. & BARTLETT, A. Enzyme immunoassays in diagnostic medicine. *Bulletin of the World Health Organization, Geneve* 53(1): 55-65. 1976.

WARD, C.W., MCKERN, N.M., FRENKEL, M.J. & SHUKLA, D.D. Sequence data as the major criterion for Potyvirus classification. Archives of virology 5: 283-297. 1992.

WATSON, M.A. Evidence for interaction or genetic recombination between Potato Viruses Y and C in infected plants. Virology 10:211-232. 1960.

WEIDEMANN, H.L. Importance and control of potato virus YN (PVY^N) in seed potato production. Potato Research 31(1): 85-94. 1988.

XIANZHOU N., DURNIN, D., ABIR I. & HILL R. Cytosolic calcium is involved in the regulation of barley hemoglobin gene expression. Journal of virological Methods 121 (2): 163-170 .2004.

XIANZHOU N. & SINGH, R.P. Specific differentiation of recombinant PVY(N:O) and PVY(NTN) isolates by multiplex RT-PCR. Journal of virological methods 113(2): 69-77.2003.

YUKI, V.A. Afídeos vetores de vírus de batata. Correio agrícola Bayer (Batata- Edição especial) 3: 460-463. 1982.

ANEXO

Tabela 1-Resultado da analise de identidade de cada região sequenciada do genoma dos isolados brasileiros NBR, OBR, ITA e VGS em estudo, através do programa DNAmam. Os resultados de identidade de nucleotídeos foram obtidos através do alinhamento com isolados publicados no banco de dados. Os isolados padrões usados nas comparações foram: AF522296 (PVY^N-Egito), AB270705(PVY^N-Japão), EF026074(PVY^O-USA), AJ889866(PVY^{NTN}-Alemanha),AY166866(PVY^{NTN}-Canadá), EF026075(PVY^{NTN}-USA), AY745492(PVY^{N,O}-Canadá),EF026076(PVY^{N,O}-USA),AJ889867(PVY^W-Alemanha).

NBR	5' UTR	P1	HC-PRO	P3	6K1	CI	6K2	VPg	Nia	Nib	CP	3'UTR
AY166866- PVY ^{NTN} CANADA	75,6%	91,0%	91,0%	82,7%		91,6%	80,0%	95,9%			81,6%	77,1%
EF026075- PVY ^{NTN} USA	93,0%	98,0%	99,0%	75,0%		90,3%	98,7%	97,7%			85,0%	92,7%
AJ889866- PVY ^{NTN} ALEMANHA	67,0%	85,0%	65,0%	75,0%		84,7%	97,4%	99,4%			83,7%	89,3%
EF026076-PVY ^{N,O} USA	90,0%	99,0%	87,0%	73,5%		90,4%	99,3%	87,7%			77,1%	93,6%
AY745492-PVY ^{N,O} CANADÁ	89,0%	98,0%	67,0%	74,8%		90,4%	99,3%	87,7%			76,1%	93,6%
AJ889867-PVY ^W ALEMANHA	56,0%	85,0%	96,0%	74,9%		83,8%	98,7%	97,7%			77,1%	93,3%
AF522296-PVY ^N EGITO	56,0%	72,0%	70,0%	54,3%		90,3%	36,0%	50,0%			67,4%	80,7%
AB270705-PVY ^N JAPÃO	98,0%	98,0%	98,0%	75,0%		90,3%	98,7%	98,9%			76,9%	99,6%
EF026074-PVY ^O USA	58,0%	71,0%	72,0%	75,2%		90,1%	98,7%	87,5%			76,7%	92,7%
OBR	5' UTR	P1	HC-PRO	P3	6K1	CI	6K2	VPg	Nia	Nib	CP	3'UTR
AY166866- PVY ^{NTN} CANADA	51,0%	72,2%			69,5%		79,4%	84,5%		83,4%	89,0%	70,0%
EF026075- PVY ^{NTN} USA	52,2%	52,2%			82,0%		98,7%	86,0%		83,3%	98,5%	83,3%
AJ889866- PVY ^{NTN} ALEMANHA	79,6%	52,2%			81,2%		97,4%	88,1%		83,1%	90,7%	79,1%
EF026076-PVY ^{N,O} USA	61,3%	72,4%			82,0%		99,3%	50,2%		96,2%	98,2%	83,0%
AY745492-PVY ^{N,O} CANADÁ	61,0%	72,1%			81,8%		99,3%	98,0%		96,2%	84,0%	83,0%
AJ889867-PVY ^W ALEMANHA	75,1%	79,7%			81,2%		97,4%	86,0%		79,0%	98,2%	82,8%
AF522296-PVY ^N EGITO	79,3%	78,2%			33,1%		39,0%	50,3%		72,7%	61,9%	73,9%
AB270705-PVY ^N JAPÃO	79,3%	72,1%			82,0%		98,7%	88,3%		81,6%	97,7%	78,7%
EF026074-PVY ^O USA	93,4%	96,6%			80,2%		98,7%	97,8%		97,8%	98,5%	82,3%

ITA	5' UTR	P1	HC-PRO	P3	6K1	CI	6K2	VPg	Nia	Nib	CP	3'UTR
AY166866- PVY ^{NTN} CANADA	85,1%	78,5%			82,6%		79,4%	95,9%	95,3%	97,2%	95,1%	68,0%
EF026075- PVY ^{NTN} USA	85,1%	93,1%			100%		98,7%	97,7%	91,1%	99,0%	98,0%	81,2%
AJ889866- PVY ^{NTN} ALEMANHA	76,0%	93,1%			99,3%		97,4%	99,4%	98,0%	98,6%	97,9%	77,1%
EF026076-PVY ^{N:O} USA	79,3%	84,2%			100%		99,3%	87,7%	79,1%	83,7%	89,8%	81,0%
AY745492-PVY ^{N:O} CANADÁ	98,4%	84,3%			82,6%		99,3%	87,7%	78,9%	83,9%	73,9%	81,0%
AJ889867-PVY ^W ALEMANHA	65,1%	76,6%			99,3%		98,4%	97,7%	89,2%	79,8%	90,6%	81,1%
AF522296-PVY ^N EGITO	65,4%	53,4%			40,6%		36,0%	45,1%	47,2%	69,4%	55,0%	71,3%
AB270705-PVY ^N JAPÃO	87,8%	84,4%			100%		99,0%	99,0%	88,8%	82,8%	89,8%	76,6%
EF026074-PVY ^O USA	50,7%	62,8%			98,0%		98,7%	87,5%	79,1%	82,9%	90,1%	80,2%
VGS	5' UTR	P1	HC-PRO	P3	6K1	CI	6K2	VPg	Nia	Nib	CP	3'UTR
AY166866- PVY ^{NTN} CANADA	78,5%				82,6%		71,3%	98,0%	97,1%			
EF026075- PVY ^{NTN} USA	86,4%				100%		88,5%	96,8%	91,5%			
AJ889866- PVY ^{NTN} ALEMANHA	62,1%				99,3%		87,2%	98,5%	97,0%			
EF026076-PVY ^{N:O} USA	74,0%				100%		88,5%	78,0%	80,3%			
AY745492-PVY ^{N:O} CANADÁ	90,7%				100%		88,9%	87,2%	80,1%			
AJ889867-PVY ^W ALEMANHA	61,1%				99,3%		87,2%	96,8%	87,8%			
AF522296-PVY ^N EGITO	61,1%				40,6%		35,2%	44,9%	47,0%			
AB270705-PVY ^N JAPÃO	81,8%				100%		87,9%	98,0%	89,7%			
EF026074-PVY ^O USA	57,3%				98,0%		87,9%	87,0%	80,3%			

CLUSTAL 2.0.8 multiple sequence alignment

ITA_5UTR
 VGS_5UTR
 NBR_5UTR
 AB270705_PVYN_Japao_5UTR
 EF026076_PVYNo_USA_5UTR
 EF026075_PVYNTN_USA_5UTR
 AY745492_PVYNo_Canada_5UTR
 AJ166866_PVYNTN_Canada_5UTR
 AF522296_PVYN_Egito_5UTR
 OBR_5UTR
 AJ889866_PVYNTN_Alemanha_5UTR
 AJ889867_PVYW_Alemanha_5UTR
 EF026074_PVY0_USA_5UTR

-----AACATAAGAAAATCAACGAAAAACACTCA 30
 -----AACATAAGAAAATCAACGAAAAACATTCA 30
 -----AACATAAGAAAATCAACGAAAAACACTCA 30
 -----CAACATAAGAAAATCAACGAAAAACACTCA 31
 -----CAACGCAAAACACTCA 17
 -----CAACTCAATACAACATAAGAAAACAACGCAAAACACTCA 41
 -AATTAAAACAACCTCAATACAACATAAGAAAATCAACGCAAAACACTCA 49
 -AATTAAAACAACCTCAATACAACATAAGAAAATCAACGCAAAACACTCA 49
 -AATTAAAACAACCTCAATACAACATAAGAAAACAACGCAAAACACTCA 49
 -----CAACGCAAAACACTCA 17
 AAATTAAAACAACCTCAATACAACATAAGAAAACAACGCAAAACACTCA 50
 AAATTAAAACAACCTCAATACAACATAAGAAAACAACGCAAAACACTCA 50
 -----CAACGCAAAACACTCA 17
 * * * * * * * * * *

ITA_5UTR
 VGS_5UTR
 NBR_5UTR
 AB270705_PVYN_Japao_5UTR
 EF026076_PVYNo_USA_5UTR
 EF026075_PVYNTN_USA_5UTR
 AY745492_PVYNo_Canada_5UTR
 AJ166866_PVYNTN_Canada_5UTR
 AF522296_PVYN_Egito_5UTR
 OBR_5UTR
 AJ889866_PVYNTN_Alemanha_5UTR
 AJ889867_PVYW_Alemanha_5UTR
 EF026074_PVY0_USA_5UTR

CAAAAGCTTCAACTCTAATTCAAACAATTGTTAAGTTCAATTGAC 80
 CAAAAGCTTCAACTCTAATTCAAACAATTGTTAAGTTCAATTGAT 80
 CAAA-GCTTCAACTCTAATTCAAACAATTGTTAAGTTCAATTGAT 79
 CAAAAGCTTCAACTCTAATTCAAACAATTGTTAAGTTCAATTGAT 81
 TAAACGCTTCAACTCTAATTCAAACAATTGTTAAGTTCAATTGAT 67
 CAAAAGCTTCAACTCTAATTCAAACAATTGTTAAGTTCAATTGAT 91
 CAAAAGCTTCAACTCTAATTCAAACAATTGTTAAGTTCAATTGAT 99
 CAAAAGCTTCAATTCAACTCAAGCAATTGTTAAGTTCAACTTGAT 99
 TAAACGCTC---ATTCTCACTCAAGCAACTGCTAAGTTCAGTTAAAT 96
 TAAACGCTC---ATTCGCACTCAAGCAACTGCTAAATTTCAGTTAAAT 64
 TAAACGCTT---ATTCTCACTCAAGCAACTGCTAAGTTCAGTTAAAT 97
 TAAACGCTT---ATTATCACTCAAGCAACTCGCTAAGTTCAGTCAGAT 97
 TAAACGCTT---ATTCTCACTCAAGCAACTTGTTAAGTTCAGTTAAAT 64
 * * * * * * * * * * * * * * * * * *

ITA_5UTR
 VGS_5UTR
 NBR_5UTR
 AB270705_PVYN_Japao_5UTR
 EF026076_PVYNo_USA_5UTR
 EF026075_PVYNTN_USA_5UTR
 AY745492_PVYNo_Canada_5UTR
 AJ166866_PVYNTN_Canada_5UTR
 AF522296_PVYN_Egito_5UTR
 OBR_5UTR
 AJ889866_PVYNTN_Alemanha_5UTR
 AJ889867_PVYW_Alemanha_5UTR
 EF026074_PVY0_USA_5UTR

CTTCATCAAACAAACTCTTCAATTCAAGCGTAAGCTATCGTAATTAGT 130
 TTTCATCAAACAAACTCTTCAATTCAAGCTATCGTAATTAGT 130
 CTTCATCAAACAAACTCTTCAATTCAAGCTATCGTAATTAGT 129
 CTTCATCAAACAAACTCTTCAATTCAAGCTATCGTAATTAGT 131
 CCTCATCAAACAAACTCTTCAATTCAAGCTATCGTAATTAGT 117
 CTTCATCAAACAAACTCTTCAATTCAAGCTATCGTAATTAGT 141
 CTTCATCAAACAAACTCTTCAATTCAAGCTATCGTAATTAGT 149
 CTTCGTCGTACAACCGTTCAACTCAGTGAAGTCTCGTAACCAAT 149
 CATTTCCTGCAATTCTCTAGAACAAATTGGAAACCATTCAACTAAC 146
 CATTTCCTGCAATTCTCTGAAGAACATTGGAAACTATTCAACTAAC 114
 CATTTCCTGCAATTCTCTAAACGATATTGGAAACCATTCAACTAAC 147
 CATTTCCTGCAATTCTCTAAACAATATTGGAAACCCTGTTCAACTAAC 114
 * * *** * * * * * * * *

ITA_5UTR
 VGS_5UTR
 NBR_5UTR
 AB270705_PVYN_Japao_5UTR
 EF026076_PVYNo_USA_5UTR
 EF026075_PVYNTN_USA_5UTR
 AY745492_PVYNo_Canada_5UTR
 AJ166866_PVYNTN_Canada_5UTR
 AF522296_PVYN_Egito_5UTR
 OBR_5UTR
 AJ889866_PVYNTN_Alemanha_5UTR
 AJ889867_PVYW_Alemanha_5UTR
 EF026074_PVY0_USA_5UTR

AAGTTATTC--AACTCTCGTAAATTGCAGAAGATCATCCA 170
 AAGTTATTC--AACTCTCGTAAATTGCAGAAGATCATCC- 169
 AAGTTATTC--AACTCTCGTAAATTGCAGAAGATCATCC- 168
 AAGTTATTC--AACTCTCGTAAATTGCAGAAGATCATCC- 170
 AAGTTATTC--AACTCTCGTAAATTGCAGAAGATCATCC- 156
 AAGTTATTC--AACTCTCGTAAATTGCAGAAGATCATCC- 180
 AAGTTATTC--AACTCTCGTAAATTGCAGAAGATCATCCA 189
 AGTTTATTC--AACTCTCTCAAATAGCAACATACCAGCCA 189
 AAGCAATTTCATCACTCCAACCAATTTCAGATCCTCA---- 184
 AAGCAATTTCATCACTCCAACCAATTTCAGATCCTCA---- 152
 AAGTAATTTCATCACTCCAACCAATTTCAGATCCTCA---- 185
 AAGTAATTTCATCACTCCAACCAATTTCAGATCCTCA---- 185
 AAGCAATTTCATCACTCCGATCAATTTCAGATCCTCA---- 152
 * ***** * ** *** * *

CLUSTAL 2.0.8 multiple sequence alignment

AY745492_PVYNO_Canada_P1
EF026076_PVYNO-USA_P1
NBR_P1
EF026075_PVYNTN_USA_P1
ITA_P1
AB270705_PVYN_Japao_P1
AJ166866_PVYNTN_Canada_P1
AJ889866_PVYNTN_Alemanha_P1
AJ889867_PVYW_Alemanha_P1
AF522296_PVYN_Egito_P1
OBR_P1
EF026074_PVYO_USA_P1
-TGGCAACTTACACATCAACAATCCAGTTGGTCCATTGAATGCAAAC 49
ATGGCAACTTACACATCAACAATCCAGTTGGTCCATTGAATGCAAAC 50
ATGGCAACTCACACATCAACAATCCTGTTGGTCCATTGAATGCAAAC 50
ATGGCAACTTACACATCAACAATCCAGTTGGTCCATTGAATGCAAAC 50
-TGGCAACTTACACATCAACAATCCAGTTGGTCCATTGAATGCAAAC 49
ATGGCAACTTACACATCAACAATCCAGTTGGTCCATTGAATGCAAAC 50
-TGGCAACTTACATGTCAACGATTCAATTGGTCCATTGAATGCAAAC 49
ATGGCAACTTACATGTCAACAATCTGTTTCGGTCTGTTGAATGCAAGCT 50
ATGGCAACTTACATGTCAACAATCTGTTTCGGTCTGTTGAATGCAAGCT 50
ATGGCAACTTACATGTCAACAATCTGTTTGTTGGTCTGTTGAATGCAAGCT 50
ATGGCAACTTACATGTCAACAATCTGTTTCGGTCTGTTGAATGCAAGCT 50
ATGGCAACTTACATGTCAACAATCTGTTTCGGTCTGTTGAATGCAAGCT 50

AY745492_PVYNO_Canada_P1	TCCATACTACCCGCTCCTTGGGCTAGTTGC	99
EF026076_PVYNO-USA_P1	GGGGAAACGAGAAGTT	100
NBR_P1	TCCATACTACCCGCTCCTTGGGCTAGTTGC	100
EF026075_PVYNTN_USA_P1	GGGGAAACGAGAAGTT	100
ITA_P1	TCCATACTACCCGCTCCTTGGGCTAGTTGC	99
AB270705_PVYN_Japao_P1	GGGGAAACGAGAAGTT	100
AJ166866_PVYNTN_Canada_P1	TCCATACTACCCGCTCCTTGGGCTAGTTGC	99
AJ889866_PVYNTN_Alemanha_P1	GGGGAAACGAGAAGTT	100
AJ889867_PVYW_Alemanha_P1	TCCATACTACCCGCCCTTGAGCTAGTTGC	99
AF522296_PVYN_Egito_P1	GAGGAAACGAGAAGTT	100
OBR_P1	ACCATACTACCCGCTTGCAGGCATATTGT	100
EF026074_PVYO_USA_P1	GAAGGAACGAGAAGTT	100

AY745492_PVYNO_Canada_P1	CAACCACCACTGACCCCTTCGCAAGTTGGAGATGCAGCTAGTGC	GCGA	149
EF026076_PVYNO-USA_P1	CAACCACCACTGACCCCTTCGCAAGTCTGGAGATGCAGCTAGTGC	GCGA	150
NBR_P1	CAACCACCATCGACCCCTTCGCAAGTTGGAGATGCAGCTAGTGC	GCGA	150
EF026075_PVYNTN_USA_P1	CAACCACCACTGACCCCTTCGCAAGTTGGAGATGCAGCTAGTGC	GCGA	150
ITA_P1	CAACCACCACTGACCCCTTCGCAAGTTGGAGATGCAGCTAGTGC	GCGA	149
AB270705_PVYN_Japao_P1	CAACCACCACTGACCCCTTCGCAAGTTGGAGATGCAGCTAGTGC	GCGA	150

AJ166866_PVYNTN_Canada_P1
AJ889866_PVYNTN_Alemanha_P1
AJ889867_PVYW_Alemanha_P1
AF522296_PVYN_Egito_P1
OBR_P1
EF026074_PVYO_USA_P1

CAACCATCACTGACCCCTTCGAGGTTGGAGATGCAGCTTAGTGCGCGA 149
TGGCTTCCGTTGATCCTTCGAGATCTGGAAACACAACCTAGTGCACGA 150
TGGCTTCCGTTGATCCTTCGAGATCTGGAAACACAACCTAGTGCACGA 150
CGGCTTCCGTTGATCCTTCGAGATCTGGAAACACAACCTAGTGCACGA 150
TGGCTTCCGTTGATCCTTCGAGATCTGGAAACACAACCTAGTGCACGA 150
TGGCTTCCGTTGATCCTTCGAGATCTGGAAACACAACCTAGTGCACGA 150

* * *** * ***** * * * * * * * * * *

AY745492_PVYNO_Canada_P1
EF026076_PVYNO-USA_P1
NBR_P1
EF026075_PVYNTN_USA_P1
ITA_P1
AB270705_PVYN_Japao_P1
AJ166866_PVYNTN_Canada_P1
AJ889866_PVYNTN_Alemanha_P1
AJ889867_PVYW_Alemanha_P1
AF522296_PVYN_Egito_P1
OBR_P1
EF026074_PVYO_USA_P1

TTACGAAGGCAAGAGTTGCAACTATTGAAACATCCAAGAAATGGTACTTG 199
TTACGAAGGCAAGAGTTGCAACTATTGAAACATCCAAGAAATGGTACTTG 200
TTACGAAGGCAAGGAGTTGCAACTATTGAAACATCCAAGAAATGGTACTTG 200
CTACGAAGGCAAGAGTTGCAACTATTGAAACATCCAAGAAATGGTACTTG 200
TTACGAAGGCAAGAGTTGCAACTATTGAAACATCCAAGAAATGGTACTTG 199
TTACGAAGGCAAGAGTTGCAACCATTGAAACATCCAAGAAATGGTACTTG 200
CTACGAAGGCAAGAGCTTGCAGTGTCCGTACATCCAAGAGTGGTATCTG 199
TTGCTCAAGCAAGAATATGCTACTGTTCGTGTGCTCAAGAACGGTACTCT 200
TTGCTCAAGCAAGAGTATGCTACTGTTCGTGTGCTCAAGAACGGTACTCT 200
TTGCTCAAGCAAGAATATGCTACTGTTCGTGTGCTCAAAAACGGTACTTT 200
TTGCTCAAGCAAGAATATGCTACTGTTCGTGTGCTCAAGAACGGTACTCT 200

* * *** * * * * * * * * * * * * * * * *

AY745492_PVYNO_Canada_P1
EF026076_PVYNO-USA_P1
NBR_P1
EF026075_PVYNTN_USA_P1
ITA_P1
AB270705_PVYN_Japao_P1
AJ166866_PVYNTN_Canada_P1
AJ889866_PVYNTN_Alemanha_P1
AJ889867_PVYW_Alemanha_P1
AF522296_PVYN_Egito_P1
OBR_P1
EF026074_PVYO_USA_P1

CATGTATCGATAACAAGACTGATGTCCAGATTGCGCGATTCAAAGAAC 249
CATGTATCGATAACAAGACTGATGTCCAGATTGCGCGATTCAAAGAAC 250
CATGTATCGATAACAAGACTGATGCCAGATTGCGCGATTCAAAGAAC 250
CATGTATCGATAACAAGACTGATGTCCAGATTGCGCGATTCAAAGAAC 250
CATGTATCGATAACAAGACTGATGTCCAGATTGCGCGATTCAAAGAAC 249
CATGTATCGATAACAAGACTGATGTCCAGATTGCGCGATTCAAAGAAC 250
CATGTATCGATAACAAGACTGATGTCCAGATTGCGCGATTCAAAGAAC 249
TACGTACCGATAACAAGACTGATGCCAGATAACCGCGATTCAAAGAAC 250
TACGTACCGATAACAAGACTGATGCCAGATAACCGCGATTCAAAGAAC 250
TACGTACCGATAACAAGACTGATGCCAGATAACCGCGATTCAAAGAAC 250
TACGTACCGATAACAAGACTGATGCCAGATAACCGCGATTCAAAGAAC 250
TACTTACCGATAACAAACTGATGCCAGATAACCGCGATTCAAAGAAC 250

* *

AY745492_PVYNO_Canada_P1

GCGAGGAAAGAGAAAGAGAGGAATATAATTCCAAATGGCTGCGTCAAGT 299

EF026076_PVYNO-USA_P1	GCGAGGAAAGAGAAAGAGAGGAATATAATTCCAAATGGCTGCGTCAAGT	300
NBR_P1	GCGAGGAAAGAGAAAGAGAGGAATATAATTCCAAATGGCTGCGTCAAGT	300
EF026075_PVYNTN_USA_P1	GCGAGGAGAGAGAAAGAGAGGAATATAATTCCAAATGGCTGCGTCAAGT	300
ITA_P1	GCGAGGAGAGAGAAAGAGAGGAATATAATTCCAAATGGCTGCGTCAAGT	299
AB270705_PVYN_Japao_P1	GCGAGGAGAGAGAAAGAGAGGAATATAATTCCAAATGGCTGCGTCAAGT	300
AJ166866_PVYNTN_Canada_P1	GCGAGGAAAGAGAAAGAGAACACAACCTCCAAATGGCTGCACCGAGT	299
AJ889866_PVYNTN_Alemanha_P1	TGGAAAGGAAGGATAGGGAAAGAATATCACTTCAGATGGCAGCTCCTAGT	300
AJ889867_PVYW_Alemanha_P1	TGGAAAGGAAGGATAGGGAAAGAATATCACTTCAGATGGCAGCTCCTAGT	300
AF522296_PVYN_Egito_P1	TGGAGAGGAAGGATAGGGAAAGAATATCACTTCCAAATGGCCGCTCCTAGT	300
OBR_P1	TAGAGAGGAAGGATAGGGAAAGAATATCACTTCCAAATGGCCGCTCCTAGT	300
EF026074_PVYO_USA_P1	TGGAGAGGAAGGATAGGGAAAGAATATCACTTCAGATGGCCGCTCCTAGT	300

AY745492_PVYNO_Canada_P1	ATCACAAATGCGGAGGGTGTCCACACAACCTCAAGGATGCGCACAG	399
EF026076_PVYNO-USA_P1	ATCACAAGTGCGGAGGGTGTCCACACAACCTCAAGGATGCGCACAG	400
NBR_P1	ATCACAAGTGCGGAGGGTGTCCACACAACCTCAAGGATGCGCACAG	400
EF026075_PVYNTN_USA_P1	ATCACAAGTGCGGAGGGTGTCCACACAACCTCAAGGATGCGCACAG	400
ITA_P1	ATCACAAGTGCGGAGGGTGTCCACACAACCTCAAGGATGCGCACAG	399
AB270705_PVYN_Japao_P1	ATCACAAGTGCGGAGGGTGTCCACACAACCTCAAGGATGCGCACAG	400
AJ166866_PVYNTN_Canada_P1	ATCACAAGTGCGAGAGGGTGTCCACACAACCTCAAGGATGCGTACAG	399
AJ889866_PVYNTN_Alemanha_P1	ATCACAAGTGCGGAGGGTGTCCACACAACCTCAAGGATGCGCACAA	400
AJ889867_PVYW_Alemanha_P1	ATTACAAGTGCGGAGGGTGTCCACACAACCTCAAGGATGCGCACAG	400
AF522296_PVYN_Egito_P1	GCCACAAGCACCAAGAGGGATCATTACAACCTCAAGGATGCGTAAAG	400

OBR_P1
EF026074_PVYO_USA_P1

GCCACAAGCACCAAGAGGGATCATTACATAACTCCAAGGGATGCGTAAAG 400
GCCACAAGCACCAAGAGGGATCATTACATAACTCCAAGGGTGCCTAAAG 400
***** * * * * * * * * * * * * * * * *

AY745492_PVYNO_Canada_P1
EF026076_PVYNO-USA_P1
NBR_P1
EF026075_PVYNTN_USA_P1
ITA_P1
AB270705_PVYN_Japao_P1
AJ166866_PVYNTN_Canada_P1
AJ889866_PVYNTN_Alemanha_P1
AJ889867_PVYW_Alemanha_P1
AF522296_PVYN_Egito_P1
OBR_P1
EF026074_PVYO_USA_P1

CAAAAACATATCACACGCCAAGTTGACAGAGGGACAAATGAACCACCTT 449
CAAAAACATATCACACGCCAAGTTGACAGAGGGACAAATGAACCACCTT 450
CAAAAACATATCACACGCCAAGTTGACAGAGGGACAAATGAACCACCTT 450
CAAAAACATATCACACGCCAAGTTGACAGAGGGACAAATGAACCACCTT 450
CAAAAACATATCACACGCCAAGTTAACAGAGGGACAAATGAACCACCTT 449
CAAAAACATATCACACGCCAAGTTAACAGAGGGACAAATGAACCACCTT 450
TGAAAACATATCACACGCCAAGTTGACAGAGGAAACAAATGAACCACCTT 449
CGAAAACGTATCACACGCCAAGTTGACAGAGGGACAGATGAACCACCTT 450
CAAAAACATATCACACGCCAAGTTGACAGAGGGACAAATGAACCACCTT 450
TCAAGACACGCCCTATAATAAGTTGACAGAAGGCCAGATGAATCACCTC 450
TCAAGACACACCCCCATAATAAGTTGACAGAAGGCCAGATGAATCATCTC 450
TCAAGACACGTCCCTATAATAAGTTGACAGAAGGCCAGATGAATCATCTC 450
* *

AY745492_PVYNO_Canada_P1
EF026076_PVYNO-USA_P1
NBR_P1
EF026075_PVYNTN_USA_P1
ITA_P1
AB270705_PVYN_Japao_P1
AJ166866_PVYNTN_Canada_P1
AJ889866_PVYNTN_Alemanha_P1
AJ889867_PVYW_Alemanha_P1
AF522296_PVYN_Egito_P1
OBR_P1
EF026074_PVYO_USA_P1

ATCAAGCAGGTGAAGCAAATTATGTCACCAACCAAGGAGGGTCTGTTCAACT 499
ATCAAGCAGGTGAAGCAAATTATGTCACCAACCAAGGAGGGTCTGTTCAACT 500
ATCAAGCAGGTGAAGCAAATTATGTCACCAACCAAGGAGGGTCTGTTCAACT 500
ATCAAGCAGGTGAAGCAAATTATGTCACCAACCAAGGAGGGTCTGTTCAACT 500
ATCAAGCAGGTGAAGCAAATTATGTCACCAACCAAGGAGGGTCTGTTCAATT 499
ATCAAGCAGGTGAAGCAAATTATGTCACCAACCAAGGAGGGTCTGTTCAACT 500
ATCAAGCAGGTAAAGCAAATTATGTCACCAACCAAGGAGGGTCTGTTCAACT 499
ATCAAGCAGGTGAAGCAAATTATGTCACCAACCAAGGAGGGTCTGTTCAACT 500
ATCAAGCAGGTGAAGCAAATTATGTCACCAACCAAGGAGGGTCTGTTCAACT 500
ATTAAGCAGATAAAACAGATTATGTCGGAGAAAAGAGGGTCTGTCCACTT 500
ATTAAGCAGATAAAAGCAGATTATGTCGGAGAAGAGAGGGTCTGTCCACTT 500
ATTAAGCAGGTGAAGCAGATTATGTCGGAGAAGAGAGGGTCTGTCCACTT 500
* *

AY745492_PVYNO_Canada_P1
EF026076_PVYNO-USA_P1
NBR_P1
EF026075_PVYNTN_USA_P1
ITA_P1

GATTAGCAAGAAAAGTACCCATGTTCACTATAAAGAAGTTGGGATCAC 549
GATTAGCAAGAAAAGTACCCATGTTCACTATAAAGAAGTTGGGATCAC 550
GATTAGCAAGAAAAGTACCCATGTTCACTATAAAGAAGTTGGGATCGC 550
GATTAGCAAGAAAAGTACCCATGTTCACTATAAAGAAGTTGGGATCAC 550
GATTAGCAAGAAAAGTACCCATGTTCACTATAAAGAAGTTGGGATCAC 549

AB270705_PVYN_Japao_P1
AJ166866_PVYNTN_Canada_P1
AJ889866_PVYNTN_Alemanha_P1
AJ889867_PVYW_Alemanha_P1
AF522296_PVYN_Egito_P1
OBR_P1
EF026074 PVYO USA P1

AY745492_PVYNO_Canada_P1
EF026076_PVYNO-USA_P1
NBR_P1
EF026075_PVYNTN_USA_P1
ITA_P1
AB270705_PVYN_Japao_P1
AJ166866_PVYNTN_Canada_P1
AJ889866_PVYNTN_Alemanha_P1
AJ889867_PVYW_Alemanha_P1
AF522296_PVYN_Egitto_P1
OBR_P1
EF026074_PVYO_USA_P1

ATCGCGCAGTTGTTGCACTGCACATATGAGAGGTTACGAAAGAGAGTG 599
ATCGCGCAGTTGTTGCACTGCACATATGAGAGGTTACGAAAGAGAGTG 600
ATCGCGCAGTTGTTGCACTGCACATATGAGAGGTTACGAAAGAGAGTG 600
ATCGGCCAGTTGTTGCACTGCACATATGAGAGGTTACGAAAGAGAGTG 600
ATCGCGCAGTTGTTGCACTGCACATATGAGAGGTTACGAA-GAGAGTG 598
ATCGCGCAGTTGTTGCACTGCACATATGAGAGGTTACGAAAGAGAGTG 600
ATCGCGCAGTCGTTGCACTGCACATATGAGAGGTTACGAAAGAGAGTG 599
ATCGCGCAGTTGTTGCACTGCACATATGAGAGGTTACGAAAGAGAGTG 600
ATCGCGCAGTCGTTGCACTGCACATATGAGAGGTTACGAAAGAGAGTG 600
ACTCCGCAGCGGTTCGAAGTCGACATATGATGGGTTGCGACGGAGAGTG 600
CTCGCGAACGGTTCGAAGTCGACATATGATGGGTTGCGACGGAGAGTG 600
CTCGCGAACGGTTCGAAGTCGACATATGATGGGTTGCGACGGAGAGTG 600

AY745492_PVYNO_Canada_P1
EF026076_PVYNO-USA_P1
NBR_P1
EF026075_PVYNTN_USA_P1
ITA_P1
AB270705_PVYN_Japao_P1
AJ166866_PVYNTN_Canada_P1
AJ889866_PVYNTN_Alemanha_P1
AJ889867_PVYW_Alemanha_P1
AF522296_PVYN_Egitto_P1
OBR_P1
EF026074_PVYO_USA_P1

GACTTTCGGTGTGATAAAATGGACCGTTGCGTCTACAGCATCTGCCAG 649
GACTTTCGGTGTGATAAAATGGACCGTTGCGTCTACAGCATCTGCCAG 650
GACTTTCGGTGTGATAAAATGGACCGTTGCGTCTACAGCATCTGCCAG 650
GACTTTCGGTGTGATAAAATGGACCGTTGCGCCTACAGCATCTGCCAG 650
GACTTTCGGTGTGATAAAATGGACCGTTGCGCCTACAGCATCTGC-AG 647
GACTTTCGGTGTGATAAAATGGACCGTTGCGTCTACAGCATCTGCCAG 650
GACTTCAGTGTGATAAGTGGACTGTTATGTCGAAGCATCTCGCAAG 649
GACTTTCGGTGTGATAAAATGGACCGTTGCGTCTACAGCATCTGCCAG 650
GACTTTCGGTGTGATAAAATGGACCGTTGCGTCTACAGCATCTCGCTAG 650
GACTTCCGATGTGATATGTGGACAGTTGGACTTTGCAACGTCGCTCG 650
GACTTCCGATGTGATATGTGGACGGTTGGACTTTGCAACGTCGCTCG 650
GACTTCCGATGTGATATGTGGACAGTCGGACTTTGCAACGTCGCTCG 650
***** * ***** *

AY745492_PVYNO_Canada_P1
EF026076_PVYNO-USA_P1
NBR_P1
EF026075_PVYNTN_USA_P1
ITA_P1
AB270705_PVYN_Japao_P1
AJ166866_PVYNTN_Canada_P1
AJ889866_PVYNTN_Alemanha_P1
AJ889867_PVYW_Alemanha_P1
AF522296_PVYN_Egito_P1
OBR_P1
EF026074_PVYO_USA_P1

AY745492_PVYNO_Canada_P1
EF026076_PVYNO-USA_P1
NBR_P1
EF026075_PVYNTN_USA_P1
ITA_P1
AB270705_PVYN_Japao_P1
AJ166866_PVYNTN_Canada_P1
AJ889866_PVYNTN_Alemanha_P1
AJ889867_PVYW_Alemanha_P1
AF522296_PVYN_Egito_P1
OBR_P1
EF026074_PVYO_USA_P1

AY745492_PVYNO_Canada_P1
EF026076_PVYNO-USA_P1
NBR_P1
EF026075_PVYNTN_USA_P1
ITA_P1
AB270705_PVYN_Japao_P1
AJ166866_PVYNTN_Canada_P1
AJ889866_PVYNTN_Alemanha_P1
AJ889867_PVYW_Alemanha_P1

GACGGACAAGTGGACTAACCAAGTTCTGCTACTGATCTACGCAAGGGCG 699
GACGGACAAGTGGACTAACCAAGTTCTGCTACTGATCTACGCAAGGGCG 700
GACGGACAAGTGGACTAACCAAGTTCTGCTACTGATCTACGCAAGGGCG 700
GACGGACAAGTGGACTAACCAAGTTCTGCTACTGATCTACGCAAGGGCG 700
GACGGACAAGTG-ACTAACCAAGTTCTGCTACTGATCTACGCAAGG-CG 695
GACGGACAAGTGGACTAACCAAGTTCTGCTACTGATCTACGCAAGGGCG 700
GACGGACAAGTGGACTAACCAAGTTCTGCTACTGATCTACGAAAGGGCG 699
GACGGACAAGTGAATAACCAAGTTCTGCTACTGATCTACGCAAGGGCG 700
GACGGACAAGTGGACTAACCAAGTTCTCGCTACTGATCTACGCAAGGGCG 700
GACGGACAAATGGTCCAATCAAGTCCGCACTATCACACATACGAAGGGGTG 700
GACGGACAAATGGTCCAATCAAGTCCGCACTATCACACATACGAAGGGGTG 700
GACGGACAAATGGTCCAATCAAGTCCGCACTATCACACATACGAAGGGGTG 700

ATAGTGGAGTTATTGAGTAATACTAATCTCAAAGGAACTTTGGGAGA 749
ATAGTGGAGTTATTGAGTAATACTAATCTCAAAGGAACTTTGGGAGA 750
ATAGTGGAGTTATTGAGTAATACTAATCTCAAAGGAACTTTGGGAGA 750
ATAGTGGAGTTATTGAGTAATACTAATCTCAAAGGACACTTGGAGA 750
ATAGTG-AGTTATTGAGTA-TACTAATCTCAAAG-ACACTTTG--AGA 740
ATAGTGGAGTTATTGAGTAATACTAATCTCAAAGGAACTTTGGAGA 750
ATAGTGGAGTTATTGAGTAATACTAATCTCAAAGGATACTTGGGAGA 749
ATAGTGGAGTTATTGAGTAATACTAATCTCAAAGGAACTTTGGGAGA 750
ATAGTGGAGTTATTGAGTAATACTAATCTCAAAGGAACTTTGGGAGA 750
ATAGTGGAGTCATCTGAACACAAAAAGCCTCAAAGGCCACTTGGTAGA 750
ATAGTGGAGTCATCTGAACACAAAAAGCCTCAAAGGCCACTTGGTAGA 750
ATAGTGGAGTCATTTGAACACAAAAAGCCTCAAAGGCCACTTGGTAGA 750

AGCTCGGAGGGCCTATTCATAGT-GCGTGGGTCGCACGAAGGAAAATCT 798
AGCTCGGAGGGCCTATTCATAGT-GCGTGGGTCGCACGAAGGAAAATCT 799
AGCTCGGAGGGCCTATTCATAGT-GCGTGGGTCGCACGAAGGAAAATCT 799
AGCTCGGAGGGCCTATTCATAGT-GCGTGGGTCGCACGAAGGAAAATCT 799
AGCTCGGAGG--CTAT-CATAGTTCGTTGG-TCGCACGA---GAAATCT 782
AGCTCGGAGGGCCTATTCATAGT-GCGTGGGTCGCACGAAGGAAAATCT 799
AGTCGGAGGGCTATTATAGT-GCGTGGGATCGCATGAAGGAAAATCT 798
AGCTCGGAGGGCATATTCATAGT-GCGTGGGTCGCACGAAGGAAAATCT 799
AGCTCGGAGGGCCTATTCATAGT-GCGTGGGTCGCACGAAGGAAAATCT 799

AF522296_PVYN_Egito_P1

OBR_P1

EF026074_PVYO_USA_P1

AGTTCAAGGAGGCTTGTTCATAGT-GCGTGGATCACACGAAGGGAAATTGT 799

AGTTCAAGGAGGCTTGTTCATAGT-GCGTGGATCACACGAAGGGAAATTGT 799

AGTTCAAGGAGACTTGTTCATAGT-GCGTGGATCACACGAAGGGAAATTGT 799

* *

AY745492_PVYNO_Canada_P1

EF026076_PVYNO-USA_P1

NBR_P1

EF026075_PVYNTN_USA_P1

ITA_P1

AB270705_PVYN_Japao_P1

AJ166866_PVYNTN_Canada_P1

AJ889866_PVYNTN_Alemanha_P1

AJ889867_PVYW_Alemanha_P1

AF522296_PVYN_Egito_P1

OBR_P1

EF026074_PVYO_USA_P1

ATGATGCACGTTCCAAGGTTACCCAA----- 824

ATGATGCACGTTCCAAGGTTACCCAA----- 825

ATGATGCACGGTCCAAGGTTACTCAA----- 825

ATGATGCACGTTCCAAGGTTACTCAA----- 825

ATGATGCACGTCTG---TACTCAA----- 804

ATGATGCACGTTCCAAGGTTACTCAA----- 825

ATGATGCGCGTCCAAGGTTACACAA----- 824

ATGATGCACGTTCCAAGGTTACTCAAGGGGTTATGGATTCAATGGTCAG 849

ATGATGCACGTTCCAAGGTTACTCAAGGGGTTATGGATTCAATGGTCAG 849

ATGATGCACGTTCTAGAGTTACT----- 822

ACGATGCACGTTCTAGAGTTACTCAGAGTGTTGA----- 835

ACGATGCACGTTCTAGAGTTACTCAGAGTGTTGA----- 835

* *

AY745492_PVYNO_Canada_P1

EF026076_PVYNO-USA_P1

NBR_P1

EF026075_PVYNTN_USA_P1

ITA_P1

AB270705_PVYN_Japao_P1

AJ166866_PVYNTN_Canada_P1

AJ889866_PVYNTN_Alemanha_P1

TTCTC- 854

AJ889867_PVYW_Alemanha_P1

TTCTCA 855

AF522296_PVYN_Egito_P1

OBR_P1

EF026074_PVYO_USA_P1

CLUSTAL 2.0.8 multiple sequence alignment

AY745492_PVYNO_Canada_HCpro EF026076_PVYNO-USA_HCpro NBR_HCpro EF026075_PVYNTN_USA_HCpro AJ889867_PVYW_Alemanha_HCpro AB270705_PVYN_Japao_HCpro AJ889866_PVYNTN_Alemanha_HCpro AJ166866_PVYNTN_Canada_HCpro AF522296_PVYN_Egito_HCpro EF026074_PVYO_USA_HCpro	-----GGGGTTATGGATTCAATGGTCAGTTCTCAAGCGCTGAAA 40 -----GGGGTTATGGATTCAATGGTCAGTTCTCAAGCGCTGAAA 40 -----GGGGTTATGGATTCAATGGTCAGTTCTCAAGCGCTGAAA 40 -----GGGGTTATGGATTCAATGGTCAGTTCTCAAGCGCTGAAA 40 ----- -----GGGGTTATGGATTCAATGGTCAGTTCTCAAGCGCTGAAA 40 ----- -----AGCGCTGAAA 10 GTGTACACAAGGAGTTCTAGACTCAATGGTCAGTTCTAAACGCTGAAA 50 -----CAGAGTATTTAAACTCAATGATCCAGTTTCAATGCCGACA 43 -----ACTCAATGATCCAGTTTCAATGCCGACA 30
AY745492_PVYNO_Canada_HCpro EF026076_PVYNO-USA_HCpro NBR_HCpro EF026075_PVYNTN_USA_HCpro AJ889867_PVYW_Alemanha_HCpro AB270705_PVYN_Japao_HCpro AJ889866_PVYNTN_Alemanha_HCpro AJ166866_PVYNTN_Canada_HCpro AF522296_PVYN_Egito_HCpro EF026074_PVYO_USA_HCpro	GCTTTGGAAGGGATTGGACGGCAATTGGCACAAATGAGATAACCCTACA 90 GCTTTGGAAGGGATTGGACGGCAATTGGCACAAATGAGATAACCCTACA 90 GCTTTGGAAGGGATTGGACGGCAATTGGCACAAATGAGATAACCCTACA 90 GCTTTGGAAGGGATTGGACGGCAATTGGCACAAATGAGATAACCCTACA 90 GCTTTGGAAGGGATTGGACGGCAATTGGCACAAATGAGATAACCCTACA 50 GCTTTGGAAGGGATTGGACGGCAATTGGCACAAATGAGATAACCCTACA 90 GCTTTGGAAGGGATTGGACGGCAATTGGCACAAATGAGATAACCCTACA 60 GCTTCTGGAAGGGATTGGACGGCAATTGGCACGGATGAGATAACCCTACA 100 ATTTTGGAAGGGTCTGGACGGTAATTGGCACGAATGAGATACTTCG 93 ATTTTGGAAGGGTCTAGACGGTAATTGGCACAACTGAGATACTTCG 80 *
AY745492_PVYNO_Canada_HCpro EF026076_PVYNO-USA_HCpro NBR_HCpro EF026075_PVYNTN_USA_HCpro AJ889867_PVYW_Alemanha_HCpro AB270705_PVYN_Japao_HCpro AJ889866_PVYNTN_Alemanha_HCpro AJ166866_PVYNTN_Canada_HCpro AF522296_PVYN_Egito_HCpro EF026074_PVYO_USA_HCpro	GATCATACATGTGTGGCAGGCTTACCAAGTTGAAGACTGTGGCAGAGTTGC 140 GATCATACATGTGTGGCAGGCTTACCAAGTTGAAGACTGTGGCAGAGTTGC 140 GATCATACATGTGTGGTAGGCTTACCAAGTTGAAGACTGTGGCAGAGTTGC 140 GATCATACATGTGTGGCAGGCTTACCAAGTTGAAGACTGTGGCAGAGTTGC 140 GATCATACATGTGTGGCAGGCTTACCAAGTTGAAGACTGTGGCAGAGTTGC 100 GATCATACATGTGTGGCAGGCTTACCAAGTTGAAGACTGTGGCAGAGTTGC 140 GATCATACATGTGTGGCAGGCTTACCAAGTTGAAGACTGTGGCAGAGTTGC 110 GATCATACATGCGTAGCAGGCTTACCAAGTTGAAGACTGTGGCAGAGTAGC 150 GATCACACATGTGTAGCTGGTTACCTGTGCAAGATTGTTAGGGTAGC 143 GATCACACATGTGTAGCTGGTTACCTGTGCAAGATTGTTAGGGTAGC 130

AY745492_PVYNO_Canada_HCpro
EF026076_PVYNO-USA_HCpro
NBR_HCpro
EF026075_PVYNTN_USA_HCpro
AJ889867_PVYW_Alemanha_HCpro
AB270705_PVYN_Japao_HCpro
AJ889866_PVYNTN_Alemanha_HCpro
AJ166866_PVYNTN_Canada_HCpro
AF522296_PVYN_Egito_HCpro
EF026074_PVYO_USA_HCpro

AY745492_PVYNO_Canada_HCpro
EF026076_PVYNO-USA_HCpro
NBR_HCpro
EF026075_PVYNTN_USA_HCpro
AJ889867_PVYW_Alemanha_HCpro
AB270705_PVYN_Japao_HCpro
AJ889866_PVYNTN_Alemanha_HCpro
AJ166866_PVYNTN_Canada_HCpro
AF522296_PVYN_Egito_HCpro
EF026074 PVYO USA HCpro

AY745492_PVYNO_Canada_HCpro
EF026076_PVYNO-USA_HCpro
NBR_HCpro
EF026075_PVYNTN_USA_HCpro
AJ889867_PVYW_Alemanha_HCpro
AB270705_PVYN_Japao_HCpro
AJ889866_PVYNTN_Alemanha_HCpro
AJ166866_PVYNTN_Canada_HCpro
AF522296_PVYN_Egito_HCpro
EF026074_PVYO_USA_HCpro

AY745492_PVYNO_Canada_HCpro
EF026076_PVYNO-USA_HCpro
NBR_HCpro
EF026075_PVYNTN_USA_HCpro
AJ889867_PVYW_Alemanha_HCpro
AB270705_PVYN_Japao_HCpro
AJ889866_PVYNTN_Alemanha_HCpro
AJ166866_PVYNTN_Canada_HCpro
AF522296_PVYN_Egito_HCpro
EF026074_PVYO_USA_HCpro

AY745492_PVYNO_Canada_HCpro
EF026076_PVYNO-USA_HCpro
NBR_HCpro
EF026075_PVYNTN_USA_HCpro
AJ889867_PVYW_Alemanha_HCpro
AB270705_PVYN_Japao_HCpro
AJ889866_PVYNTN_Alemanha_HCpro
AJ166866_PVYNTN_Canada_HCpro
AF522296_PVYN_Egito_HCpro
EF026074_PVYO_USA_HCpro

AY745492_PVYNO_Canada_HCpro
EF026076_PVYNO-USA_HCpro
NBR_HCpro
EF026075_PVYNTN_USA_HCpro
AJ889867_PVYW_Alemanha_HCpro
AB270705_PVYN_Japao_HCpro
AJ889866_PVYNTN_Alemanha_HCpro
AJ166866_PVYNTN_Canada_HCpro
AF522296_PVYN_Egito_HCpro
EF026074_PVYO_USA_HCpro

TCGCTTGTGCATGTCAAAAGTTCTGACAATCTTAGAGCACTTAAC TG 340
TCGCTTGTGCATGTCAAAAGTTCTGACAATCTTAGAGCACTTAAC TG 340
TCGCTTGTGCATGTCAAAAGTTCTGACAATCTTAGAGCACTTAAC TG 340
TCGCTTGTGCATGTCAAAAGTTCTGACAATCTTAGAGCACTTAAC TG 340
TCGCTTGTGCATGTCAAAAGTTCTGACAATCTTAGAGCACTTAAC TG 300
TCGCTTGTGCATGTCAAAAGTTCTGACAATCTTAGAGCACTTAAC TG 340
TCGCTTGTGCATGTCAAAAGTTCTGACAATCTTAGAGCACTTAAC TG 310
TCGCTTGTGCATGTCAAGTTCTGACAGTCCTAGAGCACTGACTG 350
CCGGTTTATACATGTTAATAAGTTCTGATAGCGTTAGAGCATCTAAC TG 343
CCGGTTTATACATGTTAATAAGTTCTGATAGCGTTAGAGCATCTAAC TG 330
* *

AACCGGTTGATCTGAGTCTAGAAATTTCATGAAGTATTCAAGTCTATA 390
AACCGGTTGATCTGAGTCTAGAAATTTCATGAAGTATTCAAGTCTATA 390
AACCGGTTGATCTGAGTCTAGAAACTTCAATGAAGTATTCAAGTCTATA 390
AACCGGTTGATCTGAGTCTAGAAATTTCATGAAGTATTCAAGTCTATA 390
AACCGGTTGATCTAAGTCTAGAAATTTCATGAAGTATTCAAGTCTATA 350
AACCGGTTGATCTGAGTCTAGAAATTTCATGAAGTATTCAAGTCTATA 390
AACCGGTTGATCTGAGTCTAGAAATTTCATGAAGTATTCAAGTCTATA 360
AACCAAGTTGATCTAAATCTAGAAATTTCATGAAGTATTCAAGTCTATA 400
AACCGGTGGACCTGAATCTCGAGCTTTCAATGAGATATTAAATCCATA 393
AACCGGTGGATTGAATCTCGAGCTTTCAATGAGATATTAAATCCATA 380
* *

GGGGAGAAGCAACAATCACCTTCAAAAACCTGAATATTCTGAATAATT 440
GGGGAAAAGCAACAATCACCTTCAAAAACCTGAATATTCTGAATAATT 440
GGGGAGAAGCAACAATCACCTTCAAAAACCTGAATATTCTGAATAATT 440
GGGGAGAAGCAACAATCACCTTCAAAAACCTGAATATTCTGAATAATT 440
GGGGAGAAGCAACAATCACCTTCAAAAACCTGAATATTCTGAATAATT 400
GGGGAGAAGCAACAATCACCTTCAAAAACCTGAATATTCTGAATAATT 440
GGGGAGAAGCAACAATCACCTTCAAAAACCTGAATGTTCTGAATAATT 410
GGAGAGAAGCAACAATCACCTTCAAAAACCTGAATATTCTGAATAATT 450
GGGGAGAAGCAGCAAGCACCCTGAAGAATTAAATGTCTAAATAATT 443
GGGGAGAAGCAGCAAGCACCCTGAAGAATTAAATGTCTAAATAATT 430
* *

AY745492_PVYNO_Canada_HCpro
EF026076_PVYNO-USA_HCpro
NBR_HCpro
EF026075_PVYNTN_USA_HCpro
AJ889867_PVYW_Alemanha_HCpro
AB270705_PVYN_Japao_HCpro
AJ889866_PVYNTN_Alemanha_HCpro
AJ166866_PVYNTN_Canada_HCpro
AF522296_PVYN_Egito_HCpro
EF026074_PVYO_USA_HCpro

AY745492_PVYNO_Canada_HCpro
EF026076_PVYNO-USA_HCpro
NBR_HCpro
EF026075_PVYNTN_USA_HCpro
AJ889867_PVYW_Alemanha_HCpro
AB270705_PVYN_Japao_HCpro
AJ889866_PVYNTN_Alemanha_HCpro
AJ166866_PVYNTN_Canada_HCpro
AF522296_PVYN_Egito_HCpro
EF026074_PVYO_USA_HCpro

AY745492_PVYNO_Canada_HCpro
EF026076_PVYNO-USA_HCpro
NBR_HCpro
EF026075_PVYNTN_USA_HCpro
AJ889867_PVYW_Alemanha_HCpro
AB270705_PVYN_Japao_HCpro
AJ889866_PVYNTN_Alemanha_HCpro
AJ166866_PVYNTN_Canada_HCpro
AF522296_PVYN_Egito_HCpro
EF026074_PVYO_USA_HCpro

CTTTTGAAAGGAAAGGAAAATACAGCTCGTGAATGGCAGGTGGCTCAAT 490
CTTTTGAAAGGAAAGGAAAATACAGCTCGTGAATGGCAGGTGGCTCAAT 490
CTTTTGAAAGGAAAGGAAAATACAGCTCGTGAATGGCAGGTGGCTCAAT 490
CTTTTGAAAGGAAAGGAAAATACAGCTCGTGAATGGCAGGTGGCTCAAT 490
CTTTTGAAAGGAAAGGAAAATACAGCTCATGAATGGCAGGTGGCTCAAT 450
CTTTTGAAAGGAAAGGAAAATACAGCTCGTGAATGGCAGGTGGCTCAAT 490
CTTTTGAAAGGAAAGGAAAAGATAACAGCTCGTGAATGGCAGGTGGCTCAAT 460
CTTTTGAAAGGAAAGGAAAATACAGCTCATGAATGGCAAGTAGCTCAAT 500
CTTCCTGAAAGGAAAGAAAATACAGCTCATGAATGGCAGGTAGCTCAAT 493
CTTCCTGAAAGGAAAGAAAATACAGCTCATGAATGGCAAGTAGCTCAAT 480
*** *

TAAGCTTACTTGAATTGGCAAGATTCCAAAAGAACAGAACGGATAATATC 540
TAAGCTTACTTGAATTGGCAAGATTCCAAAAGAACAGAACGGATAATATC 540
CAAGCTTACTTGAATTGGCAAGATTCCAAAAGAACAGAACGGATAATATC 540
TAAGCTTACTTGAATTGGCAAGATTCCAAAAGAACAGAACGGATAATATC 540
TAAGCTTACTTGAATTGGCAAGATTCCAAAAGAACAGAACGGATAATATC 500
TAAGCTTACTTGAATTGGCAAGATTCCAAAAGAACAGAACGGATAATATC 540
TAAGCTTACTTGAATTGGCAAGATTCCAAAAGAACAGAACGGATAATATC 510
TAAGCTTACTTGAATTGGCAAGATTCCAAAAGAACAGAACGGACAGATAATATC 550
TGAGTTTGTCTGAATTAGCAAGGTTCCAGAAGAACAGAACTGATAACATC 543
TGAGTTTGTCTGAATTAGCAAGGTTCCAGAAGAACAGAACTGATAACATC 530
*** *

CAGAAAGGAGACATCTCGTTCTTAGGAATAAACTATCTGCCAAAGCAAA 590
AAGAAAGGAGACATCTCGTTCTTAGGAATAAACTATCTGCCAAAGCAAA 590
AAGAAAGGAGACATCTCGTTCTTAGGAATAAACTATCTGCCAAAGCAAA 590
AAGAAAGGAGACATCTCGTTCTTAGGAATAAACTATCTGCCAAAGCAAA 590
AAGAAAGGAGACATCTCGTTCTTAGGAATAAACTATCTGCCAAAGCAAA 550
AAGAAAGGAGACATCTCGTTCTTAGGAATAAACTATCTGCCAAAGCAAA 590
AAGAAAGGAGACATCTCGTTCTTAGGAATAAACTATCTGCCAAAGCAAA 560
AAGAAAGGTGACATCTCGTTCTCAGGAATAAGCTATCCGCCAAAGCAAA 600
AAGAAAGGTGATATCTTCTTCAGAAATAAAATTATCTGCCAAGGCAAA 593
AAGAAAGGTGATATCTTCTTCAGAAATAAAATTATCTGCCAAGGCAAA 580
***** *

TTGGAACITGTATCTTCATGTGATAACCAGCTGGATAAGAACACT 640

EF026076_PVYNO-USA_HCpro
NBR_HCpro
EF026075_PVYNTN_USA_HCpro
AJ889867_PVYW_Alemanha_HCpro
AB270705_PVYN_Japao_HCpro
AJ889866_PVYNTN_Alemanha_HCpro
AJ166866_PVYNTN_Canada_HCpro
AF522296_PVYN_Egito_HCpro
EF026074 PVYO USA HCpro

AY745492_PVYNO_Canada_HCpro
EF026076_PVYNO-USA_HCpro
NBR_HCpro
EF026075_PVYNTN_USA_HCpro
AJ889867_PVYW_Alemanha_HCpro
AB270705_PVYN_Japao_HCpro
AJ889866_PVYNTN_Alemanha_HCpro
AJ166866_PVYNTN_Canada_HCpro
AF522296_PVYN_Egitto_HCpro
EF026074 PVYO USA HCpro

AY745492_PVYNO_Canada_HCpro
EF026076_PVYNO-USA_HCpro
NBR_HCpro
EF026075_PVYNTN_USA_HCpro
AJ889867_PVYW_Alemanha_HCpro
AB270705_PVYN_Japao_HCpro
AJ889866_PVYNTN_Alemanha_HCpro
AJ166866_PVYNTN_Canada_HCpro
AF522296_PVYN_Egitto_HCpro
EF026074 PVYO USA HCpro

AY745492_PVYNO_Canada_HCpro
EF026076_PVYNO-USA_HCpro

```

TTGGAACCTGTATCTTCATGTATAACCAGCTGGATAAGAATGAAACT 640
TTGGAACCTGTATCTGTATGTATAACCAGCTGGATAAGAATGAAACT 640
TTGGAACCTGTATCTGTATGTATAACCAGCTGGATAAGAATGAAACT 640
TTGGAACCTGTATCTGTATGTATAACCAGCTGGATAAGAATGAAACT 600
TTGGAACCTGTATCTGTATGTATAACCAGCTGGATAAGAATGAAACT 640
TTGGAACCTGTATCTGTATGTATAACCAGCTGGATAAGAATGAAACT 610
TTGGAACCTGTATCTGTATGCGATAATCAGTTGGATAAGAACGAAACT 650
CTGGAATCTGTATTGTCGTCGACAACCAGCTGGATAAAAATGAAACT 643
CTGGAATCTGTATTGTCGTCGACAACCAGCTGGATAAAAATGCAAATT 630
***** * * * * * * * * * * * * * * * * * * * * * * * * * * *

```

```

TCCTGTGGGACAGAGGAATATCATGTAAGCGATTTCTCGAACTAT 690
TCCTGTGGGACAGAGGAATATCATGTAAGCGATTTCTCGAACTAT 690
TCCTGTGGGACAGAGGAATATCATGTAAGCGATTTCTCGAACTAT 690
TCCTGTGGGACAGAGAGAATATCATGTAAGCGATTTCTCGAACTAT 690
TCCTGTGGGACAGAGAGAATATCATGTAAGCGATTTCTCGAACTAT 650
TCCTGTGGGACAGAGAGAATATCATGTAAGCGATTTCTCGAACTAT 690
TCCTGTGGGACAGAGGAATATCATGTAAGCGATTTCTCGAATTAT 660
TCCTGTGGGACAGAGGAATATCATGCCAACCGGTTTCTCGAACTTT 700
TCCTCTGGGACAAAGGGAGTATCATGTAAGCGGTTTCTCAAACCTC 693
TTCTGTGGGACAAAGGGAGTATCATGTAAGCGGTTTCTCAAACCTC 680
* * * * * * * * * * * * * * * * * * * * * * * * * * * * *

```

GCATCGGAATGGGACAAGAAAATTGCAATTGGAAACCTAATTGTACCA 790
GCATCGGAATGGGACAAGAAAATTGCAATTGGAAACCTAATTGTACCA 790

NBR_HCpro
EF026075_PVYNTN_USA_HCpro
AJ889867_PVYW_Alemanha_HCpro
AB270705_PVYN_Japao_HCpro
AJ889866_PVYNTN_Alemanha_HCpro
AJ166866_PVYNTN_Canada_HCpro
AF522296_PVYN_Egito_HCpro
EF026074_PVYO_USA_HCpro

```

GCATCGGAATGGGACAAGAAAATTGCAATTGAAACCTAATTGTACCAC 790
GCATCGGAATGGGACAAGAAAATTGCAATTGAAACCTAATTGTACCAC 790
GCATCGGAATGGGACAAGAAAATTGCAATTGAAACCTAATTGTACCAC 750
GCATCGGAATGGGACAAGAAAATTGCAATTGAAACCTAATTGTACCAC 790
GCATCGGAATGGGACAAGAAAATTGCAATTGAAACCTAATTGTACCAC 760
GCATCGGAATGGGAGGAGAAAATTGCAATTGAAACCTAATTGTCCAC 800
GCATCCAAGTGGAACACAAGGAAGCTCTCAATTGTAACCTAGTTGTCCCAC 793
GCATCCAATGGAACACAAGGAAGCTCTCAATTGTAACCTAGTTGTCCCAC 780
***** * ***** * * * * * * * * * * * * * * * * * * * * * * * *

```

AY745492_PVYNO_Canada_HCpro
EF026076_PVYNO-USA_HCpro
NBR_HCpro
EF026075_PVYNTN_USA_HCpro
AJ889867_PVYW_Alemanha_HCpro
AB270705_PVYN_Japao_HCpro
AJ889866_PVYNTN_Alemanha_HCpro
AJ166866_PVYNTN_Canada_HCpro
AF522296_PVYN_Egitto_HCpro
EF026074_PVYO_USA_HCpro

AY745492_PVYNO_Canada_HCpro
EF026076_PVYNO-USA_HCpro
NBR_HCpro
EF026075_PVYNTN_USA_HCpro
AJ889867_PVYW_Alemanha_HCpro
AB270705_PVYN_Japao_HCpro
AJ889866_PVYNTN_Alemanha_HCpro
AJ166866_PVYNTN_Canada_HCpro
AF522296_PVYN_Egitto_HCpro
EF026074_PVYO_USA_HCpro

AY745492_PVYNO_Canada_HCpro
EF026076_PVYNO-USA_HCpro
NBR_HCpro

TCCCTGTTGCACTACACTTGTATGGCTCAGCTGTTGAATCAACAT 940
TCCCTGTTGCACTACACTTGTATGGCTCAGCTGTTGAATCAACAT 940
TCCCTGTTGCACTACACTTGTATGGCTCAGCTGTTGAATCAACAT 940

EF026075_PVYNTN_USA_HCpro
AJ889867_PVYW_Alemanha_HCpro
AB270705_PVYN_Japao_HCpro
AJ889866_PVYNTN_Alemanha_HCpro
AJ166866_PVYNTN_Canada_HCpro
AF522296_PVYN_Egito_HCpro
EF026074_PVYO_USA_HCpro

```

TCCTTGTGCACTACACTTGATGATGGCTCAGCTGTTGAATCAACAT 940
TCCCTGTGCACTACACTTGATGATGGCTCAGCTGTTGAATCAACAT 900
TCCCTGTGCACTACACTTGATGATGGCTCAGCTGTTGAATCAACAT 940
TCCCTGTGCACTACACTTGATGATGGCTCAGCTGTTGAATCAACAT 910
TCCCTGTGCACTACACTTGATGATGGCTCAGCTGTTGAATCAACAT 950
TCCCTGTGCAACAACACTTGATGATGGTTCAGCCATTGAATCAACAT 943
TCCCTGTGCAACAACACTTGATGATGGTTCAGCTATTGAATCAACAT 930
*** **** * *** * * * * * * * * * * * * * * * * * * * * * *

```

AY745492_PVYNO_Canada_HCpro
EF026076_PVYNO-USA_HCpro
NBR_HCpro
EF026075_PVYNTN_USA_HCpro
AJ889867_PVYW_Alemanha_HCpro
AB270705_PVYN_Japao_HCpro
AJ889866_PVYNTN_Alemanha_HCpro
AJ166866_PVYNTN_Canada_HCpro
AF522296_PVYN_Egitto_HCpro
EF026074_PVYO_USA_HCpro

TTTACCCGCCAACTAAGAACCTCGTAATAGGCAATAGTGGCGATCAA	990
TTTACCCGCCAACTAAGAACCTCGTAATAGGCAATAGTGGCGATCAA	990
TTTACCCGCCAACTAAGAACCTCGTAATAGGTAATAGTGGCGACCAA	990
TTTACCCGCCAACTAAGAACCTCGTAATAGGTAATAGTGGTGATCAA	990
TTTACCCGCCAACTAAGAACCTCGTAATAGGTAATAGTGGCGATCAA	950
TTTACCCGCCAACTAAGAACCTCGTAATAGGCAATAGTGGCGATCAA	990
TTTACCCGCCAACTAAGAACCTCGTAATAGGTAATAGTGGCGACCAA	960
TTTACCCGCCAACTAAAAAGCATCTTGTAAATAGGTAACAGCGGTGATCAA	1000
TCTATCCACCA-----	954
TCTT-----	934
*	*

AY745492_PVYNO_Canada_HCpro
EF026076_PVYNO-USA_HCpro
NBR_HCpro
EF026075_PVYNTN_USA_HCpro
AJ889867_PVYW_Alemanha_HCpro
AB270705_PVYN_Japao_HCpro
AJ889866_PVYNTN_Alemanha_HCpro
AJ166866_PVYNTN_Canada_HCpro
AF522296_PVYN_Egitto_HCpro
EF026074_PVYO_USA_HCpro

AAGTATGTTGACTTACCAAAAGGAATTCTGAGATGTTATATATTGCCAG 1040
AAGTATGTTGACTTACCAAAAGGAATTCTGAGATGTTATATATTGCCAG 1040
AAGTATGTTGACTTACCAAAAGGAATTCTGAGATGTTATATATTGCCAG 1040
AAGTATGTTGACTTACCAAAAGGAATTCTGAGATGTTATATATTGCCAG 1040
AAGTATGTTGACTTACCAAAAGGTATTCTGAGATGTTATATATTGCCAG 1000
AAGTTGTTGACTTACCAAAAGGAATTCTGAGATGTTATATATTGCCAG 1040
AAGTATGTTGACTTACCAAAAGGAATTCTGAGATGTTATATATTGCCAG 1010
AAGTATGTTGATCTACCAAAAGGAATTCTGAAATGTTATACATTGCCAG 1050
-----ACTAAAAAGCACCTTGTAAATTGGCA-ATAGTGGTGA 989
-----ACCAAAAGGGGATTCGGAGATGTTATACATTGCCAA 970
*** * * * * * * * * * * *

AY745492_PVYNO_Canada_HCpro
EF026076_PVYNO-USA_HCpro
NBR_HCpro
EF026075_PVYNTN_USA_HCpro

GCAAGG--CTTCTGTTACATTAACATTTCCTCGCGATGTTAATTAAACAT 1088
GCAAGG--CTTCTGTTACATTAACATTTCCTCGCGATGTTAATTAAACAT 1088
GCAAGG--CTTCTGTTACATTAACATTTCCTCGCGATGTTGATTAAACAT 1088
GCAAGG--TTTCTGTTACATTAACATTTCCTCGCGATGTTGATTAAACAT 1088

AJ889867_PVYW_Alemanha_HCpro
AB270705_PVYN_Japao_HCpro
AJ889866_PVYNTN_Alemanha_HCpro
AJ166866_PVYNTN_Canada_HCpro
AF522296_PVYN_Egito_HCpro
EF026074_PVYO_USA_HCpro

AY745492_PVYNO_Canada_HCpro
EF026076_PVYNO_USA_HCpro
NBR_HCpro
EF026075_PVYNTN_USA_HCpro
AJ889867_PVYW_Alemanha_HCpro
AB270705_PVYN_Japao_HCpro
AJ889866_PVYNTN_Alemanha_HCpro
AJ166866_PVYNTN_Canada_HCpro
AF522296_PVYN_Egito_HCpro
EF026074_PVYO_USA_HCpro

AY745492_PVYNO_Canada_HCpro
EF026076_PVYNO_USA_HCpro
NBR_HCpro
EF026075_PVYNTN_USA_HCpro
AJ889867_PVYW_Alemanha_HCpro
AB270705_PVYN_Japao_HCpro
AJ889866_PVYNTN_Alemanha_HCpro
AJ166866_PVYNTN_Canada_HCpro
AF522296_PVYN_Egito_HCpro
EF026074_PVYO_USA_HCpro

AY745492_PVYNO_Canada_HCpro
EF026076_PVYNO_USA_HCpro
NBR_HCpro
EF026075_PVYNTN_USA_HCpro
AJ889867_PVYW_Alemanha_HCpro

GCAAGG--TTTCTGTTACATTAACATTTCCTCGCGATGTTGATTAACAT 1048
GCAAGG--TTTCTGTTACATTAACATTTCCTCGCGATGTTGATTAACAT 1088
GCAAGG--CTTCTGTTACATTAACATTTCCTCGCGATGTTGATTAACAT 1058
GCAAGG--GTTTGTTATATAATATTCCTCGCGATGTTGATTAATAT 1098
CCAAAAATTGTTGATTACAAAAGGGGATTCGGAGATGTTAT--ACAT 1037
GCAGGG--TTATTGTTATATCAACGTGTTCTGCAATGCTTATTAACAT 1018
* * * * * * * * * * * *

TAGTGAGGAAGATGCAAAGGATTCACTAAGAACGGTTCGTGACATGTGTG 1138
TAGTGAGGAAGATGCAAAGGATTCACTAAGAACGGTTCGTGACATGTGTG 1138
TAGTGAGGAAGATGCAAAGGATTCACTAAGAACGGTTCGTGACATGTGTG 1138
TAGTGAGGAAGATGCAAAGGATTCACTAACAAAGGTTCGTGACATGTGTG 1138
TAGTGAGGAAGATGCAAAGGATTCACTAACAAAGGTTCGTGACATGTGTG 1098
TAGTGAGGAAGATGCAAAGGATTCACTAACAAAGGTTCGTGACATGTGTG 1138
TAGTGAGGGAGATGCAAAGGATTCACTAACAAAGGTTCGTGACATGTGTG 1108
TAGTGAGGAAGATGCAAAGGATTCACTAACAAAGGTTCGTGACATGTGTG 1148
TGCCTAACAGGGTT--ATTGTTATTAACGTGTTCTGCAATGC--- 1081
TAGCGAGGAGGATGCAAAGGATTCACTAACAAAGAACGGTTCGTGACATGTGTG 1068
* * * * * * * * * * * *

TGCCAAAGCTTGGAACCTGGCAACCATGATGGATCTGGCTACAACCTGT 1188
TGCCTAACAGCTTGGAACCTGGCAACCATGATGGATCTGGCTACAACCTGT 1188
TGCCTAACAGCTTGGAACCTGGCAACCATGATGGATCTGGCTACAACCTGT 1188
TGCCTAACAGCTTGGAACCTGGCAACCATGATGGATCTGGCTACAACCTGT 1188
TGCCTAACAGCTTGGAACCTGGCAACCATGATGGATCTGGCTACAACCTGT 1148
TGCCTAACAGCTTGGAACCTGGCAACCATGATGGATCTGGCTACAACCTGT 1188
TGCCTAACAGCTTGGAACCTGGCAACCATGATGGATCTGGCTACAACCTGT 1158
TGCCTAACAGCTTGGAACCTGGCAACCATGATGGATCTGGCTACTACTGT 1198
TGATTAACATTAGAACCTGGCAACTATGATGGATTGGCGACCACTTGT 1131
TGCCTAACAGCTTGGAACCTGGCAACTATGATGGATTGGCGACCACTTGT 1118
* * * * * * * * * * * *

GCTCAAATGAAAATTTTACCTGATGTTCATGATGCAGAACTGCCTAG 1238
GCTCAAATGAAAATTTTACCTGATGTTCATGATGCAGAACTGCCTAG 1238
GCTCAAATGAAAATTTCTACCTGATGTTCATGATGCAGAACTGCCTAG 1238
GCTCAAATGAAAATTTCTACCTGATGTTCATGATGCAGAACTGCCTAG 1238
GCTCAAATGAAAATTTCTACCTGATGTTCATGATGCAGAACTGCCTAG 1198

AB270705_PVYN_Japao_HCpro
AJ889866_PVYNTN_Alemanha_HCpro
AJ166866_PVYNTN_Canada_HCpro
AF522296_PVYN_Egito_HCpro
EF026074_PVYO_USA_HCpro

AY745492_PVYNO_Canada_HCpro
EF026076_PVYNO_USA_HCpro
NBR_HCpro
EF026075_PVYNTN_USA_HCpro
AJ889867_PVYW_Alemanha_HCpro
AB270705_PVYN_Japao_HCpro
AJ889866_PVYNTN_Alemanha_HCpro
AJ166866_PVYNTN_Canada_HCpro
AF522296_PVYN_Egito_HCpro
EF026074_PVYO_USA_HCpro

AY745492_PVYNO_Canada_HCpro
EF026076_PVYNO_USA_HCpro
NBR_HCpro
EF026075_PVYNTN_USA_HCpro
AJ889867_PVYW_Alemanha_HCpro
AB270705_PVYN_Japao_HCpro
AJ889866_PVYNTN_Alemanha_HCpro
AJ166866_PVYNTN_Canada_HCpro
AF522296_PVYN_Egito_HCpro
EF026074_PVYO_USA_HCpro

AY745492_PVYNO_Canada_HCpro
EF026076_PVYNO_USA_HCpro
NBR_HCpro
EF026075_PVYNTN_USA_HCpro
AJ889867_PVYW_Alemanha_HCpro
AB270705_PVYN_Japao_HCpro

GCTCAAATGAAAATATTCTACCTGATGTTCATGATGCAGAACTGCCTAG 1238
GCTCAAATGAAAATATTCTACCTGATGTTCATGATGCAGAACTGCCTAG 1208
GCTCAAATGAAAATATTCTACCTGATGTTCATGATGCAGAGCTGCCAG 1248
GCTCAAATGAGAATATTCTATCCTGACGTACATGATGCAGAAATTGCCAG 1181
GCTCAAATGAGAATATTCTATCCTGACGTGATGTCAGAGCTGCCTAG 1168
***** *

AATACTAGTCGATCACGAAACGAGACATGCCATGGTTGACTCGTTG 1288
AATACTAGTCGATCACGAAACGAAACATGCCATGGTTGACTCGTTG 1288
AATACTAGTCGATCACGAAACGAGACATGCCATGGTTGACTCGTTG 1288
AATACTAGTCGATCACGAAACGAGACATGCCATGGTCGACTCGTTG 1288
AATACTAGTCGATCACGAAACGAGACATGCCATGGTTGACTCGTTG 1248
AATACTAGTCGATCACGAAACGAGACATGCCATGGTTGACTCGTTG 1288
AATACTAGTCGATCACGAAACGAGACATGCCATGGTTGACTCGTTG 1258
AATACTAGTTGACCAGAACACTGACAGACATGCCATGGTCGACTCGTTG 1298
AATATTGGTTGACCAGAACACTCAAACGTGTCATGGTTGACTCATTG 1231
AATATTGGTTGACCAGAACACTCAAACGTGTCACGTGGTTGACTCATTG 1218
***** *

GCTCACAAACAACGGTATCATATTGAAAGCATCTAGCGTGTCCAA 1338
GCTCACAAACAACGGTATCATATTGAAAGCATCTAGCGTGTCCAA 1338
GCTCACAAACAACGGTATCATATTGAAAGCATCTAGCGTGTCCAA 1338
GCTCACAAACAACGGTATCATATTGAAAGCATCTAGCGTGTCCAA 1338
GCTCACAAACAACGGTATCATATTGAAAGCATCTAGCGTGTCCAA 1298
GCTCACAAACAACGGTATCATATTGAAAGCATCTAGCGTATCCAA 1338
GCTCACAAACAACGGTATCATATTGAAAGCATCTAGCGTGTCCAA 1308
GTTCGCAAACAACGGCTATCATCTAAAGGCATCTAGCGTGTCTCAG 1348
GCTCGCAGACAACGGATATCATATTCTAAAGCATCCAGCGTGTCAA 1281
GCTCGCAAACAACGGATATCATATTCTAAAGCATCCAGCGTGTCAA 1268
* *

CTTATTTATTCGCAATGATGAGTTGGAGTCTGACATTAAGCACTATAG 1388
CTTATTTATTCGCTAATGATGAGTTGGAGTCTGACATTAAGCACTATAG 1388
CTTATTTGTTGCTAATGATGAGTTGGAGTCTGACATTAAGCACTATAG 1388
CTTATTTGTTGCTAATGATGAGTTGGAGTCTGACATTAAGCACTATAG 1388
CTTATTTGTTGCTAATGATGAGTTGGAGTCTGACATTAAGCATTATAG 1348
CTTATTTGTTGCTAATGATGAGTTGGAGTCTGACATTAAGCACTATAG 1388

AJ889866_PVYNTN_Alemanha_HCpro	CTTATTTGTTGCTAATGATGAGTTGGAGTCTGACATTAAACATTATAG	1358
AJ166866_PVYNTN_Canada_HCpro	CTTATCTGTTGCAAACGATGAGTTGGAATCTGACATTAAAGCACTATAG	1398
AF522296_PVYN_Egito_HCpro	CTTATCTGTTGCAAATGATGAATTAGAATCTGATATAAACATTATAG	1331
EF026074_PVYO_USA_HCpro	CTTATCTGTTGCAAATGATGAATTAGAATCTGATATAAACATTATAG	1318
	***** * * ***** * * * * * * * * * * * * * * * * *	
 AY745492_PVYNO_Canada_HCpro	AGTTGGT-----	1395
EF026076_PVYNO-USA_HCpro	AGTT-----	1392
NBR_HCpro	AGTTGGT-----	1395
EF026075_PVYNTN_USA_HCpro	AGTTGGT-----	1395
AJ889867_PVYW_Alemanha_HCpro	AGTTGGT-----	1355
AB270705_PVYN_Japao_HCpro	AGTTGGT-----	1395
AJ889866_PVYNTN_Alemanha_HCpro	AGTTGG-----	1364
AJ166866_PVYNTN_Canada_HCpro	AGTTGGTG-----	1406
AF522296_PVYN_Egito_HCpro	AGTT-----	1335
EF026074_PVYO_USA_HCpro	AGTTGGTGGTGTCTTAATGCATGCCCTGAACCTGGGTCCACAATATCAC	1368

 AY745492_PVYNO_Canada_HCpro	-----	
EF026076_PVYNO-USA_HCpro	-----	
NBR_HCpro	-----	
EF026075_PVYNTN_USA_HCpro	-----	
AJ889867_PVYW_Alemanha_HCpro	-----	
AB270705_PVYN_Japao_HCpro	-----	
AJ889866_PVYNTN_Alemanha_HCpro	-----	
AJ166866_PVYNTN_Canada_HCpro	-----	
AF522296_PVYN_Egito_HCpro	-----	
EF026074_PVYO_USA_HCpro	CTTCAGAGAAGGAGGAGTTATAATGTCTGAGTCGGCAGCGCTGAACTG	1418
 AY745492_PVYNO_Canada_HCpro	-----	
EF026076_PVYNO-USA_HCpro	-----	
NBR_HCpro	-----	
EF026075_PVYNTN_USA_HCpro	-----	
AJ889867_PVYW_Alemanha_HCpro	-----	
AB270705_PVYN_Japao_HCpro	-----	
AJ889866_PVYNTN_Alemanha_HCpro	-----	

AJ166866_PVYNTN_Canada_HCpro
AF522296_PVYN_Egito_HCpro
EF026074_PVYO_USA_HCpro

CTTTTAAAGGGAATTT 1435

CLUSTAL 2.0.8 multiple sequence alignment

EF026074_PVYO_USA_P3
 AJ889867_PVYW_Alemanha_P3
 AB270705_PVYN_Japao_P3
 EF026075_PVYNTN_USA_P3
 AY745492_PVYNO_Canada_P3
 EF026076_PVYNO_USA_P3
 AJ889866_PVYNTN_Alemanha_P3
 AF522296_PVYN_Egito_P3
 AJ166866_PVYNTN_Canada_P3
 NBR_P3

---GGTGTCTTAATGCATGCCCTGAACCTGGTCCACAATATCACCTT 47
 ---GGTGTCTTAATGCATGCCCTGAACCTGGTCCACAATATCACCTT 47
 ---GGTATTCTTAATGCATGCCCTGAACCTGGTCTACAATATCACCTT 47
 ---GGTATTCTTAATGCATGCCCTGAACCTGGTCTACAATATCACCTT 47
 ---GGTGTCTTAATGCATGCCCTGAACCTGGTCCACAATATCACCTT 47
 -----CTTGGTCCACAATATCACCTT 23
 --TGGTGTCTTAATGCATGCCCTGAACCTGGTCCACAATATCACCTT 48
 GGTGGTGTCTTAATGCTAGCCCTGAACCTGGTCCACAATATCACCTT 50
 ----GTATTCTGGGCATGCTCTGAGCTCGGATCCACGATATCACCTT 46
 ---GGTATTCTGGAGCATGCCCTGAGCTGGTCCACAATATCACCTT 47
 * * * * * *****

EF026074_PVYO_USA_P3
 AJ889867_PVYW_Alemanha_P3
 AB270705_PVYN_Japao_P3
 EF026075_PVYNTN_USA_P3
 AY745492_PVYNO_Canada_P3
 EF026076_PVYNO_USA_P3
 AJ889866_PVYNTN_Alemanha_P3
 AF522296_PVYN_Egito_P3
 AJ166866_PVYNTN_Canada_P3
 NBR_P3

CAGAGAAGGAGGAGTTATAATGTCAGTCGGCAGCGCTGAAACTGCTT 97
 CAGAGAAGGAGGAGTTATAATGTCAGTCGGCAGCGCTGAAACTGCTT 97
 CAGAGAAGGAGGAGTTATAATGTCAGTCGGCAGCGCTGAAACTGCTT 97
 CAGAGAAGGAGGAGTTATAATGTCAGTCGGCAGCGCTGAAACTGCTT 97
 CAGAGAAGGAGGAGTTATAATGTCAGTCGGCAGCGCTGAAACTGCTT 97
 CAGAGAAGGAGGAGTTATAATGTCAGTCGGCAGCGCTGAAACTGCTT 73
 CAGAGAAGGAGGAGTTATAATGTCAGTCGGCAGCGCTGAAACTGCTT 98
 CAGAGAAGGAGGAGTTATAATGTCAGTCGGCAGCGCTGAAACTGCTT 100
 CAGAGAAGGAGGAATCATAATGTCAGTCAGCAGCACTGAAACTGCTT 96
 TAGAGAAGGAGGAATCATAATGTCAGTCAGCAGCGCTAAACTGCTCC 97
 * *****

EF026074_PVYO_USA_P3
 AJ889867_PVYW_Alemanha_P3
 AB270705_PVYN_Japao_P3
 EF026075_PVYNTN_USA_P3
 AY745492_PVYNO_Canada_P3
 EF026076_PVYNO_USA_P3
 AJ889866_PVYNTN_Alemanha_P3
 AF522296_PVYN_Egito_P3
 AJ166866_PVYNTN_Canada_P3
 NBR_P3

TAAAGGGAATTTTAGACCTAACGGTATGAGACAGTTGCTGTTAGATGAG 147
 TAAAGGGAATTTTAGACCTAACGGTATGAGACAGTTGCTGTTAGATGAG 147
 TGAAGGGAATTTTAGACCTAACGGTATGAGACAGTTGCTGTTAGATGAG 147
 TGAAGGGAATTTTAGACCTAACGGTATGAGACAGTTGCTGTTAGATGAG 147
 TGAAGGGAATTTTAGACCTAACGGTATGAGACAGTTGCTGTTAGATGAG 147
 TGAAGGGAATTTTAGACCTAACGGTATGAGACAGTTGCTGTTAGATGAG 123
 TGAAGGGAATTTTAGACCTAACGGTATGAGACAGTTGCTGTTAGATGAG 148
 TGAAGGGAATTTTAGACCTAACGGTATGAGACAGTTGCTGTTAGATGAG 150
 TAAAGGGTATCTTAGACCCAAGGTATGAGACAGTTACTATTAGATGAA 146
 TAAAGGGATTTAGGCCAAAGTATGAGACAGTTACTGGATGAA 147

EF026074_PVYO_USA_P3
AJ889867_PVYW_Alemanha_P3
AB270705_PVYN_Japao_P3
EF026075_PVYNTN_USA_P3
AY745492_PVYNO_Canada_P3
EF026076_PVYNO-USA_P3
AJ889866_PVYNTN_Alemanha_P3
AF522296_PVYN_Egitto_P3
AJ166866_PVYNTN_Canada_P3
NBR_P3

```

CCTTACCTGTTGATTCTATCAATATTATCCTGGCATACTGATGGCTAT 197
CCTTACCTGTTGATTCTATCAATATTATCCTGGCATACTGATGGCTAT 197
CCTTACCTGTTGATTCTATCAATATTATCCCTGGCATACTGATGGCTAT 197
CCTTACCTGTTGATTCTATCAATATTATCCCTGGCATACTGATGGCTAT 197
CCTTACCTGTTGATTCTATCAATATTATCCCTGGCATACTGATGGCTAT 197
CCTTACCTGTTGATTCTATCAATATTATCCTGGCATACTGATGGCTAT 197
CCTTACCTGTTGATTCTATCAATATTATCCCTGGCATACTGATGGCTAT 173
CCTTACCTGTTGATTCTATCAGTATTATCCCTGGCATACTGATGGCTAT 198
CCTTACCTGTTGATTCTATCAAACTATCCCTGGCATACTGATGGCTAT 200
CCATATCTGCTCATTCTTCGATATTGTCCCGCATACTCATGGCTAT 196
CCATATTGCTCATTCTCGATATTATCCTGGTATACTTATGGCTAT 197
*** * * * * * * * * * * * * * * * * * * * * * * * * * * *

```

EF026074_PVYO_USA_P3
AJ889867_PVYW_Alemanha_P3
AB270705_PVYN_Japao_P3
EF026075_PVYNTN_USA_P3
AY745492_PVYNO_Canada_P3
EF026076_PVYNO-USA_P3
AJ889866_PVYNTN_Alemanha_P3
AF522296_PVYN_Egito_P3
AJ166866_PVYNTN_Canada_P3
NBR_P3

GTATAATAATGGGATTTTGAACCTGCGTAAGGTTGTGGATTAAATGAGA 247
GTATAACAATGGGATTTTGAACCTGCGTAAGGTTGTGGATTAAATGAGA 247
GTACAATAATGGGATTTTGAACCTGCGTAAGGTTGTGGATTAAATGAGA 247
GTACAATAATGGGATTTTGAACCTGCGTAAGGTTGTGGATTAAATGAGA 247
GTACAATAATGGGATTTTGAACCTGCGTAAGGTTGTGGATTAAATGAGA 247
GTACAATAATGGGATTTTGAACCTGCGTAAGGTTGTGGATTAAATGAGA 247
GTACAATAATGGGATTTTGAACCTGCGTAAGGTTGTGGATTAAATGAGA 223
GTACAATAATGGGATTTTGAACCTGCGTAAGGTTGTGGATTAAATGAGA 248
GTATAATAATGGGATTTTGAACCTGCGGTAGGTTGTGGATTAAATGAGA 250
GTACAATAATGGGATTTTGAGCTTGCAGTGAAGTTGTGGATTAAATGAAA 246
GTACAAACAATGGGATATTGAGTTAGCGGTAGGTTGTGGATCAATGAGA 247
*** *

EF026074_PVYO_USA_P3
AJ889867_PVYW_Alemanha_P3
AB270705_PVYN_Japao_P3
EF026075_PVYNTN_USA_P3
AY745492_PVYNO_Canada_P3
EF026076_PVYNO-USA_P3
AJ889866_PVYNTN_Alemanha_P3
AF522296_PVYN_Egito_P3
AJ166866_PVYNTN_Canada_P3
NBR_P3

EF026074_PVYO_USA_P3
AJ889867_PVYW_Alemanha_P3
AB270705_PVYN_Japao_P3
EF026075_PVYNTN_USA_P3
AY745492_PVYNO_Canada_P3
EF026076_PVYNO-USA_P3
AJ889866_PVYNTN_Alemanha_P3
AF522296_PVYN_Egitto_P3
AJ166866_PVYNTN_Canada_P3
NBR_P3

EF026074_PVYO_USA_P3
AJ889867_PVYW_Alemanha_P3
AB270705_PVYN_Japao_P3
EF026075_PVYNTN_USA_P3
AY745492_PVYNO_Canada_P3
EF026076_PVYNO-USA_P3
AJ889866_PVYNTN_Alemanha_P3
AF522296_PVYN_Egitto_P3
AJ166866_PVYNTN_Canada_P3
NBR P3

AGCTACAGACCTCCTGATGCTACGTGATGGTTAACCTACATCTAA 397
AGCTACAGACCTCCTGATGCTACGTGATGGTTAACCTACATCTAA 397
AGCTACAGATCTCCTGATGCTACGTGCGATGGTTAACCTACATCTAA 397
AGCTACAGATCTCCTGATGCTACGTGCGATGGTTAACCTACATCTAA 397
AGCTACAGATCTCCTGATGCTACGTGCGATGGTTAACCTACATCTAA 397
AGCTACAGATCTCCTGATGCTACGTGCGATGGTTAACCTACATCTAA 397
AGCTACAGATCTCCTGATGCTACGTGCGATGGTTAACCTACATCTAA 397
AGCTACAGATCTCCTGATGCTACGTGCGATGGTTAACCTACATCTAA 373
AGCTACAGATCTCCTGATGCTACGTGCGATGGTTAACCTACATCTAA 398
AGCTACAGACCTCCTGATGCTACGTGATGGTTAACCTACATCTAA 400
AGCAACAGATCTTCTCGATGCTACGTGATGGATTCAATTAAATCTGA 397
AGCAACAGATCTTCTCGATGCTACGTGATGGATTCAATTAAATCTGA 397

EF026074_PVYO_USA_P3
AJ889867_PVYW_Alemanha_P3
AB270705_PVYN_Japao_P3
EF026075_PVYNTN_USA_P3
AY745492_PVYNO_Canada_P3
EF026076_PVYNO-USA_P3
AJ889866_PVYNTN_Alemanha_P3
AF522296_PVYN_Egitto_P3
AJ166866_PVYNTN_Canada_P3
NBR P3

EF026074_PVYO_USA_P3
AJ889867_PVYW_Alemanha_P3
AB270705_PVYN_Japao_P3
EF026075_PVYNTN_USA_P3
AY745492_PVYNO_Canada_P3
EF026076_PVYNO-USA_P3
AJ889866_PVYNTN_Alemanha_P3
AF522296_PVYN_Egito_P3
AJ166866_PVYNTN_Canada_P3
NBR_P3

TGTGATGATACCTATTCAAGGCGGTTTCAAGTTACAACACGAGCGT 497
TGTGATGATACCTATTCAAGGCGGTTTCAAGTTATAACACAAGCGT 497
TGTGATGATACCTATTCAAGGCGGTTTCAAGTTACAACACGAGCGT 497
TGTGATGATACCTATTCAAGGCGGTTTCAAGTTACAACACGAGCGT 497
TGTGATGATACCTATTCAAGGCGGTTTCAAGTTACAACACGAGCGT 497
TGTGATGATACCTATTCAAGGCGGTTTCAAGTTACAACACGAGCGT 473
TGTGATGATACCTATTCAAGGCGGTTTCAAGTTACAACACGAGCGT 498
TGTGATGATACCTATTCAAGGCGGTTTCAAGTTACAACACGAGCGT 500
TGTGATGATACGTTGTTAACGCAGGTTTACACATTACAACATGAGTGT 496
TGTGATGATACGTTGTTAACGCAGGTTTACACATTACAACACGAGCGT 497
***** *

EF026074_PVYO_USA_P3
AJ889867_PVYW_Alemanha_P3
AB270705_PVYN_Japao_P3
EF026075_PVYNTN_USA_P3
AY745492_PVYNO_Canada_P3
EF026076_PVYNO-USA_P3
AJ889866_PVYNTN_Alemanha_P3
AF522296_PVYN_Egito_P3
AJ166866_PVYNTN_Canada_P3
NBR_P3

CGTACAGATTATGGAAAAAAATTATCTAAATCTCTGAACGATGCTTGG 547
CGTACAGATTATGGAAAAAAATTATCTAAATCTCTGGACGATGCTTGG 547
CGTACAGATCATGGAAAAAAATTATCTAAATCTCTGAACGATGCTTGG 547
CGTACAGATCATGGAAAAAAATTATCTAAATCTCTGAACGATGCTTGG 547
CGTACAGATCATGGAAAAAAATTATCTAAATCTCTGAACGATGCTTGG 547
CGTACAGATCATGGAAAAAAATTATCTAAATCTCTGAACGATGCTTGG 523
CGTACAGATCATGGAAAAAAATTATCTAAATCTCTGAACGATGCTTGG 548
CGTACAGATTATGGAAAAAAATTATCTAAATCTCTGAACGATGCTTGG 550
CGTCAGATTATGGAAAAAAATTATCTAACGCTCTGGACGATGCATGG 546
CGTACAGATCATGGAAAAAAATTATCTAAATCTCTGAACGATGCTTGG 547
*** *

EF026074_PVYO_USA_P3
AJ889867_PVYW_Alemanha_P3
AB270705_PVYN_Japao_P3
EF026075_PVYNTN_USA_P3
AY745492_PVYNO_Canada_P3
EF026076_PVYNO-USA_P3
AJ889866_PVYNTN_Alemanha_P3
AF522296_PVYN_Egito_P3
AJ166866_PVYNTN_Canada_P3
NBR_P3

AAGATTTAACITGGCGGGAAAATTATCCGCAACATGGTACTCATACAGA 597
AAGATTTAACITGGCGGGAAAATTATCCGCAACATGGTACTCATACAGA 597
AAGATTTAACITGGCGGGAAAATTATCCGCAACATGGTACTCATACAGA 597
AAGATTTAACITGGCGGGAAAATTATCCGCAACATGGTACTCATACAGA 597
AAGATTTAACITGGCGGGAAAATTATCCGCAACATGGTACTCATACAGA 573
AAGATTTAACITGGCGGGAAAATTATCCGCAACATGGTACTCATACAGA 598
AAGATTTAACITGGCGAGAAAA-TTATCCGCAACATGGTACTCATACAGA 599
AAGATTTAACCTGGCGAGAAAATTATCCGCAACATGGCACTCATACAAA 596
AAGATTTAACCTGGCGAGAAAATTATCCGCAACATGGCACTCATACAAA 597
***** *

EF026074_PVYO_USA_P3

GCAAAACGCTCTATC-ACTCGGTACATAAAACCCACAGGAAGGGCAGATT 646

AJ889867_PVYW_Alemanha_P3
AB270705_PVYN_Japao_P3
EF026075_PVYNTN_USA_P3
AY745492_PVYNO_Canada_P3
EF026076_PVYNO-USA_P3
AJ889866_PVYNTN_Alemanha_P3
AF522296_PVYN_Egito_P3
AJ166866_PVYNTN_Canada_P3
NBR_P3

EF026074_PVYO_USA_P3
AJ889867_PVYW_Alemanha_P3
AB270705_PVYN_Japao_P3
EF026075_PVYNTN_USA_P3
AY745492_PVYNO_Canada_P3
EF026076_PVYNO-USA_P3
AJ889866_PVYNTN_Alemanha_P3
AF522296_PVYN_Egito_P3
AJ166866_PVYNTN_Canada_P3
NBR_P3

EF026074_PVYO_USA_P3
AJ889867_PVYW_Alemanha_P3
AB270705_PVYN_Japao_P3
EF026075_PVYNTN_USA_P3
AY745492_PVYNO_Canada_P3
EF026076_PVYNO-USA_P3
AJ889866_PVYNTN_Alemanha_P3
AF522296_PVYN_Egito_P3
AJ166866_PVYNTN_Canada_P3
NBR_P3

EF026074_PVYO_USA_P3
AJ889867_PVYW_Alemanha_P3

GCAAAACGCTCTATC-ACTCGGTACATAAAACCCACAGGAAGGGCAGATT 646
GCAAAACGCTCTATC-ACTCGGTACATAAAACCCACAGGAAGGGCAGATT 646
GCAAAACGCTCTATC-ACTCGGTACATAAAACCCACAGGAAGGGCAGATT 646
GCAAAACGCTCTATC-ACTCGGTACATAAAACCCACAGGAAGGGCAGATT 646
GCAAAACGCTCTATC-ACTCGGTACATAAAACCCACAGGAAGGGCAGATT 622
GCAAAACGCTCTATC-ACTCGGTACATAAAACCCACAGGAAGGGCAGATT 647
GCAAAACGCTCTATCCACTCGGTACATAAAACCCACAGAAAAGGCAGATT 649
GCAAAGCGCTCTATC-ACTCAGTTACATAAAACCCATAGGCAAAGCAGATT 645
GCAAAGCGCTCTATC-ACTCAGTTACATAAAACCCATAGGCAAAGCAGATT 646
***** ***** * ***** * * ***** * * *****

TGAAAGGGTTATACAACATATCACCAACAGCATTCTGGGCCGAAGCGCC 696
TGAAAGGGTTATACAACATATCACCAACAGCATTCTGGGCCGAGGCAGCC 696
TGAAAGGGTTATACAACATATCACCAACAGCATTCTGGGCCGAGGCAGCC 696
TGAAAGGGTTATACAACATATCACCAACAGCATTCTGGGCCGAGGCAGCC 696
TGAAAGGGTTATACAACATATCACCAACAGCATTCTGGGCCGAGGCAGCC 672
TGAAAGGGTTATACAACATATCACCAACAGCATTCTGGGCCGAGGCAGCC 697
TGAAAGGGTTATACAACATATCACCAACAGCATTCTGGGCCGAAGCGCC 699
TAAAAGGGTTGTACAACATATCACCGCAAGCATTCTGGGTAGGGCGTA 695
TAAAAGGGTTGTACAACATATCACCGCAAGCATTCTGGTCAGGGCGTA 696
* ***** * ***** * * ***** * * ***

CAGGTGGTCAAAGGTACTGCCTCAGGATTGAGTGAGCGA---TTTAATAA 743
CAGGTGGTCAAAGGCAGTGCTCAGGATTGAGCGAGCGA---TTTAATAA 743
CAGGTGGTCAAAGGCAGTGCTCAGGATTGAGCGAGCGA---TTTAATAA 743
CAGGTGGTCAAAGGCAGTGCTCAGGATTGAGCGAGCGA---TTTAATAA 743
CAGGTGGTCAAAGGCAGTGCTCAGGATTGAGCGAGCGA---TTTAATAA 719
CAGGTGGTCAAAGGCAGTGCTCAGGATTGAGCGAGCGA---TTTAATAA 744
CAGGTGGTCAAAGGCAGTGCTCAGGATTGAGCGAGCGA---TTTAATAA 746
CAGAGAGTCAAAGGCACCGCCTCAGGGTTGAATGAGCGA---CTCAATAA 742
CAGAGAGTCAAAGGCACCGCCTCAGGGTTGAATGAGCGAGCGTTAATAA 746
*** * ***** * * ***** * * ***** * * ***

TTATTTCAATACTAAGTGTGTAAATATTCATCCTTTTCATTCTAGAA 793
TTATTTCAATACTAAGTGTGTAAATATTCATCCTTTTCATTCTAGAA 793

AB270705_PVYN_Japao_P3
EF026075_PVYNTN_USA_P3
AY745492_PVYNO_Canada_P3
EF026076_PVYNO-USA_P3
AJ889866_PVYNTN_Alemanha_P3
AF522296_PVYN_Egito_P3
AJ166866_PVYNTN_Canada_P3
NBR_P3

TTATTTCAATACTAAGTGTGAAATATTCATCCTTTCATCGTAGAA	793
TTATTTCAATACTAAGTGTGAAATATTCATCCTTTCATCGTAGAA	793
TTATTTCAATACTAAGTGTGAAATATTCATCCTTTCATCGTAGAA	793
TTATTTCAATACTAAGTGTGAAATATTCATCCTTTCATCGTAGAA	769
TTATTTCAATACTAAGTGTGAAATATTCATCCTTTCATCGTAGAA	794
TTATTTCAATACTAAGTGTGAAATATTCATCCTTTCATCGTAGAA	790
TTATATTAACTAAGTGTGAAATATTCATCCTTTCATCGTAGAA	792
TTATATCAATACTAAGTGTGAAATATTCATCCTTTCATCGTAGAA	790
*****	*****

EF026074_PVYO_USA_P3
AJ889867_PVYW_Alemanha_P3
AB270705_PVYN_Japao_P3
EF026075_PVYNTN_USA_P3
AY745492_PVYNO_Canada_P3
EF026076_PVYNO-USA_P3
AJ889866_PVYNTN_Alemanha_P3
AF522296_PVYN_Egito_P3
AJ166866_PVYNTN_Canada_P3
NBR_P3

EF026074_PVYO_USA_P3
AJ889867_PVYW_Alemanha_P3
AB270705_PVYN_Japao_P3
EF026075_PVYNTN_USA_P3
AY745492_PVYNO_Canada_P3
EF026076_PVYNO-USA_P3
AJ889866_PVYNTN_Alemanha_P3
AF522296_PVYN_Egito_P3
AJ166866_PVYNTN_Canada_P3
NBR_P3

EF026074_PVYO_USA_P3
AJ889867_PVYW_Alemanha_P3
AB270705_PVYN_Japao_P3

TCAGAGGAAATATAGGAGAGAAATCGAGTTGATGCAGATAGAGAAGAATG 943
TCAGAGGAAGTATAGGAGAGAAATCGAGTTGATGCAGATAGAGAAGAATG 943
TCAGAGGAAGTATAGGAGAGAAATCGAGTTGATGCAGATAGAGAAGAATG 943

EF026075_PVYNTN_USA_P3
AY745492_PVYN0_Canada_P3
EF026076_PVYN0-USA_P3
AJ889866_PVYNTN_Alemanha_P3
AF522296_PVYN_Egito_P3
AJ166866_PVYNTN_Canada_P3
NBR_P3

TCAGAGGAAGTATAGGAGAGAAATCGAGTTGATGCAGATAGAGAAGAATG 943
TCAGAGGAAGTATAGGAGAGAAATCGAGTTGATGCAGATAGAGAAGAATG 943
TCAGAGGAAGTATAGGAGAGAAATCGAGTTGATGCAGATAGAGAAGAATG 919
TCAGAGGAAGTATAGGAGAGAAATCGAGTTGATGCAGATAGAGAAGAATG 944
TCAGAGGAAGTATAGGAGA----- 915
TCAAAGGAAGTATAGAAAGGAAATTGAGCTGATGCAGATTGAGAAGAATG 942
TCAAAGGAAGTATAGAAAAGGAAATTGAGTTGATGCAGATTGAGAAGAATG 946

EF026074_PVYO_USA_P3
AJ889867_PVYW_Alemanha_P3
AB270705_PVYN_Japao_P3
EF026075_PVYNTN_USA_P3
AY745492_PVYN0_Canada_P3
EF026076_PVYN0-USA_P3
AJ889866_PVYNTN_Alemanha_P3
AF522296_PVYN_Egito_P3
AJ166866_PVYNTN_Canada_P3
NBR_P3

AGATTGTCTGCATGGAGCTATATGCAAGTTACAGCGCAAACCTGAACGC 993
AGATCGTCTGCATGGAGCTATATGCAAGTTACAGCGCAAACCTGAACGC 993
AGATCGTCTGCATGGAGCTATATGCAAGTTACAGCGCAAACCTGAACGC 993
AGATCGTCTGCATGGAGCTATATGCAAGTTACAGCGCAAACCTGAACGC 993
AGATCGTCTGCATGGAGCTATATGCGAGTTACAGCGCAAACCTGAACGC 993
AGATCGTCTGCATGGAGCTATATGCGAGTTACAGCGCAAACCTGAACGC 969
AGATCGTCTGCATGGAGCTATATGCAAGTTACAGCGCAAACCTGAACGC 994

AAATTGTTGTATGGAGTTGTATGCCAGTCTGCAGCGCAAACCTGAGCGT 992
AAATTGTTGTATGGAGTTGTATGCCAGTCTGCAGCGCAAACCTGAGCGT 996

EF026074_PVYO_USA_P3
AJ889867_PVYW_Alemanha_P3
AB270705_PVYN_Japao_P3
EF026075_PVYNTN_USA_P3
AY745492_PVYN0_Canada_P3
EF026076_PVYN0-USA_P3
AJ889866_PVYNTN_Alemanha_P3
AF522296_PVYN_Egito_P3
AJ166866_PVYNTN_Canada_P3
NBR_P3

GATTCACATGGGATGAGTACATTGAGTATTGAAATCAGTAAACCTCA 1043
GATTCACATGGGATGAGTATTGAGTATTGAAAGTCAGTAAACCTCA 1043
GATTCACATGGGATGAGTACATTGAGTATTGAAAGTCAGTAAACCTCA 1043
GATTCACATGGGATGAGTACATTGAGTATTGAAAGTCAGTAAACCTCA 1043
GATTCACATGGGATGAGTACATTGAGTATTGAAAGTCAGTAAACCTCA 1043
GATTCACATGGGATGAGTACATTGAGTATTGAAAGTCAGTAAACCTCA 1019
GATTCACATGGGATGAGTATTGAGTATTGAAAGTCAGTAAACCTCA 1044

GAATTCACATGGGATGAATATATGAAATTGAAATCTGTGAACCCCCA 1042
GAATTCACATGGGATGAATATATGAAATTGAAATCTGTGAATCCCCA 1046

EF026074_PVYO_USA_P3
AJ889867_PVYW_Alemanha_P3
AB270705_PVYN_Japao_P3
EF026075_PVYNTN_USA_P3

GATAGTTCAGTTGCTCAAGCGCAGATGGAAGAATATGATGTGCGACACC 1093
GATAGTTCAGTTGCCAACCGCGAGATGGAAGAATATGATGTGCGACACC 1093
GATAGTTCAGTTGCTCAAGCGCAGATGGAAGAATATGATGTGCGACACC 1093
GATAGTTCAGTTGCTCAAGCGCAGATGGAAGAATATGATGTGCGACACC 1093

AY745492_PVYNO_Canada_P3
EF026076_PVYNO-USA_P3
AJ889866_PVYNTN_Alemanha_P3
AF522296_PVYN_Egito_P3
AJ166866_PVYNTN_Canada_P3
NBR_P3

GATAGTTCAGTTGCTCAAGCGCAGATGGAAGAATATGATGTGCGACACC 1093
GATAGTTCAGTTGCTCAAGCGCAGATGGAAGAATATGATGTGCGACACC 1069
GATAGTTCAGTTGCCAAGCGCAGATGGAAGAATATGATGTGCGACACC 1094

GATAGTTCAATT CGCGCAAGCTCAAATGGAAGAATATAATGTGCGGCATC 1092
GATAGTTCAATT CGCGCAAGCTCAAATGGAAGAATATAATGTGCGACATC 1096

EF026074_PVYO_USA_P3
AJ889867_PVYW_Alemanha_P3
AB270705_PVYN_Japao_P3
EF026075_PVYNTN_USA_P3
AY745492_PVYNO_Canada_P3
EF026076_PVYNO-USA_P3
AJ889866_PVYNTN_Alemanha_P3
AF522296_PVYN_Egito_P3
AJ166866_PVYNTN_Canada_P3
NBR_P3

AG 1095
AG 1095
AG 1095
AG 1095
AG 1095
AG 1071
AG 1096
--
AG 1094
AG 1098

CLUSTAL 2.0.8 multiple sequence alignment

ITA_6K1
 VGS_6K1
 EF026075_PVYNTN_USA_6K1
 EF026076_PVYNO-USA_6K1
 AY745492_PVYNO_Canada_6K1
 AB270705_PVYN_Japao_6K1
 AJ889866_PVYNTN_Alemanha_6K1
 AJ889867_PVYW_Alemanha_6K1
 OBR_6K1
 EF026074_PVYO_USA_6K1
 AJ166866_PVYNTN_Canada_6K1
 AF522296_PVYN_Egito_6K1

ITA_6K1
 VGS_6K1
 EF026075_PVYNTN_USA_6K1
 EF026076_PVYNO-USA_6K1
 AY745492_PVYNO_Canada_6K1
 AB270705_PVYN_Japao_6K1
 AJ889866_PVYNTN_Alemanha_6K1
 AJ889867_PVYW_Alemanha_6K1
 OBR_6K1
 EF026074_PVYO_USA_6K1
 AJ166866_PVYNTN_Canada_6K1
 AF522296_PVYN_Egito_6K1

ITA_6K1
 VGS_6K1
 EF026075_PVYNTN_USA_6K1
 EF026076_PVYNO-USA_6K1
 AY745492_PVYNO_Canada_6K1
 AB270705_PVYN_Japao_6K1

CGTCCACACCAGGTGTAAAAATTGAAACAA-GTGGTAGCATTATGG 49
 CGTCCACACCAGGTGTAAAGATTAGAGCAG-GTGGTAGCATTATAA 49
 ---GAAATCGAGTTGATGCAGATAGAGAAGAATGAGATTGCTGCATGG 46
 * * * * * * * * * * * * * * * * * *

CTTAGTCATCATGGTGTTCGATGCTGAAAGGA--GTGATTGCGTGTCA 97
 CTTAGTCACCATGGTGTTCGATGCTGAAAGGA--GTGATTGCGTGTCA 97
 CTTAGTCATTATGGTGTTCGATGCTGAAAGGA--GTGATTGCGTGTCA 97
 CTCTAATTATCATGATGTTGATGCTGAAAGGA--GCGACTGTGTATTAA 97
 AGCTA--TATGCAAGTTACAGCGAAACTTGAACCGCATGGG 94
 * * * * * * * * * * * *

AAACTCTCAATAA--ATTAAGGGTGTCTTCCTCA-CTGGACCATGAA 144
 AAACTCTCAATAA--ATTAAGGGTGTCTTCCTCA-CTGGACCATGAA 144
 AAACTCTCAATAA--ATTAAGGGTGTCTTCCTCA-CTGGACCATGAA 144
 AAACTCTCAATAA--ATTAAGGGTGTCTTCCTCA-CTGGACCATGAA 144
 AAACTCTCAATAA--ATTAAGGGTGTCTTCCTCA-CTGGACCATGAA 144
 AAACTCTCAATAA--ATTAAGGGTGTCTTCCTCA-CTGGACCATGAA 144

AJ889866_PVYNTN_Alemanha_6K1
AJ889867_PVYW_Alemanha_6K1
OBR_6K1
EF026074_PVYO_USA_6K1
AJ166866_PVYNTN_Canada_6K1
AF522296_PVYN_Egito_6K1

AAACTCTCAATAA--ATTCAAGGGTGTCCCTTCCTCA-CTGGACCATGAA 144
AAACTCTCAATAA--ATTCAAGGGTGTCCCTTCCTCA-CTGGACCATGAA 144
AAACTCTCAATAA--ATTAAGGGTGTCCCTTCCTCA-CTGGATCATGAA 144
AAACTCTCAATAA--ATTAAGGGTGTCCCTTCCTCA-ATGGACTATGAA 144
AGACTCTCAACAA--ATTCAAGGGCATCGTTCTCA-ATGGATCATGAA 144
ATGAGTACATTGAGTATTGAAGTCAGTAAACCCTCAGATAGTCAGTT 144
* * * * *

ITA_6K1
VGS_6K1
EF026075_PVYNTN_USA_6K1
EF026076_PVYNO-USA_6K1
AY745492_PVYNO_Canada_6K1
AB270705_PVYN_Japao_6K1
AJ889866_PVYNTN_Alemanha_6K1
AJ889867_PVYW_Alemanha_6K1
OBR_6K1
EF026074_PVYO_USA_6K1
AJ166866_PVYNTN_Canada_6K1
AF522296_PVYN_Egito_6K1

GTTAGACATCAG 156
GTTAGACACCCAG 156
GCTCAAGCGCAG 156
* * * ***

CLUSTAL 2.0.8 multiple sequence alignment

AB270705_PVYN_Japao_CI	-----
AJ889867_PVYW_Alemanha_CI	-----
EF026075_PVYNTN_USA_CI	-----
AF522296_PVYN_Egito_CI	ATGGAAGAACATGATGTGCGACACCAGCGTCCACACCAGTTAAAAA 50
EF026076_PVYNO-USA_CI	-----
AJ889866_PVYNTN_Alemanha_CI	-----
EF026074_PVYO_USA_CI	-----
AY745492_PVYNO_Canada_CI	-----
AJ166866_PVYNTN_Canada_CI	-----
NBR_CI	-----
AB270705_PVYN_Japao_CI	-----
AJ889867_PVYW_Alemanha_CI	-----
EF026075_PVYNTN_USA_CI	-----
AF522296_PVYN_Egito_CI	TTTGGAAACAAGTGGTAGCATTATGGCTTAGTCATCATGGTGTTGATG 100
EF026076_PVYNO-USA_CI	-----
AJ889866_PVYNTN_Alemanha_CI	-----
EF026074_PVYO_USA_CI	-----
AY745492_PVYNO_Canada_CI	-----
AJ166866_PVYNTN_Canada_CI	-----
NBR_CI	-----
AB270705_PVYN_Japao_CI	-----
AJ889867_PVYW_Alemanha_CI	-----
EF026075_PVYNTN_USA_CI	-----
AF522296_PVYN_Egito_CI	CTGAAAGGAGTGATTGCGTGTCAAAACTCTCAATAATTAAAGGGTGTC 150
EF026076_PVYNO-USA_CI	-----
AJ889866_PVYNTN_Alemanha_CI	-----
EF026074_PVYO_USA_CI	-----
AY745492_PVYNO_Canada_CI	-----
AJ166866_PVYNTN_Canada_CI	-----
NBR_CI	-----

AB270705_PVYN_Japao_CI
AJ889867_PVYW_Alemanha_CI
EF026075_PVYNTN_USA_CI
AF522296_PVYN_Egito_CI
EF026076_PVYNO-USA_CI
AJ889866_PVYNTN_Alemanha_CI
EF026074_PVYO_USA_CI
AY745492_PVYNO_Canada_CI
AJ166866_PVYNTN_Canada_CI
NBR_CI

----- TCCTTAGACGATGTGAT 17
----- TCCTTAGACGATGTGAT 17
----- TCCTTAGACGATGTGAT 17
CTTTCCACTGGATTATGAAGTTAGACATCAGTCCTTAGACGATGTGAT 200
----- TCCTTAGACGATGTGAT 17
----- TCCTTAGACGATGTGAT 17
----- TCCTTAGACGATGTGAT 17
----- TCCTTAGACGATGTGAT 17
----- TCCTTGGATGATGTAAT 17
----- TCCTTGGATGATGTAAT 17
***** * * ***** *

AB270705_PVYN_Japao_CI
AJ889867_PVYW_Alemanha_CI
EF026075_PVYNTN_USA_CI
AF522296_PVYN_Egito_CI
EF026076_PVYNO-USA_CI
AJ889866_PVYNTN_Alemanha_CI
EF026074_PVYO_USA_CI
AY745492_PVYNO_Canada_CI
AJ166866_PVYNTN_Canada_CI
NBR_CI

AB270705_PVYN_Japao_CI
AJ889867_PVYW_Alemanha_CI
EF026075_PVYNTN_USA_CI
AF522296_PVYN_Egito_CI
EF026076_PVYNO-USA_CI
AJ889866_PVYNTN_Alemanha_CI
EF026074_PVYO_USA_CI
AY745492_PVYNO_Canada_CI
AJ166866_PVYNTN_Canada_CI
NBR_CI

AB270705_PVYN_Japao_CI
AJ889867_PVYW_Alemanha_CI
EF026075_PVYNTN_USA_CI
AF522296_PVYN_Egito_CI
EF026076_PVYNO_USA_CI
AJ889866_PVYNTN_Alemanha_CI
EF026074_PVYO_USA_CI
AY745492_PVYNO_Canada_CI
AJ166866_PVYNTN_Canada_CI
NBR_CI

GACCGACAAATCCAGATGGTCATACTTCCACATTACAGAACCGAGGG 167
GACCGACAAATCCAGATGGGACATACTTCCACATTACAGAACCGAGGG 167
GACCGACAAATCCAGATGGGACATACTTCCACATTACAGAACCGAGGG 167
GATCGACAAATCCAGATGGGACATACTTCCACATTACAGAACCGAGGG 350
GACCGACAAATCCAGATGGGACATACTTCCACATTACAGAACCGAGGG 167
GACCGACAAATCCAGATGGGACATACTTCCACATTACAGAACCGAGGG 167
GACCGACAAATCCAGATGGGACATACTTCCACATTACAGAACCGAGGG 167
GACCGACAAATCCAGATGGGACATACTTCCACATTACAGAACCGAGGG 167
GACCGACAAATCCAGATGGGACATACTTCCACATTACAGAACCGAGGG 167
GATCGGCAAATCCAATGGGACACACACTTCCCCACTATAGAACTGAGGG 167
GATCGGCAAATCCAATGGGACACACACTTCCCCATTATAGAACTGAGGG 167
* *

AB270705_PVYN_Japao_CI
AJ889867_PVYW_Alemanha_CI
EF026075_PVYNTN_USA_CI
AF522296_PVYN_Egito_CI
EF026076_PVYNO_USA_CI
AJ889866_PVYNTN_Alemanha_CI
EF026074_PVYO_USA_CI
AY745492_PVYNO_Canada_CI
AJ166866_PVYNTN_Canada_CI
NBR_CI

GCACTTCATGGAATTACAAGAGCACTGCTGTCCAAGTGGCTAATGATA 217
GTATTTCATGGAATTACAAGAGCACTGCTGTCCAAGTGGCTAATGATA 217
GCACTTCATGGAATTACAAGAGCACTGCTGTCCAAGTGGCTAATGATA 217
GCACTTCATGGAATTACAAGAGCACTGCTGTCCAAGTGGCTAATGACA 400
GCACTTCATGGAATTACAAGAGCACTGCTGTCCAAGTGGCTAATGACA 217
GTATTTCATGGAATTACAAGAGCACTGCTGTCCAAGTGGCTAATGATA 217
GCACTTCATGGAATTACAAGAGCACTGCTGTCCAAGTGGCTAATGACA 217
GCACTTCATGGAATTACAAGAGCACTGCTGTCCAAGTGGCTAATGACA 217
ACACCTCATGGAATTACAAGGGCACTGCTGTGCAAGTGGCCAATGACA 217
ACACCTCATGGAATTACAAGGGCACTGCTGTGCAAGTGGCCAACGACA 217
* *

AB270705_PVYN_Japao_CI
AJ889867_PVYW_Alemanha_CI
EF026075_PVYNTN_USA_CI
AF522296_PVYN_Egito_CI
EF026076_PVYNO_USA_CI
AJ889866_PVYNTN_Alemanha_CI
EF026074_PVYO_USA_CI
AY745492_PVYNO_Canada_CI
AJ166866_PVYNTN_Canada_CI
NBR_CI

TCGCTCATAGCGAACACCTAGACTTCTAGTAAGGGGAGCTGTTGGGTCT 267
TCGCCCATAGCGAACACCTAGACTTCTAGTAAGGGGAGCTGTTGGGTCT 267
TCGCCCATAGCGAACACCTAGACTTCTAGTAAGGGGAGCTGTTGGGTCT 267
TTGCCCATAGCGAACACCTAGACTTTCTAGTACGGGGAGCTGTTGGGTCT 450
TTGCCCATAGCGAACACCTAGACTTTCTAGTAAGGGGAGCTGTTGGGTCT 267
TCGCCCATAGCGAACACCTAGACTTCTAGTAAGGGGAGCTGTTGGGTCT 267
TTGCCCATAGCGAACACCTAGACTTTCTAGTAAGGGGAGCTGTTGGGTCT 267
TCGCACATAGTGAGCACCTAGATTCTAGTGAGGGGAGCTGTTGGGTCT 267
TCGCGCATAGTGAGCACCTAGACTTCTAGTGAGGGGAGCTGTTGGGTCT 267
* *

AB270705_PVYN_Japao_CI
AJ889867_PVYW_Alemanha_CI
EF026075_PVYNTN_USA_CI
AF522296_PVYN_Egito_CI
EF026076_PVYNO-USA_CI
AJ889866_PVYNTN_Alemanha_CI
EF026074_PVYO_USA_CI
AY745492_PVYNO_Canada_CI
AJ166866_PVYNTN_Canada_CI
NBR CI

GGAAAGTCAACTGGGTTGCCTGTTCATCTTAGTGTAGCCGGATCTGTGCT 31
GGAAAGTCAACTGGGTTGCCTGTTCATCTTAGTGTAGCCGGATCTGTGCT 31
GGAAAGTCAACTGGGTTGCCTGTTCATCTTAGTGTAGCTGGATCTGTGCT 31
GGAAAGTCAACTGGGTTGCCTGTTCATCTTAGTGTGGCCGGATCTGTGCT 50
GGAAAGTCAACTGGGTTGCCTGTTCATCTTAGTGTAGCCGGATCTGTGCT 31
GGAAAGTCAACTGGGTTGCCTGTTCATCTTAGTGTAGCCGGATCTGTGCT 31
GGAAAGTCAACTGGGTTACCTGTTCATCTTAGTGTAGCCGGATCTGTGCT 31
GGAAAGTCAACTGGGTTGCCTGTTCATCTTAGTGTAGCCGGATCTGTGCT 31
GGAAAATCTACTGGACTGCCGTTCATCTCAGTGCGAGCTGGATCCGTGCT 31
GGAAAATCTACTGGACTGCCGTTCATCTCAGTGCGAGCTGGATCCGTGCT 31
***** * * ***** *

AB270705_PVYN_Japao_CI
AJ889867_PVYW_Alemanha_CI
EF026075_PVYNTN_USA_CI
AF522296_PVYN_Egito_CI
EF026076_PVYNO-USA_CI
AJ889866_PVYNTN_Alemanha_CI
EF026074_PVYO_USA_CI
AY745492_PVYNO_Canada_CI
AJ166866_PVYNTN_Canada_CI
NBR_CI

TTTAATTGAACCAACCGGACCACTAGCGGAGAACGTTTCAACAGCTAT 36
TTTAATTGAACCAACCGGACCACTAGCGGAGAACGTTTCAACAGCTGT 36
TTTAATTGAACCAACCGGACCACTAGCGGAGAACGTTTCAACAGCTAT 36
TTTAATTGAACCAACCGGACCACTAGCGGAGAACGTTTCAACAGCTAT 55
TTTAATTGAACCAACCGGACCACTAGCGGAGAACGTTTCAACAGCTAT 36
TTTAATTGAACCAACCGGACCACTAGCGGAGAACGTTTCAACAGCTGT 36
TTTAATTGAACCAACCGGACCACTAGCGGAGAACGTTTCAACAGCTAT 36
TTTAATTGAACCAACCGGACCACTAGCGGAGAACGTTTCAACAGCTAT 36
TTTAATTGAACCAACCGGACCACTAGCGGAGAACGTTTCAACAGCTAT 36
TTTGATAGAACCAACTCGACCCTTGCAGAAAACGTGTTCAAGCAGTTAT 36
TTTGATAGAACCAACTCGACCCTTGCAGAAAACGTGTTCAAGCAATTGT 36
***** * ***** * ***** * * * * * * * * * * * *

AB270705_PVYN_Japao_CI
AJ889867_PVYW_Alemanha_CI
EF026075_PVYNTN_USA_CI
AF522296_PVYN_Egito_CI
EF026076_PVYNO-USA_CI
AJ889866_PVYNTN_Alemanha_CI
EF026074_PVYO_USA_CI
AY745492_PVYNO_Canada_CI
AJ166866_PVYNTN_Canada_CI
NBR_CI

AB270705_PVYN_Japao_CI

ATATTGGCTTCTCCAATCTCCGTATGACTAGCGGATTGCTCTACA 46

AJ889867_PVYW_Alemanha_CI
EF026075_PVYNTN_USA_CI
AF522296_PVYN_Egito_CI
EF026076_PVYNO-USA_CI
AJ889866_PVYNTN_Alemanha_CI
EF026074_PVYO_USA_CI
AY745492_PVYNO_Canada_CI
AJ166866_PVYNTN_Canada_CI
NBR_CI

ATATTTGGCTCTTCTCCAATCTCCGTATGACTAGCGGATTGCGCTACA 467
ATATTTGGCTCTTCTCCAATCTCCGTATGACTAGCGGATTGCGCTACA 467
ATATTTGGCTCTTCTCCAATCTCCGTATGACTAGCGGATTGCGCTACA 650
ATATTTGGCTCTTCTCCAATCTCCGTATGACTAGCGGATTGCGCTACA 467
ATATTTGGCTCTTCTCCAATCTCCGTATGACTAGCGGATTGCGCTACA 467
ATATTTGGCTCTTCTCCAATCTCCGTATGACTAGCGGATTGCGCTACA 467
ATATTTGGCTCTTCTCCAATCTCCGTATGACTAGCGGATTGCGCTACA 467
ATATTTGGCTCTTCTCCAATCTCCGTATGACTAGCGGATTGCGCTACA 467
ATATTTGGCTCTTCTCCAATCTCCATTATGACTAGCGGCTTGCCTTGCA 467
GTGTTGGTTCCTCTCCAATTCCATCATGACTAGCGGCTTGCCTTGCA 467

AB270705_PVYN_Japao_CI
AJ889867_PVYW_Alemanha_CI
EF026075_PVYNTN_USA_CI
AF522296_PVYN_Egito_CI
EF026076_PVYNO-USA_CI
AJ889866_PVYNTN_Alemanha_CI
EF026074_PVYO_USA_CI
AY745492_PVYNO_Canada_CI
AJ166866_PVYNTN_Canada_CI
NBR CI

CTACTTCGCCAATAATCGCTCTCAATTAGCTCAGTTCAACTTTGTGATAT	517
CTACTTCGCCAATAATCGCTCTCAATTAGCTCAGTTCAACTTTGTGATAT	517
CTACTTCGCCAATAATCGCTCTCAATTAGCTCAGTTCAACTTTGTGATAT	517
CTACTTCGCCAATAATCGCTCTCAATTAGCTCAGTTCAACTTTGTGATAT	700
CTACTTCGCCAATAATCGCTCTCAATTAGCTCAGTTCAACTTTGTGATAT	517
CTACTATGCTAATAATCGCTCTCAGCTAACTCAGTTAACCTCATAATT	517
CTACTATGCTAATAATCGCTTCAAGTTAACCTCAGTTAACCTCATAATT	517

AB270705_PVYN_Japao_CI
AJ889867_PVYW_Alemanha_CI
EF026075_PVYNTN_USA_CI
AF522296_PVYN_Egito_CI
EF026076_PVYNO-USA_CI
AJ889866_PVYNTN_Alemanha_CI
EF026074_PVYO_USA_CI
AY745492_PVYNO_Canada_CI
AJ166866_PVYNTN_Canada_CI
NBR_CI

TTGATGAGTGCATGTTCTGGATCCTCCGAATGGCGTCCGCAGTCTG 567
TTGATGAGTGCATGTTCTGGATCCTCCGAATGGCGTCCGCAGTCTG 567
TTGATGAGTGCATGTTCTGGATCCTCCGAATGGCGTCCGCAGTCTG 567
TTGATGAGTGTCACTGTTCTGGATCCTCCGCATGGCGTCCGCAGTCTG 750
TTGATGAGTGCATGTTCTGGATCCTCCGAATGGCGTCCGCAGTCTG 567
TTGATGAGTGCATGTTCTGGATCCTCCGAATGGCGTCCGCAGTCTG 567
TTGATGAGTGCATGTTCTGGATCCTCCGAATGGCGTCCGCAGTCTG 567
TTGATGAGTGCATGTTCTGGATCCTCCGAATGGCGTCCGCAGTCTG 567
TTGATGAATGTCACTGTTCTAGATCCTCTGCAATGGCATTCGTAGCTTG 567
TTGATGAATGTCACTGTTTAGATCCTCTGCAATGGCATTCGTAGCTTG 567
***** * ***** * ***** * * * * * *

AB270705_PVYN_Japao_CI
AJ889867_PVYW_Alemanha_CI

CTGAGTGT TATCATCAAGCATGCAAAGTGTAAAAGTGT CAGCTACTCC 617
CTGAGTGT TATCATCAAGCATGCAAAGTATTAAAAGTGT CAGCTACTCC 617

EF026075_PVYNTN_USA_CI
AF522296_PVYN_Egito_CI
EF026076_PVYNO-USA_CI
AJ889866_PVYNTN_Alemanha_CI
EF026074_PVYO_USA_CI
AY745492_PVYNO_Canada_CI
AJ166866_PVYNTN_Canada_CI
NBR_CI

CTGAGTGTATCATCAAGCATGCAAAGTATTAAAAGTGTCAAGCTACTCC 617
CTGAGTGTATCATCAAGCATGCAAAGTATTAAAAGTGTCAAGCTACTCC 800
CTGAGTGTATCATCAAGCATGCAAAGTATTAAAAGTGTCAAGCTACTCC 617
CTGAGTGTATCATCAAGCATGCAAAGTATTAAAAGTGTCAAGCTACTCC 617
CTGAGTGTATCATCAAGCATGCAAAGTATTAAAAGTGTCAAGCTACTCC 617
CTGAGTGTATCATCAAGCATGCAAAGTATTAAAAGTGTCAAGCTACTCC 617
CTGAGTGTATCATCAAGCATGCAAAGTATTAAAAGTGTCAAGCTACTCC 617
TTAAGTGTATCACAAACATGCAAAGTGTAAAGGTATCAGCCACTCC 617
CTAAGTGTATCACAAACATGCAAAGTGTAAAGGTGTCAAGCCACTCC 617

AB270705_PVYN_Japao_CI
AJ889867_PVYW_Alemanha_CI
EF026075_PVYNTN_USA_CI
AF522296_PVYN_Egito_CI
EF026076_PVYNO-USA_CI
AJ889866_PVYNTN_Alemanha_CI
EF026074_PVYO_USA_CI
AY745492_PVYNO_Canada_CI
AJ166866_PVYNTN_Canada_CI
NBR_CI

AGTGGGAAGAGAGGTTGAATTACAACACAGCAACCAGTCAGTTAATAG 667
AGTGGGAAGAGAGGTTGAATTACAACACAGCAACCAGTCAGTTAATAG 667
AGTGGGAAGAGAGGTTGAATTACAACACAGCAACCAGTCAGTTAATAG 667
AGTGGGAAGAGAGGTTGAATTACAACACAGCAGCCAGTCAGTTAATAG 850
AGTGGGAAGAGAGGTT----- 633
AGTGGGAAGAGAGGTTGAATTACAACACAGCAACCAGTCAGTTAATAG 667
AGTGGGAAGAGAGGTTGAATTACAACACAGCAACCAGTCAGTTAATAG 667
AGTGGGAAGAGAGGTTGAATTACAACACAGCAACCAGTCAGTTAATAG 667
AGTGGGAAGGGAGGTCGAGTTCACACACAACCAGTTAAATTGGTGG 667
AGTGGGAAGGGAGGTCGAGTTCACACACAACCAGTTAAATTGGTGG 667

AB270705_PVYN_Japao_CI
AJ889867_PVYW_Alemanha_CI
EF026075_PVYNTN_USA_CI
AF522296_PVYN_Egito_CI
EF026076_PVYNO-USA_CI
AJ889866_PVYNTN_Alemanha_CI
EF026074_PVYO_USA_CI
AY745492_PVYNO_Canada_CI
AJ166866_PVYNTN_Canada_CI
NBR_CI

TGGAGGACACACTGTCTTCAATCATTGTTGATGCACAAGGTTCTAAA 717
TGGAGGACACACTGTCTTCAATCATTGTTGATGCACAAGGTTCTAAA 717
TGGAGGACACACTGTCTTCAATCATTGTTGATGCACAAGGTTCTAAA 717
TGGAGGACACACTGTCTTCAATCATTGTTGATGCACAAGGTTCTAAA 900
-----TTTGTGATGCACAAGGTTCTAAA 657
TGGAGGACACACTGTCTTCAATCATTGTTGATGCACAAGGTTCTAAA 717
TGGAGGACACACTGTCTTCAATCATTGTTGATGCACAAGGTTCTAAA 717
TGGAGGACACACTGTCTTCAATCATTGTTGATGCACAAGGTTCTAAA 717
TTGAGGATACACTTCATTCAATCTTGTTGATGCGCAAGGCTAAAA 717
TTGAGGATACACTTCATTCAATCTTGTTGATGCGCAAGGCTAAAA 717

AB270705_PVYN_Japao_CI
AJ889867_PVYW_Alemanha_CI
EF026075_PVYNTN_USA_CI

ACTAATGCTGACGTTGTCAGTTGGTCAAACGTACTTGTGTACGTGTC 767
ACTAATGCTGATGTTGTCAGTTGGTCAAACGTACTTGTGTACGTGTC 767
ACTAATGCTGATGTTGTCAGTTGGTCAAACGTACTTGTGTACGTGTC 767

AF522296_PVYN_Egito_CI
EF026076_PVYNO-USA_CI
AJ889866_PVYNTN_Alemanha_CI
EF026074_PVYO_USA_CI
AY745492_PVYNO_Canada_CI
AJ166866_PVYNTN_Canada_CI
NBR_CI

ACTAATGCTGATGTTGTCAGTTGGTCAAACGTACTTGTGTACGTGTC 950
ACTAATGCTGATGTTGTCAGTTGGTCAAACGTACTTGTGTACGTGTC 707
ACTAATGCTGATGTTGTCAGTTGGTCAAACGTACTTGTGTACGTGTC 767
ACTAATGCTGATGTTGTCAGTTGGTCAAACGTACTTGTGTACGTGTC 767
ACTAATGCTGATGTTGTCAGTTGGTCAAACGTACTTGTGTACGTGTC 767
ACTAATGCTGATGTTGTCAGTTGGTCAAACGTACTTGTGTACGTGTC 767
ACCAATGCCGACGTTGTTCAGCATGGTCAACATACTCGTGTATGTGTC 767
ACCAATGCCGACGTTGTTCAGCATGGTCAACATACTCGTGTATGTGTC 767

AB270705_PVYN_Japao_CI
AJ889867_PVYW_Alemanha_CI
EF026075_PVYNTN_USA_CI
AF522296_PVYN_Egito_CI
EF026076_PVYNO-USA_CI
AJ889866_PVYNTN_Alemanha_CI
EF026074_PVYO_USA_CI
AY745492_PVYNO_Canada_CI
AJ166866_PVYNTN_Canada_CI
NBR_CI

GAGCTACAATGAAGTTGACACCTTGCTAACAGACAAGAAATA 817
GAGCTACAATGAAGTTGACACCTTGCTAACAGACAAGAAATA 817
GAGCTACAATGAAGTTGACACCTTGCTAACAGACAAGAAATA 817
GAGCTACAATGAAGTTGACACCTTGCTAACAGACAAGAAATA 1000
GAGCTACAATGAAGTTGATACCTTGCTAACAGACAAGAAATA 757
GAGCTACAATGAAGTTGACACCTTGCTAACAGACAAGAAATA 817
GAGCTACAATGAAGTTGATACCTTGCTAACAGACAAGAAATA 817
GAGCTACAATGAAGTTGATACCTTGCTAACAGACAAGAAATA 817
GAGTTACAATGAAGTGGATACATTAGCCAAGCTCTAACAGGATAGGAATA 817
GAGTTACAATGAAGTGGATACATTAGCCAAGCTCTAACAGGATAGGAATA 817

AB270705_PVYN_Japao_CI
AJ889867_PVYW_Alemanha_CI
EF026075_PVYNTN_USA_CI
AF522296_PVYN_Egito_CI
EF026076_PVYNO-USA_CI
AJ889866_PVYNTN_Alemanha_CI
EF026074_PVYO_USA_CI
AY745492_PVYNO_Canada_CI
AJ166866_PVYNTN_Canada_CI
NBR_CI

TGATGGTCACAAAGGTTGATGGCAGAACATGAAGCACGGTTGCCTAGAA 867
TGATGGTCACAAAGGTTGATGGCAGAACATGAAGCACGGTTGCCTAGAA 867
TGATGGTCACAAAGGTTGATGGCAGAACATGAAGCACGGTTGCCTAGAA 867
TGATGGTCACAAAGGTTGATGGCAGAACATGAAGCACGGTTGCCTAGAA 1050
TGATGGTCACAAAGGTTGATGGCAGAACATGAAGCACGGTTGCCTAGAA 807
TGATGGTCACAAAGGTTGATGGCAGAACATGAAGCACGGTTGCCTAGAA 867
TGATGGTCACAAAGGTTGATGGCAGAACATGAAGCACGGTTGCCTAGAA 867
TGATGGTCACAAAGGTTGATGGCAGAACATGAAGCACGGTTGCCTAGAA 867
TGGTTGTCTACAAAGGTTGATGGCAGAACATGAAGCACGGATGCTTAGAA 867
TGGTAGTCTACAAAGGTTGATGGCAGAACATGAAGCACGGATGCTTAGAA 867

AB270705_PVYN_Japao_CI
AJ889867_PVYW_Alemanha_CI
EF026075_PVYNTN_USA_CI
AF522296_PVYN_Egito_CI

ATTGTCACAAAAGGAACCAGTGCAGACCATTTGTTAGCAACCAA 917
ATTGTCACAAAAGGAACCAGTGCAGACCATTTGTTAGCAACCAA 917
ATTGTCACAAAAGGAACCAGTGCAGACCATTTGTTAGCAACCAA 917
ATTGTCACAAAAGGAACCAGTGCAGACCATTTGTTAGCAACCAA 1100

EF026076_PVYNO-USA_CI
AJ889866_PVYNTN_Alemanha_CI
EF026074_PVYO_USA_CI
AY745492_PVYNO_Canada_CI
AJ166866_PVYNTN_Canada_CI
NBR_CI

ATTGTCACAAAAGGAACCAGTGCAGAGACCACATT----- 842
ATTGTCACAAAAGGAACCAGTGCAGAGACCACATTGTTAGCAACCAA 917
ATTGTCACAAAAGGAACCAGTGCAGAGACCACATTGTTAGCAACCAA 917
ATTGTCACAAAAGGAACCAGTGCAGAGACCACATTGTTAGCAACCAA 917
ATTGTAACGAAAGGGACTAGTGCAAAGCCACATTTGCTGTAGCAACTAA 917
ATTGTAACGAAAGGTACTAGTGCAAAGCCACATTTGCTGTAGCAACTAA 917
***** * ***** * ***** *

AB270705_PVYN_Japao_CI
AJ889867_PVYW_Alemanha_CI
EF026075_PVYNTN_USA_CI
AF522296_PVYN_Egito_CI
EF026076_PVYNO-USA_CI
AJ889866_PVYNTN_Alemanha_CI
EF026074_PVYO_USA_CI
AY745492_PVYNO_Canada_CI
AJ166866_PVYNTN_Canada_CI
NBR_CI

CATAATTGAGAATGGAGTGACTTGGACATAGACGTGGTTGTAGATTTG 967
CATAATTGAGAATGGAGTGACTTGGACATAGACGTGGTTGTAGATTTG 967
CATAATTGAGAATGGAGTGACTTGGACATAGACGTGGTTGTAGATTTG 967
CATAATTGAGAATGGAGTGACTTGGACATAGACGTGGTTGGACTTG 1150

CATAATTGAGAATGGAGTGACTTGGACATAGACGTGGTTGTAGATTTG 967
CATAATTGAGAATGGAGTGACTTGGACATAGACGTGGTTGTAGATTTG 967
CATAATTGAGAATGGAGTGACTTGGACATAGACGTGGTTGTAGATTCG 967
CATTATTGAAAATGGAGTAACTTAGATATAGATGTAGTTGTAGATTTG 967
CATTATTGAAAATGGAGTAACTTAGATATAGATGTAGTTGTAGATTTG 967

AB270705_PVYN_Japao_CI
AJ889867_PVYW_Alemanha_CI
EF026075_PVYNTN_USA_CI
AF522296_PVYN_Egito_CI
EF026076_PVYNO-USA_CI
AJ889866_PVYNTN_Alemanha_CI
EF026074_PVYO_USA_CI
AY745492_PVYNO_Canada_CI
AJ166866_PVYNTN_Canada_CI
NBR_CI

GGTAAAGTCTCACCGTTCTGGACATAGACAATAGGAGCATTGCTTAC 1017
GGTTAAAGTCTCACCGTTCTGGACATTGACAATAGGAGCATTGCTTAC 1017
GGTTAAAGTCTCACCGTTCTGGATATTGACAATAGGAGCATTGCTTAC 1017
GGTTAAAGTCTCACCGTTCTGGACATTGACAATAGGAGCATTGCTTAC 1200

GGTTAAAGTCTCACCGTTCTGGACATTGACAATAGGAGCATTGCTTAC 1017
GGTTAAAGTCTCACCGTTCTGGACATTGACAATAGGAGCATTGCTTAC 1017
GGTTAAAGTCTCACCGTTCTGGACATTGACAATAGGAGCATTGCTTAC 1017
GGCTAAAGTCTCACCGTTTAGATATTGACAATAGGAGCATTGCATAC 1017
GGCTAAAGTCTCACCGTTTAGATATTGACAATAGGAGCATTGCATAC 1017

AB270705_PVYN_Japao_CI
AJ889867_PVYW_Alemanha_CI
EF026075_PVYNTN_USA_CI
AF522296_PVYN_Egito_CI
EF026076_PVYNO-USA_CI

AATAAGGTGAGTGTAGCTATGGTGAGAGAATTCAAAGGCTGGTCGTGT 1067
AATAAGGTGAGTGTAGCTATGGTGAGAGAATTCAAAGGCTGGTCGTGT 1067
AATAAGGTGAGTGTAGCTATGGTGAGAGAATTCAAAGGTTGGTCGTGT 1067
AATAAGGTGAGTGTAGCTATGGTGAGAGAATTCAAAGGCTGGTCGTGT 1250

AJ889866_PVYNTN_Alemanha_CI
EF026074_PVYO_USA_CI
AY745492_PVYNO_Canada_CI
AJ166866_PVYNTN_Canada_CI
NBR_CI

AB270705_PVYN_Japao_CI
AJ889867_PVYW_Alemanha_CI
EF026075_PVYNTN_USA_CI
AF522296_PVYN_Egito_CI
EF026076_PVYNO_USA_CI
AJ889866_PVYNTN_Alemanha_CI
EF026074_PVYO_USA_CI
AY745492_PVYNO_Canada_CI
AJ166866_PVYNTN_Canada_CI
NBR_CI

AB270705_PVYN_Japao_CI
AJ889867_PVYW_Alemanha_CI
EF026075_PVYNTN_USA_CI
AF522296_PVYN_Egito_CI
EF026076_PVYNO_USA_CI
AJ889866_PVYNTN_Alemanha_CI
EF026074_PVYO_USA_CI
AY745492_PVYNO_Canada_CI
AJ166866_PVYNTN_Canada_CI
NBR_CI

AB270705_PVYN_Japao_CI
AJ889867_PVYW_Alemanha_CI
EF026075_PVYNTN_USA_CI
AF522296_PVYN_Egito_CI
EF026076_PVYNO_USA_CI
AJ889866_PVYNTN_Alemanha_CI

AATAAGGTGAGTGTAGCTATGGTGAGAGAATTCAAAGGCTGGTCGTGT 1067
AATAAGGTGAGTGTAGCTATGGTGAGAGAATTCAAAGGCTGGTCGTGT 1067
AATAAGGTGAGTGTAGCTATGGTGAGAGAATTCAAAGGCTGGTCGTGT 1067
AATAAGATTAGTGTAGCTATGGAGAAAGAATTCAAGAGGTTGGTCGTGT 1067
AATAAGATTAGTGTAGCTATGGAGAAAGAATTCAAGAGGTTGGCCGTGT 1067

TGGACGCTTCAAGAAAGGAGTAGCATTGCGCATTGGACACACTGAGAAGG 1117
TGGACGCTTCAAGAAAG----- 1084
TGGACGCTTCAAGAAAGGAGTAGCATTGCGCATTGGACACACTGAGAAGG 1117
TGGACGCTTCAAGAAAGGAGTAGCATTGCGCATTGGACACACTGAAAAGG 1300

TGGACGCTTCAAGAAAGGAGTAGCATTGCGCATTGGACACACTGAGAAGG 1117
TGGACGCTTCAAGAAAGGAGTAGCATTGCGCATTGGACACACTGAGAAGG 1117
TGGACGCTTCAAGAAAGGAGTAGCATTGCGCATTGGACACACTGAGAAGG 1117
TGGCGCTTAAGAACGGAGTGGCATTGCGTATTGGCACACCGAAAAGG 1117
TGGCGCTTAAGAACGGAGTGGCATTGCGAATTGGACGCACGTGAGAAGG 1117

GAATTATTGAAATTCCAAGCATGATCGTACAGAGGC GGCTTGCTTGC 1167
-----CTACAGAGGC GGCTTGCTTGC 1107
GAATTATTGAAATTCCAAGCATGATCGTACAGAGGC GGCTTGCTTGC 1167
GAATTATTGAAATTCCAAGCATGGTCGCTACTGAGGC GGCTTGCTTGC 1350

GAATTATTGAAATTCCAAGCATGATCGTACAGAGGC GGCTTGCTTGC 1167
GAATTATTGAAATTCCAAGCATGATCGTACAGAGGCAGCTTGCTTGC 1167
GAATTATTGAAATTCCAAGCATGATCGTACAGAGGC GGCTTGCTTGC 1167
GAATTATTGAGATTCCAAGTATGATTGCTAGTGAAGCTGCGTTGCGTGC 1167
GAATTATTGAAATTCCAAGCATGATCGTACAGAGGC GGCTTGCTTGC 1167

TTTGCATATAACTGCCAGTGATGACAGGAGGC GTCTCAACTAGTCTGAT 1217
TTTGCATATAACTGCCAGTGATGACAGGAGGC GTCTCAACTAGTCTGAT 1157
TTTGCATATAACTGCCAGTGATGACAGGAGGC GTCTCAACTAGTCTGAT 1217
TTTGCATATAACTGCCAGTGATGACAGGAGGC TTCAACTAGTCTGAT 1400

TTTGCATATAACTGCCAGTGATGACAGGAGGC GTCTCAACTAGTCTGAT 1217

EF026074_PVYO_USA_CI
AY745492_PVYNO_Canada_CI
AJ166866_PVYNTN_Canada_CI
NBR_CI

TTTGCATATAACTTACCACTGATGACAGGAGGGTCTCAACTAGTCTGAT 1217
TTTGCATATAACTGCCAGTGTGACAGGAGGGTCTCAACTAGTCTGAT 1217
TTTGCATACAATTGCCAGTAATGACAGGGGGTTCAACTAGCCTCAT 1217
TTTGCATATAACTGCCAGTGTGACAGGAGGGTCTCAACTAGTCTGAT 1217

AB270705_PVYN_Japao_CI
AJ889867_PVYW_Alemanha_CI
EF026075_PVYNTN_USA_CI
AF522296_PVYN_Egito_CI
EF026076_PVYNO_USA_CI
AJ889866_PVYNTN_Alemanha_CI
EF026074_PVYO_USA_CI
AY745492_PVYNO_Canada_CI
AJ166866_PVYNTN_Canada_CI
NBR_CI

TGGCAATTGTACTGTGCCAAGTTAAAACAATGCAGCAATTGAATTGA 1267
TGGCAATTGTACTGTGCCAAGTTAAAACAATGCAGCAATTGAATTGA 1207
TGGCAATTGCACTGTGCCAAGTTAAAACAATGCAGCAATTGAATTGA 1267
TGGCAATTGTACTGTGCCAGGTTAAAACAATGCAGCAATTGAATTGA 1450

TGGCAATTGTACTGTGCCAAGTTAAAACAATGCAGCAATTGAATTGA 1267
TGGCAATTGTACTGTGCCAAGTTAAAACAATGCAGCAATTGAATTGA 1267
TGGCAATTGTACTGTGCCAAGTTAAAACAATGCAGCAATTGAATTGA 1267
TGGCAATTGTACTGTCGCAAGTCAAAACTATGCAACAATTGAGCTGA 1267
TGGCAATTGTACTGTGCCAAGTTAAAACAATGCAGCAATTGAATTGA 1267

AB270705_PVYN_Japao_CI
AJ889867_PVYW_Alemanha_CI
EF026075_PVYNTN_USA_CI
AF522296_PVYN_Egito_CI
EF026076_PVYNO_USA_CI
AJ889866_PVYNTN_Alemanha_CI
EF026074_PVYO_USA_CI
AY745492_PVYNO_Canada_CI
AJ166866_PVYNTN_Canada_CI
NBR_CI

GTCCCTTCTTATCCAGAATTCTGTTGCCACGATGGATCAATGCATCCT 1317
GTCCCTTCTTATCCAGAATTCTGTTGCCACGATGGATCAATGCATCCT 1257
GTCCCTTCTTATCCAGAATTCTGTTGCCACGATGGATCAATGCATCCT 1317
GTCCCTTCTTATCCAGAATTCTGCTCATGATGGATCAATGCATCCT 1500

GTCCCTTCTTATCCAGAATTCTGTTGCCACGATGGATCAATGCATCCT 1317
GTCCCTTCTTATCCAGAATTCTGTTGCCACGATGGATCAATGCATCCT 1317
GTCCCTTCTTATCCAGAATTCTGTTGCCACGATGGATCAATGCATCCT 1317
GTCCATTCTTATACAAATTGTTGCCACGATGGATCAATGCATCCA 1317
GTCCCTTCTTATCCAGAATTCTGTTGCCACGATGGATCAATGCATCCT 1317

AB270705_PVYN_Japao_CI
AJ889867_PVYW_Alemanha_CI
EF026075_PVYNTN_USA_CI
AF522296_PVYN_Egito_CI
EF026076_PVYNO_USA_CI
AJ889866_PVYNTN_Alemanha_CI
EF026074_PVYO_USA_CI

GTCATACATGACATTCTAAAAAGTATAAACTCGAGATTGTATGACACC 1367
GTCATACATGACATTCTAAAAAGTATAAACTCGAGATTGTATGACACC 1307
GTCATACATGACATTCTAAAAAGTATAAACTCGAGATTGTATGACACC 1367
GTCATACATGACATTCTAAAAAGTATAAACTCGAGATTGTATGACGCC 1550

GTCATACATGACATTCTAAAAAGTATAAACTCGAGATTGTATGACACC 1367
GTCATACATGACATTCTAAAAAGTATAAACTCGAGATTGTATGACACC 1367

AY745492_PVYNO_Canada_CI
AJ166866_PVYNTN_Canada_CI
NBR_CI

GTCATACATGACATTCTAAAAAGTATAAACTCGAGATTGTATGACACC 1367
GTCATACATGACATTCTAAGAAGTATAAACTCGCAGATTGTATGACGCC 1367
GTCATACATGACATTCTAAAAAGTATAAACTCGAGATTGTATGACACC 1367

AB270705_PVYN_Japao_CI
AJ889867_PVYW_Alemanha_CI
EF026075_PVYNTN_USA_CI
AF522296_PVYN_Egito_CI
EF026076_PVYNO-USA_CI
AJ889866_PVYNTN_Alemanha_CI
EF026074_PVYO_USA_CI
AY745492_PVYNO_Canada_CI
AJ166866_PVYNTN_Canada_CI
NBR_CI

TTTGTGCGATCAGTCTATACCACAGGGCATCGAGCACTGGTTATCGG 1417
TTTGTGCGATCAGTCTATACCACAGGGCATCGAGCACTGGTTATCGG 1357
TTTGTGCGATCAGTCTATACCACAGGGCATCGAGCACTGGTTATCGG 1417
TTTGTGCGATCAGTCTATACCACAGGGCATCGAGTACTGGTTATCGG 1600

TTTGTGCGATCAGTCTATACCACAGGGCATCGAGCACTGGTTATCGG 1417
TTTGTGCGATCAGTCTATACCACAGGGCATCGAGCACTGGTTATCGG 1417
TTTGTGCGATCAGTCTATACCACAGGGCATCGAGCACTGGTTATCGG 1417
CTTGTGTGATCAATCCATACCTACAGAGCCTAAGCACCTGGTTGTCTG 1417
TTTGTGCGATCAGTCTATACCACAGGGCATCGAGCACTGGTTATCGG 1417

AB270705_PVYN_Japao_CI
AJ889867_PVYW_Alemanha_CI
EF026075_PVYNTN_USA_CI
AF522296_PVYN_Egito_CI
EF026076_PVYNO-USA_CI
AJ889866_PVYNTN_Alemanha_CI
EF026074_PVYO_USA_CI
AY745492_PVYNO_Canada_CI
AJ166866_PVYNTN_Canada_CI
NBR_CI

TTAGTGAATATGAGCGACTTGGAGTGGCCTTAGAAATTCCAAGCAAGTC 1467
TTAGTGAATATGAGCGACTTGGAGTGGCCTTAGAAATTCCAAGCAAGTC 1407
TTAGTGAATATGAGCGACTTGGAGTGGCCTTAGAAATTCCAAGCAAGTC 1467
TTAGTGAATATGAGCGACTTGGAGTGGCCTTAGAAATTCCAAGCAAGTC 1650

TTAGTGAATATGAGCGACTTGGAGTGGCCTTAGAAATTCCAAGCAAGTC 1467
TTAGTGAATATGAGCGACTTGGAGTGGCCTTAGAAATTCCAAGCAAGCC 1467
TTAGTGAATATGAGCGACTTGGAGTGGCCTTAGAAATTCCAAGCAAGTC 1467
TTGGTGAGTACGAACGACTGGAGTGGTTTGACATTCCAAAACAGATC 1467
TTAGTGAATATGAGCGACTTGGAGTGGCCTTAGAAATTCCAAGCAAGTC 1467

AB270705_PVYN_Japao_CI
AJ889867_PVYW_Alemanha_CI
EF026075_PVYNTN_USA_CI
AF522296_PVYN_Egito_CI
EF026076_PVYNO-USA_CI
AJ889866_PVYNTN_Alemanha_CI
EF026074_PVYO_USA_CI
AY745492_PVYNO_Canada_CI

AAAATTGCATTCATATCAAAGAGATCCCTCTAACGCTCCACGAAATGCT 1517
AAAATTGCATTCATATCAAAGAGATCCCTCTAACGCTCCACGAAATGCT 1457
AAAATTGCATTCATATCAAAGAGATCCCTCTAACGCTCCACGAAATGCT 1517
AAAATTGCATTCATATCAAAGAGATCCCTCTAACGCTCCACGAAATGCT 1700

AAAATTGCATTCATATCAAAGAGATCCCTCTAACGCTCCACGAAATGCT 1517
AAAATTGCATTCATATCAAAGAGATCCCTCTAACGCTCCACGAAATGCT 1517
AAAATTGCATTCATATCAAAGAGATCCCTCTAACGCTCCACGAAATGCT 1517

AJ166866_PVYNTN_Canada_CI
NBR_CI

AAGATTGCATTCACATCAAGGACATCCCTCTAAGTGCATGAAATGCT 1517
AAAATCGCATTCCATATCAAAGAGATCCCTCTAAGCTCCACGAAATGCT 1517

AB270705_PVYN_Japao_CI
AJ889867_PVYW_Alemanha_CI
EF026075_PVYNTN_USA_CI
AF522296_PVYN_Egito_CI
EF026076_PVYNO_USA_CI
AJ889866_PVYNTN_Alemanha_CI
EF026074_PVYO_USA_CI
AY745492_PVYNO_Canada_CI
AJ166866_PVYNTN_Canada_CI
NBR_CI

TTGGGAAACGGTTGTCAAGTACAAGACGTTGCTTATTCCAAGCATTC 1567
TTGGGAAACGGTTGTCAAGTACAAGACGTTGCTTATTCCAAGCATTC 1507
TTGGGAAACGGTTGTCAAGTACAAGACGTTGCTTATTCCAAGCATTC 1567
TTGGGAAACGGTTGTCAAGTACAAGACGTTGCTTATTCCAAGCATTC 1750

TTGGGAAACGGTTGTCAAGTACAAGACGTTGCTTATTCCAAGCATTC 1567
TTGGGAAACGGTTGTCAAGTACAAGACGTTGCTTATTCCAAGCATTC 1567
TTGGGAAACGGTTGTCAAGTACAAGACGTTGCTTATTCCAAGCATTC 1567
TTGGGAAACAGTTATTAAATAACAGGATGTGTGTTGTTCCAAGTATTTC 1567
TTGGGAAACGGTTGTCGAGTACAAGACGTTGCTTATTCCAAGCATTC 1567

AB270705_PVYN_Japao_CI
AJ889867_PVYW_Alemanha_CI
EF026075_PVYNTN_USA_CI
AF522296_PVYN_Egito_CI
EF026076_PVYNO_USA_CI
AJ889866_PVYNTN_Alemanha_CI
EF026074_PVYO_USA_CI
AY745492_PVYNO_Canada_CI
AJ166866_PVYNTN_Canada_CI
NBR_CI

GAGCATCGTCCATCAGAAAATCGCATAACACATTGCGTACAGACCTCTTC 1617
GAGCATCGTCCATCAGAAAATCGCATAACACATTGCGTACAGACCTCTTC 1557
GAGCATCGTCCATCAGAAAATCGCATAACACATTGCGTACAGACCTCTTC 1617
GAGCATCGTCCATCAGAAAATCGCATAACACATTGCGTACAGATCTCTTC 1800

GAGCATCGTCCATCAGAAAATCGCATAACACATTGCGTACAGACCTCTTC 1617
GAGCATCGTCCATCAGAAAATCGCATAACACATTGCGTACAGACCTCTTC 1617
GAGCATCGTCCATCAGAAAATCGCATAACACATTGCGTACAGACCTCTTC 1617
GGGCTTCATCCATTAGAAAATTGCATAACACACTGCGCACTGATTTTT 1617
GAGCATCGTCCATCAGAAAATCGCATAACACATTGCGTACAGACCTCTTC 1617

AB270705_PVYN_Japao_CI
AJ889867_PVYW_Alemanha_CI
EF026075_PVYNTN_USA_CI
AF522296_PVYN_Egito_CI
EF026076_PVYNO_USA_CI
AJ889866_PVYNTN_Alemanha_CI
EF026074_PVYO_USA_CI
AY745492_PVYNO_Canada_CI
AJ166866_PVYNTN_Canada_CI

GCCATCCCAGAAACTCTAATATTGGTGGAGAGACTGCTTGAAGAGGGAGCG 1667
GCCATCCCAGAAACTCTAATATTGGTGGAGAGACTGCTTGAAGAGGGAGCG 1607
GCCATCCCAGAAACTCTAATATTGGTAGAGAGACTGCTTGAAGAGGGAGCG 1667
GCCATCCCAGAAACTCTAATATTGGTGGAGAGATTGCTTGAAGAGGGAGCG 1850

GCCATCCCAGAAACTCTAATATTGGTGGAGAGACTGCTTGAAGAGGGAGCG 1667
GCCATCCCAGAAACTCTAATATTGGTGGAGAGACTGCTTGAAGAGGGAGCG 1667
GCCATCCCAGAAACTCTAATATTGGTGGAGAGACTGCTTGAAGAGGGAGCG 1667
GCAATCCCCAGAACCTAATTCTAGTTGAAAGATTGCTCGAGGGAGGAACG 1667

NBR_CI

GCCATCCCAGAACTCTAATATTGGTGGAGAGACTGCTGAAGAGGAGCG 1667

AB270705_PVYN_Japao_CI
AJ889867_PVYW_Alemanha_CI
EF026075_PVYNTN_USA_CI
AF522296_PVYN_Egito_CI
EF026076_PVYNO_USA_CI
AJ889866_PVYNTN_Alemanha_CI
EF026074_PVYO_USA_CI
AY745492_PVYNO_Canada_CI
AJ166866_PVYNTN_Canada_CI
NBR_CI

AGTGAAGCAGAGCCAATTCAAAGTCTCATCGACGAAGGATGCTCAAGCA 1717
ATTGAAGCAGAGCCAAT----- 1624
AGTGAAGCAGAGCCAATTCAAAGTCTCATCGACGAAGGATGCTCAAGCA 1717
AGTGAAGCAGAGCCAAT----- 1867

ATTGAAGCAGAGCCAAT----- 1684
AGTGAAGCAGAGCCAAT----- 1684
AGTGAAGCAGAGCCAAT----- 1684
AGTGAACAGAGCCAATTAGAAGTTTCATTGATGAAGGATGCTCAAGTA 1717
AGTGAAGCAGAGCCAATTCAAAGTCTCATCGACGAAGGATGCTCAAGCA 1717

AB270705_PVYN_Japao_CI
AJ889867_PVYW_Alemanha_CI
EF026075_PVYNTN_USA_CI
AF522296_PVYN_Egito_CI
EF026076_PVYNO_USA_CI
AJ889866_PVYNTN_Alemanha_CI
EF026074_PVYO_USA_CI
AY745492_PVYNO_Canada_CI
AJ166866_PVYNTN_Canada_CI
NBR_CI

TGTTTCAATTGTCAACTTGACAAACACTCTCAGAGCTAGATATGAAAAA 1767
-----CTCTCAGAGCTAGATATGAAAAA 1647
TGTTTCAATTGTCAACTTGACAAACACTCTCAGAGCTAGATATGAAAAA 1767
-----TCAGAAGTCTCATCGATGAAG 1888

-----TCAGAAGTCTCATCGACGAAG 1705
-----TCAGAAGTCTCATCGATGAAG 1705
-----TCAGAAGTCTCATCGACGAAG 1705
TGTTTCAATTGTTAACAAACACTCTTAGAGCTAGATATGCAAAG 1767
TGTTTCAATTGTCGACTTGACAAACACTCTCAGAGCTAGATATGAAAAA 1767

AB270705_PVYN_Japao_CI
AJ889867_PVYW_Alemanha_CI
EF026075_PVYNTN_USA_CI
AF522296_PVYN_Egito_CI
EF026076_PVYNO_USA_CI
AJ889866_PVYNTN_Alemanha_CI
EF026074_PVYO_USA_CI
AY745492_PVYNO_Canada_CI
AJ166866_PVYNTN_Canada_CI
NBR_CI

GATTACACCGCAGAGAATATAACAAAACTTGAGAAAGTGAGAAAGTCATT 1817
GATTACACCGCAGAGAATATAACAAAGACTTGAGAAAGTGAGAAAGTCATT 1697
GATTACACCGCAGAGAATATAACAAAACTTGAGAAAGTGAGAAAGTCATT 1817
GGTGCTCAAGCATG----- 1902

GATGCTCAAGCATGTTCAATTGTCAACTTGACAAACACTCTCAGAGCT 1755
GATGCTCAAGCATGTTCAATTGTCAACCTGACAAACACTCTCAGAGCT 1755
GATGCTCAAGCATGTTCAATTGTCAACTTGACAAACACTCTCAGAGCT 1755
GATTACACTGCAGAAACATACAGAAGCTCGAGAAAGTGAGGGAGTCAGTT 1817
GATTACACCGCAGAGAATATAACAAAACTTGAGAAAGTGAGAAAGTCATT 1817

AB270705_PVYN_Japao_CI
AJ889867_PVYW_Alemanha_CI
EF026075_PVYNTN_USA_CI
AF522296_PVYN_Egito_CI
EF026076_PVYNO_USA_CI
AJ889866_PVYNTN_Alemanha_CI
EF026074_PVYO_USA_CI
AY745492_PVYNO_Canada_CI
AJ166866_PVYNTN_Canada_CI
NBR_CI

AB270705_PVYN_Japao_CI
AJ889867_PVYW_Alemanha_CI
EF026075_PVYNTN_USA_CI
AF522296_PVYN_Egito_CI
EF026076_PVYNO_USA_CI
AJ889866_PVYNTN_Alemanha_CI
EF026074_PVYO_USA_CI
AY745492_PVYNO_Canada_CI
AJ166866_PVYNTN_Canada_CI
NBR_CI

AB270705_PVYN_Japao_CI
AJ889867_PVYW_Alemanha_CI
EF026075_PVYNTN_USA_CI
AF522296_PVYN_Egito_CI
EF026076_PVYNO_USA_CI
AJ889866_PVYNTN_Alemanha_CI
EF026074_PVYO_USA_CI
AY745492_PVYNO_Canada_CI
AJ166866_PVYNTN_Canada_CI
NBR_CI

GAAAGAATTCTCAAATTGGATGGTCTGCATGTGAGGAAAATTAAATAA 1867
GAAAGAATTCTCAAATTGGATGGTCTGCATGTGAGGAAAATTAAATAA 1747
GAAAGAATTCTCAAATTGGATGGTCTGCATGTGAGGAAAATTAAATAA 1867

AGATATGCAAAAGATTACACCGCAGAGAATATACAAAGACTTGAGAAAG- 1804
AGATATGCAAAAGATTACACCGCAGAGAACATACAAAAACTTGAGAAAGT 1805
AGATATGCAAAAGATTACACCGCAGAGAACATACAAAAACTTGAGAAAGT 1805
AAAGGAGTTCTCAAATTAAATGGCTCTGCATGCGAGGAGAACTTAATGA 1867
GAAAGAATTCTCAAATTGGATGGTCTGCATGTGAGGAAAATTAAATAA 1867

AGAGGTATGAGTCTTGCAGTCGTTCATCACCAA----- 1902
AGAGGTACGAGTCTTGCAGTCGTTCATCACCAA----- 1782
AGAGGTATGAGTCTTGCAGTCGTTCATCACCAA----- 1902

GAGAAGTCAATTGAAAGAATTCTCAAATTGGATGGTCTGCATGTGAGG 1855
GAGAAGTCAATTGAAAGAATTCTCAAATTGGATGGTCTGCATGTGAGG 1855
AGAGGTATGAATCTCTACAGTTGCATCATCAA----- 1902
AGAGGTATGAGTCTTGCAGTCGTTCATCACCAA----- 1902

AAAATTAAAGAGGTATGAGTCTTGCAGTCGTTCATCACCAA 1902
AAAATTAAAGAGGTATGAGTCTTGCAGTCGTTCATCACCAA 1902

CLUSTAL 2.0.8 multiple sequence alignment

AY745492_PVYNO_Canada_6K2
EF026076_PVYNO-USA_6K2
EF026074_PVYO_USA_6K2
AB270705_PVYN_Japao_6K2
OBR_6K2
ITA_6K2
NBR_6K2
EF026075_PVYNTN_USA_6K2
VGS_6K2
AJ889866_PVYNTN_Alemanha_6K2
AJ889867_PVYW_Alemanha_6K2
AJ166866_PVYNTN_Canada_6K2
AF522296_PVYN_Egito_6K2

AY745492_PVYNO_Canada_6K2
EF026076_PVYNO-USA_6K2
EF026074_PVYO_USA_6K2
AB270705_PVYN_Japao_6K2
OBR_6K2
ITA_6K2
NBR_6K2
EF026075_PVYNTN_USA_6K2
VGS_6K2
AJ889866_PVYNTN_Alemanha_6K2
AJ889867_PVYW_Alemanha_6K2
AJ166866_PVYNTN_Canada_6K2
AF522296_PVYN_Egito_6K2

AY745492_PVYNO_Canada_6K2
EF026076_PVYNO-USA_6K2
EF026074_PVYO_USA_6K2
AB270705_PVYN_Japao_6K2

---GCTGCGACGTCACTGCAAAGGATCTCAAGTTGAAGGGGACTTGGAA 47
---GCTGCGACGTCACTGCAAAGGATCTCAAGTTGAAGGGGACTTGGAA 47
---GCTGCGACGTCACTGCAAAGGATCTCAAGTTAAAGGGGACTTGGAA 47
---GCTGCGACGTCACTGCAAAGGATCTCAAGTTGAAGGGGACCTGGAA 47
---GCTGCGACGTCACTGCAAAGGATCTCAAGTTGAAGGGGACTTGGAA 47
---GCTGCGACATCACTGCAAAGGATCTCAAGTTGAAGGGGACTTGGAA 47
---GCTGCGACATCACTGCAAAGGATCTCAAGTTGAAGGGGACTTGGAA 47
---GCCCGCACGTCACTGCAAAGGATCTCAAGTTGAAGGGGACTTGGAA 47
-----GCAAAGGATCTCAAGTTGAAGGGGACTTGGAA 32
---GCTACGACGTCACTGCAAAGGATCTCAAGTTGAAGGGGACTTGGAA 47
---GCTACGACGTCACTGCAAAGGATCTCAAGTTGAAGGGGACTTGGAA 47
---GCAACAACTTCACTCGCAAAGGATTGAAGTTGAAGGAGTTGGAA 47
TTTCAATTGTTAACCAACACTCTCAGA--GCTAGATATGCAAA 48

* * * * *

GAAGTCATTAGTGGCAAAGACTTGATCAT-AGCAGGGCCTGTTGCAATT 96
GAAGTCATTAGTGGCAAAGACTTGATCAT-AGCAGGGCCTGTTGCAATT 96
GAAGTCATTAGTGGCAAAGACTTGATCAT-AGCAGGGCCTGTTGCAATT 96
GAAGTCATTAGTGGCAAAGACTTGATCAT-AGCAGGGCCTGTTGCAATT 96
GAAGTCATTAGTGGCTAAAGACTTGATCAT-AGCAGGGCCTGTTGCAATT 96
GAAGTCATTAGTGGCAAAGACTTGATCAT-AGCAGGGCCTGTTGCAATT 96
GAAGTCATTAGTGGCAAAGACTTGATCAT-AGCAGGGCCTGTTGCAATT 96
GAAGTCATTAGTGGCAAAGACTTGATCAT-AGCAGGGCCTGTTGCAATT 96
GAAGTCATTAGTGGCAAAGACTTGATCAT-AGCAGGGCCTGTTGCAATT 96
GAAGTCATTAGTGGCAAAGACTTGATCAT-AGCAGGGCCTGTTGCAATT 96
GAAGTCATTAGTGGCAAAGACTTGATCAT-AGCAGGGCCTGTTGCAATT 81
GAAGTCATTAGTGGCAAAGACTTGATCAT-AGCAGGGCCTGTTGCAATT 96
GAAGTCATTAGTGGCAAAGACTTGATCAT-AGCAGGGCCTGTTGCAATT 96
GAAGTCACTAGTTGTGCAGGACCTAATTAT-AGCAGGGTGCCGTTGCTATC 96
GATTACACCGCAGAGAACATACAAAAACTTGAGAAGGTGAGAAGTCAACT 98

*** *** * * * * * * *

GGTGGAATAGGACTCATATATAGTGGTTCACACAATCAGTTGAGACTGT 146
GGTGGAATAGGACTCATATATAGTGGTTCACACAATCAGTTGAGACTGT 146
GGTGGAATAGGACTCATATATAGTGGTTCACACAATCAGTTGAGACTGT 146
GGTGGAATAGGACTCATATATAGTGGTTCACACAATCAGTTGAGACTGT 146

OBR_6K2
ITA_6K2
NBR_6K2
EF026075_PVYNTN_USA_6K2
VGS_6K2
AJ889866_PVYNTN_Alemanha_6K2
AJ889867_PVYW_Alemanha_6K2
AJ166866_PVYNTN_Canada_6K2
AF522296_PVYN_Egito_6K2

GGTGGAAATAGGACTCATATATAGTTGGTCACACAATCAGTTGAGACTGT 146
GGTGGAAATAGGACTCATATATAGTTGGTCACACAATCAGTTGAGACTGT 146
GGTGGAAATAGGACTCATATATAGTTGGTCACACAATCAGTTGAGACTGT 146
GGTGGAAATAGGACTCATATATAGTTGGTCACACAATCAGTTGAGACTGT 146
GGTGGAAATAGGACTCATATATAGTTGGTCACACAATCAGTTGAGACTGT 146
GGTGGAAATAGGACTCATATATAGTTGGTCACACAATCAGTTGAGGCTGT 131
GGTGGTATAAGGGCTCATATATAGTTGGTCACACAATCAGTTGAGACTGT 146
GGTGGTATAAGGGCTCATATATAGTTGGTCACACAATCAGTTGAGACTGT 146
GGTGGAAATAGGGCTTATCTATAGTTGGTTACTCATCAGTTGAAACTGT 146
AAAAGAAT---TCTCAAATTGGATGGTTCTGCATGTGAG--GAGAATT 143
* *

AY745492_PVYNO_Canada_6K2
EF026076_PVYNO-USA_6K2
EF026074_PVYO_USA_6K2
AB270705_PVYN_Japao_6K2
OBR_6K2
ITA_6K2
NBR_6K2
EF026075_PVYNTN_USA_6K2
VGS_6K2
AJ889866_PVYNTN_Alemanha_6K2
AJ889867_PVYW_Alemanha_6K2
AJ166866_PVYNTN_Canada_6K2
AF522296_PVYN_Egito_6K2

GTCTCACCAA--	156
GTCTCACCAAAG--	142
GTCTCACCAA--	156
GTCTCACCAA--	156
GTCTCACCAAG--	156
AATAAAGAGGTAT	156

CLUSTAL 2.0.8 multiple sequence alignment

NBR_VPg	-----
ITA_VPg	-----
EF026075_PVYNTN_USA_VPg	-----
AJ889866_PVYNTN_Alemanha_VPg	-----
AJ889867_PVYW_Alemanha_VPg	-----
AJ166866_PVYNTN_Canada_VPg	-----
VGS_VPg	-----
AB270705_PVYN_Japao_VPg	-----
AY745492_PVYNO_Canada_VPg	-----
EF026074_PVYO_USA_VPg	-----
OBR_VPg	-----
AF522296_PVYN_Egitto_VPg	GAGTCGTTGCAGTTCGTTCATCACCAAGCTGCGACGTCACTTGCAAAGGA 50
EF026076_PVYNO-USa_VPg	GAGTCGTTGCAGTTCGTTCATCACCAAGCTGCGACGTCACTTGCAAAGGA 50

NBR_VPg	-----
ITA_VPg	-----
EF026075_PVYNTN_USA_VPg	-----
AJ889866_PVYNTN_Alemanha_VPg	-----
AJ889867_PVYW_Alemanha_VPg	-----
AJ166866_PVYNTN_Canada_VPg	-----
VGS_VPg	-----
AB270705_PVYN_Japao_VPg	-----
AY745492_PVYNO_Canada_VPg	-----
EF026074_PVYO_USA_VPg	-----
OBR_VPg	-----
AF522296_PVYN_Egitto_VPg	TCTCAAGTTGAAGGGGATTGGAAACAAGTCATTAGTGGCTAAAGACTTGA 100
EF026076_PVYNO-USa_VPg	TCTCAAGTTGAAGGGGATTGGAAACAAGTCATTAGTGGCTAAAGACTTGA 100

NBR_VPg	-----
ITA_VPg	-----
EF026075_PVYNTN_USA_VPg	-----
AJ889866_PVYNTN_Alemanha_VPg	-----

AJ889867_PVYW_Alemanha_VPg
AJ166866_PVYNTN_Canada_VPg
VGS_VPg
AB270705_PVYN_Japao_VPg
AY745492_PVYNO_Canada_VPg
EF026074_PVYO_USA_VPg
OBR_VPg
AF522296_PVYN_Egito_VPg
EF026076_PVYNO-USU_VPg

TCATAGCAGCGCTGCAATTGGTGAATAGGACTCATATATAGTTGG 150
TCATAGCAGCGCTGCAATTGGTGAATAGGACTCATATATAGTTGG 150

NBR_VPg
ITA_VPg
EF026075_PVYNTN_USA_VPg
AJ889866_PVYNTN_Alemanha_VPg
AJ889867_PVYW_Alemanha_VPg
AJ166866_PVYNTN_Canada_VPg
VGS_VPg
AB270705_PVYN_Japao_VPg
AY745492_PVYNO_Canada_VPg
EF026074_PVYO_USA_VPg
OBR_VPg
AF522296_PVYN_Egito_VPg
EF026076_PVYNO-USU_VPg

-----GGGAAAAATAAACCAA 17
-----GGGAAAAATAAACCAA 17
-----GGGAAAAATAAACCAA 17
-----GGGAAAAATAAACCAA 17
-----GGGAAAAATAAACCAA 17
-----GGCAAGAACAAACCAA 17
-----GGGAAAAATAAACCAA 16
-----GGGAAAACATAAACCAA 17
-----GGGAAAAATAAACCAA 17
-----GGGAAAAATAAACCAA 17
-----GGGAAAAATAAACCAA 17
-----GGGACACAATCAGTTGAGACTGTGTCATCAAGGGAAAATAAACCAA 200
-----GGGACACAATCAGTTGAGACTGTGTCATCAAGGGAAAATAAACCAA 200
* * * * *****

NBR_VPg
ITA_VPg
EF026075_PVYNTN_USA_VPg
AJ889866_PVYNTN_Alemanha_VPg
AJ889867_PVYW_Alemanha_VPg
AJ166866_PVYNTN_Canada_VPg
VGS_VPg
AB270705_PVYN_Japao_VPg
AY745492_PVYNO_Canada_VPg
EF026074_PVYO_USA_VPg
OBR_VPg

AAGAATTCAAGCCTTGAAGTTGCCATGCTCGTGACAAAAGGGCTGGCT 67
AAGAATTCAAGCCTTGAAGTTGCCATGCTCGTGACAAAAGGGCTGGCT 67
AAGAATTCAAGCCTTGAAGTTGCCATGCTCGTGACAAAAGGGCTGGCT 67
AAGAATTCAAGCCTTGAAGTTGCCATGCTCGTGACAAAAGGGCTGGCT 67
AAGAATTCAAGCCTTGAAGTTGCCATGCTCGTGACAAAAGGGCTGGCT 67
AAGAATTCAAGCATTGAAGTTGCCATGCTCGTGACAAAAGGGCTGGCT 67
AAGAATTCAAGCCTTGAAGTTGCCATGCTCGTGACAAAAGGGCTGGCT 66
AAGAATTCAAGCCTTGAAGTTGCCATGCTCGTGACAAAAGGGCTGGCT 67
AAGAATTCAAGCCTTGAAGTTGCCATGCTCGTGACAAAAGGGCTGGCT 67
AAGAATTCAAGCCTTGAAGTTGCCATGCTCGTGACAAAAGGGCTGGCT 67
AAGAATTCAAGCCTTGAAGTTGCCATGCTCGTGACAAAAGGGCTGGCT 67

AF522296_PVYN_Egitó_VPg
EF026076_PVYNO-USA_VPg

NBR_VPg
ITA_VPg
EF026075_PVYNTN_USA_VPg
AJ889866_PVYNTN_Alemanha_VPg
AJ889867_PVYW_Alemanha_VPg
AJ166866_PVYNTN_Canada_VPg
VGS_VPg
AB270705_PVYN_Japao_VPg
AY745492_PVYNO_Canada_VPg
EF026074_PVYO_USA_VPg
OBR_VPg
AF522296_PVYN_Egitto_VPg
EF026076_PVYNO-USA_VPg

TTGAAATTGACAACAATGATGACACAATAGAGGAATTCTTGGATCTGCA 117
TTGAAATTGACAACAATGATGACACAATAGAGGAATTCTTGGATCTGCA 117
TTGAAATTGACAACAATGATGACACAATAGAGGAATTCTTGGATCTGCA 117
TTGAAATTGACAACAATGATGACACAATAGAGGAATTCTTGGATCTGCA 117
TTGAAATTGACAACAATGATGACACAATAGAGGAATTCTTGGATCTGCA 117
TTGAAATTGATAACAATGATGATACAATAGAAGAATTCTTGGATCTGCA 117
TTGAAATTGACAACAATGATGACACAATAGAGGAATTCTTGGATCTGCA 116
TTGAAATTGACAACAATGATGACACAATAGAGGAATTCTTGGATCTGCA 117
TTGAAATTGACAACAATGATGACACAATAGAGGAATTCTTGGATCTGCA 117
TTGAAATTGACAACAATGATGACACAATAGAGGAATTCTTGGATCTGCA 117
TTGAAATTGACAACAATGATGACACAATAGAGGAATTCTTGGATCTGCA 117
TTGAAATTGACAACAATGATGACACAATAGAGGAATTCTTGGATCTGCA 300
TTGAAATTGACAACAATGATGACACAATAGAGGAATTCTTGGATCTGCA 300

NBR_VPg
ITA_VPg
EF026075_PVYNTN_USA_VPg
AJ889866_PVYNTN_Alemanha_VPg
AJ889867_PVYW_Alemanha_VPg
AJ166866_PVYNTN_Canada_VPg
VGS_VPg
AB270705_PVYN_Japao_VPg
AY745492_PVYNO_Canada_VPg
EF026074_PVYO_USA_VPg
OBR_VPg
AF522296_PVYN_Egitto_VPg
EF026076_PVYNO-USA_VPg

TACAGGAAGAAGGGAAAGGGTAAAGGCACCACTGTTGTATGGGCAAGTC 167
TACAGGAAGAAGGGAAAGGGTAAAGGCACCACTGTTGTATGGGCAAGTC 167
TACAGGAAGAAGGGAAAAGGTAAAGGCACCACTGTTGTATGGGCAAGTC 167
TACAGGAAGAAGGGAAAAGGTAAAGGCACCACTGTTGTATGGGCAAGTC 167
TACAGGAAGAAGGGAAAAGGTAAAGGCACCACTGTTGTATGGGCAAGTC 167
TACAGGAAGAAGGGAAAAGGTAAAGGCACCACTGTTGTATGGGCAAAATC 167
TACAGGAAGAAGGGAAAAGGTAAAGGCCCACTGTTGTATGGGCAAGTC 166
TACAGGAAAAGGGAAAAGGTAAAGGCACCACTGTTGTATGGGTAAGTC 167
TACAGGAAAAGGGAAAAGGTAAAGGTACCACAGTTGTATGGGCAAGTC 167
TACAGGAAAAGGGAAAAGGTAAAGGTACCACAGTTGTATGGGCAAGTC 167
TACAGGAAAAGGGAAAAGGTAAAGGCACACAGTTGTATGGGTAAGTC 167
TACAGGAAAAGGGAAAAGGTAAAGGTACCACAGTTGTATGGGTAAGTC 350
TACAGGAAAAGGGAAAAGGTAAAGGTACCACAGTTGTATGGGTAAGTC 350

NBR_VPg
ITA_VPg
EF026075 PVYNTN USA VPg

AAGCAGGAGGTTGTTAATATGTATGGATTGACCCACAGAACATTCAT 217
AAGCAGGAGGTTGTTAATATGTATGGATTGACCCACAGAACATTCAT 217
AAGCAGGAGGTTGTTAATATGTATGGATTGACCCACAGAACATTCAT 217

AJ889866_PVYNTN_Alemanha_VPg
AJ889867_PVYW_Alemanha_VPg
AJ166866_PVYNTN_Canada_VPg
VGS_VPg
AB270705_PVYN_Japao_VPg
AY745492_PVYNO_Canada_VPg
EF026074_PVYO_USA_VPg
OBR_VPg
AF522296_PVYN_Egito_VPg
EF026076_PVYNO-USA_VPg

NBR_VPg
ITA_VPg
EF026075_PVYNTN_USA_VPg
AJ889866_PVYNTN_Alemanha_VPg
AJ889867_PVYW_Alemanha_VPg
AJ166866_PVYNTN_Canada_VPg
VGS_VPg
AB270705_PVYN_Japao_VPg
AY745492_PVYNO_Canada_VPg
EF026074_PVYO_USA_VPg
OBR_VPg
AF522296_PVYN_Egito_VPg
EF026076_PVYNO-USA_VPg

TCATCCAGTCGTTGATCCGCTACTGGAGCTCAAATTGAAGAGAACGTC 267
TCATCCAGTCGTTGATCCGCTACTGGAGCTCAAATTGAAGAGAACGTC 267
TTATCCAGTCGTTGATCCGCTACTGGAGCTCAAATTGAAGAGAACGTC 267
TCATCCAGTCGTTGATCCGCTACTGGAGCTCAAATTGAAGAGAACGTC 267
TCATCCAGTCGTTGATCCGCTACTGGAGCTCAAATTGAAGAGAACGTC 267
TCATCCAGTCGTTGATCCGCTACTGGAGCTCAAATTGAAGAGAACGTC 267
TCATCCAGTCGTTGATCCGCTACTGGAGCTCAAATTGAAGAGAACGTC 267
TCATCCAGTCGTTGATCCGCTACTGGAGCTCAAATTGAAGAGAACGTT 266
TCATCCAGTCGTTGATCCGCTACTGGAGCTCAAATTGAAGAGAACGTC 267
TCATCCAATTCTGTTGATCCACTCACTGGGGCGCAAATAGAAGAGAATGTC 267
TCATCCAATTCTGTTGATCCACTCACTGGGGCGCAAATAGAAGAGAATGTC 267
TCATCCAATTCTGTTGATCCACTCACTGGGGCGCAAATAGAAGAAAATGTC 267
TCATCCAATTCTGTTGATCCACTCACTGGGGCGCAAATAGAAGAAAATGTC 450
TCATCCAATTCTGTTGATCCACTCACTGGGGCGCAAATAGAAGAAAATGTC 450
* *

NBR_VPg
ITA_VPg
EF026075_PVYNTN_USA_VPg
AJ889866_PVYNTN_Alemanha_VPg
AJ889867_PVYW_Alemanha_VPg
AJ166866_PVYNTN_Canada_VPg
VGS_VPg
AB270705_PVYN_Japao_VPg
AY745492_PVYNO_Canada_VPg
EF026074_PVYO_USA_VPg

TATGCTGATATTAGAGACATCCGAGAGCGTTAGTGTGTCGCAGAA 317
TATGCTGATATTAGAGACATCCGAGAGCGTTAGTGTGTCGCAGAA 317
TATGCTGATATTAGAGACATCCAAGAGCGTTAGTGTGTCGCAGAA 317
TATGCTGATATTAGAGACATCCAAGAGCGTTAGTGTGTCGCAGAA 317
TATGCTGATATTAGAGACATCCAAGAGCGTTAGTGTGTCGCAGAA 317
TATGCTGATATTAGAGACATCCAAGAGCGTTAGTGTGTCGCAGAA 317
TATGCTGATATTAGAGACATCCAAGAGCGTTAGTGTGTCGCAGAA 317
TATGCTGATATTAGAGACATCCAAGAGCGTTAGTGTGTCGCAGAA 316
TATGCTGATATTAGAGACATCCAAGAGCGTTAGTGTGTCGCAGAA 317
TATGCTGACATTAGAGATATTCAAGAGAGATTAGTGAAGTGCAGAGAA 317
TATGCTGACATTAGAGATATTCAAGAGAGATTAGTGAAGTGCAGAGAA 317

OBR_VPg
AF522296_PVYN_Egito_VPg
EF026076_PVYNO-USA_VPg

TATGCTGACATTAGAGATATTCAAGAGAGATTAGTGAAGTGCAGAAAGAA 317
TATGCTGACATTAGAGATATTCAAGAGAGATTAGTGAAGTGCAGAAAGAA 500
TATGCTGACATTAGAGATATTCAAGAGAGATTAGTGAAGTGCAGAAAGAA 500
***** * ***** * * * * * * * * * * * * * * * * * * *

NBR_VPg
ITA_VPg
EF026075_PVYNTN_USA_VPg
AJ889866_PVYNTN_Alemanha_VPg
AJ889867_PVYW_Alemanha_VPg
AJ166866_PVYNTN_Canada_VPg
VGS_VPg
AB270705_PVYN_Japao_VPg
AY745492_PVYNO_Canada_VPg
EF026074_PVYO_USA_VPg
OBR_VPg
AF522296_PVYN_Egito_VPg
EF026076_PVYNO-USA_VPg

AATGGTAGAGGATGATGAAATCGAATTGCAAGCATTGGCAGCAACACAA 367
AATGGTAGAGGATGATGAAATCGAATTGCAAGCATTGGCAGCAACACAA 367
AATGGTAGAGGATGATGAAATCGAATTGCAAGCATTGGCAGCAACACAA 367
AATGGTTGAGGATGATGAAATCGAATTGCAAGCATTGGCAGCAACACAA 367
AATGGTTGAGGATGATGAAATCGAATTGCAAGCATTGGCAGCAACACAA 367
AATGGTAGAGGATGATGAAATCGAATTGCAAGCATTGGCAGCAACACAA 367
AATGGTAAAGGATGATGAAATCGAATTGCAAGCATTGGCAGCAACACAA 366
AATGGTAGAGGATGATGAAATCGAATTGCAAGCATTGGCAGCAACACAA 367
AATGGTTGAGAATGATGACATTGAAATGCAAGCCTGGCAGTAACACGA 367
AATGGTTGAGAATGATGACATTGAAATGCAAGCCTGGTAGTAACACGA 367
AATGGTTGAGAATGATGACATTGAAATGCAAGCCTGGTAGTAACACGA 550
AATGGTTGAGAATGATGACATTGAAATGCAAGCCTGGTAGTAACACGA 550
***** * * ***** * * * * * * * * * * * * * * * * *

NBR_VPg
ITA_VPg
EF026075_PVYNTN_USA_VPg
AJ889866_PVYNTN_Alemanha_VPg
AJ889867_PVYW_Alemanha_VPg
AJ166866_PVYNTN_Canada_VPg
VGS_VPg
AB270705_PVYN_Japao_VPg
AY745492_PVYNO_Canada_VPg
EF026074_PVYO_USA_VPg
OBR_VPg
AF522296_PVYN_Egito_VPg
EF026076_PVYNO-USA_VPg

CCATTCATGCTTACTTCAGGAAAGATTGGCTGACAAGGCTCTAAAAATT 417
CCATTCATGCTTACTTCAGGAAAGATTGGCTGACAAGGCTCTAAAAATT 417
CCATTCATGCTTACTTCAGGAAAGATTGGCTGACAAGGCTCTAAAAATT 417
CCATTCATGCTTACTTCAGGAAAGATTGGCTGACAAGGCTCTAAAAATT 417
CCATTCATGCTTACTTCAGGAAAGATTGGCTGACAAGGCTCTAAAAATT 417
ACATTCATGCTTACTTCAGGAAAGATTGGCTGACAAGGCTCTAAAGTT 417
CCATTCATGCTTACTTCAGGAAAGATTGGCTGACAAGGCTCTAAAAATT 416
CCATTCATGCTTACTTCAGGAAAGATTGGCTGACAAGGCTCTAAAAATT 417
CCATACATGCATACTTCAGGAAAGATTGGCTGACAAGCTTGAAGATT 417
CCATACATGCATACTTAGGAAAGATTGGCTGACAAGCTTGAAGATT 417
CCATACATGCATACTTCAGGAAAGATTGGCTGACAAGCTTGAAGATT 417
CCATACATGCATAC----- 564
CCATACATGCATAC----- 564
*** * * * * *

NBR_VPg
ITA_VPg

GATTGATGCCACACAACCCACTCAAAATCTGTGATAATCGAATGGCAT 467
GATTGATGCCACACAACCCACTCAAAATCTGTGATAATCGAATGGCAT 467

EF026075_PVYNTN_USA_VPg
AJ889866_PVYNTN_Alemanha_VPg
AJ889867_PVYW_Alemanha_VPg
AJ166866_PVYNTN_Canada_VPg
VGS_VPg
AB270705_PVYN_Japao_VPg
AY745492_PVYNO_Canada_VPg
EF026074_PVYO_USA_VPg
OBR_VPg
AF522296_PVYN_Egito_VPg
EF026076_PVYNO-USA_VPg

NBR_VPg
ITA_VPg
EF026075_PVYNTN_USA_VPg
AJ889866_PVYNTN_Alemanha_VPg
AJ889867_PVYW_Alemanha_VPg
AJ166866_PVYNTN_Canada_VPg
VGS_VPg
AB270705_PVYN_Japao_VPg
AY745492_PVYNO_Canada_VPg
EF026074_PVYO_USA_VPg
OBR_VPg
AF522296_PVYN_Egito_VPg
EF026076_PVYNO-USA_VPg

NBR_VPg
ITA_VPg
EF026075_PVYNTN_USA_VPg
AJ889866_PVYNTN_Alemanha_VPg
AJ889867_PVYW_Alemanha_VPg
AJ166866_PVYNTN_Canada_VPg
VGS_VPg
AB270705_PVYN_Japao_VPg
AY745492_PVYNO_Canada_VPg

GATTTGATGCCACACAACCCACTCAAAATCTGTGATAAATCGAATGGCAT 467
GATTTGATGCCACACAACCCACTCAAAATCTGTGATAAATCGAATGGCAT 467
GATTTGATGCCACACAACCCACTCAAAATCTGTGATAAATCGAATGGCAT 467
GATTTGATGCCACACAACCCACTCAAAATCTGCATAAATCGAATGGCAT 467
GATTTGATGCCACACAACCCACTCAAAATCTGTGATAAATCGAATGGCAT 466
GATTTGATGCCACACAACCCACTCAAAATCTGTGATAAATCGAATGGCAT 467
GATTAATGCCACATAATCCACTCAAAGTTGTGACAAGACAAATGGCAT 467
GATTAATGCCACATAACCCACTCAAAGTTGTGACAAAACAAATGGCAT 467

TGCTAAGTTCTGAAAGAGAACCTTGAGTTGAGGCAAACGGGCCAGCAA 517
TGCTAAGTTCTGAAAGAGAACCTTGAGTTGAGGCAAACGGGCCAGCAA 517
TGCTAAGTTCTGAAAGAGAACCTTGAGTTGAGGCAAACGGGCCAGCAA 517
TGCTAAGTTCTGAAAGAGAACCTTGAGTTGAGGCAAACGGGCCAGCAA 517
TGCTAAGTTCTGAAAGAGAACCTTGAGTTGAGGCAAACGGGCCAGCAA 517
TGCTAAGTTCTGAAAGAGAACCTTGAGTTGAGGCAAACGGGCCAGCAA 516
TGCTAAGTTCTGAAAGAGAACCTTGAGTTGAGGCAAACGGGCCAGCAA 517
TGCCAATTCTGAGAGAGAGCTGAACTAAGGCAGACTGGGCCAGCTG 517
TGCCAATTCTGAAAGAGAGCTGAACTAAGGCAGACTGGGCCAGCTG 517
TGCCAATTCTGAGAGAGCTGAACTAAGGCAGACTGGGCCAGCTG 517

TAGAGGTTGATGTGAAAGACATTCAAAACAGGAAGTGGAGCATGAA--- 564
TAGAGGTTGATGTGAAAGACATTCAAAACAGGAAGTGGAGCATGAA--- 564
TAGAGGTTGATGTGAAAGACATTCAAAACAGGAAGTGGAGCATGAA--- 554
TAGAGGTTGATGTGAAAGACATTCAAAACAGGAAGTGGAGCATGAA--- 564
TAGAGGTTGATGTGAAAGACATTCAAAACAGGAAGTGGAGCATGAAGCC 567
TAGAGGTTGGATGTGAAAGACATTCAAAACAGGAAGTGGAGCATGAA--- 564
TAGAGGTTGATGTGAAAGACATTCAAAGCAGGAAGTGGAGCATGAA--- 563
TAGAGGTTGATGTGAAAGACATTCAAAACAGGAAGTGGAGCATGAA--- 564
TAGAAGTCGACGTGAAGGACATACAGCACAGGAAGTGGAGCATGAA--- 564

EF026074_PVYO_USA_VPg	TAGAAGTCGATGTGAAGGACATACCAGCACAGGAAGTGGAGCATGAA---	564
OBR_VPg	TAGAAGTCGACGTGAAGGACATACCAGCACAGGAGGTGGAGCATGAA---	564
AF522296_PVYN_Egito_VPg	-----	
EF026076_PVYNO-USA_VPg	-----	
 NBR_VPg	-----	
ITA_VPg	-----	
EF026075_PVYNTN_USA_VPg	-----	
AJ889866_PVYNTN_Alemanha_VPg	-----	
AJ889867_PVYW_Alemanha_VPg	AAATCAC 574	
AJ166866_PVYNTN_Canada_VPg	-----	
VGS_VPg	-----	
AB270705_PVYN_Japao_VPg	-----	
AY745492_PVYNO_Canada_VPg	-----	
EF026074_PVYO_USA_VPg	-----	
OBR_VPg	-----	
AF522296_PVYN_Egito_VPg	-----	
EF026076_PVYNO-USA_VPg	-----	

CLUSTAL 2.0.8 multiple sequence alignment

AJ889866_PVYNTN_Alemanha_NIa	-----
AJ889867_PVYW_Alemanha_NIa	-----
ITA_NIa	-----
EF026075_PVYNTN_USA_NIa	-----
VGS_NIa	-----
AJ166866_PVYNTN_Canada_NIa	-----
AB270705_PVYN_Japao_NIa	-----
AY745492_PVYNO_Canada_NIa	-----
EF026076_PVYNO-USA_NIa	-----
EF026074_PVYO_USA_NIa	-----
AF522296_PVYN_Egito_NIa	TTCAGGAAAGATTGGTGTGATAAAGCTTGAAAGATTGATTAATGCCACA 50

AJ889866_PVYNTN_Alemanha_NIa	-----
AJ889867_PVYW_Alemanha_NIa	-----
ITA_NIa	-----
EF026075_PVYNTN_USA_NIa	-----
VGS_NIa	-----
AJ166866_PVYNTN_Canada_NIa	-----
AB270705_PVYN_Japao_NIa	-----
AY745492_PVYNO_Canada_NIa	-----
EF026076_PVYNO-USA_NIa	-----
EF026074_PVYO_USA_NIa	-----
AF522296_PVYN_Egito_NIa	TAACCCACTCAAAGTTGTGACAAAACAAATGGCATTGCCAAATTCCTG 100

AJ889866_PVYNTN_Alemanha_NIa	-----
AJ889867_PVYW_Alemanha_NIa	-----
ITA_NIa	-----
EF026075_PVYNTN_USA_NIa	-----
VGS_NIa	-----
AJ166866_PVYNTN_Canada_NIa	-----
AB270705_PVYN_Japao_NIa	-----
AY745492_PVYNO_Canada_NIa	-----

EF026076_PVYNO-USA_NIa
EF026074_PVYO_USA_NIa
AF522296_PVYN_Egito_NIa

AGAGAGAGCTCGAACTAAGGCAGACTGGGCCAGCTGTAGAAGTCGATGTG 150

AJ889866_PVYNTN_Alemanha_NIa
AJ889867_PVYW_Alemanha_NIa
ITA_NIa
EF026075_PVYNTN_USA_NIa
VGS_NIa
AJ166866_PVYNTN_Canada_NIa
AB270705_PVYN_Japao_NIa
AY745492_PVYNO_Canada_NIa
EF026076_PVYNO-USA_NIa
EF026074_PVYO_USA_NIa
AF522296_PVYN_Egito_NIa

-----GCCAAATCACTCATGAG 17
-----TCATGAG 7
-----GCCAAATCACTCATGAG 17
-----GGAGCATGAAGCCAAGTCACTCATGAG 27
-----GCCAAATCACTCATGAG 17
-----GCCAAATCACTCATGAG 17
-----GGAGCATGAAGCCAATCACTCATGAG 27
-----GCTAAATCACTCATGAG 17
-----GCTAAATCACTCATGAG 17
-----GCTAAATCGCTCATGAG 17
AAGGACATACCAGCACAGGAGGTGGAGCATGAAGCTAACATCGCTCATGAG 200

AJ889866_PVYNTN_Alemanha_NIa
AJ889867_PVYW_Alemanha_NIa
ITA_NIa
EF026075_PVYNTN_USA_NIa
VGS_NIa
AJ166866_PVYNTN_Canada_NIa
AB270705_PVYN_Japao_NIa
AY745492_PVYNO_Canada_NIa
EF026076_PVYNO-USA_NIa
EF026074_PVYO_USA_NIa
AF522296_PVYN_Egito_NIa

AGGTTAAGGGATTCAATCCAATTGCTCAAACAGTTGCAGAATAAAAG 67
AGGTTAAGGGATTCAATCCAATTGCTCAAACAGTTGCAGAATAAAAG 57
AGGTTAAGGGATTCAATCCAATTGCTCAAACAGTTGCAGAGTAAAG 67
AGGTTAAGGGATTCAATCCAATTGCTCAAACAGTTGCAGAGTAAAG 77
AGGTTAAGGGATTCAATCCAATTGCTCAAACAGTTGCAGAGTAAAG 67
AGGTTAAGGGATTCAATCCAATTGCTCAAACAGTTGCAGAGTAAAG 67
AGGTTAAGGGATTCAATCCAATTGCTCAAACAGTTGCAGAGTAAAG 77
AGGTTAAGGGATTCAATCCAATTGCTCAAACAGTTGTAGGCTGAAAG 67
AGGTTGAGAGACTTCAACCAATTGCCAACAGTTGTAGGCTGAAAG 67
AGGTTGAGAGACTTCAACCAATTGCCAACAGTTGTAGGCTGAAAG 67
AGGTTGAGAGACTTCAACCAATTGCCAACAGTTGTAGGCTGAAAG 67
AGGTTGAGAGACTTCAACCAATTGCCAACAGTTGTAGGCTGAAAG 250

AJ889866_PVYNTN_Alemanha_NIa
AJ889867_PVYW_Alemanha_NIa
ITA_NIa
EF026075_PVYNTN_USA_NIa
VGS_NIa
AJ166866_PVYNTN_Canada_NIa

TGTCTGTTGAATATGGAACGTCTGAAATGTATGGGTCGGTTTGGTGCG 117
TGTCTGTTGAATATGGAACGTCTGAAATGTATGGGTCGGTTTGGTGCG 107
TGTCTATTGAATATGGAACGTCTGAAATGTATGGGTCGGTTTGGTGCG 117
TGTCTGTTGAATATGGAACGTCTGAAATGTATGGGTCGGTTTGGTGCG 127
TGTCTGTTGAATATGGAACGTCTGAAATGTATGGGTCGGTTTGGTGCG 117
TGTCTGTTGAATATGGAACGTCTGAAATGTATGGGTCGGTTTGGTGCG 117

AB270705_PVYN_Japao_NIa
AY745492_PVYNO_Canada_NIa
EF026076_PVYNO-USA_NIa
EF026074_PVYO_USA_NIa
AF522296_PVYN_Egito_NIa

TGTCTGTTGAATATGGAACGTCTGAAATGTATGGGTCGGTTTGGTGCG 127
TATCTGTTGAATATGGGACATCAGAGATGTACGGTTGGATTGGAGCA 117
TATCTGTTGAATATGGGACATCAGAGATGTACGGTTGGATTGGAGCA 117
TATCTGTTGAATATGGGACATCAGAGATGTACGGTTGGATTGGAGCA 117
TATCTGTTGAATATGGGCATCAGAGATGTACGGTTGGATTGGAGCA 300
* *

AJ889866_PVYNTN_Alemanha_NIa
AJ889867_PVYW_Alemanha_NIa
ITA_NIa
EF026075_PVYNTN_USA_NIa
VGS_NIa
AJ166866_PVYNTN_Canada_NIa
AB270705_PVYN_Japao_NIa
AY745492_PVYNO_Canada_NIa
EF026076_PVYNO-USA_NIa
EF026074_PVYO_USA_NIa
AF522296_PVYN_Egito_NIa

TATATTATAGTAAACCACCATCTATTCAAGAGTTCAATGGATCCATGGA 167
TATATTATAGTAAACCACCATCTATTCAAGAGTTCAATGGATCCATGGA 157
TATATTATAGTAAACCACCATCTATTCAAGAGTTCAATGGATCCATGGA 167
TATATTATAGTAAACCACCATCTATTCAAGAGTTCAATGGATCCATGGA 177
TATATTATAGTAAACCACCATCTATTCAAGAGTTCAATGGATCCATGGA 167
TATATTATAGTAAACCACCATCTATTCAAGAGTTCAATGGATCCATGGA 167
TATATTATAGTAAACCACCATCTATTCAAGAGTTCAATGGATCCATGGA 177
TACATAATAGCGAACCAACCATTGTCAGGAGTTACAATGGTCCATGGA 167
TACATAATAGCGAACCAACCATTGTCAGGAGTTACAATGGTCCATGGA 167
TACATAATAGCGAACCAACCATTGTCAGGAGTTACAATGGTCCATGGA 167
TACATAGTAGCGAACCAACCATTATTAGGAGTTACAATGGTCCATGGA 350
* *

AJ889866_PVYNTN_Alemanha_NIa
AJ889867_PVYW_Alemanha_NIa
ITA_NIa
EF026075_PVYNTN_USA_NIa
VGS_NIa
AJ166866_PVYNTN_Canada_NIa
AB270705_PVYN_Japao_NIa
AY745492_PVYNO_Canada_NIa
EF026076_PVYNO-USA_NIa
EF026074_PVYO_USA_NIa
AF522296_PVYN_Egito_NIa

AGTGCATCAATGCATGGAACATTCAAGAGTGAGGAATTGCATAGCTTGA 217
AGTGCATCAATGCATGGAACATTCAAGAGTGAGGAATTGCATAGCTTGA 207
AGTGCATCAATGCATGGAACATTCAAGAGTGAGGAATTGCATAGCTTGA 217
AGTGCATCAATGCATGGAACATTCAAGAGTGAGGAATTGCATAGCTTGA 227
AGTGCATCAATGCATGGAACATTCAAGAGTGAGGAATTGCATAGCTTGA 217
AGTGCATCAATGCATGGAACATTCAAGAGTGAGGAATTGCATAGCTTGA 217
AGTGCATCAATGCATGGAACATTCAAGAGTGAGGAATTGCATAGCTTGA 227
GGTGCATCCATGCACGGTACATTCAAGGGTAAGAATCTACACAGTTGA 217
GGTGCATCCATGCACGGTACATTCAAGGGTAAGAATCTACACAGTTGA 217
GGTGCATCCATGCACGGTACATTCAAGGGTAAGAATCTACACAGTTGA 217
GGTGCATCCATGCACGGTACATTCAAGGGTAAGAATCTACACAGTTGA 400
***** *

AJ889866_PVYNTN_Alemanha_NIa
AJ889867_PVYW_Alemanha_NIa
ITA_NIa
EF026075_PVYNTN_USA_NIa

GCGTTTACCGATCAAAGGCAGAGACGTTATTATCATAAAGATGCCAAG 267
GCGTTTACCGATCAAAGGCAGAGACGTTATTATCATAAAGATGC---- 252
GCGTTTACCGATCAAGGGCAGAGACATTATCATCATAAAGATGCCAAG 267
GCGTTTACCGATCAAAGGCAGAGACATTATCATCATAAAGATGCCAAG 277

VGS_NIa
AJ166866_PVYNTN_Canada_NIa
AB270705_PVYN_Japao_NIa
AY745492_PVYNO_Canada_NIa
EF026076_PVYNO-USA_NIa
EF026074_PVYO_USA_NIa
AF522296_PVYN_Egito_NIa

AJ889866_PVYNTN_Alemanha_NIa
AJ889867_PVYW_Alemanha_NIa
ITA_NIa
EF026075_PVYNTN_USA_NIa
VGS_NIa
AJ166866_PVYNTN_Canada_NIa
AB270705_PVYN_Japao_NIa
AY745492_PVYNO_Canada_NIa
EF026076_PVYNO-USA_NIa
EF026074_PVYO_USA_NIa
AF522296_PVYN_Egito_NIa

```
GATTTCCCTGTTTCCCACAAAAACTGCAC TCCGGGCTCCAGTGCAGAA 317  
-----  
GATTTCCCTGTTTCCCACAAAAACTACGCCCTCGAG--CTCAGTGCAGAA 315  
GATTTCCCTGTTTCCCACAAAAACTGCAC TCCGGAGCTCCAGTGCAGAA 327  
GATTTCCCTGTTTCCCACAAAAACTGCAC TCCGGAGCTCCAGTGCAGAA 317  
GACTTCCTGTTTCCCACAAAAACTGCAC TCCGGAGCTCCAATACAAAAA 317  
GATTTCCCTGTTTCCCACAAAAACTGCAC TCCGGAGCTCCAGTGCAGAA 327  
GATTTCCCTGTCTTCCACAGAAATTGCATTCCGGAGCTCCTACACAGAA 317  
GATTTCCCTGTCTTCCACAGAAATTGCATTCCGGAGCTCCTACACAGAA 317  
GATTTCCCTGTCTTCCACAGAAATTGCATTCCGGAGCTCCTACACAGAA 317  
GATTTCCCTGTCTTCCACAGAAATTGCATTCCGGAGCTCCTACACAGAA 500
```

AJ889866_PVYNTN_Alemanha_NIa
AJ889867_PVYW_Alemanha_NIa
ITA_NIa
EF026075_PVYNTN_USA_NIa
VGS_NIa
AJ166866_PVYNTN_Canada_NIa
AB270705_PVYN_Japao_NIa
AY745492_PVYNO_Canada_NIa
EF026076_PVYNO-USA_NIa
EF026074_PVYO_USA_NIa
AF522296_PVYN_Egito_NIa

TGAGAGGAGTTGGTGGAACTAATTTCAAGAGAACATGCATCAT	367
-----GGATTGGTGGTGGAACTAATTTCAAGAGAACATGCATCAT	297
TGAGAGGAGTTGGTGGAACTAATTTCAAGAAAAACATGCATCAT	365
TGAGAGGAGTTGGTGGAACTAATTTCAAGAAAAACATGCATCAT	377
TGAGAGGAGTTGGTGGAACTAATTTCAAGAAAAACATGCATCAT	367
TGAGAGGAGTTGGTGGAACTAATTTCAAGAAAAACATGCATCGT	367
TGAGAGGAGTTGGTGGAACTAATTTCAAGAAAAACATGCATCAT	377
TGAAAGAGTTGGTAGTGGAACCAACTTCAGGAGAAGTATGCATCGT	367
TGAAAGAGTTGGTAGTGGAACCAACTTCAGGAGAAGTATGCATCGT	367
TGAAAGAGTTGGTAGTGGAACCAACTTCAGGAGAAGTATGCATCGT	367
TGAAAGAATTGGTAGTGGAACCAACTCCAAGAGAACATGCTTCGT	550

AJ889866_PVYNTN_Alemanha_NIa
AJ889867_PVYW_Alemanha_NIa

CAATCATCACAGAAACGAGTACTACATACAATGTACCGGGCAGCACTTT 417
CAATCATCACAGAAACGAGTACTACATACAATGTACCGGGCAGCACTTT 347

ITA_NIa
EF026075_PVYNTN_USA_NIa
VGS_NIa
AJ166866_PVYNTN_Canada_NIa
AB270705_PVYN_Japao_NIa
AY745492_PVYNO_Canada_NIa
EF026076_PVYNO-USA_NIa
EF026074_PVYO_USA_NIa
AF522296_PVYN_Egito_NIa

CAATCATCACAGAACGAGTACTACATACAATGTACCGGGCAGCACTTT 415
CAATCATCACAGAACGAGTACTACATACAATGTACCGGGCA----- 419
CAATCATCACAGAACGAGTACTACATACAATGTACCGGGCAGCACTTT 417
CAATCATCACAGAACGAGTACTACATACAATGTGCCGGGCAGCACTTT 417
CAATCATCACAGAACGAGTACTACATACAATGTACCGGGCAGCACTTT 427
CGATCATCACAGAACAGCACCCTACAATATACCAGGCAGCACATT 417
CGATCATCACAGAACAGCACCCTACAATATACCAGGCAGCACATT 417
CGATCATCACAGAACAGCACCCTACAATATACCAGGCAGCACATT 417
CGATCATCACAGAACAGCACTTACAATATACCAGGCAGCACATT 600
* ***** *

AJ889866_PVYNTN_Alemanha_NIa
AJ889867_PVYW_Alemanha_NIa
ITA_NIa
EF026075_PVYNTN_USA_NIa
VGS_NIa
AJ166866_PVYNTN_Canada_NIa
AB270705_PVYN_Japao_NIa
AY745492_PVYNO_Canada_NIa
EF026076_PVYNO-USA_NIa
EF026074_PVYO_USA_NIa
AF522296_PVYN_Egito_NIa

TGGAAGCATTGGATTGAAACAAATGATGGGCATTGTGGATTACCACTAGT 467
TGGAAGCATTGGATTGAAACAAATGATGGGCATTGTGGATTACCACTAGT 397
TGGAAGCATTGGATTGAAACAAATGATGGGCATTGCGGATTACCACTAGT 465
-----TTGTGGATTACCACTAGT 437
TGGAAGCATTGGATTGAAACAAATGATGGGCATTGTGGATTACCACTAGT 467
TGGAAGCATTGGATTGAAACAAATGATGGGCATTGTGGATTACCACTAGT 467
TGGAAGCATTGGATTGAAACAAATGATGGGCATTGTGGATTACCACTAGT 477
TGGAAGCATTGGATTGAAACAGATAATGGACATTGTGGACTGCCAGTGGT 467
TGGAAGCATTGGATTGAAACAGATAATGGACATTGTGGACTACCAGTGGT 467
TGGAAGCATTGGATTGAAACAGATAATGGACATTGTGGATTACCACTAGTGGT 467
TGGAAGCATTGGATTGAAACAGATAATGGACATTGTGGACTACCAGTGGT 650
* * * * * * * * * * * * * * * *

AJ889866_PVYNTN_Alemanha_NIa
AJ889867_PVYW_Alemanha_NIa
ITA_NIa
EF026075_PVYNTN_USA_NIa
VGS_NIa
AJ166866_PVYNTN_Canada_NIa
AB270705_PVYN_Japao_NIa
AY745492_PVYNO_Canada_NIa
EF026076_PVYNO-USA_NIa
EF026074_PVYO_USA_NIa
AF522296_PVYN_Egito_NIa

GAGTACAGCTGATGGATGTCTAGTTGGAATACGCAGCTTGGCGAATAATG 517
GAGTACAGCTGATGGATGTCTAGTTGGAATACGCAGCTTGGCGAATAATG 447
GAGTACAGCTGATGGATGTCTAGTTGGAATACACAGCTTGGCGAATAATG 515
GAGTACAGCTGATGGATGTCTAGTTGGAATACACAGCTTGGCGAATAATG 487
GAGTACAGCTGATGGATGTCTAGTTGGAATACATAGCTTGGCGAATAATG 517
GAGTACAGCTGATGGATGTCTAGTTGGAATACACAGCTTGGCGAATAATG 517
GAGTACAGCTGATGGATGTCTAGTTGGAATACACAGCTTGGCGAATAATG 527
GAGCACCACCGATGGATGTCTAGTCGGAATTACAGCTTGGCAAACAACA 517
GAGCACCACCGATGGATGTCTAGTCGGAATTACAGCTTGGCAAACAACA 517
GAGCACCACCGATGGATGTCTAGTCGGAATTACAGCTTGGCAAACAACA 517
GAGCACCACCGATGGATGTCTAGTCGGAATTACAGCTTGGCAAACAACA 517
GAGCACCACCGATGGATGTCTAGTCGGAATTACAGCTTGGCAAACAATG 700
* *

AJ889866_PVYNTN_Alemanha_NIa	TGCAAACCACGAATTATTATTAGCCTTGATGAGGAGTTGAAAGTAAG	567
AJ889867_PVYW_Alemanha_NIa	TGCAAACCACGAATTATTATTAGCCTTGATGAGGAGTTGAAAGTAAG	497
ITA_NIa	TGCAAACCACGAATTATTATTAGCCTTGATGAGGAGTTGAAAGTAAG	565
EF026075_PVYNTN_USA_NIa	TGCAAACCACGAATTATTATTAGCCTTGATGAGGAGTTGAAAGTAAG	537
VGS_NIa	TGCAAACCACAAATTATTAGCCTTGATGAGGAGTTGAAAGCAAG	567
AJ166866_PVYNTN_Canada_NIa	TGCAAACCACGAATTATTATTAGCCTTGATGAGGAGTTGAAAGCAAG	567
AB270705_PVYN_Japao_NIa	-----	
AY745492_PVYNO_Canada_NIa	AACACACCACGAACTACTCAGCCTCGATGAAGAGTTGAAAGCAAG	567
EF026076_PVYNO-USA_NIa	AACACACCACGAACTACTCAGCCTCGATGAAGAGTTGAAAGCAAG	567
EF026074_PVYO_USA_NIa	AACACACCACGAACTACTCAGCCTCGATGAAGAGTTGAAAGCAAG	567
AF522296_PVYN_Egito_NIa	CACACACCACGAACTACTCAGCCTGAAG-----	731
AJ889866_PVYNTN_Alemanha_NIa	TATCTCCGAACATAATGAGCATAATGAGTGGACCAAATCGTGGGTATATAA	617
AJ889867_PVYW_Alemanha_NIa	TATCTCCGAACATAATGAGCATAATGAGTGGACCAAATCGTGGGTATATAA	547
ITA_NIa	TATCTCCGAACATAATGAGCATAATGAGTGGACCAAATCGTGGGTATATAA	615
EF026075_PVYNTN_USA_NIa	TATCTCCGAACATAATGAGCATAATGAGTGGACCAAATCGTGGGTATATAA	587
VGS_NIa	TATCTCGAACATAATGAGCACAATGAGTGGACCAAATCGTGGGTATATAA	617
AJ166866_PVYNTN_Canada_NIa	TATCTCGAACATAATGAGCACAATGAATGGACCCAATCGTGGGTATATAA	617
AB270705_PVYN_Japao_NIa	-----CTAATGAGCATAATGAGTGGACCAAATCGTGGGTATATAA	567
AY745492_PVYNO_Canada_NIa	TATCTCCGAACCAATGAGCACAATGAATGGGTCAAGTCTGGATTATAA	617
EF026076_PVYNO-USA_NIa	TATCTCCGAACCAATGAGCACAATGAATGGGTCAAGTCTGGATTATAA	617
EF026074_PVYO_USA_NIa	TATCTCCGAACCAATGAGCACAATGAATGGGTCAAGTCTGGATTATAA	617
AF522296_PVYN_Egito_NIa	-----	
AJ889866_PVYNTN_Alemanha_NIa	CCCAGATACTGTGTTGGGGTCCATTGAAGCTCAAGGAGAGTACCCCTA	667
AJ889867_PVYW_Alemanha_NIa	CCCAGATACTGTGTTGGGGTCCATTGAAGCTCAAGGAGAGTACCCCTA	597
ITA_NIa	CCCAGATACTGTGTTGGGGTCCATTGAAGCTCAAGGAGAGTACCCCTA	665
EF026075_PVYNTN_USA_NIa	CCCAGATACTGTGTTGGGGTCCATTGAAGCTCAAGGAGAGCACCCCTA	637
VGS_NIa	CCCAGATACTGTGTTGGGGTCCATTGAAGCTCAAGGAAAGTACCCCTA	667
AJ166866_PVYNTN_Canada_NIa	CCCAGATACTGTGTTGGGGTCCATTGAAGCTCAAGGAGAGTACCCCTA	667
AB270705_PVYN_Japao_NIa	CCCAGATACTGTGTTGGGGTCCATTGAAGCTCAAGGAGAGTACCCCTA	617
AY745492_PVYNO_Canada_NIa	TCCAGACACAGTGTGGGGCCCGTTGAAACTAAAGACAGCACTCCCCA	667
EF026076_PVYNO-USA_NIa	TCCAGACACAGTGTGGGGCCCGTTGAAACTAAAGACAGCACTCCCCA	667
EF026074_PVYO_USA_NIa	TCCAGACACAGTGTGGGGCCCGTTGAAACTAAAGACAGCACTCCCCA	667
AF522296_PVYN_Egito_NIa	-----	

AJ889866_PVYNTN_Alemanha_NIa
AJ889867_PVYW_Alemanha_NIa
ITA_NIa
EF026075_PVYNTN_USA_NIa
VGS_NIa
AJ166866_PVYNTN_Canada_NIa
AB270705_PVYN_Japao_NIa
AY745492_PVYNO_Canada_NIa
EF026076_PVYNO-USA_NIa
EF026074_PVYO_USA_NIa
AF522296_PVYN_Egito_NIa

AAGGCCTGTTAACACAACAAACTGTACAGGATTAATTGATCATGAT 717
AAGGCCTGTTAACACAACAAACTGTACAGGATTAATTGATCATGAT 647
AAGGCCTGTTAACACAACAAACTGTACAGGATTAATTGATCATGAT 715
AAGGCCTGTTAACACAACAAACTGTACAGGATTAATTGATCATGAT 687
AAGGCTTGGTTAACACAACAAACTGTACAGGATTAATTGATCATGAT 717
AAGGCTTGGTTAACACAACGAAACTCGTACAGGATTAATTGATCATGAT 717
AAGGCCTGTTAACACAACAAACTGTACAGGATTAATTGATCATGAT 667
AAGGATTATTCAAAACAACAAAGCTTGCAAGATCTAATCGATCATGAT 717
AAGGATTATTCAAAACAACAAAGCTTGCAAGATCTAATCGATCATGAT 717
AAGGATTATTCAAAACAACAAAGCTTGCAAGATCTAATCGATCATGAT 717

AJ889866_PVYNTN_Alemanha_NIa
AJ889867_PVYW_Alemanha_NIa
ITA_NIa
EF026075_PVYNTN_USA_NIa
VGS_NIa
AJ166866_PVYNTN_Canada_NIa
AB270705_PVYN_Japao_NIa
AY745492_PVYNO_Canada_NIa
EF026076_PVYNO-USA_NIa
EF026074_PVYO_USA_NIa
AF522296_PVYN_Egito_NIa

GTTGTTGTAGAG--- 729
GTTGTTGTAGAG--- 659
ATTGTTGTAGAG--- 727
GTTGTTGTAGAGCAA 702
GTTGTTGTAGAGCAA 732
GTTGTTGTAGAGCAA 732
GTTGTTGTAGAGCAA 682
GTAGTGGTGGAGCAA 732
GTAGTGGTGGAGCAA 732
GTAGTGGTGGAGCAA 732

CLUSTAL 2.0.8 multiple sequence alignment

AF522296_PVYN_Egito_NIb
 AB270705_PVYN_Japao_NIb
 EF026075_PVYNTN_USA_NIb
 ITA_NIb
 AJ889866_PVYNTN_Alemanha_NIb
 AJ889867_PVYW_Alemanha_NIb
 AJ166866_PVYNTN_Canada_NIb
 EF026076_PVYNO_USA_NIb
 EF026074_PVYO_USA_NIb
 AY745492>AY745492_PVYNO_Canada
 OBR_NIb

---GCTAACATTCTCGTGGATGTATGAGGCTCTAACAGGAATTGCA 47
 ---GCTAACATTCTCGTGGATGTATGAGGCTCTAACAGGAATTGCA 37
 ---GCTAACATTCTCGTGGATGTATGAGGCTCTAACAGGAATTGCA 47
 CAAGCTAACATTCTCGTGGATGTATGAGGCTCTAACAGGAATTGCA 50
 CAAGTTAACATTCTCGTGGATGTATGAGGCTCTAACAGGAATTGCA 50
 ---GTTAACATTCTCGTGGATGTATGAGGCTCTAACAGGAATTGCA 47
 ---GCTAACATTCTCGTGGATGTATGAGGCTCTAACAGGAATTGCA 47
 ---GCTAACATTCTCGTGGATGTATGAGGCTCTAACAGGAATTGCA 47
 ---GCTAACATTCTCGTGGATGTATGAGGCTCTAACAGGAATTGCA 47
 -----GTTGAAGCCTTGACAGGAATTGCA 27
 ---GCTAACATTCTCGTGGATGTATGAGGCTCTAACAGGAATTGCA 47
 -----GTTGAAGCCTTGACAGGAATTGCA 27

*** * *** * * * * *

AF522296_PVYN_Egito_NIb
 AB270705_PVYN_Japao_NIb
 EF026075_PVYNTN_USA_NIb
 ITA_NIb
 AJ889866_PVYNTN_Alemanha_NIb
 AJ889867_PVYW_Alemanha_NIb
 AJ166866_PVYNTN_Canada_NIb
 EF026076_PVYNO_USA_NIb
 EF026074_PVYO_USA_NIb
 AY745492>AY745492_PVYNO_Canada
 OBR_NIb

AGCTGTGGCGACAATGAAGAGTCAGCTGGTACAAAGCACGTGGTCAAAG 97
 AGCTGTGGCGACAATGAAGAGTCAGCTGGTACAAAGCACGTGGTCAAAG 87
 AGCTGTGGCGACAATGAAGAGTCAGCTGGTACAAAGCACGTGGTCAAAG 97
 AGCTGTGGCGACAATGAAGAGTCAGCTGGTACAAAGCACGTGGTCAAAG 100
 AGCTGTGGCGACAATGAAGAGTCAGCTGGTACAAAGCACGTGGTCAAAG 100
 AGCTGTGGCGACAATGAAGAGTCAGCTGGTACAAAGCACGTGGTCAAAG 97
 AGCTGTGGCGACAATGAAGAGTCAGCTAGTGACAAAGCACGTGGTCAAAG 97
 AGCTGTCGCAACAATGAAGAGCCAATTAGTAACCAAGCATGTAGTTAAAG 97
 AGCTGTCGCAACAATGAAGAGCCAATTAGTAACCAAGCATGTAGTTAAAG 77
 AGCTGTCGCAACAATGAAGAGCCAATTAGTAACCAAGCATGTAGTTAAAG 97
 AGCTGTCGCAACAATGAAGAGCCAATTAGTAACCAAGCATGTAGTTAAAG 77

* *

AF522296_PVYN_Egito_NIb
 AB270705_PVYN_Japao_NIb
 EF026075_PVYNTN_USA_NIb
 ITA_NIb
 AJ889866_PVYNTN_Alemanha_NIb
 AJ889867_PVYW_Alemanha_NIb
 AJ166866_PVYNTN_Canada_NIb
 EF026076_PVYNO_USA_NIb

GGGAGTGTCCGCACTTCAAAGAGTTCTTAAGTGTGGATTCGGAAGCAGAA 147
 GGGAGTGTCCGCACTTCAAAGAGTTCTTAAGTGTGGATTCGGAAGCAGAA 137
 GGGAGTGTCCGCACTTCAAAGAGTTCTTAAGTGTGGATTCGGAAGCAGAA 147
 GGGAGTGTCCGCACTTCAAAGAGTTCTTAAGTGTGGATTCGGAAGCAGAA 150
 GGGAGTGTCCGCACTTCAAAGAGTTCTTAAGTGTGGATTCGGAAGCAGAA 150
 GGGAGTGTCCGCACTTCAAAGAGTTCTTAAGTGTGGATTCGGAAGCAGAA 147
 GGGAGTGTCCGCACTTCAAAGAGTTCTTAAGTGTGGATTCGGAAGCAGAA 147
 GAGAGTGTCCGCACTTCAAAGAGTTCTTAAGTGTGGATTCGGAAGCAGAA 147

EF026074_PVYO_USA_NIb
AY745492>AY745492_PVYNO_Canada
OBR_NIb

AF522296_PVYN_Egito_NIb
AB270705_PVYN_Japao_NIb
EF026075_PVYNTN_USA_NIb
ITA_NIb
AJ889866_PVYNTN_Alemanha_NIb
AJ889867_PVYW_Alemanha_NIb
AJ166866_PVYNTN_Canada_NIb
EF026076_PVYNO-USA_NIb
EF026074_PVYO_USA_NIb
AY745492>AY745492_PVYNO_Canada
OBR_NIb

AF522296_PVYN_Egito_NIb
AB270705_PVYN_Japao_NIb
EF026075_PVYNTN_USA_NIb
ITA_NIb
AJ889866_PVYNTN_Alemanha_NIb
AJ889867_PVYW_Alemanha_NIb
AJ166866_PVYNTN_Canada_NIb
EF026076_PVYNO-USA_NIb
EF026074_PVYO_USA_NIb
AY745492>AY745492_PVYNO_Canada
OBR_NIb

AF522296_PVYN_Egito_NIb
AB270705_PVYN_Japao_NIb
EF026075_PVYNTN_USA_NIb
ITA_NIb
AJ889866_PVYNTN_Alemanha_NIb
AJ889867_PVYW_Alemanha_NIb

GAGAGTGTGACACTCAAAGAATTCTGACTGTGGATGCAGAACAGAG 127
GAGAGTGTGACACTCAAAGAATTCTGACTGTGGATGCAGAACAGAG 147
GAGAGTGCCGACACTCAAAGAATTCTGACTGTGGATGCAGAGGAGAG 127
* *

GCTTCAGGCCTTGATGGATGCTTATGGGAAGAGCTGTTAAATAG 197
GCTTCAGGCCTTGATGGATGCTTATGGGAAGAGCTGTTAAATAG 187
GCTTCAGGCCTTGATGGATGCTTATGGGAAGAGCTGTTAAATAG 197
GCTTATTCAAGGCCTTAATGGATGCTTATGGGAAGAGCTGTTAAATAG 200
GCTTCAGGCCTTGATGGATGCTTATGGGAAGAGCTGTTAAATAG 200
GCTTCAGGCCTTGATGGATGCTTATGGGAAGAGCTGTTAAATAG 197
GCTTCAGGCCTTGATGGATGCTTATGGGAAGAGCTGTTAAATAG 197
GCATTCTCAGGCCTTGATGGATGCGTATGGAAAAGCTGCTGAATAG 197
GCATTCTCAGGCCTTGATGGATGCGTATGGAAAAGCTGCTGAATAG 177
GCATTCTCAGGCCTTGATGGATGCGTATGGAAAAGCTGCTGAATAG 197
GCATTCTCAGGCCTTGATGGATGCGTATGGAAAAGCTGCTAAATAG 177
* *

AGAACATATAAAGGACATAATGAAACTCAAAGCCTATTGATGTTG 247
AGAACATATAAAGGACATAATGAAACTCAAAGCCTATTGATGTTG 237
AGAACATATAAAGGACATAATGAAACTCAAAGCCTATTGATGTTG 247
AGAACATATAAAGGACATAATGAAACTCAAAGCCTATTGATGTTG 250
AGAACATATAAAGGACATAATGAAACTCAAAGCCTATTGATGTTG 250
AGAACATATAAAGGACATAATGAAACTCAAAGCCTATTGATGTTG 247
AGAACATATAAAGGACATAATGAAACTCAAAGCCTATTGATGTTG 247
AGATGCATACATCAAGGACATAATGAAGTATTCAAACCTATAGATGTTG 247
AGATGCATACATCAAGGACATAATGAAGTATTCAAACCTATAGATGTTG 227
AGATGCATACATCAAGGACATAATGAAGTATTCAAACCTATAGATGTTG 247
AGATGCGTACATCAAGGACATAATGAAGTATTCAAACCTATTGATGTTG 227
* *

GAATAGTGGACTGCGATGCTTGAAGAGGCTATCAATAGGTTATCATT 297
GAATAGTGGACTGCGATGCTTGAAGAGGCTATCAATAGGTTATCATT 287
GAACAGTAGACTGTGATGCTTGAAGAGGCTATCAATAGGTTATCATT 297
GAACAGTAGACTGTGATGCTTGAAGAGGCTATCAATAGGTTATCATT 300
GAACAGTAGACTGTGATGCTTGAAGAGGCTATCAATAGGTTATCATT 300
GAACAGTAGACTGTGATGCTTGAAGAGGCTATCAATAGGTTATCATT 297

AJ166866_PVYNTN_Canada_Nib
EF026076_PVYNO-USA_Nib
EF026074_PVYO_USA_Nib
AY745492>AY745492_PVYNO_Canada
OBR_Nib

AF522296_PVYN_Egito_Nib
AB270705_PVYN_Japao_Nib
EF026075_PVYNTN_USA_Nib
ITA_Nib
AJ889866_PVYNTN_Alemanha_Nib
AJ889867_PVYW_Alemanha_Nib
AJ166866_PVYNTN_Canada_Nib
EF026076_PVYNO-USA_Nib
EF026074_PVYO_USA_Nib
AY745492>AY745492_PVYNO_Canada
OBR_Nib

```

TATCTGCAAGTGCATGGCTTCAGAAATGCAATTACATCACCGATGAACA 347
TATCTGCAAGTGCATGGCTTCAGAAATGCAATTACATCACCGATGAACA 337
TATCTGCAAGTGCATGGCTTCAGAAATGCAATTACATCACCGATGAGCA 347
TATCTGCAAGTGCATGGCTTCAGAAATGCAATTACATCACCGATGAGCA 350
TATCTGCAAGTGCATGGCTTCAGAAATGCAATTACATCACCGATGAGCA 350
TATCTGCAAGTGCATGGCTTCAGAAATGCAATTACATCACCGATGAGCA 347
TATCTGCAAGTGCATGGCTTCAGAAATGCAACTACATCACCGATGAGCA 347
TACCTGCAAGTGCACGGCTTAAGAAGTGCACCATACGTCACTGACGAGCA 347
TACCTGCAAGTGCACGGCTTAAGAAGTGCACCATACGTCACTGACGAGCA 327
TACCTGCAAGTGCACGGCTTAAGAAGTGCACCATACGTCACTGACGAGCA 347
TACCTGCAAGTGCACGGCTTAAGAAGTGTGCATATGTCACTGACGAGCA 327
*** **** * * * * * * * * * * * * * * * * * * * * * * * * * * *

```

AF522296_PVYN_Egitto_Nib
AB270705_PVYN_Japao_Nib
EF026075_PVYNTN_USA_Nib
ITA_Nib
AJ889866_PVYNTN_Alemanha_Nib
AJ889867_PVYW_Alemanha_Nib
AJ166866_PVYNTN_Canada_Nib
EF026076_PVYNO-USA_Nib
EF026074_PVYO_USA_Nib
AY745492>AY745492_PVYNO_Canada
OBR Nib

GGAAATTTCAAAGCTCTCAATATGAAAGCTGCTGTCGGAGCTATGTATG 397
GGAAATTTCAAAGCTCTCAATATGAAAGCTGCTGTCGGAGCTATGTATG 387
GGAAATTTCAAAGCTCTCAATATGAAAGCTGCTGTCGGAGCTATGTATG 397
GGAAATTTCAA-GCTCTCAAAGCGCTACTGCTGTCGGAGCTATGTATG 399
GGAAATTTCAAAGCTCTCAATATGAAAGCTGCCGTCGGAGCTATGTATG 400
GGAAATTTCAAAGCTCTCAATATGAAAGCTGCCGTCGGAGCTATGTATG 397
GGAAATTTCAAAGCTCTCAATATGAAAGCTGCTGTCGGAGCTATGTATG 397
AGAAATTTCAAAGCGCTAACATGAAAGCTGCAGTCGGAGCCATGTATG 397
AGAAATTTCAAAGCGCTAACATGAAAGCTGCAGTGGAGCCATGTATG 377
AGAAATTTCAAAGCGCTAACATGAAAGCTGCAGTCGGAGCCATGTATG 397
AGAAATTTCAAAGCGCTAACATGAAAGCTGCAGTCGGAGCCATGTATG 377

AF522296_PVYN_Egito_Nib
AB270705_PVYN_Japao_Nib
EF026075_PVYNTN_USA_Nib
ITA Nib

GAGGCAAGAAGAAAGACTACTTCGAGCATTCTGAGCGGATAAAGAG 447
GAGGCAAGAAGAAAGACTACTTCGAGCATTCTGAGCGGATAAAGAG 437
GAGGCAAGAAGAAAGACTACTTCGAGCATTCTGAGCGGATAAAGAG 447
GAGGCAAGAAGAAAGACTACTTCGAGCATTCTGAGCGGATAAAGAG 449

AJ889866_PVYNTN_Alemanha_NIb
AJ889867_PVYW_Alemanha_NIb
AJ166866_PVYNTN_Canada_NIb
EF026076_PVYNO_USA_NIb
EF026074_PVYO_USA_NIb
AY745492>AY745492_PVYNO_Canada
OBR_NIb

AF522296_PVYN_Egito_NIb
AB270705_PVYN_Japao_NIb
EF026075_PVYNTN_USA_NIb
ITA_NIb
AJ889866_PVYNTN_Alemanha_NIb
AJ889867_PVYW_Alemanha_NIb
AJ166866_PVYNTN_Canada_NIb
EF026076_PVYNO_USA_NIb
EF026074_PVYO_USA_NIb
AY745492>AY745492_PVYNO_Canada
OBR_NIb

AF522296_PVYN_Egito_NIb
AB270705_PVYN_Japao_NIb
EF026075_PVYNTN_USA_NIb
ITA_NIb
AJ889866_PVYNTN_Alemanha_NIb
AJ889867_PVYW_Alemanha_NIb
AJ166866_PVYNTN_Canada_NIb
EF026076_PVYNO_USA_NIb
EF026074_PVYO_USA_NIb
AY745492>AY745492_PVYNO_Canada
OBR_NIb

AF522296_PVYN_Egito_NIb
AB270705_PVYN_Japao_NIb

GAGGCAAGAAGAAAGACTACTTCGAGCATTACTGAGGC GGATAAGAG 450
GAGGCAAGAAGAAAGACTACTTCGAGCATTACTGAGGC GGATAAGAG 447
GAGGCAAGAAGAAAGACTACTTGAGCATTACTGAGGC GGATAAGAG 447
GTGGCAAAAAGAAAGACTATTTGAGCATTCACTGATGCAGATAAGGAA 447
GTGGCAAAAAGAAAGACTATTTGAGCATTCACTGATGCAGATAAGGAA 427
GTGGCAAAAAGAAAGACTATTTGAGCATTCACTGATGCAGATAAGGAA 447
GTGGCAAAAAGAAAGACTATTTGAGCATTCACTGATGCAGATAAGGAA 427
***** * ***** * * * * * * * * * * * * * * * *

GAAATTGTTATGCAAAGTTGCCTCGATTGTACAAGGGCTCGCTGGCAT 497
GAAATTGTTATGCAAAGTTGCCTCGATTGTACAAGGGCTCGCTGGCAT 487
GAAATTGTTATGCAAAGTTGCCTCGATTGTACAAGGGCTCGCTGGCAT 497
GAAATTGTTATGCAAAGTTGCCTCGATTGTACAAGGGCTCGCTGGCAT 499
GAAATTGTTATGCAAAGTTGCCTCGATTGTACAAGGGCTCGCTGGCAT 500
GAAATTGTTATGCAAAGTTGCCTCGATTGTACAAGGGCTCGCTGGCAT 497
GAAATTGTTATGCAAAGTTGCTCGATTGTACAAGGGCTCGCTGGTAT 497
GAAATAGTCATGCAAAGCTGCTCGATTGTATAAAGGCTGCTGGCAT 497
GAAATAGTCATGCAAAGCTGCTCGATTGTATAAAGGCTGCTGGCAT 477
GAAATAGTCATGCAAAGCTGCTCGATTGTATAAAGGCTGCTGGCAT 497
GAAATAGTCATGCAAAGCTGCTCGATTGTATAAAGGCTGCTGGCAT 477
***** *

ATGGAATGGATCATTGAAAGCAGAACCTCGGTGCAAAGAGAGATACTTG 547
ATGGAATGGATCATTGAAAGCAGAACCTCGGTGCAAAGAGAGATACTTG 537
ATGGAATGGATCATTGAAAGCAGAACCTCGGTGCAAAGAGAGATACTTG 547
ATGGAATGGATCATTGAAAGCAGAACCTCGGTGCAAAGAGAGATACTTG 549
ATGGAATGGATCATTGAAAGCAGAACCTCGGTGCAAAGAGAGATACTTG 550
ATGGAATGGATCATTGAAAGCAGAACCTCGGTGCAAAGAGAGATACTTG 547
ATGGAATGGATCATTGAAAGCAGAACCTCGGTGCAAAGAGAGATACTTG 547
TTGGAATGGATCATTGAAGGCAGAGCTCCGGTGTAGGAAAAGATACTTG 547
TTGGAATGGATCATTGAAGGCAGAGCTCCGGTGTAGGAAAAGATACTTG 527
TTGGAATGGATCATTGAAGGCAGAGCTCCGGTGTAGGAAAAGATACTTG 547
TTGGAACGGATCATTGAAGGCAGAGCTCCGGTGTAGGAGAGATACTTG 527
***** *

CAAATAAGACAAGGCACATTCACTGCTGCACCTTAGATACTCTACTGGGT 597
CAAATAAGACAAGGCACATTCACTGCTGCACCTTAGATACTCTACTGGGT 587

EF026075_PVYNTN_USA_Nib
ITA_Nib
AJ889866_PVYNTN_Alemania_Nib
AJ889867_PVYW_Alemania_Nib
AJ166866_PVYNTN_Canada_Nib
EF026076_PVYNO-USA_Nib
EF026074_PVYO_USA_Nib
AY745492>AY745492_PVYNO_Canada
OBR_Nib

CAAATAAGACAAGGACATTCACTGCTGCACCTTAGATACTCTACTGGGT 597
CAAATAAGACAAGGACATTCACTGCTGCACCTTAGATACTCTACTGGGT 599
CAAATAAGACAAGGACATTCACTGCTGCACCTTAGATACTCTACTGGGT 600
CAAATAAGACAAGGACATTCACTGCTGCACCTTAGATACTCTACTGGGT 597
CAAATAAGACAAGGACATTCACTGCTGCACCTTAGATACTCTACTGGGT 597
CAAATAAGACGAGGACATTCACTGCTGCACCTTAGACACTTTGCTGGGT 597
CAAATAAGACGAGGACATTCACTGCTGCACCTTAGACACTTTGCTGGGT 577
CAAATAAGACGAGGACATTCACTGCTGCACCTTAGACACTTTGCTGGGT 597
CAAATAAGACGAGGACATTCACTGCTGCACCTCTAGACACTTTGCTGGGT 577
***** * ***** * ***** * ***** * * * * * *

AF522296_PVYN_Egito_Nib
AB270705_PVYN_Japao_Nib
EF026075_PVYNTN_USA_Nib
ITA_Nib
AJ889866_PVYNTN_Alemanha_Nib
AJ889867_PVYW_Alemanha_Nib
AJ166866_PVYNTN_Canada_Nib
EF026076_PVYNO-USA_Nib
EF026074_PVYO_USA_Nib
AY745492>AY745492_PVYNO_Canada
OBR_Nib

AF522296_PVYN_Egito_Nib
AB270705_PVYN_Japao_Nib
EF026075_PVYNTN_USA_Nib
ITA_Nib
AJ889866_PVYNTN_Alemanha_Nib
AJ889867_PVYW_Alemanha_Nib
AJ166866_PVYNTN_Canada_Nib
EF026076_PVYNO-USA_Nib
EF026074_PVYO_USA_Nib
AY745492>AY745492_PVYNO_Canada
OBR_Nib

TGAATGCTGCTGGACTGTTGGAATGACTAAGTTTATGGAGG-TTGGGAC 696
TGAATGCTGCTGGACTGTTGGAATGACTAAGTTTATGGAGG-TTGGGAC 686
TGAATGCTGCTGGACTGTTGGAATGACTAAGTTTATGGAGG-TTGGGAC 696
TGAATGCTGCTGGACTGTTGGAATGACTAAGTTTATGGAGG-TTGGGAC 699
TGAATGCTGCTGGACTGTTGGAATGACTAAGTTTATGGAGG-TTGGGAC 699
TGAATGCTGCTGGACTGTTGGAATGACTAAGTTTATGGAGG-TTGGGAC 696
TGAATGCTGCTGGACTGTTGGAATGACTAAGTTTATGGAGG-TTGGGAC 696
TGAATGCTGCTGGACTGTTGGAATGACTAAGTTTATGGAGG-TTGGGAC 696
TGAATGCTGCTGGACTGTTGGAATGACTAAGTTTATGGAGG-TTGGGAT 696
TGAATGCTGCTGGACGGTTGGGATGACTAAGTTTATGGTGG-TTGGGAT 676
TGAATGCTGCTGGACGGTTGGGATGACTAAGTTTATGGTGG-TTGGGAT 696
TGAATGCTGCTGGACGGTTGGGATGACTAAGTTTATGGTGG-TTGGGAT 676

AF522296_PVYN_Egito_NIb
 AB270705_PVYN_Japao_NIb
 EF026075_PVYNTN_USA_NIb
 ITA_NIb
 AJ889866_PVYNTN_Alemanha_NIb
 AJ889867_PVYW_Alemanha_NIb
 AJ166866_PVYNTN_Canada_NIb
 EF026076_PVYNO_USA_NIb
 EF026074_PVYO_USA_NIb
 AY745492>AY745492_PVYNO_Canada
 OBR_NIb

AAATTGCTTCGGCGTCTACCTGAAAATTGGGTGTACTGCGATGCCGATGG 746
 AAATTGCTTCGGCGTCTACCTGAAAATTGGGTGTACTGCGATGCCGATGG 736
 AGATTGCTTCGGCGTCTACCTGAAAATTGGGTGTACTGCGATGCCGATGG 746
 AGATTGCTTCGGCGTCTACCTGAAAATTGGGTGTACTGCGATGCCGATGG 749
 AAATTGCTTCGGCGTCTACCTGAAAATTGGGTGTACTGCGATGCCGATGG 749
 AAATTGCTTCGGCGTCTACCTGAAAATTGGGTGTACTGCGATGCCGATGG 746
 AAATTGCTTCGGCGTCTACCTGAAAATTGGGTGTACTGCGATGCCGATGG 746
 AAAC TGCTCGGGCGTTACCTGAGAATTGGGTATACTGTGATGCCGATGG 746
 AAACTGCTCGGGCGTTACCTGAGAATTGGGTATACTGTGATGCCGATGG 726
 AAACTGCTCGGGCGTTACCTGAGAATTGGGTATACTGTGATGCCGATGG 746
 AAACTGCTTCGGCGTTACCTGAGGATTGGGTATACTGTGATGCCGATGG 726
 *

AF522296_PVYN_Egito_NIb
 AB270705_PVYN_Japao_NIb
 EF026075_PVYNTN_USA_NIb
 ITA_NIb
 AJ889866_PVYNTN_Alemanha_NIb
 AJ889867_PVYW_Alemanha_NIb
 AJ166866_PVYNTN_Canada_NIb
 EF026076_PVYNO_USA_NIb
 EF026074_PVYO_USA_NIb
 AY745492>AY745492_PVYNO_Canada
 OBR_NIb

TTCACAATTGATAGTTCACTCACCCATACTAACCTAACCTAACATGCTGTTCTCA 796
 TTCACAATTGATAGTTCACTCACCCATACTAACCTAACATGCTGTTCTCA 786
 TTCACAATTGATAGTTCACTCACCCATACTAACCTAACATGCTGTTCTCA 796
 TTCACAATTGATAGTTCACTCACCCATACTAACCTAACATGCTGTTCTCA 799
 TTCACAATTGATAGTTCACTCACCCATACTAACCTAACATGCTGTTCTCA 799
 TTCACAATTGATAGTTCACTCACCCATACTAACCTAACATGCTGTTCTCA 796
 TTCACAATTGATAGTTCACTCACCCATACTAACCTAACATGCTGTTCTCA 796
 CTCACAGTTGATAGTTCACTAACCTAACATGCTGTTCTCA 796
 CTCACAGTTGATAGTTCACTAACCTAACATGCTGTTCTCA 776
 CTCACAGTTGATAGTTCGCTGACTCCATACTAACATGCTGTTCTCA 796
 CTCACAGTTGATAGTTCGCTGACTCCATACTAACATGCTGTTCTCA 776
 *

AF522296_PVYN_Egito_NIb
 AB270705_PVYN_Japao_NIb
 EF026075_PVYNTN_USA_NIb
 ITA_NIb
 AJ889866_PVYNTN_Alemanha_NIb
 AJ889867_PVYW_Alemanha_NIb
 AJ166866_PVYNTN_Canada_NIb
 EF026076_PVYNO_USA_NIb
 EF026074_PVYO_USA_NIb
 AY745492>AY745492_PVYNO_Canada
 OBR_NIb

TCATCAGAACACATACATGGAAGATTGGGACTTGGGTTGCAAATGTTG 846
 TCATCAGAACACATACATGGAAGATTGGGACTTGGGTTGCAAATGTTG 836
 TCATCAGAACACATACATGGAAGATTGGGACTTGGGTTGCAAATGTTG 846
 TCATCAGAACACATACATGGAAGATTGGGACTTGGGTTGCAAATGTTG 849
 TCATCAGAACACGTACATGGAAGATTGGGACTTGGGTTGCAAATGTTG 849
 TCATCAGAACACGTACATGGAAGATTGGGACTTGGGTTGCAAATGTTG 846
 TCATCAGAACACATACATGGAAGATTGGGACTTGGGTTGCAAATGTTG 846
 CCATTAGAACACATACATGGAAGATTGGGATGTGGGTTGCAAATGTTG 846
 CCATCAGAACACATACATGGAAGATTGGGATGTGGGTTGCAAATGTTG 826
 CCATCAGAACACATACATGGAAGATTGGGATGTGGGTTGCAAATGTTG 846
 CCATCAGAACACATACATGGAAGACTGGGATGTGGGTTGCAAATGCTG 826

AF522296_PVYN_Egito_Nib
AB270705_PVYN_Japao_Nib
EF026075_PVYNTN_USA_Nib
ITA_Nib
AJ889866_PVYNTN_Alemanha_Nib
AJ889867_PVYW_Alemanha_Nib
AJ166866_PVYNTN_Canada_Nib
EF026076_PVYNO_USA_Nib
EF026074_PVYO_USA_Nib
AY745492>AY745492_PVYNO_Canada
OBR_Nib

CGCAATTGTACACAGAAATAATTCACACCCAATCTCAACTCCAGATGG 896
CGCAATTGTACACAGAAATAATTCACACCCAATCTCAACTCCAGATGG 886
CGCAATTGTACACAGAAATAATTCACACCCAATCTCAACTCCAGATGG 896
CGCAATTGTACACAGAAATAATTCACATACCAATCTCAACTCCAGACGG 899
CGCAATTGTACACAGAAATAATTCACACCCAATCTCAACTCCAGATGG 899
CGCAATTGTACACAGAAATAATTCACACCCAATCTCAACTCCAGATGG 896
CGCAATTGTACACAGAAATAATTCACACCCAATCTCAACTCCAGATGG 896
CGCAATTGTACACAGAAATAATTCACACCCAATCTCAACTCCAGATGG 896
CGCAATTGTACACAGAAATAATTCACACCCAATCTCAACTCCAGATGG 896
CGCAATTGTACACTGAGATTGTTACACACCTATTCAACTCCAGATGG 876
CGCAATTGTACACTGAGATTGTTACACACCTATTCAACTCCAGATGG 876
CGCAATTGTACACTGAGATTGTTACACACCTATTCAACTCCAGATGG 896
CGCAATTGTACACTGAGATTGTTACACACCTATTCAACTCCAGATGG 876

AF522296_PVYN_Egito_Nib
AB270705_PVYN_Japao_Nib
EF026075_PVYNTN_USA_Nib
ITA_Nib
AJ889866_PVYNTN_Alemanha_Nib
AJ889867_PVYW_Alemanha_Nib
AJ166866_PVYNTN_Canada_Nib
EF026076_PVYNO-USA_Nib
EF026074_PVYO_USA_Nib
AY745492>AY745492_PVYNO_Canada
OBR Nib

AACAATTGTCAGAGGAAATAACAGTGGTCAGCTTCTACTG 946
AACAATTGTCAGAGGAAATAACAGTGGTCAGCTTCTACTG 936
AACAATTGTCAGAGGAAATAACAGTGGTCAGCTTCTACTG 946
AACAATTGTCAGAGGAAATAACAGTGGTCAGCTTCTACTG 949
AACAATTGTCAGAGGAAATAACAGTGGTCAGCTTCTACTG 949
AACAATTGTCAGAGGAAATAACAGTGGTCAGCTTCTACTG 946
AACAATTGTCAGAGGAAATAACAGTGGTCAGCTTCTACTG 946
AACAATTGTCAGAGGAAATAACAGTGGTCAGCTTCTACTG 946
AACAATTGTCAGAGGAAATAACAGTGGTCAGCTTCTACTG 926
AACAATTGTCAGAGGAAATAACAGTGGTCAGCTTCTACTG 946
AACAATTGTCAGAGGAAATAACAGTGGTCAGCTTCTACTG 926
***** * ***** * * * * * * * * * * * * * * * * *

AF522296_PVYN_Egito_Nib
AB270705_PVYN_Japao_Nib
EF026075_PVYNTN_USA_Nib
ITA_Nib
AJ889866_PVYNTN_Alemanha_Nib
AJ889867_PVYW_Alemanha_Nib
AJ166866_PVYNTN_Canada_Nib
EF026076_PVYNO-USA_Nib
EF026074_PVYO_USA_Nib

TTGTGGATAATTCTCTCATGGTTGCCTGCTATGCATTACGCTCTCATT	996
TTGTGGATAATTCTCTCATGGTTGCCTGCTATGCATTACGCTCTCATT	986
TTGTGGATAATTCTCTCATGGTTGCCTGCCATGCATTACGCTCTCATT	996
TTGTGGATAATTCTCTCATGGTTGCCTTGCTATGCATTACGCTCTCATT	999
TTGTGGATAATTCTCTCATGGTTGCCTTGCTATGCATTACGCTCTCATT	999
TTGTGGATAATTCTCTCATGGTTGCCTTGCTATGCATTACGCTCTCATT	996
TTGTGGATAATTCTCTCATGGTTGCCTTGCTATGCATTACGCTCTCATT	996
TTGTGGACAACACTCTTATGGTCATCCTGCCATGCACTATGCTCTCATC	996
TTGTGGACAACACTCTTATGGTCGTCCCTGCCATGCACTATGCTCTCATC	976

AY745492>AY745492_PVYNO_Canada
OBR_Nib

TTGTGGACAACTCTTATGGTCGTCCTGCCATGCACTATGCTCTCATC 996
TTGTGGACAACTCTTATGGTCGTCCTGCCATGCACTATGCTTTCATC 976
***** *

AF522296_PVYN_Egito_Nib
AB270705_PVYN_Japao_Nib
EF026075_PVYNTN_USA_Nib
ITA_Nib
AJ889866_PVYNTN_Alemanha_Nib
AJ889867_PVYW_Alemanha_Nib
AJ166866_PVYNTN_Canada_Nib
EF026076_PVYNO-USA_Nib
EF026074_PVYO_USA_Nib
AY745492>AY745492_PVYNO_Canada
OBR Nib

AAGGAGTCGTTGAGTTGAAGAAATCGACAGCACGTGTATTCTTGT 1046
AAGGAGTCGTTGAGTTGAAGAAATCGACAGCACGTGTATTCTTGT 1030
AAGGAGTCGTTGAGTTGAAGAAATCGACAGCACGTGTATTCTTGT 1046
AAGGAGTCGTTGAGTTGAAGAAATCGACAGCACGTGTATTCTTGT 1049
AAGGAGTCGTTGAGTTGAAGAAATCGACAGCACGTGTATTCTTGT 1049
AAGGAGTCGTTGAGTTGAAGAAATCGACAGCACGTGTATTCTTGT 1046
AAGGAGGGCGTTGAGTTGAAGAAATCGACAGCACATGTGTATTCTTGT 1046
AAAGAAATGCATTGAGTTGAAGAGATTGACAGCACGTGCGTATTCTTGT 1046
AAAGAAATGCATTGAGTTGAAGAGATTGACAGCACGTGCGTGTCTTGT 1026
AAAGAAATGCATTGAGTTGAAGAGATTGACAGCACGTGCGTATTCTTGT 1046
AAAGAAATGCATTGAATTGAAGAGATTGACAGCACGTGCGTGTCTTGT 1026
*** *** * * ***** *

AF522296_PVYN_Egito_Nib
AB270705_PVYN_Japao_Nib
EF026075_PVYNTN_USA_Nib
ITA_Nib
AJ889866_PVYNTN_Alemanha_Nib
AJ889867_PVYW_Alemanha_Nib
AJ166866_PVYNTN_Canada_Nib
EF026076_PVYNO-USA_Nib
EF026074_PVYO_USA_Nib
AY745492>AY745492_PVYNO_Canada
OBR_Nib

TAATGGTGATGACTTATTGATTGCTGTGAATCCGGAGAAAGAGAGCATT C 1096
TAATGGTGATGACTTATTGATTGCTGTGAATCCGGAGAAAGAGAGCATT C 1080
TAATGGTGATGACTTATTGATTGCTGTGAATCCGGAGAAAGAGAGCATT C 1096
TAATGGTGATGACTTATTGATTGCTGTGAATCCGGAGAAAGAGAGCATT C 1099
TAATGGTGATGACTTATTGATTGCTGTGAATCCGGAGAAAGAGAGCATT C 1099
TAATGGTGATGACTTATTGATTGCTGTGAATCCGGAGAAAGAGAGCATT C 1096
TAATGGTGATGACTTATTGATTGCTGTGAATCCGGAGAAAGAGAGCATT C 1096
CAATGGTGATGATTGCTGATTGCTGTGAATCCGGATAAAGAGGGCATT C 1096
CAATGGTGATGATTGCTGATTGCTGTGAATCCGGATAAAGAGGGCATT C 1076
CAATGGTGATGATTGCTGATTGCTGTGAATCCGGATAAAGAGGGCATT C 1096
CAATGGTGATGATTGCTGATTGCTGTGAATCCGGATAAAGAGGGCATT C 1076
***** * ***** * ***** * ***** * ***** * *****

AF522296_PVYN_Egito_NIb
AB270705_PVYN_Japao_NIb
EF026075_PVYNTN_USA_NIb
ITA_NIb
AJ889866_PVYNTN_Alemanha_NIb
AJ889867_PVYW_Alemanha_NIb
AJ166866 PVYNTN Canada NIb

```
TCGATAGAACATTCTCAGATCTGGTTGAACATATGATT 1146  
TCGATAGAACATTCTCAGATCTGGTTGAACATATGATT 1136  
TCGATAGAACATTCTCAGATCTGGTTGAACATATGATT 1146  
TCGATAGAACATTCTCAGATCTGGTTGAACATATGATT 1149  
TCGATAAAATGTACAACATTCTCAGATCTGGTTGAACATATGATT 1149  
TCGATAAAATGTACAACATTCTCAGATCTGGTTGAACATATGATT 1146  
TCGATAGAACATTCTCAGATCTGGTTGAACATATGATT 1146
```

EF026076_PVYNO-USA_NIb
EF026074_PVYO_USA_NIb
AY745492>AY745492_PVYNO_Canada
OBR_NIb

AF522296_PVYN_Egito_NIb
AB270705_PVYN_Japao_NIb
EF026075_PVYNTN_USA_NIb
ITA_NIb
AJ889866_PVYNTN_Alemanha_NIb
AJ889867_PVYW_Alemanha_NIb
AJ166866_PVYNTN_Canada_NIb
EF026076_PVYNO-USA_NIb
EF026074_PVYO_USA_NIb
AY745492>AY745492_PVYNO_Canada
OBR_NIb

AF522296_PVYN_Egito_NIb
AB270705_PVYN_Japao_NIb
EF026075_PVYNTN_USA_NIb
ITA_NIb
AJ889866_PVYNTN_Alemanha_NIb
AJ889867_PVYW_Alemanha_NIb
AJ166866_PVYNTN_Canada_NIb
EF026076_PVYNO-USA_NIb
EF026074_PVYO_USA_NIb
AY745492>AY745492_PVYNO_Canada
OBR_NIb

AF522296_PVYN_Egito_NIb
AB270705_PVYN_Japao_NIb
EF026075_PVYNTN_USA_NIb
ITA_NIb
AJ889866_PVYNTN_Alemanha_NIb

TTGACAGATTGTACAACACTTCTCAGATCTGGTTGAATTATGATTTC 1146
TTGACAGATTGTACAACACTTCTCAGATCTGGTTGAATTATGATTTC 1126
TTGACAGATTGTACAACACTTCTCAGATCTGGTTGAATTATGATTTC 1146
TTGACAGATTGTACAACACTTCTCAGATCTGGTTAAATTATGATTTC 1126
* * * * * ***** *

TCGTCGAGAACAGAAGGAAGGAGGAATTGTGGTCATGTCCCAGAGG 1196
TCGTCGAGAACAGAAGGAAGGAGGAATTGTGGTCATGTCCCAGAGG 1186
TCGTCGAGAACAGAAGGAAGGAGGAATTGTGGTCATGTCCCAGAGG 1196
TCGTCGAGAACAGAAGGAAGGAGGAATTGTGGTCATGTCCCAGAGG 1199
TCGTCGAGAACAGAAGGAAGGAGGAATTGTGGTCATGTCCCAGAGG 1199
TCGTCGAGAACAGAAGGAAGGAGGAATTGTGGTCATGTCCCAGAGG 1196
TCATCGAGAACAGAAGGAAGGAGGAATTGTGGTCATGTCCCACAGAGG 1196
TCGTCAAGAACAGAAATAAGGAGGAGTTGTGGTTATGTCTCATAGAGG 1196
TCGTCAAGAACAGAAATAAGGAGGAGTTGTGGTTATGTCTCATAGAGG 1176
TCGTCAAGAACAGAAATAAGGAGGAGTTGTGGTTATGTCTCATAGAGG 1196
TCGTCAAGAACAGAAATAAGGAGGAGTTGTGGTTATGTCTCATAGAGG 1176
* *

CCTGCTAACATCGAGGGTATGTACGTGCCAAGCTTGAGAACAGAGAGATTG 1246
CCTGCTAACATCGAGGGTATGTACGTGCCAAGCTTGAGAACAGAGAGATTG 1236
CCTGCTAACATAGAGGGTATGTACGTGCCAAGCTTGAGAACAGAGAGATTG 1246
CCTGCTAACATCGAGGGTATGTACGTGCCAAGCTCGAACAGAGAGATTG 1249
CCTGCTAACATCGAGGGTATGTACGTGCCAAGCTTGAGAACAGAGAGATTG 1249
CCTGCTAACATCGAGGGTATGTACGTGCCAAGCTTGAGAACAGAGAGATTG 1246
CCTGCTAACATCGAGGGCATGTACGTGCCAAGCTTGAGAACAGAGAGATTG 1246
CCTACTGATTGAGGGCATGTACGTGCCAACCTTGAGAACAGAGATTG 1246
CCTACTGATTGAGGGCATGTACGTGCCAACCTTGAGAACAGAGATTG 1226
CCTACTGATTGAGGGCATGTACGTGCCAACCTTGAGAACAGAGATTG 1246
CCTACTGATTGAGGGCATGTACGTGCCAACCTTGAGAACAGAGATTG 1226
* *

TATCCATTTGCAATGGGATAGAGCTGATCTGCCAGAGCACAGATTGAA 1296
TATCCATTTGCAATGGGATAGAGCTGATCTGCCAGAGCACAGATTGAA 1286
TATCCATTTGCAATGGGATAGAGCTGATCTGCCAGAGCACAGATTGAA 1296
TATCCATTTGCAATGGGATAGAGCTGATCTGCCAGAGCACAGATTGAA 1299
TATCCATTTGCAATGGGATAGAGCTGATCTGCCAGAGCACAGATTGAA 1299

AJ889867_PVYW_Alemanha_NIb
AJ166866_PVYNTN_Canada_NIb
EF026076_PVYNO_USA_NIb
EF026074_PVYO_USA_NIb
AY745492>AY745492_PVYNO_Canada
OBR_NIb

AF522296_PVYN_Egito_NIb
AB270705_PVYN_Japao_NIb
EF026075_PVYNTN_USA_NIb
ITA_NIb
AJ889866_PVYNTN_Alemanha_NIb
AJ889867_PVYW_Alemanha_NIb
AJ166866_PVYNTN_Canada_NIb
EF026076_PVYNO_USA_NIb
EF026074_PVYO_USA_NIb
AY745492>AY745492_PVYNO_Canada
OBR_NIb

AF522296_PVYN_Egito_NIb
AB270705_PVYN_Japao_NIb
EF026075_PVYNTN_USA_NIb
ITA_NIb
AJ889866_PVYNTN_Alemanha_NIb
AJ889867_PVYW_Alemanha_NIb
AJ166866_PVYNTN_Canada_NIb
EF026076_PVYNO_USA_NIb
EF026074_PVYO_USA_NIb
AY745492>AY745492_PVYNO_Canada
OBR_NIb

AF522296_PVYN_Egito_NIb
AB270705_PVYN_Japao_NIb
EF026075_PVYNTN_USA_NIb

TATCCATTGCAATGGGATAGAGCTGATCTGCCAGAGCACAGATTAGAA 1296
TATCCATTCTGCAATGGGATAGAGCTGATCTGCCAGAGCACAGATTAGAA 1296
TGTCCATTCTCCAATGGGACAGAGCAGACTGGCTGAACATAGGCTTGAG 1296
TGTCCATTCTCCAATGGGACAGAGCAGACTGGCTGAACACAGGCTTGAG 1276
TGTCCATTCTCCAATGGGACAGAGCAGACTGGCTGAACATAGGCTTGAG 1296
TGTCCATTCTCCAATGGGACAGAGCGGACTAGCTGAACACAGGCTTGAG 1276
* *

GCGATTGTGCAGCAATGATAGAACCTGGGTTATTTGAGTTAACGCA 1346
GCGATTGTGCAGCAATGATAGAACCTGGGTTATTTGAGTTAACGCA 1336
GCGATTGTGCAGCAATGATAGAACCTGGGTTATTTGAGTTAACGCA 1346
GCGATTGTGCAGCAATGATAGAACCTGGGTTATTTGAGTTAACGCA 1349
GCGATTGTGCAGCAATGATAGAACCTGGGTTATTTGAGTTAACGCA 1349
GCGATTGTGCAGCAATGATAGAACCTGGGTTATTTGAGTTAACGCA 1346
GCGATTGTGCAGCAATGATAGAACCTGGGTTATTTGAGTTAACGCA 1346
GCGATTGTGCAGCAATGATAGAACCTGGGTTATTTGAGTTAACGCA 1346
GCGATTGCGCAGCTATGATAGAGTCCTGGGTTATTCTGAACTAACACA 1346
GCGATTGCGCAGCTATGATAGAGTCCTGGGTTATTCTGAACTAACACA 1326
GCGATTGCGCAGCTATGATAGAGTCCTGGGTTATTCTGAACTAACACA 1346
GCGATTGCGCAGCTATGATAGAGTCCTGGGTTATTCTGAACTAACACA 1326
* *

CCAAATCAGGAGATTCTACTCATGGTTGGCAACAGCAACCTTTCAA 1396
CCAAATCAGGAGATTCTACTCATGGTTGGCAACAGCAACCTTTCAA 1386
CCAAATCAGGAGATTCTACTCATGGTTGGCAACAGCAACCTTTCAA 1396
CCAAATCAGGAGATTCTACTCATGGTTGGCAACAGCAACCTTTCAA 1399
CCAAATCAGGAGATTCTACTCATGGTTGGCAACAGCAACCTTTCAA 1399
CCAAATCAGGAGATTCTACTCATGGTTGGCAACAGCAACCTTTCAA 1396
CCAAATCAGGAGATTCTACTCATGGTTGGCAACAGCAACCTTTCAA 1396
CCAAATCAGGAGATTCTACTCATGGTTATTGCAACAGCAACCCTTGCAA 1396
CCAAATCAGGAGATTCTACTCATGGTTATTGCAACAGCAACCCTTGCAA 1376
CCAAATCAGGAGATTCTACTCATGGTTATTGCAACAGCAACCCTTGCAA 1396
CCAAATCAGGAGATTCTACTCATGGTTATTGCAACAGCAACCTTTGCAA 1376
* *

CGATAGCACAGGAAGGAAAAGCTCCATACATAGCGAGCATGGCACTGAAG 1446
CGATAGCACAGGAAGGAAAAGCTCCATACATAGCGAGCATGGCACTGAAG 1436
CGATAGCACAGGAAGGAAAAGCTCCATACATAGCGAGCATGGCATTGAAG 1446

ITA_NIb
AJ889866_PVYNTN_Alemanha_NIb
AJ889867_PVYW_Alemanha_NIb
AJ166866_PVYNTN_Canada_NIb
EF026076_PVYNO-USA_NIb
EF026074_PVYO_USA_NIb
AY745492>AY745492_PVYNO_Canada
OBR_NIb

AF522296_PVYN_Egito_NIb
AB270705_PVYN_Japao_NIb
EF026075_PVYNTN_USA_NIb
ITA_NIb
AJ889866_PVYNTN_Alemanha_NIb
AJ889867_PVYW_Alemanha_NIb
AJ166866_PVYNTN_Canada_NIb
EF026076_PVYNO-USA_NIb
EF026074_PVYO_USA_NIb
AY745492>AY745492_PVYNO_Canada
OBR_NIb

AF522296_PVYN_Egito_NIb
AB270705_PVYN_Japao_NIb
EF026075_PVYNTN_USA_NIb
ITA_NIb
AJ889866_PVYNTN_Alemanha_NIb
AJ889867_PVYW_Alemanha_NIb
AJ166866_PVYNTN_Canada_NIb
EF026076_PVYNO-USA_NIb
EF026074_PVYO_USA_NIb
AY745492>AY745492_PVYNO_Canada
OBR_NIb

AF522296_PVYN_Egito_NIb

CGATAGCACAGGAAGGAAAAGCTCCATACATAGCGAGCATGGCATTGAAG 1449
CGATAGCGAGGAAGGAAAAGCTCCATACATAGCGAGCATGGCATTGAAG 1449
CGATAGCGAGGAAGGAAAAGCTCCATACATAGCGAGCATGGCATTGAAG 1446
CGATAGCGAGGAAGGAAAAGCTCCATACATAGCGAGCATGGCATTGAAG 1446
CAATAGCGAGGAAGGGAAGGCTCCTATATAGCAAGCATGGCATTAAAGG 1446
CAATAGCGAGGAAGGGAAGGCTCCTATATAGCAAGCATGGCATTAAAGG 1426
CAATAGCGAGGAAGGGAGGGCTCCTATATAGCAAGCATGGCATTAAAGG 1446
CAATAGCGAGGAAGGGAAGGCTCCTATATAGCAAGCATGGCATTAAAGG 1426
* *

AAGCTGTACATGGATAGGACAGTAGATGAGGAGGAAGTGAAGGCTTCAC 1496
AAGCTGTACATGGATAGGACAGTAGATGAGGAGGAAGTGAAGGCTTCAC 1486
AAGCTGTACATGAATAGGACAGTAGATGAGGAGGAAGTGAAGGCTTCAC 1496
AAGCTGTACATGAATAGGACAGTAGATGAGGAGGAAGTGAAGGCTTCAC 1499
AAGCTGTACATGAATAGGACAGTAGATGAGGAGGAAGTGAAGGCTTCAC 1499
AAGCTGTACATGAATAGGACAGTAGATGAGGAGGAAGTGAAGGCTTCAC 1496
AAGCTGTACATGGATAGGACAGTAGATGAGGAGGAAGTGAAGGCTTCAC 1496
AAATTGTATATGGATAGGGCTGTGGATGAGGAAGAGCTGAGAGCCTTCAC 1496
AAATTGTATATGGATAGGGCTGTGGATGAGGAAGAGCTGAGAGCCTTCAC 1476
AAATTGTATATGGATAGGGCTGTGGATGAGGAAGAGCTGAGAGCCTTCAC 1496
AAACTGTATATGGATAGGACTGTGGATGAGGAAGAGCTAAGAGCCTTCAC 1476
* *

TGAAATGATGGTTGCCTTGGATGATGAAC----- 1525
TGAAATGATGGTTGCCTTGGATGATGAACCTTGAGTGCAGATACTTATGAAG 1536
TGAAATGATGGTTGCCTTGGATGATGAACCTTGAGTGCAGATACTTATGAAG 1546
TGAAATGATGGTTGCCTTGGATGATGAACCTTGAGTGCAGATACTTATGAAG 1549
TGAAATGATGGTTGCCTTGGATGATGAACCTTGAGTGCAGATACTTATGAAG 1549
TGAAATGATGGTTGCCTTGGATGATGAACCTTGAGTGCAGATACTTATGAAG 1546
TGAAATGATGGTTGCCTTGGATGATGAACCTTGAGTGCAGATACTTATGAAG 1546
TGAAATGATGGTCGCAATTAGACGATGAGTTGAATTGACTCTTATGAAG 1546
TGAAATGATGGTCGCAATTAGACGATGAGTTGAATTGACTCTTATGAAG 1526
TGAAATGATGGTCGCAATTAGACGATGAGTTGAATTGACTCTTATGAAG 1546
TGAAATGATGGTCGCAATTAGACGATGAGTTGAATTGACTCTTATGAAG 1526
* *

AB270705_PVYN_Japao_NIb	TGCACCATCAA 1547
EF026075_PVYNTN_USA_NIb	TGCACCATCAA 1557
ITA_NIb	TGCACCATCAA 1560
AJ889866_PVYNTN_Alemanha_NIb	TGCACCATCAA 1560
AJ889867_PVYW_Alemanha_NIb	TGCACCATCAA 1557
AJ166866_PVYNTN_Canada_NIb	TGCACCATCAA 1557
EF026076_PVYNO-USA_NIb	TATACCATCAA 1557
EF026074_PVYO_USA_NIb	TACACCATCAA 1537
AY745492>AY745492_PVYNO_Canada	TATACCATCAA 1557
OBR_NIb	TACACCATCAA 1537

CLUSTAL 2.0.8 multiple sequence alignment

EF026074_PVYO_USA_CP	-----
AJ889867_PVYW_Alemanha_CP	-----
AY745492_PVYNO_Canada_CP	-----
EF026076_PVYNO-USA_CP	-----
AB270705_PVYN_Japao_CP	-----
OBR_CP	-----
EF026075_PVYNTN_USA_CP	-----
ITA_CP	-----
AJ889866_PVYNTN_Alemanha_CP	-----
AJ166866_PVYNTN_Canada_CP	-----
NBR_CP	-----
AF522296_PVYN_Egito_CP	-----
	GGAAACGCTCCATACAT 17
	CAACAGCAACCTTTGCAACAATAGCGCAGGAAGGGAGGCTCCTTATAT 50

EF026074_PVYO_USA_CP	-----
AJ889867_PVYW_Alemanha_CP	-----
AY745492_PVYNO_Canada_CP	-----
EF026076_PVYNO-USA_CP	-----
AB270705_PVYN_Japao_CP	-----
OBR_CP	-----
EF026075_PVYNTN_USA_CP	-----
ITA_CP	-----
AJ889866_PVYNTN_Alemanha_CP	-----
AJ166866_PVYNTN_Canada_CP	-----
NBR_CP	-----
AF522296_PVYN_Egito_CP	-----
	AGCGAGCATGGCATTGAAGAAGCTGTACATGAATAGGACAGTAGATGAGG 67
	AGCAAGCATGGCACTAAGGAAACTGTATATGGATAGGGCTGTGGATGAGG 100

EF026074_PVYO_USA_CP	-----
AJ889867_PVYW_Alemanha_CP	-----
AY745492_PVYNO_Canada_CP	-----
EF026076_PVYNO-USA_CP	-----
AB270705_PVYN_Japao_CP	-----
OBR_CP	-----

EF026075_PVYNTN_USA_CP
ITA_CP
AJ889866_PVYNTN_Alemanha_CP
AJ166866_PVYNTN_Canada_CP
NBR_CP
AF522296_PVYN_Egito_CP

AGGAACTGAAGGCTTCACTGAAATGATGGTGCCTGGATGATGAACCTT 117
AAGAGCTAAGAGCCTTCAGTGAATGATGGTCGATTAGATGATGAGTT 150

EF026074_PVYO_USA_CP
AJ889867_PVYW_Alemanha_CP
AY745492_PVYNO_Canada_CP
EF026076_PVYNO-USA_CP
AB270705_PVYN_Japao_CP
OBR_CP
EF026075_PVYNTN_USA_CP
ITA_CP
AJ889866_PVYNTN_Alemanha_CP
AJ166866_PVYNTN_Canada_CP
NBR_CP
AF522296_PVYN_Egito_CP

-----GCAAATGACACAATCGATGC 20
-----GCAAATGACACAATCGATGC 20
-----GCAAATGACACAATCGATGC 20
-----GCAAATGACACAATCGATGC 20
-----GGAAACGACACAATCGATGC 20
-----GCAAATGACACAATTGATGC 20
-----GGAAATGACACAATCGATGC 20
-----GGAAATGACACAATCGATGC 20
-----GGAAATGACACAATCGATGC 20
-----GGAAATGACACAATCGATGC 20
-----GGAAATGACACAATCGATGC 20
GAGTGCATACTTATGAAGTGCACCACAGGAAATGACACAATCGATGC 167
GAGCTTGACTCTTATGAAGTACACCACAGCAAATGACACAATTGATGC 200

* * * * * * * * *

EF026074_PVYO_USA_CP
AJ889867_PVYW_Alemanha_CP
AY745492_PVYNO_Canada_CP
EF026076_PVYNO-USA_CP
AB270705_PVYN_Japao_CP
OBR_CP
EF026075_PVYNTN_USA_CP
ITA_CP
AJ889866_PVYNTN_Alemanha_CP
AJ166866_PVYNTN_Canada_CP
NBR_CP
AF522296_PVYN_Egito_CP

AGGAGGAAGCAGCAAGAAAGATGCAAGACCGGAGCAAGGCAGCATCCAGT 70
AGGAGGAAGCAGCAAGAAAGATGCAAGACCAGAGCAAGGCAGCATCCAGT 70
AGGAGGAAGCAGCAAGAAAGATGCAAGACCAGAGCAAGGCAGCATCCAGT 70
AGGAGGAAGCAGCAAGAAAGATGCAAGACCAGAGCAAGGCAGCATCCAGT 70
AGGAGGAAGCAGCAAGAAAGATGCAAGACCAGAGCAAGGCAGCATCCAGT 70
AGGAGGAAGCAACAAGAGAGATGCAAAACCAGAGCAAGGCAGCATCCAGT 70
AGGAGGAAGCAGCAACAAGAGAGATGCAAAACAAGAGCAAGGTATCATTCAAC 70
AGGAGGAAGCAGCAACTAAGAAGGTGCAAAACAAGAGCAAGGTATCATTCAAC 70
AGGAGGAAGCAGCAACTAAGAAGGTGCAAAACAAGAGCTAGGTAGCATTCAAC 70
AGGAGGAAGCAGCAACTAAGAAAGATGCAAAACAAGAGCAAGGTAGCATTCAAC 70
AGGAGGAAGCAGCAACTAAGAAGGTGCAAAACAAGAGCAAGGTATCATTCAAC 217
AGGAGGAAGCAGCAACAAGAAAGATGCAAAACCAGAGCAGGGCAGCATCCAGC 250

* * * * * * * * * * * * * * *

EF026074_PVYO_USA_CP

CAAACCCGAACAAAGGAAAAGATAAGGTGTGAATGCTGGTACATCTGGG 120

AJ889867_PVYW_Alemanha_CP
AY745492_PVYNO_Canada_CP
EF026076_PVYNO-USA_CP
AB270705_PVYN_Japao_CP
OBR_CP
EF026075_PVYNTN_USA_CP
ITA_CP
AJ889866_PVYNTN_Alemanha_CP
AJ166866_PVYNTN_Canada_CP
NBR_CP
AF522296_PVYN_Egito_CP

EF026074_PVYO_USA_CP
AJ889867_PVYW_Alemanha_CP
AY745492_PVYNO_Canada_CP
EF026076_PVYNO-USA_CP
AB270705_PVYN_Japao_CP
OBR_CP
EF026075_PVYNTN_USA_CP
ITA_CP
AJ889866_PVYNTN_Alemanha_CP
AJ166866_PVYNTN_Canada_CP
NBR_CP
AF522296_PVYN_Egito_CP

EF026074_PVYO_USA_CP
AJ889867_PVYW_Alemanha_CP
AY745492_PVYNO_Canada_CP
EF026076_PVYNO-USA_CP
AB270705_PVYN_Japao_CP
OBR_CP
EF026075_PVYNTN_USA_CP
ITA_CP
AJ889866_PVYNTN_Alemanha_CP
AJ166866_PVYNTN_Canada_CP

CAAACCCGAACAAAGGAAAAGATAAGGATGTGAATGCTGGTACATCTGGG 120

CAAACCCGAACAAAGGAAAAGATAAGGATGTGAATGCTGGTACATCTGGG 120
CAAACCCGAACAAAGGAAAAGATAAGGATGTGAATGCTGGTACATCTGGG 120
CAAACCCGAACAAAGGAAAAGATAAGGATGTTAATGCTGGCACATCTGGG 120
CAAATCTCAACAAGGAAAAGGACGTGAATGTTGAACATCTGGA 120
CAAATCTCAACAAGGAAAAGGACGTGAATGTTGAACATCTGGA 120
CAAATCTCAACAAGGAAAAGGACGTGAATGTTGAACATCTGGA 120
CAAATCTCAACAAGGAAAAGGACGTGAATGTTGAACATCTGGA 120
CAAATCTCAACAAGGAAAAGGACGTGAATGTTGAACATCTGGA 120
CAAATCTCAACAAGGAAAAGGACGTGAATGTTGAACATCTGGA 267
CAAACCCGAACAAAGGAAAAGGATAAGGATGTTAACATCTGGC 300

ACACATACTGTGCCGAGAATCAAGGCTATCACGTCCAAAATGAGAATGCC 170
ACACATACTGTGCCGAGAATCAAGGCTATCACGTCCAAAATGAGAATGCC 170
-----TGCCGAGAATCAAGGCTATCACGTCCAAAATGAGAATGCC 110
ACACACACTGTGCCGAGAATCAAGGCTATCACGTCCAAAATGAGAATGCC 170
ACACATACTGTGCCGAGAATCAAGGCTATCACGTCCAAAATGAGAATGCC 170
ACACATACTGTGCCGAGAATCAAGGCTATCACGTCCAAAATGAGAATGCC 170
ACACATACTGTGCCGAGAATCAAGGCTATCACGTCCAAAATGAGAATGCC 170
ACTCATACTGTGCCACGAATTAAAGCTATCACGTCCAAAATGAGAATGCC 170
ACTCATACTGTGCCACGAATTAAAGCTATCACGTCCAAAATGAGAATGCC 170
ACTCATACTGTGCCACGAATTAAAGCTATCACGTCCAAAATGAGAATGCC 170
ACTCACACTGTGCCACGAATTAAAGCTATCACGTCCAAAATGAGAATGCC 170
ACTCATACTGTGCCACGAATTAAAGCTATCACGTCCAAAATGAGAATGCC 317
ACACATACTGTGCCGAGAATCAAGGCTATCACGTCCAAAATGAGAATGCC 350

* *

CAAAAGCAAGGGAGCAACCGTGCTAACCTAGAACACTTGCTTGAGTATG 220
CAAAAGCAAGGGAGCAACCGTGCTAAACTTAGAACACTTGCTTGAGTATG 220
CAAAAGCAAGGGAGCAACCGTGCTAAACTTAGAACACTTGCTTGAGTATG 160
CAAAAGCAAGGGAGCAACCGTGCTAAACTTAGAACACTTGCTTGAGTATG 220
CACAAGCAAGGGAGCAACCGTGCTAAACTTAGAACACTTGCTTGAGTATG 220
CAAAAGCAAGGGAGCAACCGTGCTAAACTTAGAACACTTGCTTGAGTATG 220
CAAGAGTAAAGGTGCACTGTACTAAATTGAAACACTTACTCGAGTATG 220
CAAGAGTAAAGGTGCACTGTACTAAATTGAAACACTTACTCGAGTATG 220
CAAGAGTAAAGGTGCACTGTACTAAATTGAAACACTTACTCGAGTATG 220
CAGGAGTAAGGGTGCACTGTACTAAATTGAAACACTTACTCGAGTATG 220

NBR_CP
AF522296_PVYN_Egito_CP

CAAGAGTAAAGGTGCAACTGTACTAAATTGGAACACTTACTCGAGTATG 367
CACAAAGCAAGGGAGCAACCGTGCTAAACTTAGAACATTGCTTGAGTATG 400
***** * ***** * ***** *

EF026074_PVYO_USA_CP
AJ889867_PVYW_Alemanha_CP
AY745492_PVYNO_Canada_CP
EF026076_PVYNO-USA_CP
AB270705_PVYN_Japao_CP
OBR_CP
EF026075_PVYNTN_USA_CP
ITA_CP
AJ889866_PVYNTN_Alemanha_CP
AJ166866_PVYNTN_Canada_CP
NBR_CP
AF522296_PVYN_Egito_CP

CTCCACAACAAATTGATATTCAAATACTCGGGCAACTCAATCACAGTT 270
CTCCACAACAAATTGATATTCAAATACTCGGGCAACTCAATCACAGTT 270
CTCCACAACAAATTGATATTCAAATACTCGGGCAACTCAATCACAGTT 210
CTCCACAACAAATTGATATTCAAATACTCGGGCAACTCAATCACAGTT 270
CTCCACAACAAATTGATATTCAAATACTCGGGCAGTCAGTT 270
CTCCACAACAAATTGATATTCAAATACTCGGGCAACTCAATCACAGTT 270
CTCCACAACAAATTGACATCTCAAATACTCGAGCAACTCAATCACAGTT 270
CTCCACAGCAAATTGACATCTCAAATACTCGAGCAACTCAATCACAGTT 270
CTCCACAGCAAATTGACATCTCAAATACTCGAGCAACTCAATCACAGTT 270
CTCCACAGCAAATTGACATCTCAAATACTCGAGCAACTCAATCACAGTT 270
CTCCACAGCAAATTGACATCTCAAATACTCGAGCAACTCAATCACAGTT 417
CTCCACAACAAATTGATATTCAAATACTCGGGCAACTCAATCACAGTT 450
***** * ***** *

EF026074_PVYO_USA_CP
AJ889867_PVYW_Alemanha_CP
AY745492_PVYNO_Canada_CP
EF026076_PVYNO-USA_CP
AB270705_PVYN_Japao_CP
OBR_CP
EF026075_PVYNTN_USA_CP
ITA_CP
AJ889866_PVYNTN_Alemanha_CP
AJ166866_PVYNTN_Canada_CP
NBR_CP
AF522296_PVYN_Egito_CP

GATACGTGGTATGAGGCAGTGC GGATGGCATA CGACATAGGAGAACTGA 320
GATACGTGGTATGAGGCAGTGC GGATGGCATA CGACATAGGAGAACTGA 320
GATACGTGGTATGAGGCAGTGC GGATGGCATA CGACATAGGAGAACTGA 260
GATACGTGGTATGAGGCAGTGC GGATGGCATA CGACATAGGAGAACTGA 320
GATACGTGGTATGAGGCAGTGC GGATGGCATA CGACATAGGAGAACTGA 320
GATACGTGGTATGAGGCAGTGC GGATGGCATA CGACATAGGAGAACTGA 320
GATACGTGGTATGAGC GGTACA ACTTG CATA CGAC ATAGGAGAACTGA 467
GATACGTGGTATGAGGCAGTGC GGATGGCATA CGACATAGGAGAACTGA 500
***** * ***** *

EF026074_PVYO_USA_CP
AJ889867_PVYW_Alemanha_CP
AY745492_PVYNO_Canada_CP
EF026076_PVYNO-USA_CP
AB270705_PVYN_Japao_CP

GATGCCAACTGTGATGAATGGGCTTATGGTTGGTGCATTGAAAATGGAA 370
GATGCCAACTGTGATGAATGGGCTTATGGTTGGTGCATTGAAAATGGAA 370
GATGCCAACTGTGATGAATGGGCTTATGGTTGGTGCATTGAAAATGGAA 310
GATGCCAACTGTGATGAATGGGCTTATGGTTGGTGCATTGAAAATGGAA 370
GATGCCAACTGTGATGAATGGGCTTATGGTTGGTGCATTGAAAATGGAA 370

OBR_CP
 EF026075_PVYNTN_USA_CP
 ITA_CP
 AJ889866_PVYNTN_Alemanha_CP
 AJ166866_PVYNTN_Canada_CP
 NBR_CP
 AF522296_PVYN_Egito_CP

GATGCCAACTGTGATGAATGGCTTATGGTTGGTCATTGAAAATGGAA 370
 AATGCCAACTGTGATGAATGGCTTATGGTTGGTCATTGAAAATGGAA 370
 AATGCCAACTGTGATGAATGGCTTATGGTTGGTCATTGAAAATGGAA 370
 AATGCCAACTGTGATGAATGGCTTATGGTTGGTCATTGAAAATGGAA 370
 AATGCCAACTGTGATGAATGGCTTATGGTTGGTCATTGAAAATGGAA 370
 AATGCCAACTGTGATGAATGGCTTATGGTTGGTCATTGAAAATGGAA 517
 GATGCCAACTGTGATGAATGGCTTATGGTTGGTCATTGAAAATGGAA 550

EF026074_PVYO_USA_CP
 AJ889867_PVYW_Alemanha_CP
 AY745492_PVYNO_Canada_CP
 EF026076_PVYNO_USA_CP
 AB270705_PVYN_Japao_CP
 OBR_CP
 EF026075_PVYNTN_USA_CP
 ITA_CP
 AJ889866_PVYNTN_Alemanha_CP
 AJ166866_PVYNTN_Canada_CP
 NBR_CP
 AF522296_PVYN_Egito_CP

CCTCGCCAAATGTCAACGGAGTTGGTTATGATGG-ATGGG-AATGAAC 418
 CCTCGCCAAATGTCAACGGAGTTGGTTATGATGG-ATGGG-AATGAAC 418
 CCTCGCCAAATGTCAACGGAGTTGGTTATGATGG-ATGGG-GATGAAC 358
 CCTCGCCAAATGTCAACGGAGTTGGTTATGATGG-ATGGG-GATGAAC 418
 CCTCGCCAAATGTCAACGGAGTTGGTTATGATGG-ATGGG-AATGAAC 418
 CCTCGCCAAATGTCAACGGAGTTGGTTATGATGG-ATGGG-AATGAAC 418
 CCTCGCCAAACATCAACGGAGTTGGTTATGATGG-ATGGA-GATGAAC 418
 CCTCGCCAAACATCAACGGAGTTGGTTATGATGGGATGGAAGATGAAC 420
 CCTCGCCAAACATCAACGGAGTTGGTTATGATGG-ATGGA-GATGAAC 418
 CCTCGCCAAATATCAATGGAGTTGGTTATGATGG-ATGGA-GATGAAC 418
 CCTCGCCAAACATCAACGGAGTTGGTTATGATGG-ATGGA-GATGAAC 565
 CCTCGCCAAATGTCAACGGAGTTGGTTATGATGG-ATGGG-AATGAAC 598

EF026074_PVYO_USA_CP
 AJ889867_PVYW_Alemanha_CP
 AY745492_PVYNO_Canada_CP
 EF026076_PVYNO_USA_CP
 AB270705_PVYN_Japao_CP
 OBR_CP
 EF026075_PVYNTN_USA_CP
 ITA_CP
 AJ889866_PVYNTN_Alemanha_CP
 AJ166866_PVYNTN_Canada_CP
 NBR_CP
 AF522296_PVYN_Egito_CP

AAGTCGAGTACCC-GTTGAAACCAA--TCGTTGAGAATGC-AAAACCAAC 464
 AAGTCGAGTACCC-GCTGAAACCAA--TCGTTGAGAATGC-AAAACCAAC 464
 AAGTCGAGTACCC-GTTGAAACCAA--TCGTTGAGAATGC-AAAACCAAC 404
 AAGTCGAGTACCC-GTTGAAACCAA--TCGTTGAGAATGC-AAAACCAAC 464
 AAGTCGAGTACCC-GTTGAAACCAA--TCGTTGAGAATGC-AAAACCAAC 464
 AAGTTGAGTACCC-GTTGAAACCAA--TCGTTGAGAATGC-AAAGCCAAC 464
 AAGTCGAATACCC-ACTGAAACCAA--TCGTTGAGAATGC-AAAACCAAC 464
 AAGTCGAATACCCACTGAAACCAAATCGTTGAGAATGCCAAACCAAC 470
 AAGTCGAATACCC-ACTGAAACCAA--TCGTTGAGAATGC-AAAACCAAC 464
 AAGTCGAATACCC-ACTGAAACCAA--TCGTTGAGAATGC-AAAACCAAC 464
 AAGTCGAATACCC-ACTGAAACCAA--TCGTTGAGAATGC-AAAACCAAC 611
 AAGTTGAGTACCC-GTTGAAACCAA--TCGTTGAGAATGC-AAAACCAAC 644

EF026074_PVYO_USA_CP
AJ889867_PVYW_Alemanha_CP
AY745492_PVYNO_Canada_CP
EF026076_PVYNO-USA_CP
AB270705_PVYN_Japao_CP
OBR_CP
EF026075_PVYNTN_USA_CP
ITA_CP
AJ889866_PVYNTN_Alemanha_CP
AJ166866_PVYNTN_Canada_CP
NBR_CP
AF522296_PVYN_Egito_CP

CCTTAGGC-AAATCATGGCACATTCTCAGATGTTGCAGAACCGTATATA 513
CCTTAGGC-AAATCATGGCACATTCTCAGATGTTGCAGAACCGTATATA 513
CCTTAGGC-AAATCATGGCACATTCTCAGATGTTGCAGAACCGTATATA 453
CCTTAGGC-AAATCATGGCACATTCTCAGATGTTGCAGAACCGTATATA 513
CCTTAGGC-AAATCATGGCACATTCTCAGATGTTGCAGAACCGTATATA 513
CCTTAGGC-AAATCATGGCACATTCTCAGATGTTGCAGAACCGTATATA 513
ACTTAGGC-AAATCATGGCACATTCTCAGATGTTGCAGAACCGTATATA 513
ACTTAGGCCAAATCATGGCACATTCTCAGATGTTGCAGAACCGTATATA 520
ACTTAGGC-AAATCATGGCACATTCTCAGATGTTGCAGAACCGTATATA 513
ACTTAGGC-AAATCATGGCACATTCTCAGATGTTGCAGAACCGTATATA 513
ACTTAGGC-AAATCATGGCACATTCTCAGATGTTGCAGAACCGTATATA 660
CCTTAGGC-AAATCATGGCACATTCTCAGATGTTGCAGAACCGTATATA 693

EF026074_PVYO_USA_CP
AJ889867_PVYW_Alemanha_CP
AY745492_PVYNO_Canada_CP
EF026076_PVYNO-USA_CP
AB270705_PVYN_Japao_CP
OBR_CP
EF026075_PVYNTN_USA_CP
ITA_CP
AJ889866_PVYNTN_Alemanha_CP
AJ166866_PVYNTN_Canada_CP
NBR_CP
AF522296_PVYN_Egito_CP

GAAATGCGCAACAAAAGAACCATATGCCACGATATGGTTAACTCG 563
GAAATGCGCAACAAAAGAACCATATGCCACGATATGGTTAACTCG 563
GAAATGCGCAACAAAAGAACCATATGCCACGATA----- 491
GAAATGCGCAACAAAAGAACCATATGCCACGATATGGTTAACTCG 563
GAAATGCGCAACAAAAGAACCATATGCCACGATATGGTTAACTCG 563
GAAATGCGCAACAAAAGAACCATATGCCACGATATGGTTAACTCG 563
GAAATGCGCAACAAAAGAACCATATGCCACGATATGGTTAACTCG 563
GAAATGCGCAACAAAAGAACCATATGCCACGATATGGTTAACTCG 563
GAAATGCGCAACAAAAGAACCATATGCCACGATATGGTTAACTCG 570
GAAATGCGCAACAAAAGAACCATATGCCACGATATGGTTAACTCG 563
GAAATGCGCAACAAAAGAACCATATGCCACGATATGGTTAACTCG 563
GAAATGCGCAACAAAAGAACCATATGCCACGATATGGTTAACTCG 710
GAAATGCGCAACAAAAGAACCATATGCCACGATATGGTTAACTCG 743

EF026074_PVYO_USA_CP
AJ889867_PVYW_Alemanha_CP
AY745492_PVYNO_Canada_CP
EF026076_PVYNO-USA_CP
AB270705_PVYN_Japao_CP
OBR_CP
EF026075_PVYNTN_USA_CP
ITA_CP
AJ889866_PVYNTN_Alemanha_CP

AAATCTGCGGGATGTGGTTAGCGCGTTATGCCCTTGACTTTATGAGG 613
AAATCTGCGGGATGTGGTTAGCGCGTTATGCCCTTGACTTTATGAGG 613
-----GG 493
AAATCTGCGGGATGTGGTTAGCGCGTTATGCCCTCGACTTTATGAGG 613
AAATCTGCGGGATATGGTTAGCGCGTTATGCCCTTGACTTTATGAGG 613
GAATCTGCGGGATGTGGTTAGCGCGTTATGCCCTTGACTTTATGAGG 613
TAATCTGCGCGATGGAAGTTGGCTCGCTATGCTTGACTTTATGAGG 613
TAATCTGCGCGATGGAAGTTGGCTCGCTATGCTTGACTTTATGAGG 620
TAATCTGCGCGATGGAAGTTGGCTCGCTATGCTTGACTTTATGAGG 613

AJ166866_PVYNTN_Canada_CP
NBR_CP
AF522296_PVYN_Egito_CP

EF026074_PVYO_USA_CP
AJ889867_PVYW_Alemanha_CP
AY745492_PVYNO_Canada_CP
EF026076_PVYNO-USA_CP
AB270705_PVYN_Japao_CP
OBR_CP
EF026075_PVYNTN_USA_CP
ITA_CP
AJ889866_PVYNTN_Alemanha_CP
AJ166866_PVYNTN_Canada_CP
NBR_CP
AF522296_PVYN_Egito_CP

EF026074_PVYO_USA_CP
AJ889867_PVYW_Alemanha_CP
AY745492_PVYNO_Canada_CP
EF026076_PVYNO-USA_CP
AB270705_PVYN_Japao_CP
OBR_CP
EF026075_PVYNTN_USA_CP
ITA_CP
AJ889866_PVYNTN_Alemanha_CP
AJ166866_PVYNTN_Canada_CP
NBR_CP
AF522296_PVYN_Egito_CP

EF026074_PVYO_USA_CP
AJ889867_PVYW_Alemanha_CP
AY745492_PVYNO_Canada_CP
EF026076_PVYNO-USA_CP

TAATCTGCGCGATGGAAGTTGGCTCGTATGCTTGACTTTATGAAG 613
TAATCTGCGCGATGGAAGTTGGCTCGTATGCTTGACTTTATGAGG 760
AAATCTGCGGGATATGGTTAGCGCGTTATGCCTTGACTTTATGAGG 793

*

TCACATCACGAACACCAGTGAGGGCTAGGGAAGCGCACATTCAAATGAAG 663
TCACATCACGAACACCAGTGAGGGCTAGGGAAGCGCACATTCAAATGAAG 663
TCACATCACGAACACCAGTGAGGGCTAGGGAAGCGCACATTCAAATGAAG 543
TCACATCACGAACACCAGTGAGGGCTAGGGAAGCGCACATTCAAATGAAG 663
TCACATCACGAACACCAGTGAGGGCTAGGGAAGCGCACATTCAAATGAAG 663
TCACATCACGAACACCAGTGAGGGCTAGGGAAGCGCACATTCAAATGAAG 663
TCACATCACGAACACCAGTGAGGGCTAGGGAAGCGCACATTCAAATGAAG 663
TCACATCACGAACACCAGTGAGGGCTAGGGAAGCGCACATTCAAATGAAG 663
TCACATCACGAACACCAGTGAGGGCTAGGGAAGCGCACATTCAAATGAAG 670
TCACATCACGAACACCAGTGAGGGCTAGGGAAGCGCACATTCAAATGAAG 663
TTACATCACGGACACCAGTGAGGGCTAGAGAGGCACACATTCAAATGAAG 663
TCACATCACGAACACCAGTGAGGGCTAGGGAAGCGCACATTCAAATGAAG 810
TCACA----- 798

* ***

GCCGCAGCATTGAAATCAGCCCACCTCGACTTTCGGTTGGACGGTGG 713
GCCGCAGCATTGAAATCAGCTCAACCTCGACTTTCGGTTGGACGGTGG 713
GCCGCAGCATTGAAATCAGCCCACCTCGACTTTCGGTTGGACGGTGG 593
GCCGCAGCATTGAAATCAGCCCACCTCGACTTTCGGTTGGACGGTGG 713
GCCGCAGCATTGAAATCAGCCCACCTCGACTTTCGGTTGGACGGTGG 713
GCCGCAGCATTGAAATCAGCCCACCTCGACTTTCGGTTGGACGGTGG 713
GCCGCAGCATTGAAATCAGCCCACCTCGACTTTCGGTTGGACGGTGG 713
GCCGCAGCATTGAAATCAGCCCACCTCGACTTTCGGTTGGACGGTGG 720
GCCGCAGCATTGAAATCAGCCCACCTCGACTTTCGGTTGGACGGTGG 713
GCCGCAGCTTAAAATCAGCTCAATCTGACTTTCGGATTGGATGGTGG 713
GCCGCAGCATTGAAATCAGCCCACCTCGACTTTCGGTTGGACGGTGG 860

CATCACTACACAAGAGGAGAACACAGAGAGGCACACCACCGAGGATGTCT 763
CATCACTACACAAGAGGAGAACACAGAGAGGCACACCACCGAGGATGTCT 763
CATCACTACACAAGAGGAGAACACAGAGAGGCACACCACCGAGGATGTCT 643
CATCACTACACAAGAGGAGAACACAGAGAGGCACACCACCGAGGATGTCT 763

AB270705_PVYN_Japao_CP	CATCAGTACACAAGAGGGAGAACACAGAGAGGCACACCACCGAGGATGTCT	763
OBR_CP	CATCAGTACACAAGAGGGAGAACACAGAGAGGCACACCACCGAGGATGTCT	763
EF026075_PVYNTN_USA_CP	CATCAGTACACAAGAGGGAGAACACAGAGAGGCACACCACCGAGGATGTCT	763
ITA_CP	CATCAGTACACAAGAGGGAGAACACAGAGAGGCACACCACCGAGGATGTCT	770
AJ889866_PVYNTN_Alemanha_CP	CATCAGTACACAAGAGGGAGAACACAGAGAGGCACACCACCGAGGATGTCT	763
AJ166866_PVYNTN_Canada_CP	CATTAGTACACAAGAGGGAAAACACAGAGAGGCACACCACCGAGGATGTTT	763
NBR_CP	CATCAGTACACAAGAGGGAGAACACAGAGAGGCACACCACCGAGGATGTCT	910
AF522296_PVYN_Egito_CP	-----	
EF026074_PVYO_USA_CP	CTCCAAGTATGCATACTCTACTTGGAGTCAGAACATG-	801
AJ889867_PVYW_Alemanha_CP	CTCCAAGTATGCATACTCTACTTGGAGTCAGAACATGT	802
AY745492_PVYNO_Canada_CP	CTCCAAGTATGCATACTCTACTTGGAGTTAAGAACATG-	681
EF026076_PVYNO-USA_CP	CTCCAAGTATGCATACTCTACTTGGAGTTAAGAACATG-	801
AB270705_PVYN_Japao_CP	CTCCAAGTATGCATACTCTACTTGGAGTTAAGAACATG-	801
OBR_CP	CTCCAAGTATGCATACTCTACTTGGAGTCAGAACATG-	801
EF026075_PVYNTN_USA_CP	CTCCAAGTATGCATACTCTACTTGGAGTCAGAACATG-	801
ITA_CP	CTCCAAGTATGCATACTCTACTTGGAGTCAGAACATGT	809
AJ889866_PVYNTN_Alemanha_CP	CTCCAAGTATGCATACTCTACTTGGAGTCAGAACATGT	802
AJ166866_PVYNTN_Canada_CP	CTCCAAGTATGCATACTCTACTTGGAGTGAAGAACATG-	801
NBR_CP	CTCCAAGTATGCATACTCTACTTGGAGTCAGAACATG-	948
AF522296_PVYN_Egito_CP	-----	

CLUSTAL 2.0.8 multiple sequence alignment

ITA_3UTR
NBR_3UTR
AB270705_PVYN_Japao_3UTR
EF026075_PVYNTN_USA_3UTR
AJ889867_PVYW_Alemanha_3UTR
AY745492_PVYNO_Canada_3UTR
EF026076_PVYNO-USA_3UTR
EF026074_PVYO_USA_3UTR
AJ889866_PVYNTN_Alemanha_3UTR
OBR_3UTR
AF522296_PVYN_Egito_3UTR
AJ166866 PVYNTN Canada 3UTR

ITA_3UTR
NBR_3UTR
AB270705_PVYN_Japao_3UTR
EF026075_PVYNTN_USA_3UTR
AJ889867_PVYW_Alemanha_3UTR
AY745492_PVYNO_Canada_3UTR
EF026076_PVYNO-USA_3UTR
EF026074_PVYO_USA_3UTR
AJ889866_PVYNTN_Alemanha_3UTR
OBR_3UTR
AF522296_PVYN_Egito_3UTR
AJ166866_PVYNTN_Canada_3UTR

ITA_3UTR
NBR_3UTR
AB270705_PVYN_Japao_3UTR
EF026075_PVYNTN_USA_3UTR
AJ889867_PVYW_Alemanha_3UTR
AY745492_PVYNO_Canada_3UTR

AATATTACTAATAGATAGAGGGTGGCAGGGTGATTCGTATTGT-GGTGA 147
AATATTACTAATAGATAGAGGGTGGCAGGGTGATTCGTATTGT-GGTGA 148
AATATTACTAATAGATAGAGGGTGGCAGGGTGATTCGTATTGT-GGTGA 148
AATATTACTAATAGATAGAGGGTGGCAGGGTGATTCGTATTGT-GGTGA 148
AATATTACTAATAGATAGAGGGTGGCAGGGTGATTCGTATTGT-GGTGA 147
AATATTACTAATAGATAGAGGGTGGCAGGGTGATTCGTATTGT-GGTGA 148

EF026076_PVYNO-USA_3UTR
EF026074_PVYO_USA_3UTR
AJ889866_PVYNTN_Alemanha_3UTR
OBR_3UTR
AF522296_PVYN_Egito_3UTR
AJ166866_PVYNTN_Canada_3UTR

AATATTACTAATAGATAGAGGTGGCAGGGTGATTCGTCATTGT-GGTGA 148
AATATTACTAATAGATAGAGGTGGCAGGGTGATTCGTCATTGT-GGTGA 148
AATATTACTAATAGATAGAGGTGGCAGGGTGATTCGTCATTGT-GGTGA 148
AATATTACTAATAGATGGAGGTGGCAGGGTGATTCGTCATTGT-GGTGA 148
AATATTACTGGCAGATAGGGTGGTATAGCGATTCCGTCGTTAGTGA 148
AATATTACTGGCAGATAGGGTGGTAGCGATTCCGTCGTTGC-AGTGA 148
***** *

ITA_3UTR
NBR_3UTR
AB270705_PVYN_Japao_3UTR
EF026075_PVYNTN_USA_3UTR
AJ889867_PVYW_Alemanha_3UTR
AY745492_PVYNO_Canada_3UTR
EF026076_PVYNO-USA_3UTR
EF026074_PVYO_USA_3UTR
AJ889866_PVYNTN_Alemanha_3UTR
OBR_3UTR
AF522296_PVYN_Egito_3UTR
AJ166866_PVYNTN_Canada_3UTR

CTCTATTTTAATTCCGCATTATTAAGTCTTAGATAAAA-GTGCCGGGT 196
CTCTATTTTAATTCCGCATTATTAAGTCTTAGATAAAA-GTGCCGGGT 197
CTCTATTTTAATTCCGCATTATTAAGTCTTAGATAAAA-GTGCCGGGT 197
CTCTATTTTAATTCCGCATTATTAAGTCTTAGATAAAA-GTGCCGGGT 197
CTCTATTTTAATTCCGCATTATTAAGTCTTAGATAAAA-GTGCCGGGT 196
CTCTATTTTAATTCCGCATTATTAAGTCTTAGATAAAA-GTGCCGGGT 197
CTCTATTTTAATTCCGCATTATTAAGTCTTAGATAAAA-GTGCCGGGT 197
CTCTATTTTAATTCCGCATTATTAAGTCTTAGATAAAA-GTGCCGGGT 197
CTCTATTTCAATTCCGCATTATTAAGTCTTAGATAAAA-GTGCCGGGT 197
CTCTATTTTAATTCCGCATTATTAAGTCTTAGATAAAA-GTGCCGGGT 188
CTCTATCTGTAATTCCGTATTATTAAGTCTTAGATAAAA-GTGCCGGGT 197
CCTTAGCTGCGGTTCTGTATTATTAAGTCTTAGATAAAA-GTGCCGGGT 198
CCTTAGCTGCGTTCTGTATTATGT-TTGTATAAAA-GTGCCGGGT 196
* *

ITA_3UTR
NBR_3UTR
AB270705_PVYN_Japao_3UTR
EF026075_PVYNTN_USA_3UTR
AJ889867_PVYW_Alemanha_3UTR
AY745492_PVYNO_Canada_3UTR
EF026076_PVYNO-USA_3UTR
EF026074_PVYO_USA_3UTR
AJ889866_PVYNTN_Alemanha_3UTR
OBR_3UTR
AF522296_PVYN_Egito_3UTR
AJ166866_PVYNTN_Canada_3UTR

TGCGTTGTTGGATGATTATCGATTAGGTGATGTTGCGATTCTGTCG 246
TGCGTTGTTGGATGATTATCGATTAGGTGATGTTGCGATTCTGTCG 247
TGCGTTGTTGGATGATTATCGATTAGGTGATGTTGCGATTCTGTCG 247
TGCGTTGTTGGATGATTATCGATTAGGTGATGTTGCGATTCTGTCG 247
TGCGTTGTTGGATGATTATCGATTAGGTGATGTTGCGATTCTGTCG 246
TGCGTTGTTGGATGATTATCGATTAGGTGATGTTGCGATTCTGTCG 247
TGCGTTGTTGGATGATTATCGATTAGGTGATGTTGCGATTCTGTCG 247
TGCGTTGTTGGATGATTATCGATTAGGTGATGTTGCGATTCTGTCG 247
TGCGTTGTTGGATGATTATCGATTAGGTGATGTTGCGATTCTGTCG 238
TGCGTTGTTGGATGATTATCGATTAGGTGATGTTGCGATTCTGTCG 247
TGTTGTTGT-GTGACTGATCTATCGATTAGGTGATGCTGTGATTCTGTCA 247
TGTTGTTGTGCGATCTATCGATTAGGTGATGTTGCGATTCTGTCA 245
* *

ITA_3UTR

TAGCAGTGACTATGTCGGATCTATGCTGGTGGTGGTT-TGATTAA 295

NBR_3UTR
 AB270705_PVYN_Japao_3UTR
 EF026075_PVYNTN_USA_3UTR
 AJ889867_PVYW_Alemanha_3UTR
 AY745492_PVYNO_Canada_3UTR
 EF026076_PVYNO_USA_3UTR
 EF026074_PVYO_USA_3UTR
 AJ889866_PVYNTN_Alemanha_3UTR
 OBR_3UTR
 AF522296_PVYN_Egito_3UTR
 AJ166866_PVYNTN_Canada_3UTR

TAGCAGTGACTATGCTGGATCTATCTGCTTGGTGGTGTGATTTCG 297
 TAGCAGTGACTATGCTGGATCTATCTACTTGGTGGTGTGATTTCG 297
 TAGCAGTGACTATGCTGGATCTATCTGCTTGGTGGTGTGATTTCG 297
 TAGCAGTGACTATGCTGGATCTATCTGCTTGGTGGTGTGATTTCG 296
 TAGCAGTGACTATGCTGGATCCATCTGCTTGGTGGTGTGATTTCG 297
 TAGCAGTGACTATGCTGGATCCATCTGCTTGGTGGTGTGATTTCG 297
 TAGCAGTGACTATGCTGGATCTATCTGCTTGGTGGTGTGATTTCG 297
 TAGCAGTGACTATGCTGGATCTATCTACTTGGTGGTGTGATTTCG 288
 TAGCAGTGACTATGCTGGATCTATCTGCTTGGTGGTGTGATTTCG 297
 TAGCAGTGACTATGCTGGATTTAGTTACTTGGTGTGATTCTG 297
 TAGCAGTGACCATGCTGGATTTAGTTACTTGGTGTGATTCTG 295
 *

ITA_3UTR
 NBR_3UTR
 AB270705_PVYN_Japao_3UTR
 EF026075_PVYNTN_USA_3UTR
 AJ889867_PVYW_Alemanha_3UTR
 AY745492_PVYNO_Canada_3UTR
 EF026076_PVYNO_USA_3UTR
 EF026074_PVYO_USA_3UTR
 AJ889866_PVYNTN_Alemanha_3UTR
 OBR_3UTR
 AF522296_PVYN_Egito_3UTR
 AJ166866_PVYNTN_Canada_3UTR

TCATAACAGTGACTGTAAACTTCAATCAGGAAGGGCGAATTCCAGCACAC 345
 TCATAACAGTGACTGTAAACTTCAATCAGGAAGGGC----- 333
 TCATAACAGTGACT----- 311
 TCATAACAGTGACTGTAAACTTCAATCAGGAGAC----- 331
 TCATAACAGTGACTGTAAACTTCAATCAGGAGAC----- 330
 TCATAACAGTGACTGTAAACTTCAATCAGGAGAC----- 331
 TCATAACAGTGACTGTAAACTTCAATCAGGAGAC----- 331
 TCATACCAGTGACTGTAAACTTCAATCAGGAGAC----- 331
 TCATAACAGTGACTGTAAACTTCAATCAGGAG----- 320
 TCATAACAGTGACTGTAAACTTCAATCAGGAAGGGCGAATTCTGCAGATA 347
 TCATAGCAGTGACTGTAAACTTCAATCAGGAGAC----- 331
 TCATAGCAGTGGCTGTAAACTTCAATCAGGAGAC----- 329
 * * * * *

ITA_3UTR
 NBR_3UTR
 AB270705_PVYN_Japao_3UTR
 EF026075_PVYNTN_USA_3UTR
 AJ889867_PVYW_Alemanha_3UTR
 AY745492_PVYNO_Canada_3UTR
 EF026076_PVYNO_USA_3UTR
 EF026074_PVYO_USA_3UTR
 AJ889866_PVYNTN_Alemanha_3UTR
 OBR_3UTR

TGGCGGCCGTTACTAGGGATCCGAGCTCGTACCAAGCTGGCGATCGTCAT 395

 TCCATCACACTGGCGGCCGCTCGAGCATGCATCTAGAGGGCCC----- 390

AF522296_PVYN_Egito_3UTR
AJ166866_PVYNTN_Canada_3UTR

ITA_3UTR	CG 397
NBR_3UTR	--
AB270705_PVYN_Japao_3UTR	--
EF026075_PVYNTN_USA_3UTR	--
AJ889867_PVYW_Alemanha_3UTR	--
AY745492_PVYNO_Canada_3UTR	--
EF026076_PVYNO-USA_3UTR	--
EF026074_PVYO_USA_3UTR	--
AJ889866_PVYNTN_Alemanha_3UTR	--
OBR_3UTR	--
AF522296_PVYN_Egito_3UTR	--
AJ166866_PVYNTN_Canada_3UTR	--